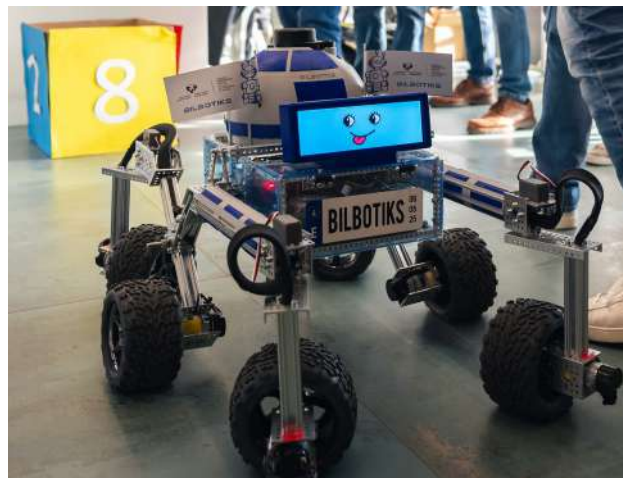


## GRADO EN INGENIERÍA INFORMÁTICA DE GESTIÓN Y SISTEMAS DE INFORMACIÓN

# TRABAJO FIN DE GRADO

### ***DESARROLLO DE ALGORITMOS DE PERCEPCIÓN Y CONTROL EN ROS2 PARA ROBÓTICA MÓVIL***



**Estudiante:** Arambarri Calvo, Javier

**Directora:** Cabanes Axpe, Itziar

**Codirector:** López Novoa, Unai

**Curso:** 2024-2025

**Fecha:** Portugalete, 20 de julio de 2025



# Agradecimientos

A mi familia, por vuestro apoyo y compañía durante todo el grado.

A Izaro, por tu cariño.

A Ane, Mario, Pablo, Nagore y Álvaro, por ser parte de la familia BilboTiks.

A César Pérez Barrio, por ser una fuente de inspiración y un ejemplo de esfuerzo y dedicación.

A Itziar Cabanes Axpe, por haber liderado el proyecto BilboTiks y haberme brindado la oportunidad de formar parte de él.

A Unai López Novoa, por tu tiempo, interés y colaboración en este trabajo.



# Resumen Laburpena Abstract

La robótica móvil e inteligente presenta retos como la percepción del entorno y el control suave, preciso y seguro de los actuadores con el fin de lograr movimientos autónomos. Este Trabajo de Fin de Grado utiliza herramientas de inteligencia artificial, teoría de control y automatización para desarrollar soluciones en *ROS2* sobre la plataforma robótica de código abierto *JPL-OSR*.

Estas soluciones se ponen en valor en el concurso estatal *Sener CEA's Bot Talent 2025* con el objetivo de reconocer números y colores y desplazarse autónomamente por un laberinto cerrado.

**Palabras clave:** robótica móvil e inteligente, movimientos autónomos, inteligencia artificial, percepción, control, código abierto, *ROS2*.

Robotika mugikor eta adimendunak zenbait erronka ditu, hala nola ingurunea hautematea eta eragingailuak leun, zehatz eta seguro kontrolatzea, mugimendu autonomoak lortzeko. Gradu Amaierako Lan honek adimen artifizialeko tresnak, kontrol-teoria eta automatizazioa erabiltzen ditu *JPL-OSR* kode irekiko plataforma robotikoan *ROS2* soluzioak garatzeko.

Soluzio horiek Sener CEA's Bot Talent 2025 estatuko lehiaketan balioesten dira, zenbakiak eta koloreak antzemaneko eta labirinto itxi batean robota modu autonomoan mugitzeko helburuarekin.

**Gako-hitzak:** robotika mugikor eta adimenduna, mugimendu autonomoak, adimen artifiziala, ingurunea hautematu, eragingailuak kontrolatu, kode irekia, *ROS2*.

Intelligent mobile robotics presents challenges such as environmental sensing and smooth, accurate and safe control of actuators in order to achieve autonomous movements. This Final Degree Project uses artificial intelligence, control theory and automation tools to develop solutions in *ROS2* on the open source robotics platform *JPL-OSR*.

These solutions are highlighted in the Spanish competition *Sener CEA's Bot Talent 2025* with the objective of recognizing numbers and colors and moving autonomously through a closed maze.

**Keywords:** intelligent mobile robotics, autonomous movements, artificial intelligence, environmental sensing, control of actuators, open source, *ROS2*.



# Índice de contenidos

<b>Agradecimientos</b>	<b>3</b>
<b>Resumen Laburpena Abstract</b>	<b>5</b>
<b>Índice de contenidos</b>	<b>10</b>
<b>Índice de ilustraciones</b>	<b>11</b>
<b>Índice de tablas</b>	<b>15</b>
<b>Índice de códigos</b>	<b>18</b>
<b>Lista de acrónimos</b>	<b>21</b>
<b>Lista de definiciones</b>	<b>23</b>
<b>1 Introducción</b>	<b>25</b>
1.1 Contexto .....	25
1.2 Motivación .....	28
1.3 Estructura de la memoria .....	28
<b>2 Objetivos, alcance y beneficios</b>	<b>30</b>
2.1 Objetivos .....	30
2.2 Alcance .....	30
2.3 Beneficios y ODS .....	31
<b>3 Estado del arte</b>	<b>32</b>

3.1 Soluciones basadas en IA para percepción del entorno . . . . .	32
3.2 Algoritmos de control . . . . .	35
3.3 Arquitecturas en <i>ROS2</i> . . . . .	36
<b>4 Descripción de las especificaciones</b>	<b>37</b>
4.1 Establecimiento de <i>checkpoints</i> . . . . .	37
4.2 Descripción de las pruebas . . . . .	38
<b>5 Componentes y montaje del rover</b>	<b>40</b>
5.1 Estructura mecánica . . . . .	40
5.2 Componentes electrónicos y sensores . . . . .	42
5.3 Dispositivos de control y monitorización . . . . .	47
5.4 Dispositivos de comunicación . . . . .	49
5.5 Montaje del <i>rover</i> . . . . .	50
<b>6 Análisis y diseño de la arquitectura</b>	<b>51</b>
6.1 Captura de operaciones . . . . .	51
6.2 Captura de procedimientos . . . . .	52
6.3 Especificación de procedimientos . . . . .	53
6.4 Modelo físico . . . . .	55
6.5 Diseño de la arquitectura . . . . .	56
6.6 Diagramas de secuencia . . . . .	57
<b>7 Desarrollo de la solución</b>	<b>59</b>
7.1 <i>ROS2</i> . . . . .	59
7.2 Paquetes, nodos y mensajes desarrollados en <i>ROS2</i> . . . . .	63
7.3 Movimiento del <i>rover</i> . . . . .	70
7.4 Prueba de percepción . . . . .	72
7.5 Prueba de control . . . . .	91
7.6 Interfaces gráficas desarrolladas . . . . .	99
7.7 Gemelo funcional . . . . .	101
7.8 Simulación con <i>Gazebo Harmonic</i> y <i>Docker</i> . . . . .	102

<b>8 Verificación y evaluación</b>	<b>104</b>
8.1 Prueba de percepción . . . . .	104
8.2 Prueba de control . . . . .	107
<b>9 Planificación</b>	<b>109</b>
9.1 Definición de tareas . . . . .	109
9.2 Diagrama <i>Gantt</i> . . . . .	122
9.3 Metodología <i>Scrum</i> . . . . .	124
9.4 Análisis de riesgos . . . . .	126
9.5 Herramientas . . . . .	133
9.6 Evaluación económica . . . . .	134
<b>10 Conclusiones y líneas futuras</b>	<b>137</b>
10.1 Conclusiones y evaluación de los objetivos . . . . .	137
10.2 Líneas futuras de trabajo . . . . .	138
10.3 Repositorio del proyecto . . . . .	138
<b>Bibliografía</b>	<b>139</b>
<b>Anexo I: Configuración de la conectividad en el rover</b>	<b>146</b>
I.1. Instalación del sistema operativo . . . . .	147
I.2. Configurar la red <i>Wi-Fi</i> . . . . .	147
I.3. Configuración de <i>SSH</i> . . . . .	148
I.4. Habilitar puertos serie e <i>I2C</i> . . . . .	149
I.5. Establecer las reglas <i>udev</i> . . . . .	150
I.6. Modificar el fichero <code>~/.bashrc</code> . . . . .	152
I.7. <i>Firmware</i> de <i>Roboclaw</i> . . . . .	152
I.8. Librerías <i>software</i> utilizadas . . . . .	152
<b>Anexo II: Código</b>	<b>154</b>
II.1. Fichero <code>.yaml</code> de parámetros del proyecto . . . . .	155
II.2. Servidor y respuesta del servicio para sacar una foto . . . . .	156
II.3. Cliente y solicitud del servicio para sacar una foto . . . . .	157

## Índice de contenidos

---

II.4. Desarrollo del modelo <i>CNN</i> . . . . .	158
II.5. Comprobación del funcionamiento del <i>LiDAR</i> . . . . .	169
II.6. Generar los gráficos de la señal de control en <i>MATLAB</i> . . . . .	170
II.7. Nodos . . . . .	171
II.8. Interfaces gráficas . . . . .	196
II.9. Gemelo digital y simulación . . . . .	206

# Índice de ilustraciones

1	<i>SHAKY</i> . . . . .	26
2	A la izquierda, el <i>JPL Open Source Rover Project</i> . A la derecha, el <i>Perseverance</i> en Marte [17]. . . . .	27
3	Ejemplo del resultado tras aplicar el algoritmo <i>Canny</i> [27]. . . . .	32
4	Representación visual de una red neuronal artificial [31]. . . . .	35
5	Representación gráfica del algoritmo <i>ND</i> [36]. . . . .	35
6	Arquitectura por niveles de tareas en <i>ROS2</i> [41]. . . . .	36
7	A la izquierda, ejemplo con las especificaciones de la caja cuadrada. A la derecha, ejemplo con las especificaciones del laberinto. . . . .	39
8	Subsistemas de la estructura mecánica del <i>rover</i> : chasis (izquierda), ruedas (centro) y caja de metacrilato donde se colocarán las placas de control (derecha). [16]. . . . .	40
9	Perfil de aluminio de montaje universal <i>goRAIL</i> [43]. . . . .	41
10	Esquema de suspensión <i>rocker-boogie</i> [45]. . . . .	41
11	Movimiento del <i>rocker</i> y del <i>boogie</i> . . . . .	41
12	Placa base conectada y bus de conexión con la <i>Raspberry Pi</i> . . . . .	42
13	Placa base [16]. . . . .	42
14	A la izquierda, el motor con <i>encoder</i> [46]. A la derecha, el servomotor [47]. . . . .	44
15	Aspecto visual de la cámara <i>Orbbec Astra Pro Plus</i> [48]. . . . .	44
16	A la izquierda, el <i>LiDAR YDLIDAR X4</i> [49]. A la derecha, la regla de la mano izquierda sobre el dispositivo físico. . . . .	45

17	<i>IMU</i> [51]. . . . .	46
18	A la izquierda, la batería [53]. A la derecha, la batería colocada en el <i>rover</i> . . . . .	46
19	A la izquierda, <i>Roboclaw 2x7A Motor Controller</i> [54]. A la derecha, el controlador serie colocado en el robot. . . . .	47
20	<i>Raspberry Pi 4B</i> [55]. . . . .	48
21	Arriba, aspecto exterior de la pantalla. Abajo, su circuito integrado. [56]. . . . .	48
22	A la izquierda, el interruptor. A la derecha, el <i>display</i> de voltaje. . . . .	49
23	<i>Router 4G</i> [58]. . . . .	49
24	Arriba, la cúpula que alberga el <i>LiDAR</i> y la cámara. Abajo, el marco 3D de la pantalla. . . . .	50
25	<i>Rover</i> montado. . . . .	50
26	Modelo de proceso. . . . .	51
27	Modelo de procedimientos. . . . .	52
28	Modelo físico. . . . .	55
29	Arquitectura propuesta diseñada. . . . .	56
30	Diagrama de secuencia de la prueba de percepción. . . . .	57
31	Diagrama de secuencia de la prueba de control. . . . .	58
32	<i>ROS2 Humble Hawksbill</i> . . . . .	60
33	Esquema de tópicos y servicios en <i>ROS2</i> [62]. . . . .	61
34	Esquema de acciones en <i>ROS2</i> [62]. . . . .	61
35	Grafo computacional <i>ROS2</i> desarrollado. . . . .	67
36	Esquema oficial de nodos <i>lifecycle</i> [65]. . . . .	69
37	Nodos involucrados en la prueba de percepción. . . . .	72
38	<i>Imagen con 8 bits por píxel y representación de un fragmento de 8x8 píxeles</i> [67]. . . . .	73
39	Servicio para sacar una foto. . . . .	74
40	<i>Representación del espacio de color RGB de 24 bits. Imagen propia</i> . . . . .	75
41	<i>Representación del espacio de color HSV</i> [72]. . . . .	77
42	Resultado de la primera restricción, donde se aprecia la caja como elemento principal de la imagen. . . . .	77

43	Resultado de la segunda restricción. No se detecta el color azul con forma circular, no rectangular ni cuadrada. . . . .	78
44	<i>Ejemplo de OCR. Fuente: [74].</i> . . . . .	81
45	Esquema del funcionamiento de una <i>CNN</i> [75]. . . . .	82
46	Ejemplos del <i>dataset</i> generado. . . . .	83
47	Ejemplo de imágenes eliminadas del <i>dataset</i> generado. . . . .	83
48	Ejemplo del resultado de aplicar el algoritmo de detección de bordes <i>Canny</i>	84
49	Ejemplos de las imágenes sintéticas generadas. . . . .	85
50	Precisión y pérdida del modelo durante el entrenamiento. . . . .	89
51	A la izquierda, los servomotores en posición para girar sobre sí mismo. A la derecha, la representación general de <i>roll</i> , <i>pitch</i> y <i>yaw</i> [39]. . . . .	90
52	Nodos involucrados en la prueba de control. . . . .	91
53	Mediciones del <i>LiDAR</i> desordenadas. . . . .	92
54	Posicionamiento del <i>LiDAR</i> en el <i>rover</i> . . . . .	93
55	Campo de visión inicialmente propuesto. . . . .	94
56	Campo de visión implementado. . . . .	94
57	Representación gráfica del error máximo. . . . .	95
58	Señal de control de salida del controlador proporcional con diferentes valores <i>Kp</i> . . . . .	96
59	Señal de control de salida del controlador PD con diferentes valores <i>Kp</i> y <i>Kd</i> . . . . .	98
60	Interfaz gráfica para la prueba de percepción. . . . .	99
61	Interfaz gráfica para la prueba de control. . . . .	99
62	Interfaz gráfica de la cara. . . . .	100
63	Valores de la <i>IMU</i> generados por el gemelo funcional. . . . .	101
64	Capturas de pantalla de la simulación de la prueba de control en <i>Gazebo Harmonic</i> . . . . .	102
65	Escenario de pruebas para la prueba de percepción. . . . .	106
66	Escenarios de pruebas para la prueba de control. . . . .	108
67	EDT. . . . .	111
68	Diagrama <i>Gantt</i> . . . . .	123

69	Distribución de los costes del proyecto. . . . .	136
70	<i>Raspberry Pi Imager</i> . . . . .	147
71	Configuración de la red. . . . .	147
72	Conectarse automáticamente a la red. . . . .	148
73	Herramienta <i>rapi-config</i> . . . . .	150

# Índice de tablas

1	Características del modelo de servomotor utilizado. . . . .	44
2	Especificación de los procedimientos de la prueba de percepción. . . . .	53
3	Especificación de los procedimientos de la prueba de control. . . . .	54
4	Especificación de los procedimientos compartidos por ambas pruebas. . .	54
5	Estados de un nodo con ciclo de vida. . . . .	68
6	Transiciones de un nodo con ciclo de vida. . . . .	69
7	<i>Tipo de compresión de imágenes según el formato.</i> . . . . .	74
8	Colores en <i>HSV</i> de <i>OpenCV</i> . . . . .	79
9	Rangos de tonalidad en <i>HSV</i> de <i>OpenCV</i> . . . . .	79
10	Rangos de saturación y luminosidad en <i>HSV</i> de <i>OpenCV</i> . . . . .	80
11	Número de imágenes que integran el <i>dataset</i> por clases. . . . .	86
12	Resultados de las métricas de evaluación del entrenamiento del modelo <i>CNN</i> desarrollado. . . . .	89
13	Ángulos límite de actuación de los servomotores. . . . .	94
14	Descripción de las características del <i>LiDAR</i> virtual. . . . .	103
15	Test unitarios de los procedimientos de la prueba de percepción. . . . .	105
16	Test de integración de la prueba de percepción. . . . .	106
17	Test de verificación y validación de la prueba de percepción. . . . .	106
18	Test unitarios de los procedimientos de la prueba de control. . . . .	107
19	Test de integración de la prueba de control. . . . .	108
20	Test de verificación y validación de la prueba de control. . . . .	108

21	Tareas, duración, precedencias y fecha estimada. . . . .	110
22	Detalles de la tarea 1.1. . . . .	112
23	Detalles de la tarea 1.2. . . . .	112
24	Detalles de la tarea 1.3. . . . .	113
25	Detalles de la tarea 1.4. . . . .	113
26	Detalles de la tarea 1.5. . . . .	114
27	Detalles de la tarea 1.6. . . . .	114
28	Detalles de la tarea 1.7. . . . .	115
29	Detalles de la tarea 2.1. . . . .	115
30	Detalles de la tarea 3.1. . . . .	116
31	Detalles de la tarea 3.2. . . . .	116
32	Detalles de la tarea 3.3. . . . .	117
33	Detalles de la tarea 3.4. . . . .	117
34	Detalles de la tarea 3.5. . . . .	117
35	Detalles de la tarea 4.1. . . . .	118
36	Detalles de la tarea 4.2. . . . .	118
37	Detalles de la tarea 4.3. . . . .	119
38	Detalles de la tarea 5.1. . . . .	119
39	Detalles de la tarea 5.2. . . . .	120
40	Detalles de la tarea 6.1. . . . .	120
41	Detalles de la tarea 6.2. . . . .	121
42	Detalles de la tarea 6.3. . . . .	121
43	Detalles de la tarea 6.4. . . . .	122
44	Detalles de la tarea 6.5. . . . .	122
45	<i>Sprints</i> e historias de usuario. . . . .	124
46	Matriz de evaluación de riesgos según el estándar ISO 45001:2018. . . . .	126
47	Probabilidad y consecuencias de los riesgos. . . . .	126
48	Riesgos asociados al proyecto. . . . .	127
49	Evaluación de indisposición provisional del desarrollador por empleo o prácticas. . . . .	127

50	Evaluación de no completar en fecha algún <i>checkpoint</i> eliminatorio del concurso. . . . .	127
51	Evaluación de no cumplir el plazo de entrega de este trabajo. . . . .	128
52	Evaluación de averías técnicas generales de <i>software</i> . . . . .	128
53	Evaluación de cambio en el <i>firmware</i> de los componentes. . . . .	128
54	Evaluación de actualizaciones de las librerías utilizadas. . . . .	128
55	Evaluación de planificación temporal incorrecta. . . . .	129
56	Evaluación de no documentar el desarrollo completo durante su realización. . . . .	129
57	Evaluación de no completar en fecha algún <i>checkpoint</i> no eliminatorio del concurso. . . . .	129
58	Evaluación de no cumplir los objetivos. . . . .	129
59	Evaluación de perder información del proyecto. . . . .	130
60	Evaluación de averías técnicas generales de <i>hardware</i> . . . . .	130
61	Evaluación de indisposición provisional del desarrollador por enfermedad. . . . .	130
62	Evaluación de infección de virus informático. . . . .	131
63	Evaluación de apagones de la red eléctrica. . . . .	131
64	Evaluación de cambio de las especificaciones del proyecto. . . . .	131
65	Evaluación de batería descargada del <i>rover</i> u ordenador de trabajo. . . . .	132
66	Evaluación de perder comunicación con el <i>rover</i> . . . . .	132
67	Evaluación de rotura del ordenador de trabajo. . . . .	132
68	Evaluación de sobrescribir alguna versión de desarrollo al generar una nueva. . . . .	133
69	Costes de personal. . . . .	134
70	Coste del robot. . . . .	135
71	Costes de herramientas <i>software</i> y <i>hardware</i> . . . . .	135
72	Evaluación económica total. . . . .	136
73	Librerías utilizadas y versiones. . . . .	153

# Índice de códigos

7.1	Definición del mensaje <i>geometry_msgs/msg/Vector3</i> . . . . .	62
7.2	Definición del mensaje <i>sensor_msgs/msg/LaserScan</i> . . . . .	62
7.3	Ejemplo de definición del mensaje de un servicio. . . . .	63
7.4	Ejemplo de definición del mensaje de una acción. . . . .	63
7.5	Mensaje personalizado para mover los motores. . . . .	64
7.6	Mensaje personalizado para mover los servomotores. . . . .	64
7.7	Mensaje personalizado para la <i>IMU</i> . . . . .	65
7.8	Mensaje personalizado para la interfaz gráfica de la cara. . . . .	65
7.9	Mensaje personalizado para la interfaz gráfica de la prueba de percepción. . . . .	65
7.10	Mensaje personalizado para la interfaz gráfica de la prueba de control. . . . .	65
7.11	Mensaje personalizado para el servicio de sacar una foto. . . . .	66
7.12	Mensaje personalizado para el servicio de adivinar el color y el número. . . . .	66
7.13	Mensaje personalizado para la acción de girar sobre sí mismo según el color y número identificado. . . . .	66
7.14	Generar valores distribuidos uniformemente en <i>Python</i> . . . . .	101
7.15	Definición del <i>LiDAR</i> virtual en el fichero <i>.sdf</i> . . . . .	103
10.1	Comandos <i>bash</i> para la instalación del servidor <i>SSH</i> . . . . .	148
10.2	Comandos <i>bash</i> para la instalación del cliente <i>SSH</i> . . . . .	149
10.3	Comandos <i>bash</i> para instalar y acceder a <i>raspi-config</i> . . . . .	149
10.4	Comando <i>bash</i> para reiniciar la <i>Raspberry Pi</i> . . . . .	149
10.5	Comando <i>bash</i> para crear la regla <i>udev</i> del puerto serie. . . . .	150
10.6	Regla <i>udev</i> del puerto serie. . . . .	151
10.7	Comando <i>bash</i> para crear la regla <i>udev</i> del puerto <i>I2C</i> . . . . .	151

10.8	Regla <i>udev</i> del puerto <i>I2C</i> . . . . .	151
10.9	Comando <i>bash</i> para añadir el usuario a los grupos con permisos en los puertos serie e <i>I2C</i> . . . . .	151
10.10	Activar automáticamente el espacio de trabajo de <i>ROS2</i> . . . . .	152
10.11	Contenido del fichero <i>.yaml</i> de parámetros del proyecto. . . . .	155
10.12	Implementación del servidor del servicio para sacar una foto. . . . .	156
10.13	Implementación de la función de respuesta del servidor del servicio para sacar una foto. . . . .	156
10.14	Solicitud del servicio desde el nodo <i>pertzepzio_proba_wrapper</i> para sacar una foto. . . . .	157
10.15	Implementación de la primera restricción geométrica. . . . .	158
10.16	Implementación de la segunda restricción geométrica. . . . .	158
10.17	Implementación y aplicación del modelo de color <i>HSV</i> y las máscaras con <i>OpenCV</i> . . . . .	159
10.18	Capturar imágenes para crear el <i>dataset</i> . . . . .	160
10.19	Aplicación del algoritmo <i>Canny</i> al <i>dataset</i> generado. . . . .	161
10.20	Generación de imágenes sintéticas. . . . .	162
10.21	División del <i>dataset</i> en <i>train</i> , <i>val</i> y <i>test</i> . . . . .	165
10.22	Codificación de la arquitectura y del entrenamiento del modelo <i>CNN</i> generado. . . . .	166
10.23	Generar los gráficos de las métricas del modelo <i>CNN</i> en <i>MATLAB</i> . . . . .	168
10.24	Comprobación del funcionamiento del <i>LiDAR</i> . . . . .	169
10.25	Generar los gráficos de la señal de control en <i>MATLAB</i> . . . . .	170
10.26	Código del nodo <i>servoak</i> . . . . .	171
10.27	Código del nodo <i>motorrak_roboclaw</i> . . . . .	173
10.28	Código del nodo <i>imu</i> . . . . .	176
10.29	Código del nodo <i>lidar</i> . . . . .	178
10.30	Código del nodo <i>kamera</i> . . . . .	181
10.31	Código del nodo <i>pertzepzio_proba_wrapper</i> . . . . .	184
10.32	Código del nodo <i>kontrol_proba_wrapper</i> . . . . .	190
10.33	Código del nodo <i>pertzepzio_proba</i> . . . . .	194

10.34 Código del nodo de la interfaz gráfica de la prueba de percepción. . . . .	196
10.35 Código del nodo de la interfaz gráfica de la prueba de control. . . . .	199
10.36 Código del nodo de la interfaz gráfica de la cara. . . . .	202
10.37 Código del nodo <i>imu_sim</i> . . . . .	206
10.38 Fichero <i>.sdf</i> para la definición del mundo y el robot en <i>Gazebo Harmonic</i> . .	208
10.39 Código del nodo de <i>Gazebo Harmonic</i> para la simulación de la prueba de control. . . . .	215

# Lista de acrónimos

**AGV** *Automated Guided Vehicle*

**AMR** *Autonomous Mobile Robot*

**API** *Application Programming Interface*

**ARM** *Advanced RISC Machine*

**BOE** Boletín Oficial del Estado

**CEA** Comité Español de Automática

**CNN** *Convolutional Neural Network*

**COTS** *Commercial Off The Shelf*

**CPU** *Central Process Unit*

**DC** *Direct Current*

**DDS** *Data Distribution Service*

**EDT** Estructura de Descomposición del Trabajo

**EIB** Escuela de Ingeniería de Bilbao

**FPS** *Frames Per Second*

**FSM** *Finite State Machine*

**IA** Inteligencia Artificial

**IFR** *International Federation of Robotics*

**I2C** *Inter-Integrated Circuit*

**JPL** *Jet Propulsion Laboratory*

**KNN** *K-Nearest Neighbors*

**LCD** *Liquid Crystal Display*

**LiDAR** *Light Detection And Ranging*

**LTS** *Long Term Support*

**MIT** *Massachusetts Institute of Technology*

**MLP** *Multilayer Perceptions*

**NASA** *National Aeronautics and Space Administration*

**ND** *Nearness Diagram*

**OCR** *Optical Character Recognition*

**ODS** Objetivos de Desarrollo Sostenible

**OSRF** *Open Source Robotics Foundation*

**PCB** *Printed Circuit Board*

**PID** Proporcional, Integral, Derivativo

**PWM** *Pulse Width Modulation*

**RAE** Real Academia Española

**RAM** *Random Access Memory*

**RC** *Radio Control*

**ROS** *Robot Operating System*

**ROS2** *Robot Operating System 2*

**SBC** *Single Board Computer*

**SDK** *Software Development Kit*

**SLAM** *Simultaneous Localization And Mapping*

**SRI** *Stanford Research Institute*

**SSH** *Secure Shell*

**SVM** *Support Vector Machine*

**TFG** Trabajo de Fin de Grado

**TTL** *Transistor-Transistor Logic*

# Lista de definiciones

**Framework:** conjunto de herramientas y bibliotecas que ofrece al usuario una organización y estructura básica para comenzar los desarrollos, generalmente de programación.

**Robot móvil:** máquina equipada con una estructura mecánica, *hardware* y *software* que le permite desplazarse de un lugar a otro.

**Robot móvil autónomo:** conocido por sus siglas en inglés *AMR (Autonomous Mobile Robot)*, es un robot móvil que utiliza diferentes dispositivos para percibir un entorno cambiante y desplazarse autónomamente.

**Robot de guiado automático:** conocido por sus siglas en inglés *AGV (Automated Guided Vehicle)*, es un robot móvil que se desplaza autónomamente a través de guías fijas instaladas en el entorno de operación.

**Rover:** robot móvil diseñado principalmente para la exploración espacial, para poder desplazarse y desempeñar diferentes tareas en distintos planetas o elementos astronómicos. A pesar de ello, sus aplicaciones se extienden a cualquier ámbito porque incorporan diversas herramientas, lo que los hace muy completos y versátiles.

**Robot industrial:** máquina, sistema o manipulador programable y multifuncional con varios grados de libertad, principalmente autómata, concebido para su implantación en los procesos productivos de la industria con el objetivo de automatizarlos y realizar tareas peligrosas. Por ello, estos robots son capaces de manipular materias, piezas, herramientas o dispositivos especiales según trayectorias variables programadas.

**Robot de servicio:** máquina que realiza tareas útiles para el ser humano, excluyendo las tareas realizadas por los robots industriales, por ejemplo, las tareas del hogar o el cuidado de personas.

**Robot médico:** robot de servicio orientado al campo de la salud.

**Robot colaborativo:** robot industrial o de servicio programado y diseñado para trabajar de forma colaborativa con humanos sin que suponga un riesgo físico para las personas. Suelen incluir sistemas que evitan el choque con las personas con el fin de evitar daños. Los robots colaborativos son conocidos por el nombre de *cobots*.

**Robot inteligente:** cualquier robot dotado de complejos algoritmos, por ejemplo, algoritmos de inteligencia artificial para procesar y responder a las diferentes situaciones que se plantean en su entorno.

**Humanoide:** autómata o máquina con forma humana capaz de realizar tareas humanas gobernado por un sistema no determinista, por ejemplo, sistemas de inteligencia artifi-

cial.

**Percepción:** proceso que recoge información del estado del entorno mediante sensores.

**Reconocimiento del entorno:** proceso basado en la percepción empleado por un robot para identificarse y ubicarse en el entorno en el que se encuentra. El uso de técnicas de inteligencia y visión artificial está muy extendido para desempeñar esta tarea.

**Inteligencia artificial:** según la RAE, *"disciplina científica que se ocupa de crear programas informáticos que ejecutan operaciones comparables a las que realiza la mente humana, como el aprendizaje o el razonamiento lógico"*.

**Visión artificial:** rama de la inteligencia artificial que permite a las máquinas ver, procesar y comprender las imágenes para reconocer el entorno.

**Gemelo digital:** réplica digital y virtual lo más exacta posible del sistema físico real que permite ejecutar simulaciones del comportamiento.

**Gemelo funcional:** componente *software* que permite probar el correcto funcionamiento de un sistema de control o algoritmo, respondiendo mediante activaciones ficticias o simuladas de las señales de control y valores de sensores.

# 1. Introducción

La robótica móvil es una rama de la robótica que se centra en el diseño y desarrollo de robots capaces de desplazarse de forma autónoma en distintos entornos. Se clasifica dentro de la denominada robótica de servicios, ya que su objetivo principal es asistir o ayudar a las personas y otros seres vivos en una amplia variedad de tareas. Este tipo de robótica se ha posicionado de manera referente en sectores como la logística, la agricultura, la asistencia médica y la exploración submarina y espacial [1].

En el ámbito espacial, los robots móviles, conocidos comúnmente como *rovers*, desempeñan un papel fundamental. Estos sistemas deben ser capaces de operar en entornos desconocidos, donde se enfrentan a desafíos extremos relacionados con la percepción del entorno, la navegación autónoma, la planificación de trayectorias y el control del movimiento [2]. Ejemplos emblemáticos de estos avances son los *rovers* enviados a Marte, como *Curiosity* y *Perseverance* (ver Ilustración 2), que han demostrado la importancia de contar con algoritmos robustos para sortear obstáculos y adaptarse a terrenos irregulares.

Empresas como *Sener*, han apostado por el desarrollo de soluciones avanzadas en este campo, impulsando iniciativas centradas en el diseño de *rovers* con sistemas de percepción sofisticados, gran agilidad y capacidades de control avanzadas para moverse en caminos desconocidos. En este contexto, se enmarca el concurso promovido por la Fundación *Sener*, *Sener-CEA's Bot Talent* [3, 4], cuyo objetivo es fomentar el desarrollo de soluciones tecnológicas para estos desafíos reales.

Este TFG tiene como propósito desarrollar algoritmos que den respuesta a los retos de percepción y control de un *rover* en escenarios no controlados, poniendo a prueba su capacidad de reacción ante situaciones impredecibles. La solución propuesta busca contribuir al avance de la robótica móvil.

## 1.1. Contexto

La robótica móvil autónoma tiene su origen en *ELsie* [5] en el año 1948 y en el precursor del AGV en 1954 [6]. Asimismo, en la misma década aparece por primera vez el concepto de robot industrial de la mano del inventor estadounidense George Devol, *Unimate*. Fue implantado en una cadena de montaje de la empresa *General Motors* en 1961 con el objetivo de automatizar tareas peligrosas para su ejecución por el ser humano. Devol fundó la primera empresa de fabricación de robots, *Unimation*, con la colaboración de Joseph Engelberger [7].

Todos estos robots eran electromecánicos, pues no existían las computadoras ni los procesadores. Las primeras computadoras aparecen a partir del año 1954 y la primera máquina controlada por una computadora en 1959, lo que permitió desarrollar los primeros *rovers* y brazos robóticos en los años 60 y 70.

Destacan *Lunojod 1*, lanzado por la Unión Soviética a la Luna en 1970 y *SHAKEY* [8], Ilustración 1, del *Stanford Research Institute (SRI)*, gobernado por cámaras, sensores y procesadores combinando *software* y *hardware*. La investigación realizada por el *SRI* obtuvo como resultado el algoritmo de búsqueda  $A^*$  y los primeros algoritmos de navegación y visión artificial.

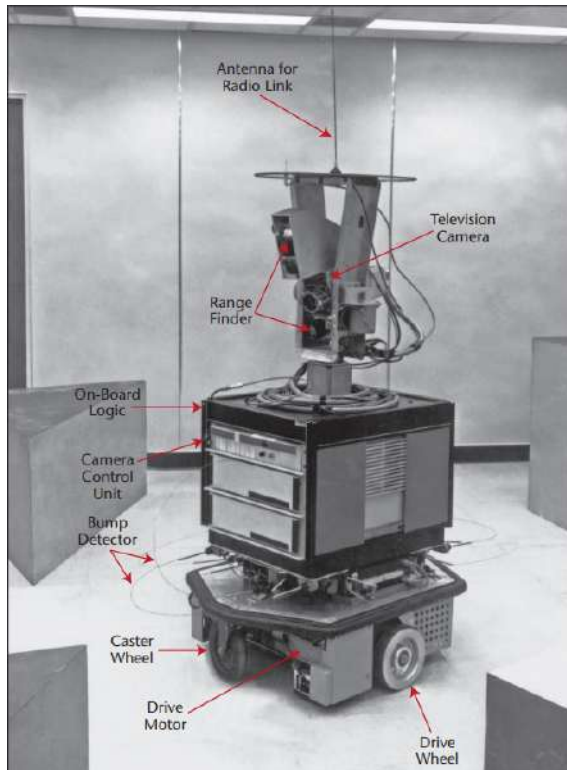


Ilustración 1: *SHAKEY*.

En la década de 1980 se desarrolla *AESOP* [9] (*Automated Endoscopic System for Optimal Positioning*) en el campo de la robótica médica. Este sistema fue el primero en emplear un brazo robótico controlado por voz para sostener y posicionar una cámara endoscópica durante cirugías mínimamente invasivas.

Estos nuevos casos de uso generaron mayor interés en el desarrollo de robots para la realización de tareas cotidianas, por lo que en la década de 1990 aparece la robótica colaborativa [10]. Este tipo de robótica pretende ocupar simultáneamente los espacios de trabajo tanto por personas como por robots sin que supongan un riesgo físico para los trabajadores.

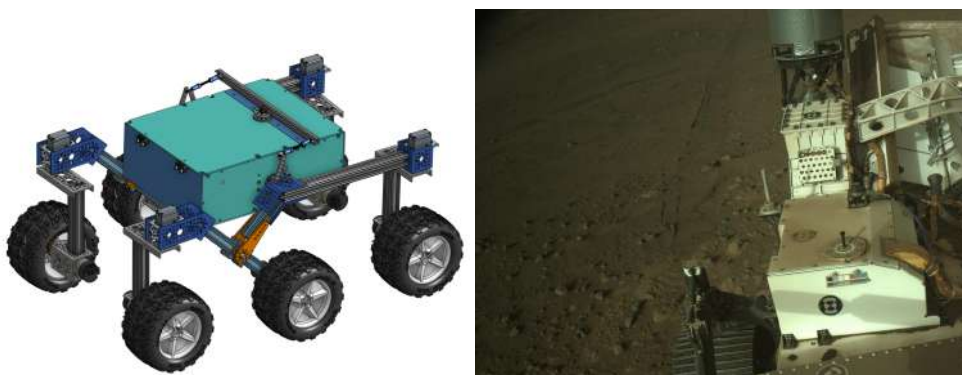
Consecuentemente, el desarrollo de *software* comenzó a ganar mayor relevancia en el campo de la robótica debido a que se necesitaban sistemas de control más sofisticados y flexibles. Plataformas como *ORCA* [11] en 2004 dentro del proyecto *OROCOS* [12] financiado por la Unión Europea, y *ROS* [13] en 2007 comenzaron a facilitar la creación

y personalización de sistemas robóticos, como por ejemplo la robótica de servicios, permitiendo una integración más eficiente entre *hardware* y *software*.

Hoy en día, las investigaciones en el sector de la robótica se centran en proporcionar mayor capacidad de acción autónoma a las máquinas. La *International Federation of Robotics* [14] ya anticipó las tendencias en el sector de la robótica para 2025. Entre ellas resaltan aspectos como la inteligencia artificial, los robots móviles y humanoides con mayores prestaciones, la sostenibilidad y eficiencia energética y nuevos campos de negocio en la robótica, aumentando su potencial y prestaciones en nuevos sectores.

La inteligencia artificial se presenta actualmente como la principal herramienta tecnológica para dotar a los robots y otras máquinas de capacidad para realizar nuevas tareas de forma autónoma, es decir, incrementar su autonomía. En este sentido, el reconocimiento del entorno es uno de los principales retos de la robótica inteligente. El objetivo es que un robot móvil autónomo sea capaz de decidir qué tareas realizar para ubicarse en entornos desconocidos y complejos. Para ello, es necesario incorporar una sensórica y algorítmica que solucionen los problemas de locomoción y navegación autónoma e inteligente [15].

Estos recursos son el aliado perfecto de los *rovers*. Capacitar a estos robots de percepción del entorno en el espacio exterior permite desarrollar investigaciones más intensivas y detalladas sobre otros planetas y cuerpos celestes, por ejemplo, Marte y la cara oculta de la Luna, a donde los humanos no podemos llegar. De hecho, la *NASA* publicó el proyecto *JPL Open Source Rover Project* [16], Ilustración 2, para proporcionar a desarrolladores e investigadores una base replicada de un *rover* real sobre la que trabajar. En el repositorio oficial proveen el listado de materiales necesarios, indicaciones básicas para comenzar el montaje y los pasos para configurar el sistema operativo. Además, los *rover* son máquinas muy versátiles e incorporan diferentes instrumentos y funcionalidades, lo que permiten trabajar e investigar diferentes aspectos de la robótica desde un mismo lugar de trabajo. Por ejemplo, combinan aprendizaje automático y actuadores, pudiendo incluir manipuladores colaborativos para aplicaciones en la robótica de servicios, probar los algoritmos de funcionamiento mediante gemelos funcionales y ser simulados en su totalidad mediante gemelos digitales.



**Ilustración 2:** A la izquierda, el *JPL Open Source Rover Project*. A la derecha, el *Perseverance* en Marte [17].

En este contexto, el *framework* de programación para robots *ROS*, actualmente *ROS2* y que incluye numerosas librerías *software*, se ha popularizado como punto de partida para el desarrollo de todo tipo de aplicaciones de robótica móvil autónoma e inteligente. Como muestra de ello la librería *Nav2* [18] posibilita la navegación de robots en entornos

complejos proporcionando herramientas y algoritmos de percepción, control, visualización y localización. También incluye simuladores como *Gazebo* [19], *Webots* [20] o *MV-Sim* [21] y la herramienta de visualización *RViz* [22], ampliamente utilizados hoy en día.

## 1.2. Motivación

Este trabajo está impulsado por el concurso de robótica *Sener-CEA's Bot Talent*, organizado por el grupo de ingeniería y tecnología Sener, la Fundación Sener y el Comité Español de Automática, CEA, y el interés del autor en el estudio del campo de la robótica móvil.

Los retos del certamen incluyen tareas de trabajo en equipo, *hardware*, *software*, configuración mecánica y electrónica del robot, aprendizaje automático y utilización de *ROS2*, así como la simulación de robots. Por todo ello, resulta un entorno atractivo para desarrollar soluciones encaminadas hacia la robótica móvil autónoma con aplicación real.

Asimismo, este proyecto permite combinar el desarrollo de *software* de inteligencia artificial, una de las mayores tendencias actuales de la ingeniería informática, con herramientas de desarrollo de aplicaciones de robótica. Este factor ha sido clave en la elección y definición de la temática del trabajo, generando un aprendizaje relevante en el campo de la robótica inteligente.

## 1.3. Estructura de la memoria

La memoria se organiza en diez capítulos y dos anexos, donde se detalla la configuración del *rover*, las librerías empleadas y el código resultante de la solución desarrollada.

La lista de acrónimos contiene el significado de las siglas mencionadas en el trabajo.

La lista de definiciones describe el significado de diferentes conceptos nombrados a lo largo de la memoria.

En el Capítulo 1 se introduce el trabajo junto a su contexto y motivación para su realización.

En el Capítulo 2 se presenta el objetivo, alcance y los beneficios de realizar este trabajo.

En el Capítulo 3 se realiza un breve estudio de las soluciones actuales existentes en el marco del objetivo establecido.

En el Capítulo 4 se describen las especificaciones y requisitos con los que se trabaja y que delimitan el desarrollo de la solución.

En el Capítulo 5 se comentan los componentes físicos empleados para implementar la solución trabajada.

En el Capítulo 6 se realiza el análisis y el diseño de la arquitectura del sistema a desarrollar. Se identifican las operaciones que el robot tiene que realizar, las funciones que las implementan y el orden o secuencia de ejecución.

En el Capítulo 7 se expone el proceso del desarrollo de la solución implementada. Se

abordan diferentes posibilidades y se justifica mediante métricas y gráficos los mejores resultados obtenidos. Durante la explicación, se referencia a las porciones de código correspondientes a cada tarea presentadas en el Anexo II.

En el Capítulo 8 se describen las pruebas realizadas sobre la implementación y los resultados obtenidos para evaluarlos acorde a los requisitos establecidos.

En el Capítulo 9 se presenta la planificación establecida para el desarrollo de este trabajo. Esta planificación incluye la identificación, organización y detallado de tareas y la evaluación económica.

En el Capítulo 10 se concluye el resultado del proyecto, comparando los resultados con los objetivos. También se plantean diferentes líneas de trabajo para dar continuidad al trabajo y se enlaza el repositorio público.

Finalmente, se incluye la bibliografía consultada y los anexos I y II.

## 2. Objetivos, alcance y beneficios

### 2.1. Objetivos

El objetivo general es desarrollar algoritmos de percepción en el entorno y control que permitan a un *rover* identificar números y colores y desplazarse por un entorno cerrado. Este objetivo se enmarca en el concurso *Sener-CEA's Bot Talent*.

Asimismo, para alcanzar el objetivo general se definen los siguientes objetivos específicos:

- realizar el montaje mecánico del *rover*, ensamblando tanto los componentes mecánicos como la fijación del posicionamiento de los sensores.
- realizar el montaje electrónico del *rover*, incluyendo el cableado, la integración de los sensores y controladores con la placa base y el ordenador.
- diseñar una arquitectura de *software* modular que sea escalable y fácilmente adaptable a las diferentes necesidades de cada prueba para reutilizar código.
- implementar los algoritmos diseñados utilizando el *framework ROS2*.
- validar el desarrollo en escenarios reales, evaluando su rendimiento, robustez y capacidad de adaptación a diversas situaciones dinámicas.
- documentar detalladamente cada etapa del desarrollo para facilitar su comprensión y uso por otros investigadores o desarrolladores.
- participar en el concurso con la solución propuesta desarrollada.

### 2.2. Alcance

El alcance de este proyecto son las pruebas de percepción y control en un escenario desconocido del certamen *Sener-CEA's Bot Talent*. No se abordarán los desarrollos para la prueba de navegación y final.

Estas pruebas se describen en el Capítulo 4.

### 2.3. Beneficios y ODS

La realización de este proyecto aporta numerosos beneficios desde una perspectiva tanto técnica como social y económica.

Desde un punto de vista técnico, este trabajo introduce combinación de diferentes tecnologías para ofrecer un nuevo enfoque a la hora de crear aplicaciones inteligentes para robots móviles. El reconocimiento del entorno, mediante la identificación de símbolos, colores o formas junto con el control reactivo y preciso de los movimientos contribuye a aumentar la colección de desarrollos ya existentes con el objetivo de servir como inspiración para crear infraestructuras tecnológicas más avanzadas e innovadoras en la industria de la robótica móvil.

Además, se combina con *ROS2*, por lo que el trabajo sigue estándares abiertos que garantizan la accesibilidad a estos desarrollos, alineándose con el ODS 9 de Industria, Innovación e Infraestructura.

Por otro lado, dotar a los robots móviles de mayores capacidades autónomas como las trabajadas en este proyecto abre nuevas posibilidades en los campos de la asistencia a personas con discapacidad visual o cualquier persona que requiera de atención especializada. Asimismo, gran parte de la implementación del código se ha redactado en euskera con el fin de generar más contenido educativo y divulgativo en este idioma, alineándose con el ODS 4 de Educación de Calidad.

En esta misma línea, se ha hecho uso de simulaciones como herramienta clave para garantizar la posibilidad de desarrollar y experimentar con estas tecnologías incluso en contextos donde no se disponga de los recursos materiales necesarios, lo que refuerza su valor educativo, de igualdad y su contribución al ODS 4.

Por último, la implementación de estos algoritmos tiene el potencial de generar ahorros significativos y mejorar la eficiencia operativa en diversas industrias. El uso de visión artificial reduce la necesidad de intervención humana en el procesamiento y análisis de información visual, lo que optimiza el tiempo y los recursos empleados en tareas de monitorización o inspección. Consecuentemente, surgen nuevas demandas, oportunidades y ofertas laborales con diferente especialización. Estas últimas ventajas se enmarcan en el ODS 8 de Trabajo Decente y Crecimiento Económico.

# 3. Estado del arte

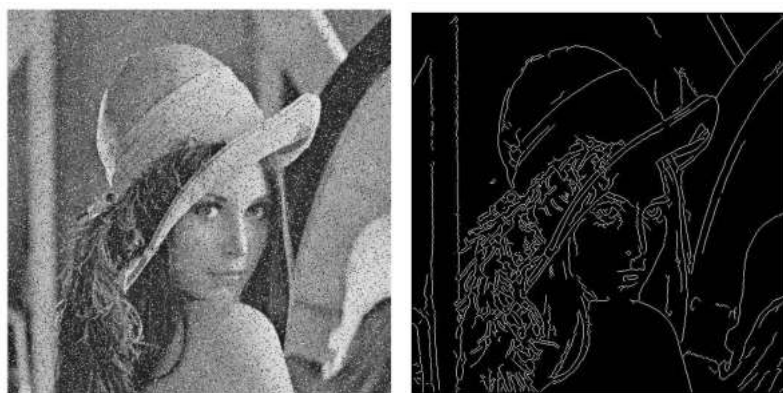
En este capítulo se estudian las diferentes soluciones tecnológicas desarrolladas por otros autores en lo referente a reconocimiento de colores y números mediante visión artificial, algoritmos de control y arquitecturas en *ROS2*.

## 3.1. Soluciones basadas en IA para percepción del entorno

Para el reconocimiento de colores la mayoría de trabajos se basan en la codificación de las imágenes. Un ejemplo de ello se puede leer en [23], donde se abordan diferentes métodos como *RGB* y *HSL*.

Para el reconocimiento de números diversas publicaciones utilizan técnicas de inteligencia artificial para procesar las imágenes e identificar los patrones necesarios. El trabajo [24] compara diferentes estrategias para identificar dígitos manuscritos. Entre estas técnicas se encuentran *MLP*, *SVM*, *Random Forest* y *Naive Bayes*. Otra herramienta para la clasificación de los números es el algoritmo *KNN* y las redes *CNN* como se describen en [25], siendo esta última junto con el *Deep Learning* la técnica más extendida [26].

Asimismo, en trabajos como [27] y [28] se aplica a las imágenes un procesamiento previo mediante el algoritmo *Canny*. Este algoritmo permite obtener y resaltar los bordes de los elementos que aparecen en la imagen para mejorar la tarea de identificación automática. La importancia de utilizar este procesamiento se observa en los resultados del trabajo investigador [29]. El resultado generado mediante el algoritmo *Canny* se puede ver en la Ilustración 3.



**Ilustración 3:** Ejemplo del resultado tras aplicar el algoritmo *Canny* [27].

### 3.1.1. Definición y conceptos básicos de las redes neuronales

Una red neuronal artificial es un modelo computacional y matemático inspirado en el funcionamiento del cerebro humano, diseñado para procesar información y aprender de los datos de manera similar a como lo hacen las neuronas biológicas [30]. Está compuesta por nodos o neuronas artificiales organizadas en capas de entrada, ocultas y de salida, donde cada nodo recibe señales, las procesa mediante funciones matemáticas y transmite el resultado a otros nodos de la siguiente capa, Ilustración 4. Estos modelos forman parte del ámbito de estudio del aprendizaje profundo o *Deep Learning*.

Son una de las herramientas más eficaces para el reconocimiento de formas y patrones, tarea fundamental en la identificación automática de números y caracteres, puesto que se basa en la capacidad de las neuronas para aprender, a partir de grandes volúmenes de ejemplos, las características distintivas que diferencian cada dígito o símbolo.

Durante el proceso de aprendizaje o entrenamiento, la red neuronal analiza múltiples representaciones de datos, en este caso de imágenes de números, y extrae patrones visuales relevantes como la forma y la curvatura de los trazos. La calidad del conjunto de datos empleado es transcendental para ajustar los pesos de manera correcta, es decir, los parámetros numéricos asociados a cada conexión entre neuronas que determinan la importancia o influencia que la neurona tiene sobre otra en el procesamiento de la información. Cuando una neurona recibe varias entradas, cada una de ellas se multiplica por su peso correspondiente antes de sumarse, y la suma ponderada resultante pasa por una función de activación que genera la salida de la neurona.

Una vez entrenada, la red es capaz de clasificar nuevas imágenes de números, incluso si presentan variaciones en tamaño, grosor o estilo, gracias a su habilidad para generalizar a partir de los patrones aprendidos.

Uno de los principales riesgos es el sobreajuste u *overfit*, es decir, aprenderse de memoria los ejemplos utilizados durante el entrenamiento y por tanto, no ser capaz de predecir correctamente imágenes no estudiadas. Para prevenir este fenómeno y conseguir que el modelo generalice adecuadamente la validación se realiza con un conjunto de datos no utilizado durante el entrenamiento y se aplican técnicas de regularización como *L1* y *L2*, *dropout* y *batch normalization*.

La normalización de *batch* consiste en calcular la media y la varianza de las salidas de una determinada capa para normalizar los datos y que sigan una distribución con media cero y varianza uno. Esta normalización genera activaciones uniformes de la capa y estabiliza el entrenamiento.

Por otro lado, la regularización por *dropout* apaga temporalmente algunas neuronas para que el modelo no genere dependencia hacia ninguna de ellas. Para ello, las salidas de las neuronas se establecen a cero con cierta probabilidad, y la tasa de *dropout* indica el porcentaje de la cantidad de neuronas a apagar.

Y finalmente, la regularización *L1* y *L2* añade penalizaciones a la función de pérdida para incentivar al modelo a aprender pesos más pequeños. La primera de ellas añade al error del modelo un término proporcional a la suma de los valores absolutos de los pesos, mientras que la segunda agrega un término proporcional a la suma de los cuadrados de los pesos. Esta regularización evita que algunas conexiones dominen excesivamente el modelo.

Estas redes se caracterizan por los hiperparámetros y los parámetros.

Por un lado, los hiperparámetros son las variables de configuración externas al modelo definidas por el usuario. El número y tipo de capas, las funciones de activación, el algoritmo de optimización y la función de coste, la estrategia de regularización, número de épocas o *epochs*, la tasa de aprendizaje o *learning rate* y el tamaño del *batch* son hiperparámetros. Estos valores no se aprenden a partir de los datos, sino que están predefinidos y deben ser ajustados manualmente.

Las capas son de tres tipos principales: entrada, ocultas y salida. La capa de entrada recibe los datos y los propaga a las capas ocultas hasta llegar a la capa de salida que proporciona de manera interpretable el resultado de las operaciones de las capas ocultas. Las capas ocultas pueden ser convolucionales, de activación, de agrupamiento o *pooling* y de normalización.

Las funciones de activación introducen no linealidad a la red, lo que le permite descubrir relaciones complejas no necesariamente lineales. Las funciones utilizadas en este trabajo son *ReLU*, que devuelve el valor de entrada si es positivo y cero si es negativo, y *softmax*, que en problemas de clasificación multiclase convierte el vector de *logits*, valores de salida de una capa previo a la aplicación de la función de activación, en una distribución de probabilidades, donde cada elemento indica la probabilidad de pertenecer a una clase específica y cuya suma total es uno.

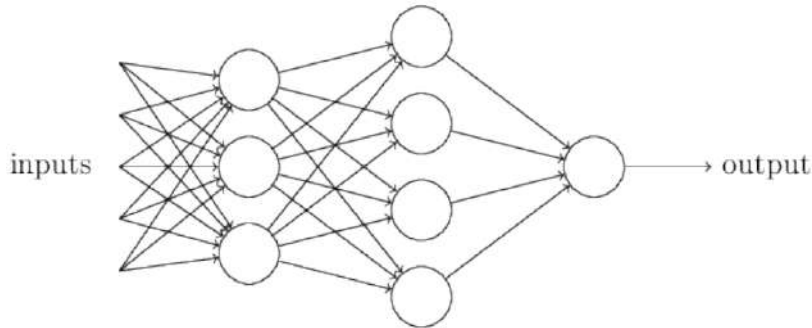
Los algoritmos de optimización se utilizan para implementar el ajuste de parámetros o de pesos. El objetivo es minimizar el error, por lo que el algoritmo de optimización utiliza funciones de pérdida como *loss function*, *backpropagation*, descenso del gradiente y *categorical cross-entropy* para ajustar automáticamente los pesos. Este último ha sido el utilizado en este trabajo y consiste en medir cuánto de lejos están las probabilidades predichas de la clase verdadera para penalizar fuertemente si el modelo asigna baja probabilidad a la clase correcta y recompensar si la probabilidad es alta. Los algoritmos de optimización más extendidos son *Adam*, *RMSprop* y *Momentum* [30].

Las *epochs* son el número de veces que el modelo recorre completamente todo el *dataset* de entrenamiento durante el aprendizaje. Una *epoch* corresponde a un ciclo completo en el que todas las instancias del subconjunto de entrenamiento son procesadas una vez por el modelo.

Los *batch* son pequeñas muestras del subconjunto de entrenamiento que se procesan juntas en una sola iteración antes de actualizar los parámetros del modelo. El subconjunto se divide en *batches* o lotes porque procesar todo el *dataset* de una vez es computacionalmente muy costoso. Es decir, si se tienen quinientos ejemplos de entrenamiento y un tamaño de lote de cien, el número de lotes es de cinco. Estos cinco lotes se procesan secuencialmente hasta haber procesado las quinientas instancias. Entre cada lote se ajustan y modifican los parámetros.

El *learning rate* es la tasa de convergencia del modelo, es decir, la rapidez con la que converge al objetivo o respuesta deseada. Cuanto mayor sea menor número de épocas será necesaria, pero puede no llegar a converger.

Por otro lado, los parámetros son los pesos de las conexiones entre las neuronas y son aprendidos automáticamente por la red. Estos pesos son valores numéricos que determinan la fuerza o la importancia de la conexión entre dos neuronas.



**Ilustración 4:** Representación visual de una red neuronal artificial [31].

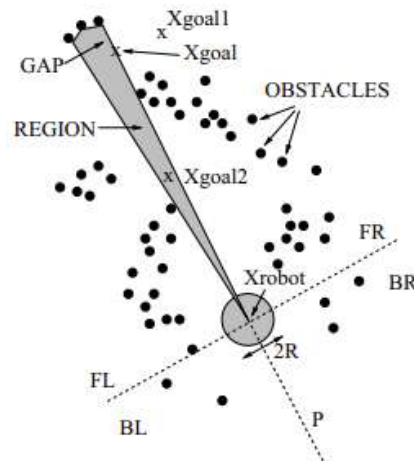
## 3.2. Algoritmos de control

En la parte de control se identifican dos apartados: uno relativo a la estrategia utilizada y otro para el control de los movimientos.

En cuanto a las estrategias, la más destacada es *SLAM*. Este proceso genera un mapa del entorno y localiza el robot en dicho entorno mientras se desplaza. En el trabajo [32] se propone un modelado utilizando tanto cámaras como escáneres de dos dimensiones, mientras que en el trabajo [33] se plantea una alternativa de bajo costo para esta tarea.

Por otro lado, también existen estrategias que no involucran la generación de un mapa del entorno. Los trabajos [34], [35], [36] y [37] centran su desarrollo en la obtención de la distancia del robot a los objetos de su entorno o la identificación de un espacio libre para poder desplazarse sin colisionarse. Concretamente, en [34] y [35] se implementa en *ROS* el algoritmo de persecución pura reactiva definida en [38], y en [36] y [37] el algoritmo *ND* de la Ilustración 5, donde los obstáculos se representan con círculos negros y el hueco o la región sin obstáculos calculada según las equis objetivo sombreada en color gris.

En cuanto al control de los movimientos, en [39] y [40] se implementa un controlador PID en el lenguaje de programación *Python* para el seguimiento de líneas dibujadas sobre el terreno y corrección de desviaciones en la trayectoria para su aplicación en robótica educativa de *Lego*.



**Ilustración 5:** Representación gráfica del algoritmo *ND* [36].

### 3.3. Arquitecturas en *ROS2*

Mediante la arquitectura en *ROS2* se hace referencia a cómo se van a estructurar las tareas a desarrollar dentro el ecosistema de este *framework*.

En el trabajo [41] se proponen tareas ejecutables o nodos clasificados por niveles de funcionalidad. Cada nivel desempeña una labor diferente, como se observa en la Ilustración 6.

El nivel alto se encarga de la percepción, el nivel medio de generar patrones de movimiento y el nivel bajo del control en lazo cerrado de los actuadores.

Por otra parte, los desarrolladores del *JPL Open Source Rover Project* [16] proponen una arquitectura basada en niveles de abstracción. Este planteamiento consiste en separar los nodos o ejecutables de interacción con el *hardware*, mínima abstracción, de los que implementan los algoritmos, máxima abstracción.

Para intercambiar información entre ambos niveles se crea una capa *wrapper*, es decir, un ejecutable que “envuelve” a los componentes de bajo nivel para adaptar su interfaz y funcionamiento permitiendo que los módulos de alto nivel interactúen con ellos de manera sencilla e intuitiva.

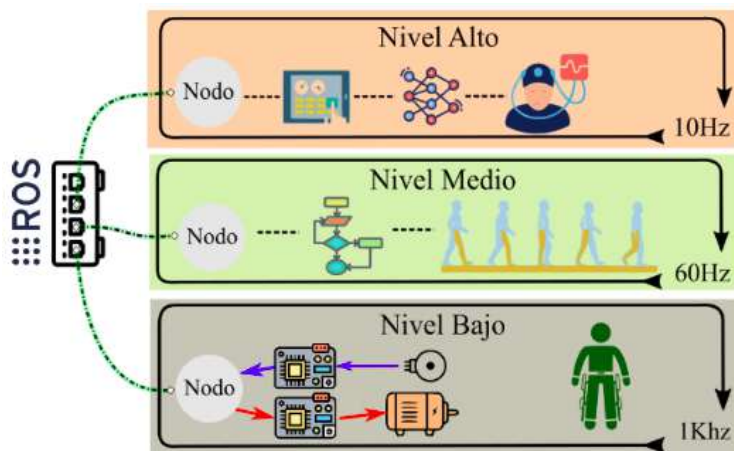


Ilustración 6: Arquitectura por niveles de tareas en *ROS2* [41].

# 4. Descripción de las especificaciones

A lo largo de este capítulo se detallan las especificaciones establecidas por la organización del concurso *Sener-CEA's Bot Talent 2025* [3, 4]. Junto con la descripción de las pruebas se explican los criterios de evaluación de la organización, las restricciones técnicas impuestas sobre las plataformas y los hitos de seguimiento o *checkpoints* que deberán ser superados para poder participar en la Final de Madrid del 6 de mayo de 2025.

Una de las principales normas es que la realización de cambios en las plataformas está permitida siempre y cuando estas no supongan una modificación sustancial de las prestaciones del *rover* y que aporten una ventaja competitiva. Por ejemplo, añadir más sensores está prohibido. Todos estos cambios tienen que ser notificados a la organización y aprobados previamente por ellos.

## 4.1. Establecimiento de *checkpoints*

Los *checkpoints* son pruebas intermedias fijadas por la organización para realizar el seguimiento de los equipos. La superación de estas pruebas garantiza que el equipo va adquiriendo los conocimientos y destrezas necesarias para la realización de todas las pruebas y por tanto, da acceso a participar en la final presencial del concurso.

Estas pruebas incluyen tareas básicas de percepción en el entorno, control de los actuadores y navegación y posicionamiento del *rover*.

Por ejemplo, las pruebas intermedias ligadas a este trabajo son el *checkpoint dos*, que exige mostrar cómo el robot es capaz de moverse y desplazarse, el *checkpoint tres*, para mostrar que el equipo es capaz de reconocer colores y números mediante visión artificial, y el *checkpoint seis*, para demostrar a la organización que el equipo es capaz de recoger información del sensor *LiDAR* e interpretarlos para generar una acción.

En resumen, estos exámenes prácticos parciales posibilitan desarrollar modularmente las capacidades necesarias para solucionar las pruebas del concurso.

## 4.2. Descripción de las pruebas

### 4.2.1. Prueba de percepción

La primera prueba a la que se debe enfrentar el *rover* en el concurso *Sener-CEA's Bot Talent* es de percepción. Concretamente, la percepción es el proceso mediante el que el robot obtiene información de su entorno utilizando diferentes sensores para obtener un reconocimiento del entorno.

La prueba consiste en identificar el color y el dígito de la caja cuadrada situada frente a la cámara del robot y realizar un giro sobre sí mismo. El sentido de giro y el número de vueltas total a dar vendrá dado por el color y número reconocido, respectivamente.

El color podrá ser azul, rojo o cualquier otro que se cataloga como "distractor", mientras que los números podrán ser del uno al nueve, incluyendo la categoría de "sin número". El color azul indica que el giro debe realizarse en sentido antihorario y el color rojo en sentido horario.

La caja tiene cuarenta centímetros de lado y se coloca a 1,5 metros del robot. En la Ilustración 7 se observa que el dígito tiene un tamaño aproximado de 20 centímetros de lado y la fuente es *Trebuchet MS*.

La puntuación de esta prueba consta de tres partes: 50 puntos para todos los colores bien identificados, 50 puntos para todos los números de cajas bien identificados y haber girado el número de vueltas correspondiente, y 10 puntos de penalización por cada equivocación con cajas distractoras.

En resumen, la puntuación se obtiene de la siguiente fórmula:

$$50 \cdot \left( \frac{n \text{ colores correctos}}{n \text{ cajas}} \right) + 50 \cdot \left( \frac{n \text{ números no distractores correctos}}{n \text{ cajas no distractoras}} \right) - 10 \cdot n \text{ distractores incorrectos}$$

### 4.2.2. Prueba de control

La segunda prueba del concurso *Sener-CEA's Bot Talent* es de control.

El control es el proceso mediante el que el robot actúa sobre sus dispositivos. En este caso, el control es reactivo porque utiliza sensores para captar información del entorno y en base a esas entradas realiza una acción u otra.

La prueba consiste en recorrer un laberinto cerrado, con anchura fija y giros de 90 grados manteniéndose lo más centrado posible en el carril y sin chocarse con las paredes. Se puede observar un ejemplo en la Ilustración 7.

La anchura del laberinto es de 1,5 metros y se utilizan unas líneas de control, de anchura 1 metro, para evaluar lo centrado que se desplaza el *rover*.

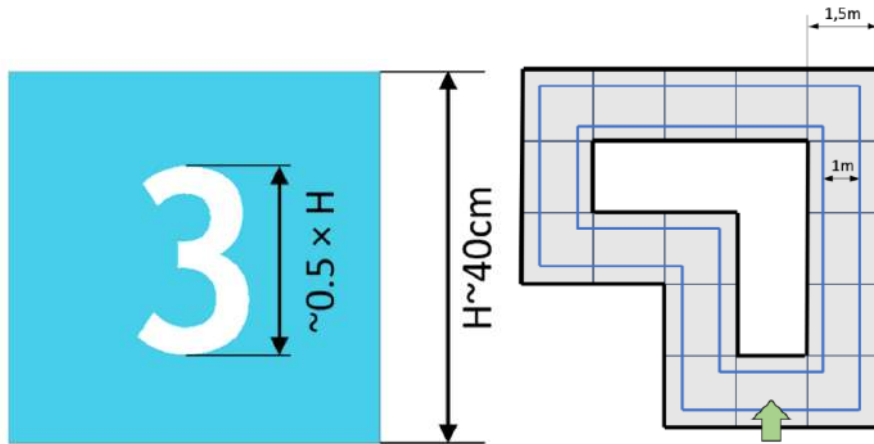
La puntuación de esta prueba consta de dos partes: 50 puntos referentes a lo centrado que se desplaza el *rover*, dentro de las líneas de control (*LdC*), y 50 puntos destinados a evaluar la velocidad a la que el robot resuelve la prueba.

Para evaluar la rapidez se emplea el mejor tiempo de entre todos los participantes y se establece un máximo de 5 minutos, para el que se obtendría una puntuación de 0 puntos

en este apartado.

En resumen, la puntuación se obtiene de la siguiente fórmula:

$$[50 \cdot (1 - \frac{n \text{ LdC mal}}{n \text{ LdC total}})] + [50 \cdot (1 - \frac{t_{robot} - t_{mejor}}{t_{máx \text{ definido}} - t_{mejor}})]$$



**Ilustración 7:** A la izquierda, ejemplo con las especificaciones de la caja cuadrada. A la derecha, ejemplo con las especificaciones del laberinto.

# 5. Componentes y montaje del rover

Para solucionar los retos del concurso se proporciona la plataforma *JPL Open Source Rover Project* con los materiales y componentes necesarios para su montaje: una placa *Raspberry Pi 4B* de 8GB de memoria RAM con tarjeta micro-SD y cables de conexión necesarios, una cámara *Orbbec Astra Pro Plus*, un sensor *LiDAR YDLIDAR X4*, un sensor *IMU Adafruit BNO055* y una batería *Lipo 4s 14.8V* con cargador.

Es una versión simplificada y de código abierto del *rover* de seis ruedas que el *JPL* utiliza para explorar la superficie del planeta Marte, *Perseverance* [42]. Está diseñado con piezas y materiales *COTS*, es decir, con piezas disponibles en proveedores comerciales que no requieren fabricación especializada o personalizada. Este proyecto fue creado para ofrecer una experiencia de enseñanza y aprendizaje en los ámbitos de ingeniería mecánica, *software*, electrónica y robótica.

## 5.1. Estructura mecánica

La estructura mecánica del *rover* se divide en tres subsistemas: el chasis, las patas con las ruedas y la caja de metacrilato. Estas tres partes principales se muestran en la Ilustración 8.



**Ilustración 8:** Subsistemas de la estructura mecánica del *rover*: chasis (izquierda), ruedas (centro) y caja de metacrilato donde se colocarán las placas de control (derecha). [16].

Tanto el chasis como las patas utilizan los perfiles de aluminio de montaje universal *goRAIL* [43] de la Ilustración 9.

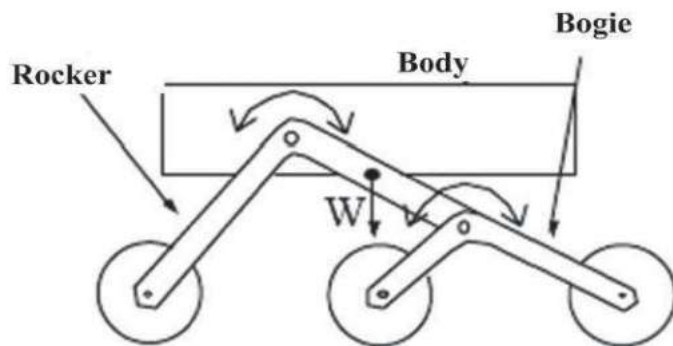


**Ilustración 9:** Perfil de aluminio de montaje universal *goRAIL* [43].

El chasis incorpora una suspensión de tipo *rocker-boogie*. Esta suspensión le permite superar obstáculos de un 50 % mayor que el diámetro de sus ruedas motrices, motivo por el que es la suspensión más utilizada en el diseño y fabricación de estos robots [44].

Este sistema está compuesto por dos piezas, *rocker* y *boogie*, unidas por una articulación libre. La parte *rocker* se une al cuerpo del robot mediante una articulación diferencial, por tanto, cuando un *rocker* sube, el del otro lado baja.

En la Ilustración 10 se muestra el esquema de esta suspensión y en la Ilustración 11 el funcionamiento de la suspensión en el *rover* con el que se ha trabajado.



**Ilustración 10:** Esquema de suspensión *rocker-boogie* [45].



**Ilustración 11:** Movimiento del *rocker* y del *boogie*.

El *rover* tiene seis ruedas. Cuatro de ellas, las situadas en las esquinas o extremos, cuentan con un servomotor cada una para cambiar la dirección de la rueda, permitiendo al robot moverse en distintas direcciones.

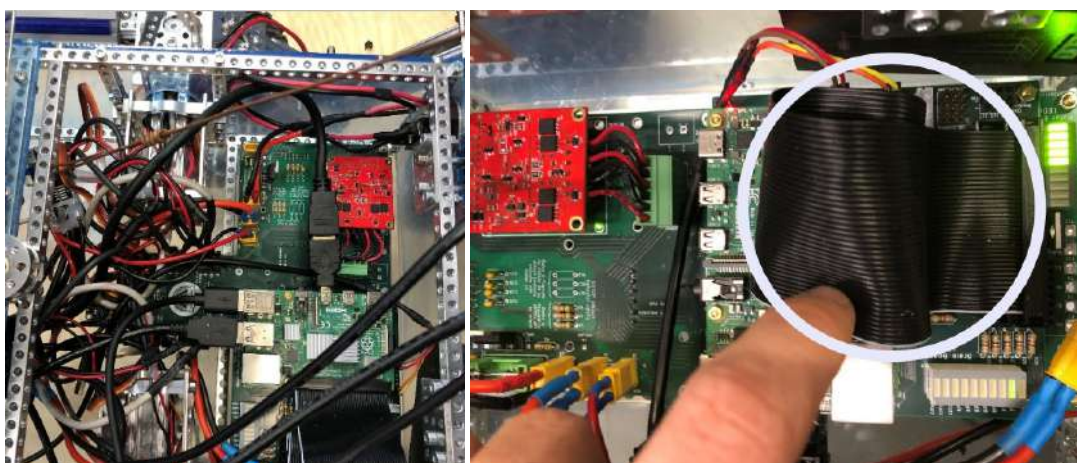
## 5.2. Componentes electrónicos y sensores

### 5.2.1. Placa base o PCB

La placa base o *PCB* es el circuito electrónico impreso encargado de conectar y conducir la alimentación a todos los dispositivos. En este proyecto la *CPU* no viene integrada en la placa, sino que la *Raspberry Pi* se conecta modularmente mediante una *brain board* y un bus que le proporciona alimentación y comunicación con la placa y dispositivos conectados a la misma.

Algunos componentes como la *IMU* y los controladores de los motores se conectan a la placa, mientras que otros como la cámara y el *LiDAR* a los puertos *USB* de la *Raspberry Pi*.

La placa base puede verse en las ilustraciones 12 y 13 y se incluye en la plataforma *JPL Open Source Rover Project* [16].



**Ilustración 12:** Placa base conectada y bus de conexión con la *Raspberry Pi*.



**Ilustración 13:** Placa base [16].

### 5.2.2. Motores y encoders

Los motores utilizados son los *5203 Series Yellow Jacket Planetary Gear Motor (26.9:1 Ratio, 24mm Length 8mm REX Shaft, 223 RPM, 3.3 - 5V Encoder)* [46]. En la Ilustración 14 se puede ver uno de los motores que da movilidad al *rover*.

Son motores de corriente continua (*DC*) con escobillas diseñados específicamente para aplicaciones de robótica que requieren de alta precisión y durabilidad. Las escobillas son piezas de material conductor, normalmente carbono, que hacen contacto con el conmutador del motor para permitir que la corriente fluya a través de las bobinas del rotor y genere el campo magnético necesario para que el motor gire. Una ventaja de estos motores es que son los más sencillos y los más económicos, aunque suelen necesitar mantenimiento por el desgaste de las escobillas.

Funciona a doce 12V (voltios) con una corriente sin carga de 250mA (miliamperios), tiene una fuerza de rotación, torque o par motor máximo de 38kg/cm (kilogramos por centímetro) y la relación de engranajes interna es de 26.9:1, es decir, el motor debe girar 26,9 veces para que el eje de salida dé una vuelta completa. Se controlan mediante una señal *PWM* (*Pulse Width Modulation*).

Por último, mencionar que incluyen *encoders* integrados. Estos sensores son de tipo magnético, funcionan tanto a 3,3V como a 5V y miden la posición y velocidad de rotación del eje del motor. Para ello, proporcionan pulsos eléctricos que permiten contar cuántas vueltas ha dado el eje. La documentación del fabricante indica que se generan 28 pulsos por revolución del motor interno, es decir, previo a la reducción de engranajes.

Los motores se incluyen en la plataforma *JPL Open Source Rover Project* [16].

### 5.2.3. Servomotores

Los servomotores empleados son los *2000 Series Dual Mode Servo (25-2, Torque)* [47] de la Ilustración 14. Estos dispositivos son motores eléctricos que, a diferencia de un motor normal, permiten controlar con precisión la posición, velocidad y aceleración de su eje mediante un sistema de retroalimentación. Esto posibilita ajustar el movimiento del motor para que coincida con una señal de control.

Este modelo es de corriente continua y tiene dos modos de operación: el modo posicional, que permite rotar hasta 300 grados sexagesimales con retroalimentación de posición mediante una señal *PWM*, y el modo de rotación continua, que gira de manera continua controlando la velocidad también mediante una señal *PWM*. El modo posicional es el más habitual.

La relación de engranajes es de 300:1 y puede funcionar con diferentes voltajes dentro del rango 4,8V - 7,4V. En función del voltaje aplicado, su velocidad, torque y corriente varía. Estos datos se recogen en la Tabla 1.

Además, los servomotores ejercen fuerza para mantener la posición, por lo que cuanto mayor sea la carga a la que se someta el servomotor, mayor será la corriente que circule por él, pero nunca superior a la corriente máxima. Consecuentemente, el consumo es dependiente de la carga.

Los servomotores se incluyen en la plataforma *JPL Open Source Rover Project* [16].

	<b>4,8V</b>	<b>6,0V</b>	<b>7,4V</b>
<b>Velocidad sin carga (RPM)</b>	40	50	60
<b>Torque máximo (kg/cm)</b>	17,2	21,6	25,2
<b>Corriente sin carga (mA)</b>	150	160	200
<b>Corriente máxima o de parada (mA)</b>	2000	2500	3000

**Tabla 1:** Características del modelo de servomotor utilizado.



**Ilustración 14:** A la izquierda, el motor con *encoder* [46]. A la derecha, el servomotor [47].

#### 5.2.4. Cámara *Orbbec Astra Pro Plus*

Es un dispositivo avanzado de captura en tres dimensiones que integra un sensor de imagen *RGB* y un sensor de profundidad basado en luz estructurada, permitiendo obtener tanto imágenes en color de alta resolución como mapas de profundidad precisos.

Captura simultáneamente la imagen de color y la distancia asociada a cada píxel. La resolución de las imágenes de color es de 1920x1080 píxeles y la del sensor de profundidad de 640x480 píxeles, ambas a 30 *FPS* (*Frames Per Second*). La precisión de la medición de la profundidad es de  $\pm 3$  mm a 1 metro y el rango máximo 8 metros.

El campo de visión de la imagen es de 66,1 grados en horizontal y 40,2 grados en vertical, mientras que el del sensor de profundidad es de 58,4 grados en horizontal y 45,5 grados en vertical.

Se conecta directamente a la *Raspberry Pi* mediante un único *USB* para la alimentación y los datos y utiliza una corriente de aproximadamente 200mA sin abrir la captura y 500mA durante la captura de imágenes.



**Ilustración 15:** Aspecto visual de la cámara *Orbbec Astra Pro Plus* [48].

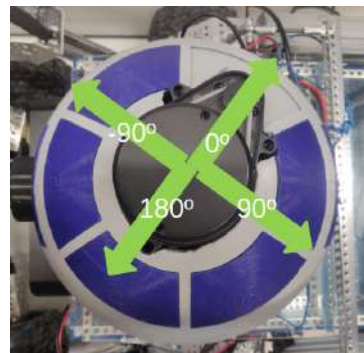
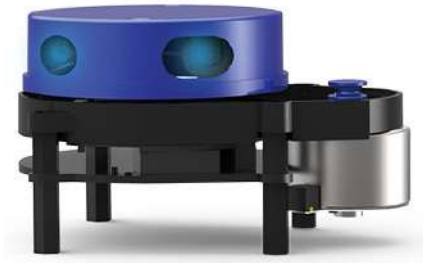
### 5.2.5. LiDAR YDLIDAR X4

Por sus siglas en inglés, *Light Detection And Ranging*, es un dispositivo que obtiene información del entorno mediante la emisión de pulsos láser. Estos pulsos rebotan en los objetos del entorno y vuelven al sensor para calcular la distancia a cada objeto según el tiempo que tarda el pulso láser en regresar. Calcula las distancias dentro del campo de visión, que varía en función del modelo y fabricante.

En este proyecto se ha utilizado el *YDLIDAR X4* [49] de dos dimensiones de la Ilustración 16 con un campo de visión de 360 grados, siguiendo la regla de la mano izquierda [50] como se muestra también en la Ilustración 16.

Este sensor es capaz de obtener distancias entre 0,12 y 10 metros con una resolución angular de entre 0,43 y 0,86 grados, emite 5.000 pulsos láser por segundo y la frecuencia de escaneo o barrido completo de 360 grados sexagesimales es de entre 6-12Hz (hercios).

Se conecta directamente a la *Raspberry Pi* mediante dos *USB*, uno para la alimentación y otro para los datos. Su consumo habitual es de 350mA, pudiendo tener un pico de 500mA durante el arranque.



**Ilustración 16:** A la izquierda, el *LiDAR YDLIDAR X4* [49]. A la derecha, la regla de la mano izquierda sobre el dispositivo físico.

### 5.2.6. IMU Adafruit BNO055

La *IMU Adafruit BNO055* [51] (Unidad de Medición Inercial) es un sensor que combina un acelerómetro, un giroscopio y un magnetómetro en un solo dispositivo, permitiendo medir la orientación, la aceleración y la velocidad angular del robot. Este tipo de sensor es esencial para aplicaciones de navegación y control en vehículos autónomos y otros sistemas que requieren estimaciones precisas de orientación y movimiento en tres dimensiones.

Se compone de tres sensores integrados: acelerómetro, giroscopio y magnetómetro. Estos proporcionan la aceleración, velocidad angular y la detección de campos magnéticos en los tres ejes de rotación. La aceleración se mide en metros por segundo al cuadrado ( $m/s^2$ ), la velocidad angular en radianes por segundo ( $rad/s$ ) y el campo magnético en microteslas ( $\mu T$ ).

La combinación de estos sensores permite fusionar diferentes datos para proporcionar una medición precisa y directa de la orientación mediante el uso de cuaterniones y

ángulos de Euler.

Su interfaz de comunicación es *I2C* [52], su dirección por defecto 0x28 y funciona tanto con un voltaje de 3,3V como de 5V con un consumo bajo de 12mA.

Se puede ver un ejemplo de este dispositivo en la Ilustración 17.

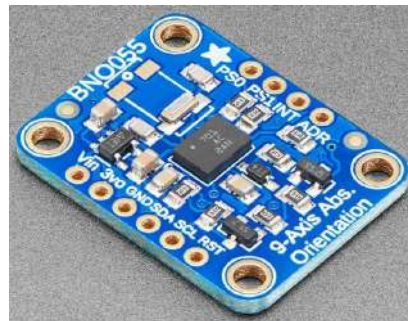


Ilustración 17: IMU [51].

### 5.2.7. Batería Lipo 4s 14.8V con cargador

Es una fuente de energía diseñada para alimentar dispositivos que requieren un voltaje estable y alto rendimiento, como drones, vehículos RC y otros dispositivos electrónicos. Se compone de cuatro celdas conectadas en serie proporcionando un voltaje total de 14,8V y una capacidad de 4Ah (amperio por hora).

Este modelo está diseñado para ofrecer una carga equilibrada, es decir, cargar la batería asegurando que todas las celdas se carguen de manera uniforme. Durante la carga, el cargador ajusta individualmente el voltaje de cada celda, evitando que alguna se sobrecargue o se quede con poca carga en comparación con las otras. Esto es crucial para garantizar la longevidad y seguridad de la batería, previniendo posibles daños, sobrecalentamientos o fallos prematuros. La carga equilibrada ayuda a maximizar la eficiencia y la duración de la batería, mejorando el rendimiento general del dispositivo.

En la Ilustración 18 puede verse el aspecto de la batería.

La batería se incluye en la plataforma *JPL Open Source Rover Project* [16].



Ilustración 18: A la izquierda, la batería [53]. A la derecha, la batería colocada en el rover.

## 5.3. Dispositivos de control y monitorización

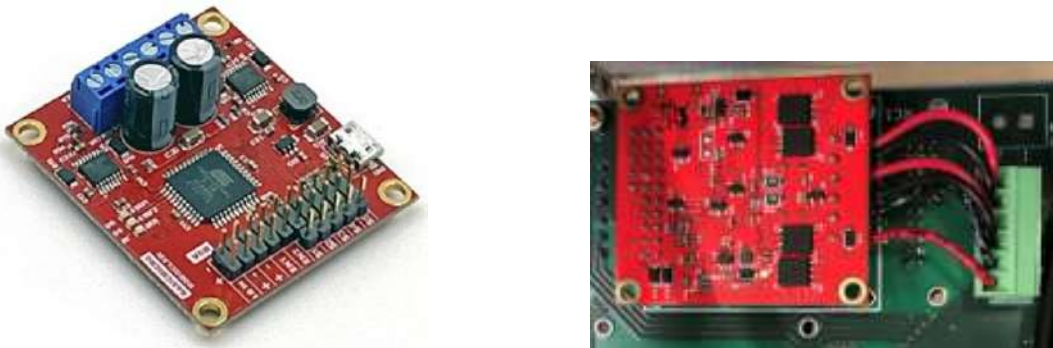
En esta sección se describen los componentes dedicados al control y monitorización del rover.

### 5.3.1. Controladores de motores Roboclaw 2x7A

Los controladores *Roboclaw 2x7A Motor Controller* [54], ver Ilustración 19, son dispositivos inteligentes diseñados para gestionar dos motores de corriente continua con escobillas de manera simultánea. Cada controlador puede suministrar hasta 7,5A de corriente continua por canal, es decir, por motor, y soportar picos de hasta 15A por canal, lo que permite manejar motores de tamaño mediano con demandas variables de potencia.

Estos controladores admiten una amplia gama de tensiones de entrada, desde 6V hasta 34V de corriente continua, lo que les otorga una amplia flexibilidad para diferentes aplicaciones robóticas o de automatización. Ofrecen múltiples opciones de control, incluyendo *USB*, señales *PWM*, entradas analógicas, *TTL* serial y control por radio o *RC*. En este proyecto se controlan mediante puerto serie, concretamente con el protocolo *packet serial*, en el que los datos se envían en paquetes estructurados y no en *bytes* sueltos.

Los controladores se incluyen en la plataforma *JPL Open Source Rover Project* [16].



**Ilustración 19:** A la izquierda, *Roboclaw 2x7A Motor Controller* [54]. A la derecha, el controlador serie colocado en el robot.

### 5.3.2. Raspberry Pi 4B de 8GB de memoria RAM

Es una computadora de placa única (*SBC*) pequeña, compacta y de bajo costo, pero con un rendimiento potente y una amplia gama de capacidades de conectividad y expansión. Con 8GB (gigabytes) de memoria *RAM* es ideal para aplicaciones que requieren más memoria y proyectos de computación de alto rendimiento, como por ejemplo, el despliegue y ejecución de redes neuronales y aplicaciones robóticas en tiempo real. La arquitectura del procesador es *ARM*, por lo que será necesario utilizar librerías adaptadas o compatibles, y tiene conectividad *WiFi*, *Bluetooth* y *Ethernet*, además de disponer de dos puertos *USB2.0*, dos puertos *USB3.0* y salida *HDMI* ( ver Ilustración 20).

El almacenamiento de los datos, así como el sistema operativo, se realiza mediante una tarjeta de memoria *SD* externa. En este proyecto se ha utilizado una tarjeta de 64GB.

La *Raspberry Pi* se incluye en la plataforma *JPL Open Source Rover Project* [16].

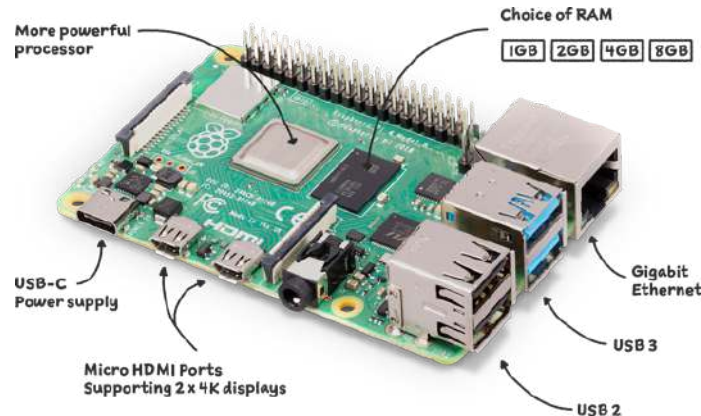


Ilustración 20: *Raspberry Pi 4B* [55].

### 5.3.3. Pantalla para *Raspberry Pi* de 400x1280 píxeles

Para mejorar el manejo de la información y la comunicación del *rover* se ha añadido una pantalla que permite utilizar el robot sin necesidad de estar conectado mediante otro ordenador. Este dispositivo no viene contemplado en las bases del concurso, por lo que es una mejora permitida que aporta un valor añadido.

Gracias a la pantalla se puede visualizar la cámara y observar qué está viendo el robot, siendo ideal para depurar el desarrollo de la prueba de percepción. Además, posibilita ejecutar los programas de control del *rover* desde la propia *Raspberry Pi* sin necesidad de conectar remotamente un equipo, reduciendo el impacto del riesgo de perder la comunicación inalámbrica, e introducir alguna animación o interfaz gráfica de los programas desarrollados para mejorar la estética y ofrecer información visual en tiempo real de los procesos en ejecución.

Se ha utilizado la *Pantalla Táctil Capacitiva Waveshare de 7,9 pulgadas y 400x1200 píxeles* [56] de la Ilustración 21.

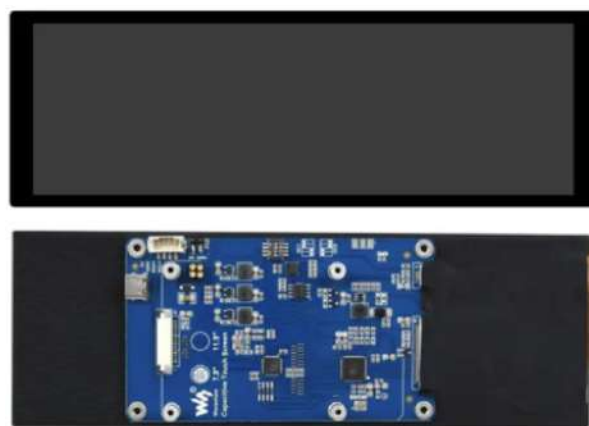


Ilustración 21: Arriba, aspecto exterior de la pantalla. Abajo, su circuito integrado. [56].

### 5.3.4. Interruptor

El *rover* dispone de un interruptor para suministrar o cortar la energía que recibe de la batería. Tiene tres posiciones: apagado, neutro y encendido. Para encender el robot hay que accionar el interruptor colocándolo en la posición de encendido. Este elemento se puede ver en la Ilustración 22 y se incluye en la plataforma *JPL Open Source Rover Project* [16].

### 5.3.5. Display de voltaje, corriente, potencia y energía

Este dispositivo es una pantalla *LCD* que muestra el voltaje de la electrónica del *rover*, la corriente, la potencia y la energía. Permite monitorizar estos valores para detectar posibles fallos de alimentación, prevenir cortocircuitos y planificar la carga de la batería. Se ha utilizado el modelo *KETOTEK Voltímetro Amperímetro Digital DC 6.5-100V 20A 12V* [57] de la Ilustración 22 incluido en la plataforma *JPL Open Source Rover Project* [16].



Ilustración 22: A la izquierda, el interruptor. A la derecha, el *display* de voltaje.

## 5.4. Dispositivos de comunicación

### 5.4.1. Router 4G

Para el establecimiento de la conexión y comunicación con el *rover* es muy recomendable disponer de una red local privada mediante un *router* dedicado exclusivamente para esta tarea. La organización no proporciona este dispositivo.

Se ha optado por elegir un *router* con conectividad 4G para poder insertarle una tarjeta *SIM* y proporcionar acceso a internet desde la propia red local. En este sentido, el modelo utilizado es el *TL-MR110* [58] del fabricante *TP-Link* de la Ilustración 23.



Ilustración 23: Router 4G [58].

## 5.5. Montaje del rover

Todos estos componentes y dispositivos tienen que ser cableados y colocados en el robot.

En este proceso destaca la colocación de la *IMU*, del *LiDAR*, de la cámara y de la pantalla. Para ello, los compañeros del equipo BilboTiks diseñaron e imprimieron en 3D una cúpula inspirada en el personaje *R2-D2* de la franquicia *Star Wars* y un marco capaces de albergar estos dispositivos. Estos soportes se observan en las ilustraciones 24 y 25.



**Ilustración 24:** Arriba, la cúpula que alberga el *LiDAR* y la cámara. Abajo, el marco 3D de la pantalla.



**Ilustración 25:** Rover montado.

# 6. Análisis y diseño de la arquitectura

Además del desarrollo de *software*, este proyecto requiere gestionar diversos dispositivos o activos físicos como sensores y actuadores, por lo que se asemeja a un sistema de control de la industria de la automatización. Consecuentemente, además de diagramas de secuencia, se ha realizado un análisis basado en la Metodología para Ingeniería de Automatización o MeiA [59].

Por definición, MeiA es una metodología para el desarrollo de *software* de control de procesos industriales, incluyendo todas las fases desde el análisis y diseño, hasta la implementación y explotación del sistema. Permite conocer las operaciones y procedimientos que se tienen que realizar y estructurarlos dando lugar a los diagramas de secuencia.

En las siguientes secciones se presenta la captura de requisitos mediante los diferentes modelos de MeiA, los diagramas de secuencia y el diseño de la arquitectura.

## 6.1. Captura de operaciones

Las operaciones son las tareas a realizar para superar las pruebas. Se han identificado mediante el modelo de proceso de MeiA [59], ver Ilustración 26, que recoge estas tareas por diferentes subprocesos, fases o módulos. Cada prueba será un módulo diferente.

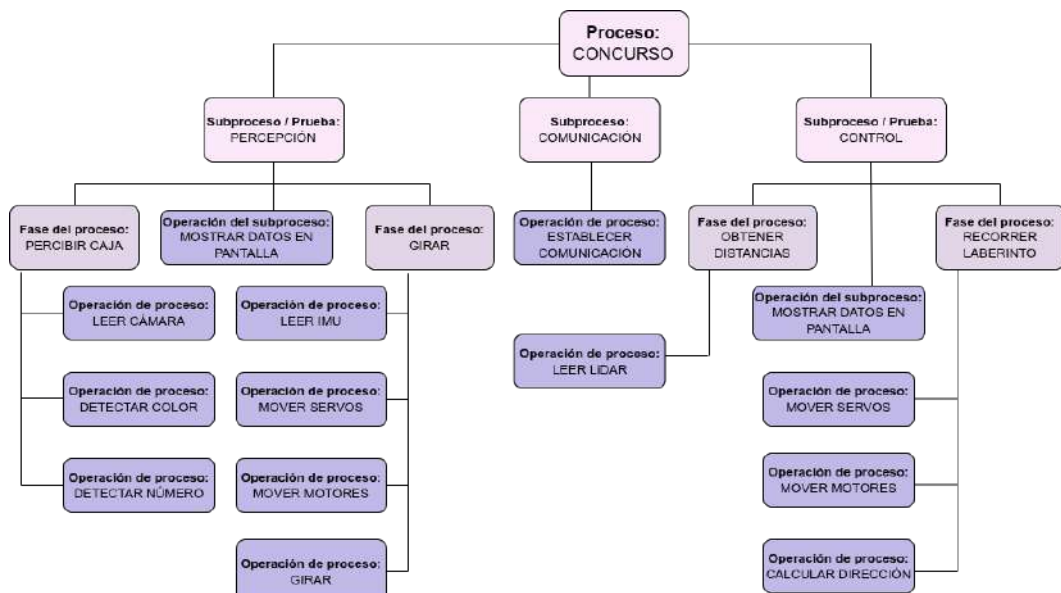


Ilustración 26: Modelo de proceso.

## 6.2. Captura de procedimientos

Se ha continuado con la Metodología MeiA [59] para determinar los procedimientos a implementar en la solución. Los procedimientos son las funciones a desarrollar que ejecutan las operaciones o tareas identificadas. Se recogen en el modelo de procedimientos de la Ilustración 27.

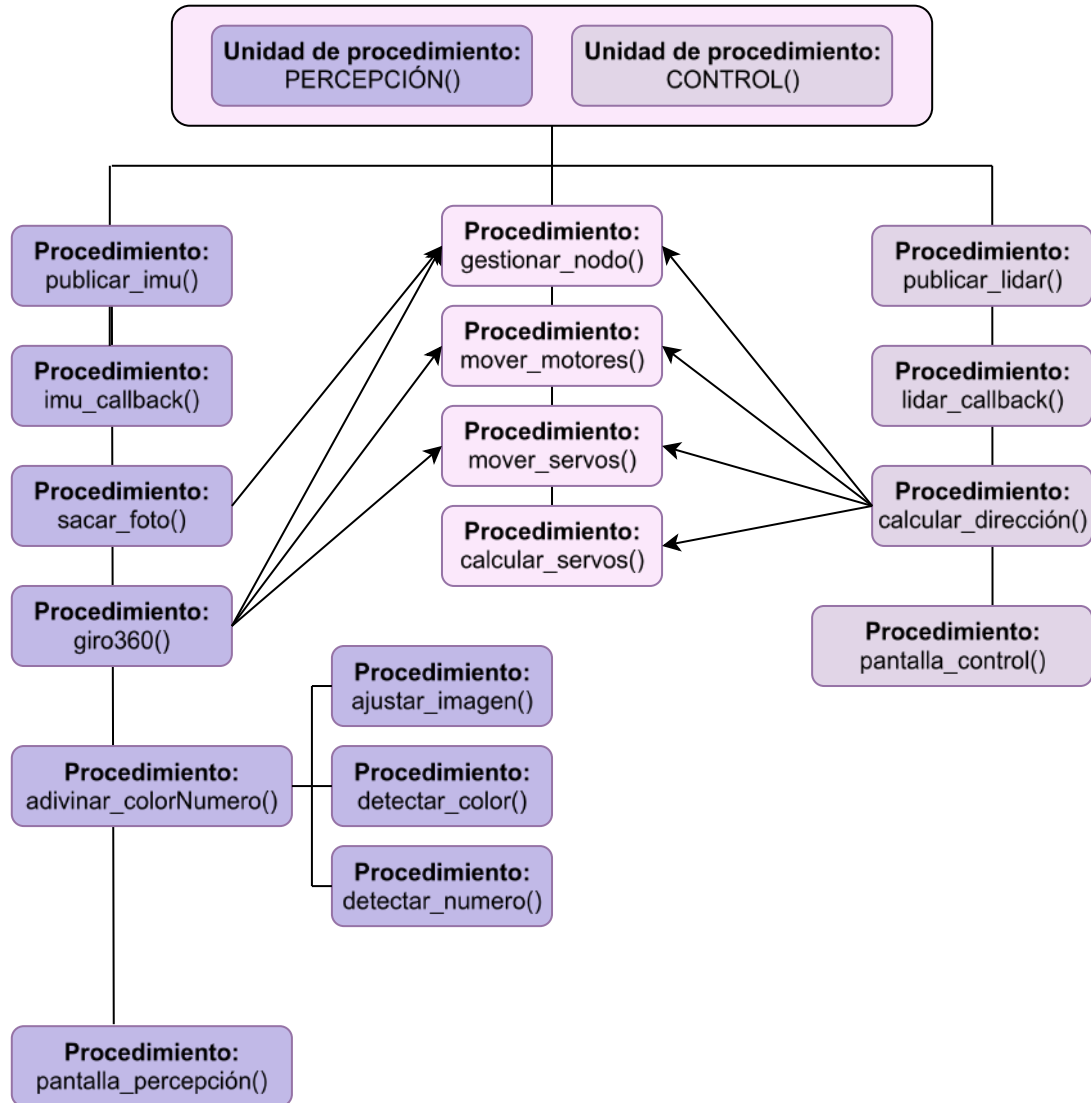


Ilustración 27: Modelo de procedimientos.

## 6.3. Especificación de procedimientos

A continuación se recogen en tablas los diseños de los procedimientos para superar las pruebas de percepción y de control. También incluyen las precondiciones que tienen que cumplir y las postcondiciones.

### 6.3.1. Prueba de percepción

Procedim.	Precondición	Postcondición
<i>publicar_imu()</i>	La <i>IMU</i> está conectada y preparada para publicar los datos.	Las mediciones del sensor se envían al tópico <i>imu_datuak</i> .
<i>imu_callback()</i>	La <i>IMU</i> está publicando datos en el tópico <i>imu_datuak</i> .	Las mediciones del sensor se almacenan en una variable de la clase.
<i>sacar_foto()</i>	La cámara está conectada y su nodo gestor activado para poder recibir la solicitud del servicio.	Devuelve a través de la respuesta del servicio la imagen obtenida.
<i>giro360()</i>	Recibe como parámetros el color y número identificados.	Gira tantas vueltas en el sentido correcto como número y color detectados.
<i>ajustar_imagen()</i>	Recibe la fotografía realizada.	Devuelve la fotografía recortada y ampliada.
<i>detectar_color()</i>	Recibe la fotografía recortada y ampliada.	Devuelve el color identificado y la región de color de la imagen.
<i>detectar_numero()</i>	Recibe la región de color identificada.	Devuelve el número detectado.
<i>adivinar_colNum()</i>	Todos los procesos o nodos asociados están lanzados y los dispositivos conectados.	Devuelve el color y número identificado.
<i>pantalla_percep()</i>	-	Muestra por pantalla en tiempo real el valor de la <i>IMU</i> , la imagen capturada, el número de vueltas totales a dar y el color identificado.

**Tabla 2:** Especificación de los procedimientos de la prueba de percepción.

### 6.3.2. Prueba de control

Procedim.	Precondición	Postcondición
<i>publicar_lidar()</i>	El <i>LiDAR</i> está conectado y preparado para publicar los datos.	Las mediciones del sensor se envían al tópico <i>lidar_datuak</i> .
<i>lidar_callback()</i>	El <i>LiDAR</i> está publicando datos en el tópico <i>lidar_datuak</i> .	Las mediciones del sensor se almacenan en una variable de la clase.
<i>calcular_direccion()</i>	Se están recibiendo las mediciones del sensor <i>LiDAR</i> .	Calcula y aplica la dirección de corrección necesaria para mantener la trayectoria.
<i>pantalla_control()</i>	-	Muestra por pantalla en tiempo real las distancias izquierda, frontal y derecha.

**Tabla 3:** Especificación de los procedimientos de la prueba de control.

### 6.3.3. Procedimientos compartidos por ambas pruebas

Procedim.	Precondición	Postcondición
<i>gestionar_nodo()</i>	Recibe el nombre del nodo con ciclo de vida (ver apartado 7.2.3) y la transición a aplicar.	El nodo objetivo con ciclo de vida cambia de estado.
<i>mover_motores()</i>	Recibe un vector de seis números enteros, con magnitud, es decir, positivo o negativo, para indicar la velocidad y dirección a la que accionar cada motor.	Se ha publicado en el tópico <i>motorrak_mugitu</i> la dirección y velocidad especificada de cada motor.
<i>mover_servos()</i>	Recibe un vector de cuatro números enteros para indicar el ángulo sexagesimal al que colocar cada servomotor.	Se ha publicado en el tópico <i>servoak_mugitu</i> el ángulo especificado de cada servomotor.
<i>calcular_servos()</i>	Recibe un ángulo sexagesimal de giro, entre -90 y 90.	Devuelve la posición angular sexagesimal de cada servomotor tras aplicar una interpolación.

**Tabla 4:** Especificación de los procedimientos compartidos por ambas pruebas.

## 6.4. Modelo físico

El modelo físico agrupa los equipos físicos según las operaciones que realizan y por tanto, permite organizar de manera esquemática los dispositivos y elementos físicos con sus señales de control. Todas las pruebas las realizará la unidad del *rover*, mientras que la unidad de desarrollo se encargará de comunicarse y mandar las órdenes al robot.

Los módulos de equipo son conjuntos que aglutan a diferentes dispositivos físicos conocidos como módulos de control. En el *rover* se diferencian tres módulos de equipo: los componentes electrónicos y sensores, los dispositivos de control y la estructura mecánica. Estos módulos de equipos se dividen, a su vez, en diferentes módulos de control. En la unidad de desarrollo y comunicación se encuentran directamente los módulos de control del *router* y del ordenador de trabajo.

El modelo físico se presenta en la Ilustración 28 junto con las señales de control más relevantes.

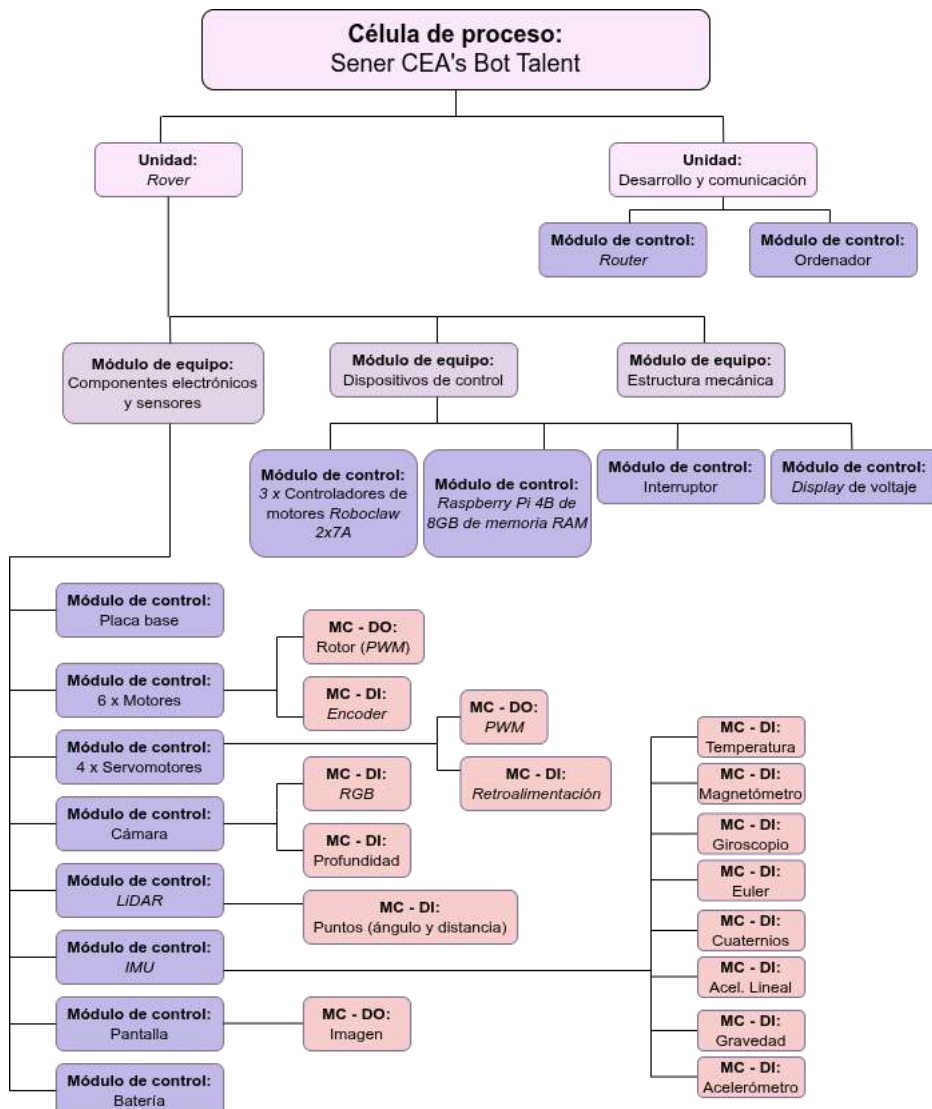


Ilustración 28: Modelo físico.

## 6.5. Diseño de la arquitectura

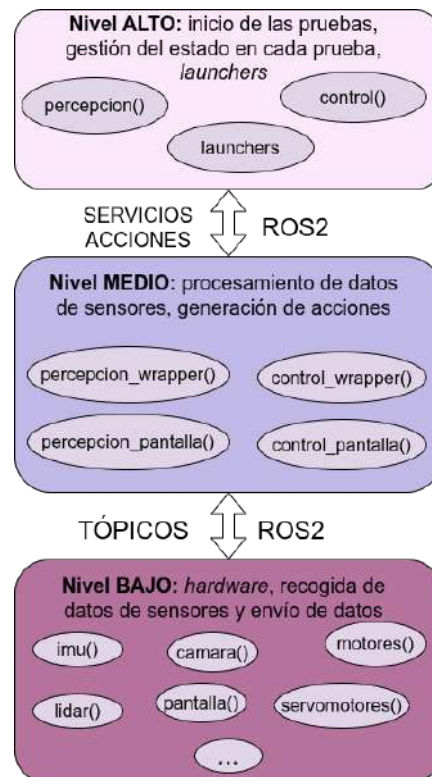
Siguiendo el análisis y las arquitecturas planteadas en otros proyectos recogidos en el Capítulo 3, se ha diseñado una arquitectura que divide el control del *hardware* de la implementación de los algoritmos en ejecutables independientes. De esta manera, se establecen tres niveles: alto, medio, bajo. Esto permite mantener organizada la implementación separando la interacción con el *hardware* de la lógica de los algoritmos de más alto nivel.

El nivel alto contendrá toda la lógica necesaria para invocar a las funciones del nivel medio y bajo. Para comenzar una prueba es necesario iniciar varios procesos asociados a los dispositivos físicos y esta capa será la encargada de delegar ese arranque, de forma que el usuario podrá arrancar toda la prueba mediante una única llamada con los *launchers* de ROS2. Además, este nivel será el encargado de recibir el estado del robot en cada prueba y gestionarlo.

El nivel medio serán los controladores del nivel bajo, o punto intermedio de comunicación entre el nivel alto y bajo. A las funciones de este nivel se las conoce como *wrapper* o envolventes porque procesan los datos obtenidos del nivel bajo para añadir información o generar una acción que es comunicada al nivel alto.

Por último, el nivel bajo contendrá los procesos asociados al *hardware*, su recogida de datos, limpieza y ordenación, en caso de ser necesario, y envío de los datos.

Estos tres niveles se comunicarán a través de ROS2 mediante tópicos, servicios y acciones y se recogen de forma esquemática en la Ilustración 29.



## 6.6. Diagramas de secuencia

Los diagramas de secuencia recogen visualmente las llamadas de las funciones a realizar y el orden correcto para la ejecución del código desarrollado. Al representar visualmente el flujo de mensajes y eventos, los diagramas de secuencia ayudan a identificar posibles fallos en la lógica del programa o llamadas incorrectas, contribuyendo así a una mayor comprensión y mantenimiento del *software*.

Las cajas de color rosa son los nodos o ejecutables de alto nivel, las lila de nivel medio y las púrpura de nivel bajo.

### 6.6.1. Prueba de percepción

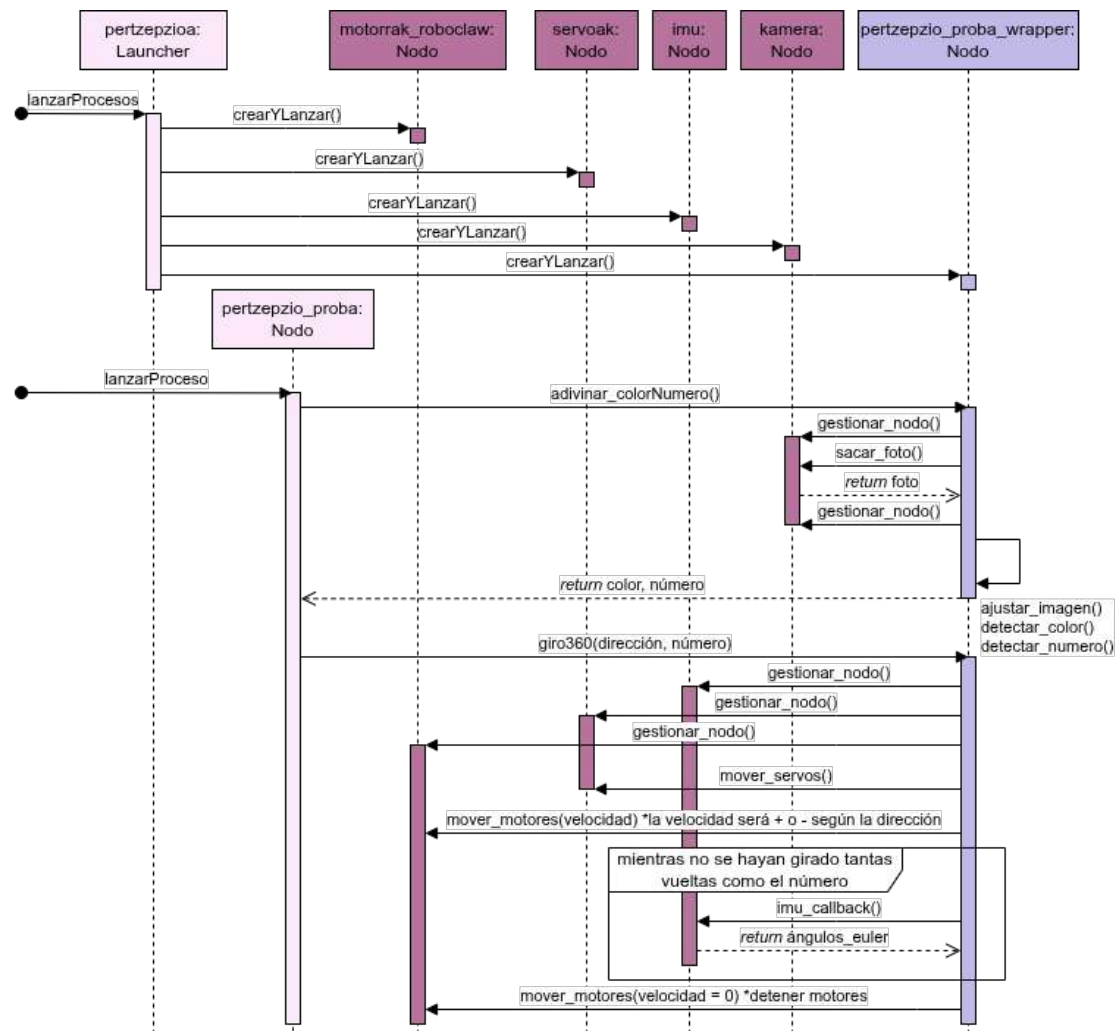


Ilustración 30: Diagrama de secuencia de la prueba de percepción.

### 6.6.2. Prueba de control

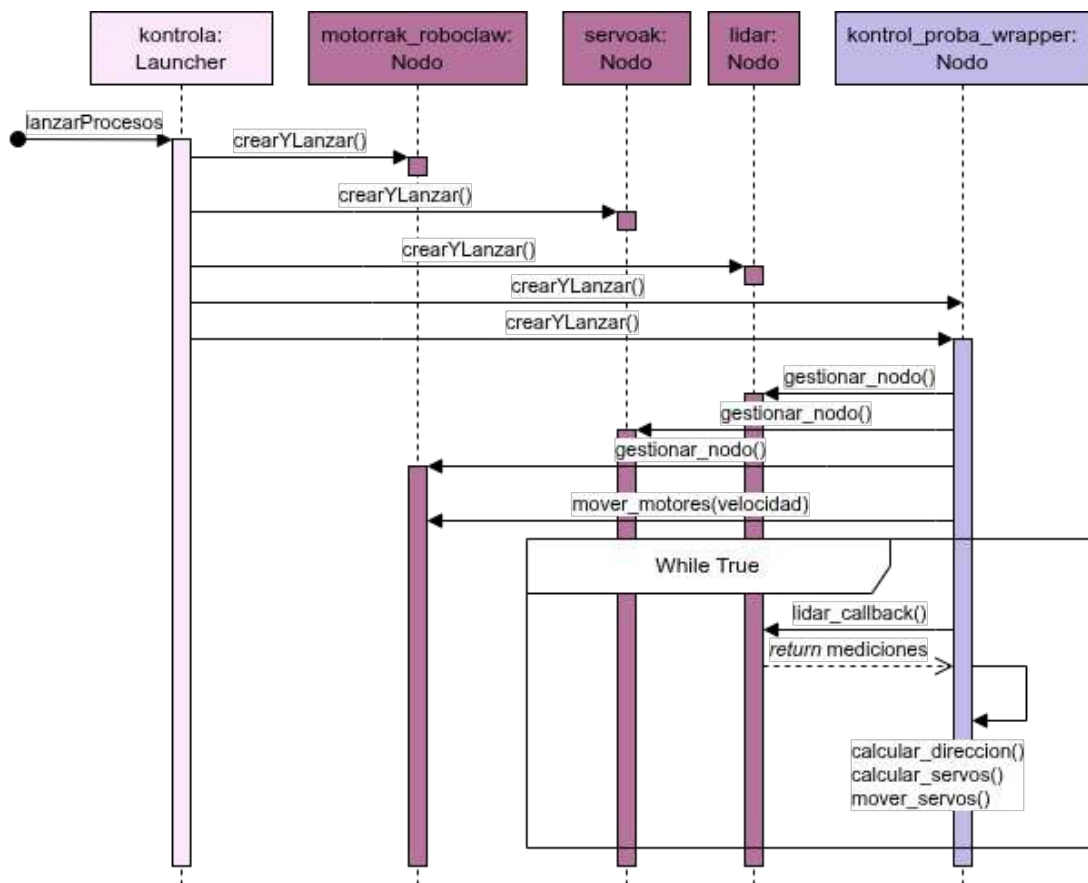


Ilustración 31: Diagrama de secuencia de la prueba de control.

# 7. Desarrollo de la solución

En este capítulo se aborda el *framework ROS2* junto con las interfaces de comunicación que utiliza y la implementación de la arquitectura diseñada, la programación del movimiento del robot y el desarrollo de los algoritmos, detallando tanto los fundamentos teóricos como la codificación y adaptación a la especificaciones del proyecto. Se ha utilizado el lenguaje de programación *Python* dentro de *ROS2* y grados sexagesimales.

También se incluyen las interfaces gráficas desarrolladas y las simulaciones realizadas con gemelos funcionales y simuladores.

Todo el código se incluye en el Anexo II.

## 7.1. ROS2

### 7.1.1. Definición y características

*ROS2* [60] es un *framework* de código abierto, es decir, un conjunto de herramientas y bibliotecas, diseñado para facilitar el desarrollo de aplicaciones en el ámbito de la robótica, especialmente en la robótica móvil.

Su desarrollo es liderado y respaldado por la *Open Source Robotics Foundation*, lo que garantiza un soporte profesional, una evolución constante y una comunidad activa a nivel mundial.

El uso de *ROS2* aporta numerosas ventajas al desarrollo de este tipo de proyectos ya que utiliza estándares abiertos y ampliamente adoptados en la industria como *Data Distribution Service (DDS)* [61] y cuenta con una gran comunidad de desarrolladores.

Las versiones de *ROS2* son conocidas como distribuciones y están estrechamente relacionadas con una versión específica de *Ubuntu*. Por ello, cada distribución se libera poco tiempo después de la publicación de una nueva versión de *Ubuntu*. Las distribuciones asociadas a versiones *LTS*, son también distribuciones *LTS* con soporte a largo plazo de cinco años.

En el contexto de este proyecto se utiliza la distribución *Humble Hawksbill LTS* [62] asociada a *Ubuntu 22.04 LTS*, publicada en mayo de 2022 y con soporte hasta mayo de 2027. En la Ilustración 32 se muestra el logo de *ROS2 Humble Hawksbill*.



**Ilustración 32:** ROS2 Humble Hawksbill.

Actualmente, la distribución más reciente es *Jazzy Jalisco LTS* [63] asociada a *Ubuntu 24.04 LTS*, publicada en mayo de 2024 y con soporte hasta mayo de 2029. No obstante, se ha decidido utilizar una distribución anterior debido a su madurez, soporte y compatibilidad.

### 7.1.2. Nodos, tópicos, servicios, acciones y mensajes

En *ROS2* un nodo es un proceso o programa independiente encargado de realizar una tarea específica dentro de un sistema de robótica. En otras palabras, es la unidad básica lógica de ejecución.

Estos nodos comparten información entre ellos mediante tópicos, servicios y acciones, construidos sobre *DDS* [61].

Un tópico es un canal de comunicación que permite el intercambio de mensajes entre nodos de manera asíncrona, siguiendo el modelo publicador-suscriptor. Los nodos pueden publicar mensajes en un tópico o suscribirse a él para recibir los datos enviados por otros nodos. Cada tópico está asociado a un tipo de mensaje específico, lo que garantiza que la información intercambiada sea compatible entre los nodos conectados al mismo tópico. Por ejemplo, los tópicos se utilizan para recibir información en tiempo real de los diferentes sensores del robot.

Un servicio es un mecanismo de comunicación síncrona basado en el modelo cliente-servidor que permite que un nodo cliente envíe una petición a otro nodo servidor. El nodo servidor procesa la solicitud y devuelve una respuesta al nodo cliente. Son útiles para operaciones puntuales que requieren una respuesta inmediata, como pedir el estado de un sensor o sacar una foto. La comunicación mediante servicios involucra un mensaje de petición y otro de respuesta.

En la Ilustración 33 se puede ver un esquema del funcionamiento de los tópicos y servicios.

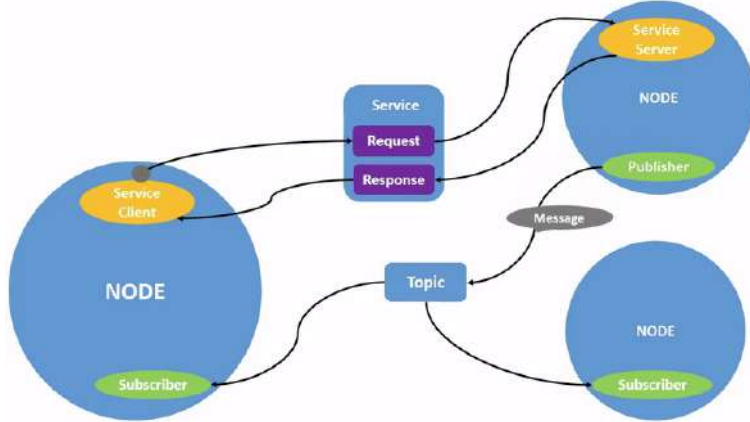


Ilustración 33: Esquema de tópicos y servicios en ROS2 [62].

Una acción es una interfaz de comunicación asíncrona basada en tópicos y servicios diseñada para desempeñar operaciones largas y prolongadas en el tiempo que necesitan seguimiento. Para ejecutar una acción un nodo cliente solicita a un nodo servidor la ejecución, recibe retroalimentación periódica sobre el progreso a través de un tópico y tiene la opción de cancelar la tarea antes de que finalice. Son ideales para tareas como mover un robot a una posición determinada, donde es necesario monitorizar el avance y poder interrumpir la ejecución si es necesario. La comunicación de una acción involucra mensajes de objetivo, retroalimentación y resultado final.

En la Ilustración 34 se puede ver un esquema del funcionamiento de las acciones.

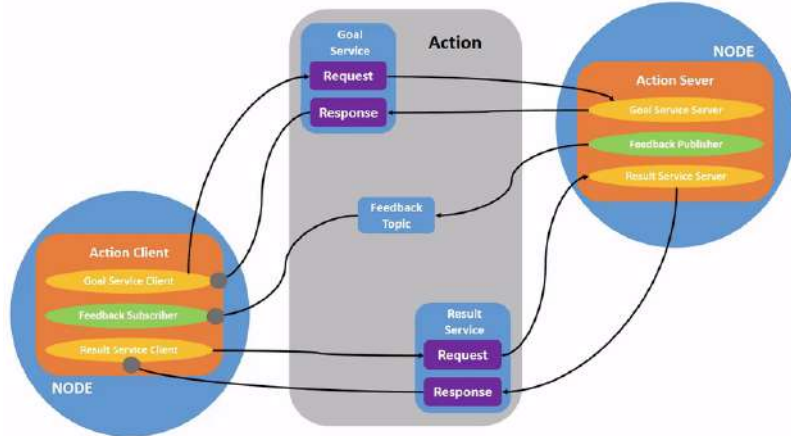


Ilustración 34: Esquema de acciones en ROS2 [62].

Los mensajes son estructuras de datos que se componen de diferentes campos, cada uno con su nombre y tipo. Existe una serie de mensajes predeterminados, por ejemplo, *geometry\_msgs/msg/Vector3* y *sensor\_msgs/msg/LaserScan*. El primero tiene los campos *x*, *y*, *z* para representar coordenadas de tipo *float64* y el segundo tiene nueve campos capaces de caracterizar los datos de un sensor *LiDAR*. Ambos mensajes se pueden ver en los recuadros de Código 7.1 y 7.2, respectivamente. Los tipos de los campos pueden básicos, como enteros o binarios, o de tipos de mensajes, es decir, un mensaje B puede tener dos campos de tipo "mensaje A".

También se pueden definir mensajes personalizados para adaptarse a las necesidades de la aplicación.

```
# This represents a vector in free space.
# It is only meant to represent a direction. Therefore, it does not
# make sense to apply a translation to it (e.g., when applying a
# generic rigid transformation to a Vector3, tf2 will only apply the
# rotation). If you want your data to be translatable too, use the
# geometry_msgs/Point message instead.

float64 x
float64 y
float64 z
```

**Código 7.1:** Definición del mensaje `geometry_msgs/msg/Vector3`.

```
# Single scan from a planar laser range-finder
#
# If you have another ranging device with different behavior (e.g. a
# sonar
# array), please find or create a different message, since
# applications
# will make fairly laser-specific assumptions about this data

Header header          # timestamp in the header is the acquisition
                       # time of
                           # the first ray in the scan.
                           #
                           # in frame frame_id, angles are measured
around
                           # the positive Z axis (counterclockwise, if
Z is up)
                           # with zero angle being forward along the x
axis

float32 angle_min      # start angle of the scan [rad]
float32 angle_max      # end angle of the scan [rad]
float32 angle_increment # angular distance between measurements [rad]

float32 time_increment # time between measurements [seconds] - if
                       # your scanner
                           # is moving, this will be used in
                           # interpolating position
                           # of 3d points
float32 scan_time       # time between scans [seconds]

float32 range_min       # minimum range value [m]
float32 range_max       # maximum range value [m]

float32[] ranges        # range data [m] (Note: values < range_min
                       # or > range_max should be discarded)
float32[] intensities   # intensity data [device-specific units].
If your
                           # device does not provide intensities,
please leave
                           # the array empty.
```

---

**Código 7.2:** Definición del mensaje *sensor\_msgs/msg/LaserScan*.

En el caso de los servicios, los mensajes incluyen cabecera de solicitud y cabecera de respuesta, separados por una línea de tres guiones, y en las acciones los mensajes incluyen los campos de objetivo o solicitud, resultado y retroalimentación. En el Código 7.3 y 7.4 se presentan como ejemplo la definición del mensaje del servicio *turtlesim/srv/Spawn* y de la acción *test\_msgs/action/Fibonacci Action*.

```
#solicitud
float32 x
float32 y
float32 theta
string name
---
#respuesta
string name
```

**Código 7.3:** Ejemplo de definición del mensaje de un servicio.

```
#objetivo o solicitud
int32 order
---
#resultado
int32[] sequence
---
#retroalimentación
int32[] sequence
```

**Código 7.4:** Ejemplo de definición del mensaje de una acción.

## 7.2. Paquetes, nodos y mensajes desarrollados en *ROS2*

Un paquete en *ROS2* es la unidad principal de organización del *software*. Se trata de una carpeta que contiene todos los archivos necesarios para desarrollar y ejecutar una funcionalidad específica. Dentro de un paquete se pueden encontrar los nodos y los archivos de configuración, mensajes personalizados, compilación, lanzamiento y parámetros.

El paquete es el elemento más atómico que se puede construir, compartir y reutilizar. Facilitan la modularidad y la escalabilidad de los proyectos. Cualquier ejecutable de cualquier paquete puede ser llamado desde otro paquete.

Se han desarrollado tres paquetes diferentes:

- ***bilbotiks\_controller***: contiene los nodos responsables del control del robot y de las pruebas a solucionar.
- ***bilbotiks\_pantaila***: contiene los nodos responsables de la gestión de la interfaz gráfica.
- ***bilbotiks\_interfazeak***: contiene la definición de los mensajes personalizados para los tópicos, servicios y acciones.

### 7.2.1. Mensajes personalizados desarrollados

Se han definido seis mensajes generales, dos mensajes para servicios y un mensaje para una acción.

A continuación, se presenta la definición de cada mensaje junto con una breve descripción.

#### 7.2.1.1. MotorrakMugitu (mover motores)

Este mensaje contiene un vector de enteros con la velocidad de cada uno de los seis motores.

```
# Motor bakoitzaren abiadura
# Abiadura minimoa = -127
# Abiadura maximoa = 127
# Motorrak gelditzeko abiadura = 0

# Robotan jarritako motor zenbakiak arrayaren elementu bakoitzarekiko
# erlazionatzen da:
# 1.go motorra: 0 posizioa
# 2. motorra: 1.go posizioa
# 3. motorra: 2. posizioa
# ...

int8 [6] abiadurak
```

**Código 7.5:** Mensaje personalizado para mover los motores.

#### 7.2.1.2. ServoakMugitu (mover servomotores)

Este mensaje contiene un vector de enteros con el ángulo en el que debe colocarse cada uno de los cuatro servomotores.

```
# Robotan jarritako motor zenbakiak arrayaren elementu bakoitzarekiko
# erlazionatzen da:
# 1.go servo: 0 posizioa
# 2. servo: 1.go posizioa
# 5. servo: 3. posizioa
# ...

int16 [4] angeluak
```

**Código 7.6:** Mensaje personalizado para mover los servomotores.

#### 7.2.1.3. IMU

El mensaje predefinido *sensor\_msgs/msg/Imu* [64] no contiene campos para todos los valores proporcionados por la *IMU* utilizada en este proyecto, por lo que se ha definido un mensaje que sí contiene todos los campos que proporciona el dispositivo.

```
int8 temperatura
geometry_msgs/Vector3 azelerometroa
geometry_msgs/Vector3 magnetometroa
geometry_msgs/Vector3 giroskopioa
geometry_msgs/Vector3 euler_angeluak
geometry_msgs/Quaternion kuaternionioak
geometry_msgs/Vector3 azelerazio_lineala
geometry_msgs/Vector3 grabitatea
```

**Código 7.7:** Mensaje personalizado para la *IMU*.

#### 7.2.1.4. Aurpegia (interfaz gráfica de la cara)

Este mensaje permite a la interfaz gráfica conocer qué animación tiene que visualizar, ya que indica el lado al que tienen que mirar los ojos de la cara.

```
# 0 = begiak irekitak
# 1 = begiak ezkerretara
# 2 = begiak eskuinara

int8 begi_norabidea
```

**Código 7.8:** Mensaje personalizado para la interfaz gráfica de la cara.

#### 7.2.1.5. Pertzepzioa (interfaz gráfica de percepción)

Este mensaje contiene la información necesaria por la interfaz gráfica de la prueba de percepción.

```
float64 imu
int8 emandako_birak
int8 bira_totalak
bool norabidea
```

**Código 7.9:** Mensaje personalizado para la interfaz gráfica de la prueba de percepción.

#### 7.2.1.6. Kontrola (interfaz gráfica de control)

Este mensaje contiene la información necesaria por la interfaz gráfica de la prueba de control.

```
float32 ezker_distantzia
float32 aurreko_distantzia
float32 eskuin_distantzia
```

**Código 7.10:** Mensaje personalizado para la interfaz gráfica de la prueba de control.

### 7.2.1.7. Servicio Argazkia (sacar foto)

Este mensaje contiene una solicitud vacía y una respuesta en formato de imagen.

```
# Argazkia.srv

# Request (vacío)
---

# Response
sensor_msgs/Image image
```

**Código 7.11:** Mensaje personalizado para el servicio de sacar una foto.

### 7.2.1.8. Servicio KoloreaZenbakia (adivinar color y número)

Este mensaje contiene una solicitud vacía y una respuesta con dos campos: color y número identificados.

```
# PertzepzioProba.KoloreaZenbakia.srv

# Ez dira daturik behar eskaeran
---

int8 kolorea    # Primer número de salida
int8 zenbakia   # Segundo número de salida
```

**Código 7.12:** Mensaje personalizado para el servicio de adivinar el color y el número.

### 7.2.1.9. Acción Bira360 (dar vueltas según el color y número reconocidos)

Este mensaje contiene una solicitud con los campos de color y número, una respuesta con un campo binario para saber si ha finalizado correctamente, el ángulo de inicio, el ángulo final y el número de vueltas que ha dado el robot, y dos campos de retroalimentación que indican el ángulo actual mientras el *rover* gira y el número de vueltas dadas hasta el momento.

```
bool noranzkoa      # 0: ezkerra; 1: eskuina
uint8 zenbakia
---

# Result
bool arrakasta
float64 amaierako_angelu
float64 hasierako_angelu
uint8 bira_kopurua
---

float64 oraingo_angelu
uint8 bira_kopurua
```

**Código 7.13:** Mensaje personalizado para la acción de girar sobre sí mismo según el color y número identificado.

### 7.2.2. Grafo computacional desarrollado

El grafo computacional de *ROS2* es la estructura que representa todos los nodos y las conexiones de comunicación entre ellos. Esta representación permite organizar, visualizar y analizar cómo interactúan los nodos para definir el flujo de la información y facilitar la comprensión, depuración y escalabilidad de la aplicación.

En la Ilustración 35 se presenta el grafo desarrollado. Los óvalos púrpura son los nodos del nivel bajo, que además son de tipo *Lifecycle* como se explica en el apartado 7.2.3, los lilas del nivel medio y los rosas del nivel alto. Los rectángulos azules son los tópicos, los verdes los servicios y los rojos las acciones, todos con su tipo de mensaje.

Por ejemplo, el nodo rosa de nivel alto *pertzepzio\_proba*, solicita mediante el servicio *koloreazenzbakia\_iragarri*, rectángulo verde, el reconocimiento del color y del número de la caja al nodo lila de nivel medio *pertzepzio\_proba\_wrapper*, y este a su vez, solicita mediante el servicio *argazkia\_atera* una foto al nodo púrpura de nivel bajo *kamera*. Para recibir la información de los sensores, los nodos lila de nivel medio se suscriben a los tópicos, recuadros azules.

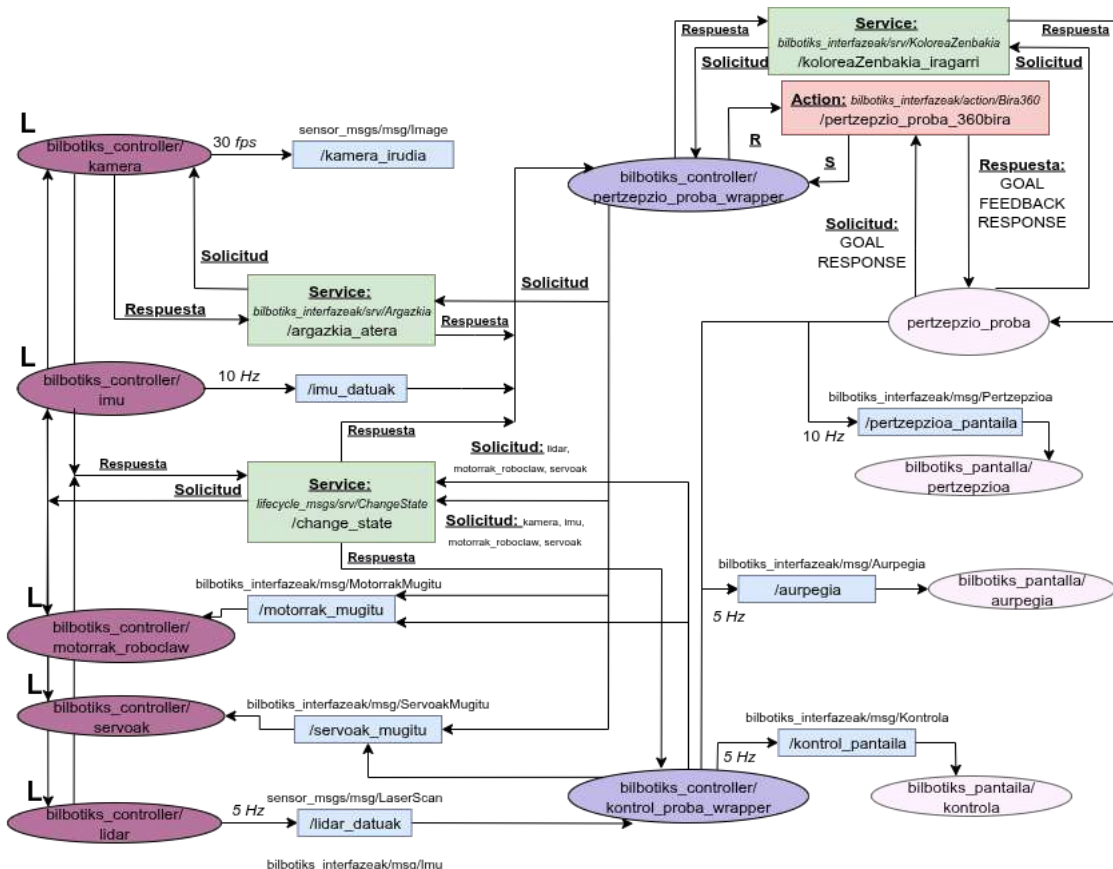


Ilustración 35: Grafo computacional *ROS2* desarrollado.

### 7.2.3. Nodos de nivel bajo: *Lifecycle*

Los nodos de interacción con el *hardware* se han implementado con un ciclo de vida. Esta característica se conoce como *lifecycle* y fue introducida en la *API* de Python de la distribución *ROS2 Humble Hawksbill*.

Este tipo de nodo implementa una *FSM*, lo que permite controlar el estado del dispositivo físico. En total se definen cuatro estados principales, descritos en la Tabla 5, y siete transiciones, descritas en la Tabla 6. Por ejemplo, cuando un nodo se encuentra en el estado *unconfigured* y se solicita la transición *configure()*, el nodo pasa al estado *inactive*. Todos estos caminos se pueden seguir en la Ilustración 36, donde representa el esquema oficial de un nodo con ciclo de vida.

Esta implementación posibilita encender o apagar los dispositivos *hardware* mediante *software*, y por tanto, disminuir el consumo energético del *rover* y el uso innecesario de recursos de *CPU*, ya que aquellos dispositivos que no se necesiten estarán virtualmente desconectados.

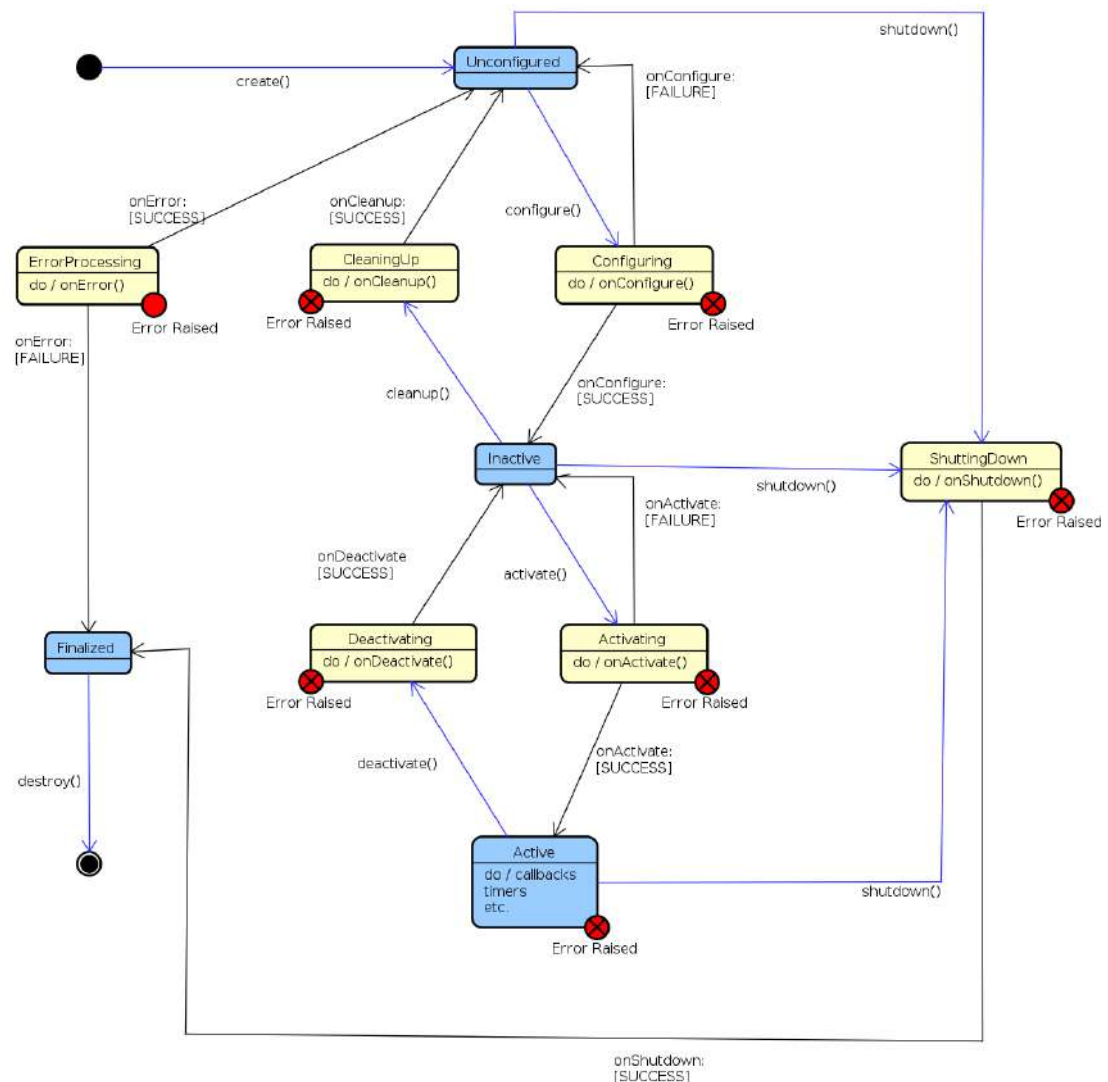
Para cambiar el estado de un dispositivo se utiliza el servicio *change\_state* proporcionado por los nodos *Lifecycle*.

Consecuentemente, se han desarrollado cinco nodos con ciclo de vida, uno por cada dispositivo físico: *kamera*, *imu*, *motorrak\_roboclaw*, *servoak*, y *lidar*. Todos pertenecen al paquete *bilbotiks\_controller*.

Estado	Función
<i>Unconfigured</i>	Estado inicial tras crear el nodo. No tiene recursos asignados ni configuración cargada. Se puede volver a este estado después de un error o limpiar el nodo.
<i>Inactive</i>	El nodo está configurado, pero en general, no está realizando procesamiento de datos ni respondiendo a servicios ni acciones. Permite modificar la configuración y los recursos asignados sin afectar al comportamiento. No obstante, este estado puede incorporar la respuesta a algún servicio como sacar una foto, puesto que el estado de activación respondería a otra función.
<i>Active</i>	Es el estado principal para realizar operaciones. Se procesan datos y se responde a servicios y acciones. En otras palabras, realiza su función principal.
<i>Finalized</i>	Estado de finalización previo a la destrucción del nodo. Permite la depuración del nodo en lugar de destruir el nodo directamente.

**Tabla 5:** Estados de un nodo con ciclo de vida.

Transiciones	Función
<i>create</i>	Instancia el nodo, el nodo empieza en el estado <i>unconfigured</i> .
<i>configure</i>	Transiciona de <i>unconfigured</i> a <i>inactive</i> . Se asignan los recursos establecidos y carga la configuración necesaria.
<i>cleanup</i>	Transiciona de <i>inactive</i> a <i>unconfigured</i> . Se liberan los recursos asignados y borra la configuración.
<i>activate</i>	Transiciona de <i>inactive</i> a <i>active</i> . Se activa el funcionamiento del nodo.
<i>deactivate</i>	Transiciona de <i>active</i> a <i>inactive</i> . Se liberan los recursos asignados y borra la configuración.
<i>shutdown</i>	Transiciona desde cualquier estado a <i>finalized</i> . Se liberan los recursos asignados y borra la configuración antes de destruir el nodo, por lo que no es posible volver a configurar el nodo sin reiniciarlo.
<i>destroy</i>	Elimina el nodo desde el estado <i>finalized</i> .

**Tabla 6:** Transiciones de un nodo con ciclo de vida.**Ilustración 36:** Esquema oficial de nodos *lifecycle* [65].

#### 7.2.4. Nodos de nivel medio: *wrapper*

El nivel medio de la arquitectura propuesta permite comunicar las funciones de bajo nivel con las de alto nivel. Las funciones implementadas en este nivel se conocen como *wrapper*, cuyo objetivo es proporcionar una capa de abstracción que simplifique la interacción con el código subyacente.

En este nivel se han implementado los nodos que contienen la lógica, es decir, los algoritmos que permiten solucionar las pruebas. Reciben la información del nivel bajo, la procesan y generan una respuesta para la solicitud del nivel alto.

En total se han desarrollado dos nodos *wrapper*: *pertzepzio\_proba\_wrapper* y *kontrol\_proba\_wrapper*. Ambos nodos pertenecen el paquete *bilbotiks\_controller*.

#### 7.2.5. Nodos de nivel alto: clientes, interfaces gráficas y *launchers*

El nivel alto corresponde a las funciones de solicitud de inicio de las pruebas y a las interfaces gráficas correspondientes. Solicitan al nivel medio la realización de alguna acción, servicio o prueba y reciben retroalimentación en tiempo real del estado de la prueba para comunicarlo a la interfaz gráfica.

Para iniciar las pruebas hay que arrancar todos los nodos involucrados en ellas, por lo que se utilizan los *launchers* de *ROS2*. Son archivos escritos en *Python* que permiten iniciar y gestionar la ejecución de múltiples nodos de forma coordinada y sencilla en lugar de lanzar cada nodo individualmente. En este archivo se agrupa la configuración necesaria, es decir, qué nodos ejecutar, con qué parámetros y en qué orden.

En total se han desarrollado dos nodos y dos *launchers* en este nivel: nodo *pertzepzio\_proba* y los *launchers* *pertzepzio* y *kontrola* del paquete *bilbotiks\_controller*, y nodo *aurpegia* del paquete *bilbotiks\_pantaila*.

#### 7.2.6. Parámetros

En *ROS2* se pueden definir parámetros que se cargan de manera externa al ejecutar los nodos, evitando tener que volver a compilar el paquete si se quiere cambiar algún valor. Estos parámetros se pueden indicar por terminal o desde ficheros *.yaml*, siendo la segunda la opción más cómoda.

En el Código 10.11 se muestra el fichero *.yaml* creado en el proyecto y entre las líneas 30-43 y 50-62 del Código 10.29 se declaran y se leen los parámetros.

### 7.3. Movimiento del *rover*

Los encargados principales de accionar el movimiento del robot son el nodo que controla los servomotores y el que controla los motores de las ruedas. Ambos tipos de motor se controlan mediante señal *PWM*, por lo que es suficiente con indicar a los servomotores el ángulo en el que deben posicionarse y a los motores la velocidad de movimiento.

En el caso de los servomotores, los valores se reciben en un vector de cuatro posiciones a través de un tópico de *ROS2*, se recorren secuencialmente y se escribe cada ángulo en cada servomotor. Gracias a la sentencia *ServoKit(channels=16).servo[i].angle = angle* de la librería *adafruit\_servokit* se escribe el valor del ángulo en el servomotor correspondiente sin esperar la respuesta, es decir, envía la señal y no espera a que termine el movimiento, permitiendo mover todos prácticamente a la vez.

En cuanto a los motores, se introduce la velocidad de giro comprendida entre 0 y 127. La velocidad se publica en el tópico correspondiente con su signo y magnitud, pero después, se procesa la velocidad ya que la magnitud siempre va en positivo y el sentido de giro viene dado por el método *ForwardM1/2* o *BackwardM1/2* de la librería *roboclaw*.

El nodo de los servomotores y de los motores puede verse en el Código 10.26 y 10.27.

## 7.4. Prueba de percepción

Siguiendo el diagrama de secuencia propuesto en 6.6.1, los pasos a seguir son: obtener la imagen de la caja, procesar la imagen para reconocer el color y el número, y por último, girar de manera precisa el número de vueltas y en el sentido acorde a la información de la caja. En la Ilustración 37 se muestran los nodos de *ROS2* desarrollados que desempeñan esta prueba.

El nodo rosa de nivel alto *pertzepzio\_proba* solicita al nodo lila de nivel medio *pertzepzio\_proba\_wrapper* mediante el servicio verde *koloreazenzbakia\_iragarri* el color y número identificado en la caja.

Al recibir la solicitud, el nodo de nivel medio solicita al nodo púrpura de nivel bajo sacar una foto mediante el servicio *argazkia\_atera*. Tras recibir la foto, la procesa y devuelve el color y el número como resultado del primer servicio al nodo de nivel alto.

Finalmente, el nodo de nivel alto solicita al nodo de nivel medio mediante la acción *pertzepzio\_proba\_360bira* la realización del giro. Para ello, el nodo de nivel medio se suscribe a los tópicos azules de la *IMU*, motores y servomotores para recibir y publicar la información que gobierna esos dispositivos. Los nodos de nivel bajo se encargan de recibir y publicar dichos valores para controlar los sensores y actuadores.

En este apartado se describe el proceso realizado para el desarrollo de la prueba de percepción.

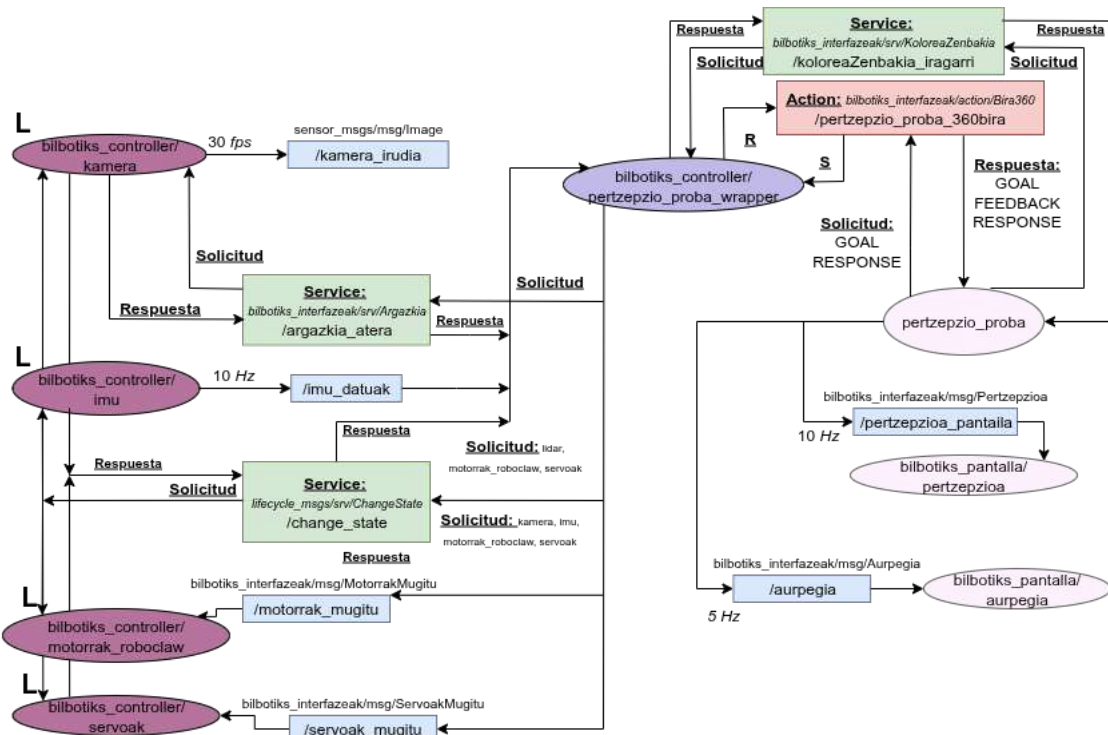


Ilustración 37: Nodos involucrados en la prueba de percepción.

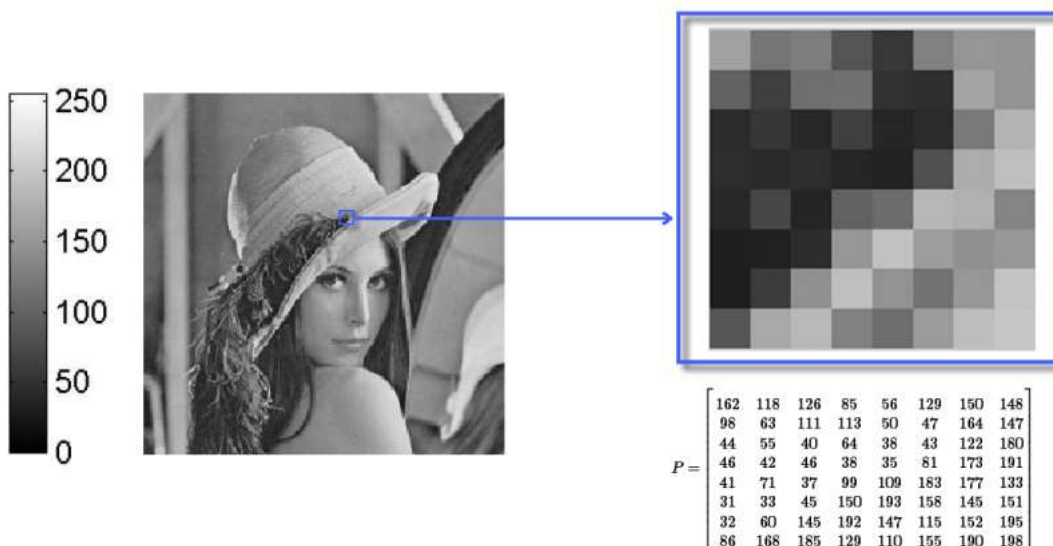
### 7.4.1. Imágenes digitales

#### 7.4.1.1. Definición y codificación de las imágenes digitales

Una imagen digital es una representación bidimensional de  $n \cdot m$  elemertos. A cada uno de estos elementos se le conoce como píxel (*picture element*) [66]. Cada uno de estos píxeles tiene un significado y un tamaño dado por el espacio de color utilizado. Pueden ser de dos, ocho u otra cantidad de bits.

Consecuentemente, el tamaño total de la imagen será el número de píxeles por el número de bits por píxel:  $n \cdot m \cdot \text{bits}$ .

Por ejemplo, una imagen de 1920x1080 píxeles con ocho (8= bits por píxel, tendrá un tamaño de  $1920 \cdot 1080 \cdot 8 = 16,588,800 \text{ bits} / 8 = 2,073600 \text{ bytes} = 2,0736 \text{ MB}$  (megabytes). El fragmento de la Ilustración 38 tendrá un tamaño de 512 bits.



#### 7.4.1.2. Compresión de imágenes digitales

Esta técnica elimina información redundante o innecesaria en la codificación de la imagen para reducir el número de bits necesarios para almacenar la imagen. Este proceso puede implicar una pérdida de definición de la imagen en función del algoritmo de compresión utilizado. Asimismo, puede ser reversible.

Los distintos formatos de almacenamiento de imágenes implementan diferentes algoritmos de compresión. En la siguiente tabla se muestran las características de los formatos más extendidos [68]:

Formato	Uso	Compresión
JPEG	Fotografías y escenas reales	Con pérdida
PNG	Gráficos	Sin pérdida
GIF	Diagramas y animaciones simples	Sin pérdida
BMP	Programas de <i>Microsoft</i>	Sin pérdida
TIFF	Manipulación de imágenes	Con y sin pérdida

**Tabla 7:** Tipo de compresión de imágenes según el formato.

#### 7.4.1.3. Obtención de la imagen digital en ROS2 y OpenCV

La manera más sencilla de interactuar con la cámara desde *Python* es haciendo uso de la librería *cv2* de *OpenCV*. Después, se utiliza la librería *cv\_bridge* para convertir la imagen en un mensaje de *ROS2*, concretamente *sensor\_msgs/Image* [69], y poder mandarla a otros nodos. Finalmente, el nodo que recibe la fotografía la vuelve a codificar en formato legible por *cv2* y puede realizar el procesamiento requerido.

En la Ilustración 39 se resumen gráficamente el proceso implementado. Se ha definido un tipo de servicio personalizado, 7.11, en el que la cabecera de la solicitud es vacía y la respuesta un objeto de tipo *sensor\_msgs/Image*.

El nodo *kamera* implementa el servidor del servicio *argazkia\_atera*, que accede a la cámara, saca una foto, convierte la foto en un mensaje *sensor\_msgs/Image* de *ROS2* y la envía en la respuesta del servicio. La implementación del servidor y la función de respuesta están en el Código 10.12 y 10.13.

El nodo *pertzepzio\_proba\_wrapper* implementa el cliente del servicio y realiza la solicitud, 10.14, que en este caso será vacía. Este envía la petición mediante una llamada asíncrona, pero como no es necesario realizar más procesos en paralelo se espera la respuesta de manera síncrona y se almacena en la variable *argazkia*. Por último, convierte dicha variable, que es un mensaje *ROS2* de tipo *sensor\_msgs/Image*, en codificación *BGR8*, la codificación por defecto de *cv2*. Esta codificación se compone de tres canales, *Blue Green Red*, Azul Verde Rojo, de ocho bits cada uno.



**Ilustración 39:** Servicio para sacar una foto.

### 7.4.2. Identificación de colores y formas

La detección de colores es un problema clásico de la visión artificial. Existen diferentes modelos para la representación de los colores, siendo *HSI* el más cercano a la percepción humana [70]. Estos modelos de color determinan cómo es descrito y codificado cada píxel de la imagen.

Además, para minimizar errores y mejorar el rendimiento del robot se han añadido restricciones de forma geométrica que tienen que cumplir el color detectado para validarla. El color a identificar es de forma cuadrada, por lo que si se detecta alguno de los colores deseados y no tiene un contorno cuadrado similar a las dimensiones de la caja, no se marcará como detectado. Estas restricciones eliminan el ruido ocasionado por pequeños píxeles.

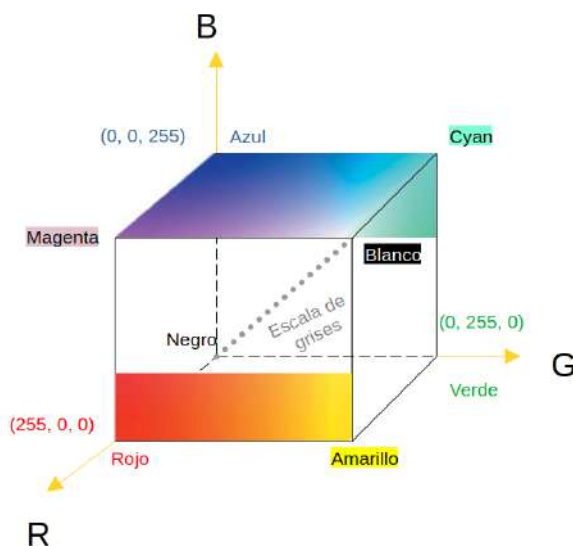
A continuación se describe la codificación de las imágenes en los espacios de color más empleados y la implementación de esta tarea junto con las restricciones.

#### 7.4.2.1. Modelo RGB

El modelo *RGB*, *Red Green Blue*, *Rojo Verde Azul*, utiliza esos tres colores primarios para representar todos los colores. Se basa en un espacio de coordenadas cartesianas donde los colores son puntos del interior del cubo definidos por vectores que se extienden desde el origen [70]. Por tanto, para generar un color se mezcla una cantidad determinada de cada componente o canal primario.

La codificación más habitual de un espacio de color *RGB* es de ocho bits por componente, es decir, veinticuatro bits. De esta manera, cada canal puede tomar valores de 0 a 255.

Este modelo es ideal para procesar imágenes que se expresan en estos tres canales primarios, como se muestra en el trabajo [71] para estimar la clorofila con una cámara de vídeo sobre fondo negro.



**Ilustración 40:** Representación del espacio de color RGB de 24 bits. Imagen propia.

#### 7.4.2.2. Modelo CMY

Emplea los colores secundarios, *Cyan Magenta Yellow*, *Cian Magenta Amarillo*, en lugar de los primarios. Su representación espacial es la misma que la del modelo *RGB*, modificando las coordenadas de los canales utilizados. Cada componente absorbe a otra del espacio *RGB*, por lo que el modelo *CMY* de veinticuatro (24) bits se define de la siguiente manera:

$$\begin{bmatrix} C \\ M \\ Y \end{bmatrix} = \begin{bmatrix} 255 \\ 255 \\ 255 \end{bmatrix} - \begin{bmatrix} R \\ G \\ B \end{bmatrix}$$

Una peculiaridad de este modelo es que no puede generar un color negro puro, motivo por el que se le añade una cuarta componente *K* para el negro, dando lugar al espacio de color *CMYK*.

Las impresoras utilizan este modelo porque el papel absorbe la tinta y al tratarse de un sistema sustractivo se generan los colores mediante la absorción de la luz en lugar de la emisión.

#### 7.4.2.3. Modelo HSV

El modelo *Hue Saturation Value*, *Tono Saturación Valor*, extrae de las imágenes esas tres características. En primer lugar, es imprescindible definir qué describe cada elemento.

El tono describe la escala de grises de la imagen, esto es, los niveles de brillo que van desde el negro hasta el blanco. En la representación espacial se refiere al ángulo, de 0 grados a 360 grados sobre la circunferencia de la base.

La saturación describe la pureza o la intensidad del color. Una alta saturación se refiere a un color vivo o un objeto o elemento destacado en la imagen. El rango de valores es de cero, sin pigmento o blanco, a uno.

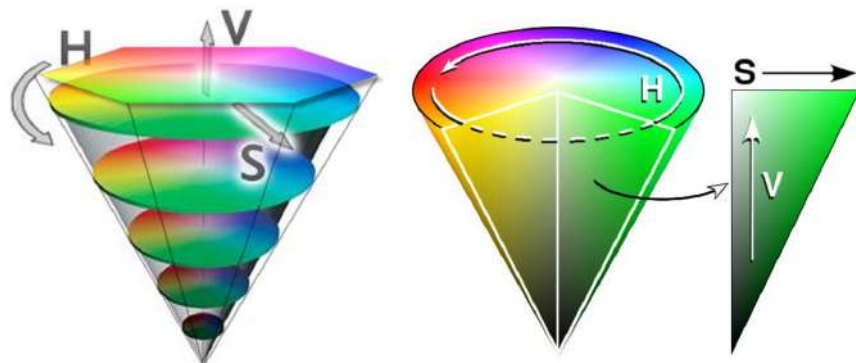
El valor o brillo describe la luminosidad u oscuridad de la imagen, es decir, mide la cantidad de luz que una imagen emite o refleja. El rango de valores es de cero, sin brillo, a uno.

El espacio de color HSV se obtiene a partir de una transformación no lineal del espacio *RGB* [67]:

$$H = \arccos \left( \frac{\frac{1}{2} \cdot ((R - G) + (R - B))}{\sqrt{(R - G)^2 + (R - B)(G - B)}} \right)$$

$$S = 1 - 3 \cdot \frac{\min(R, G, B)}{R + G + B}$$

$$V = \frac{1}{3} \cdot (R + G + B)$$



**Ilustración 41:** Representación del espacio de color HSV [72].

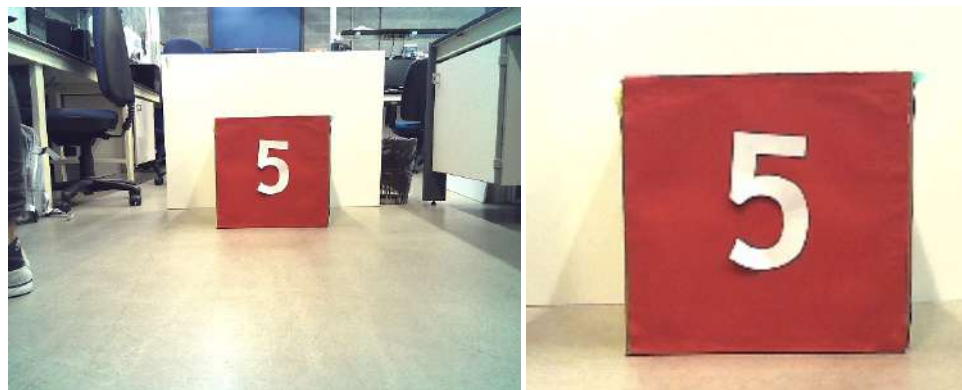
La principal ventaja de este modelo es que al separar la información del color de la intensidad luminosa, el tono y la saturación permanecen relativamente estables facilitando la identificación de diferentes variantes de un mismo color. En otras palabras, podría decirse que para la detección de colores el modelo *HSV* es invariante a las condiciones lumínicas.

Consecuentemente, es el modelo de color más adecuado para resolver la prueba de percepción.

#### 7.4.2.4. Restricciones geométricas

Como se menciona en el apartado 4.2.1, se conoce que la caja tiene una forma cuadrada de 40 centímetros de lado y que se colocará centrada a 1,5 metros del *rover*. Por tanto, se han impuesto dos restricciones geométricas:

- Se ha reducido la amplitud de la cámara aplicando un *zoom* centrado del 57 %, un recorte inferior del 30 % y un recorte del 20 % por cada lado. Este procesado permite centrar el enfoque de la cámara en la caja como se observa en la Ilustración 42, disminuyendo la cantidad de objetos que pueden despistar a la tarea. La porción de código correspondiente se puede ver en el Código 10.15.



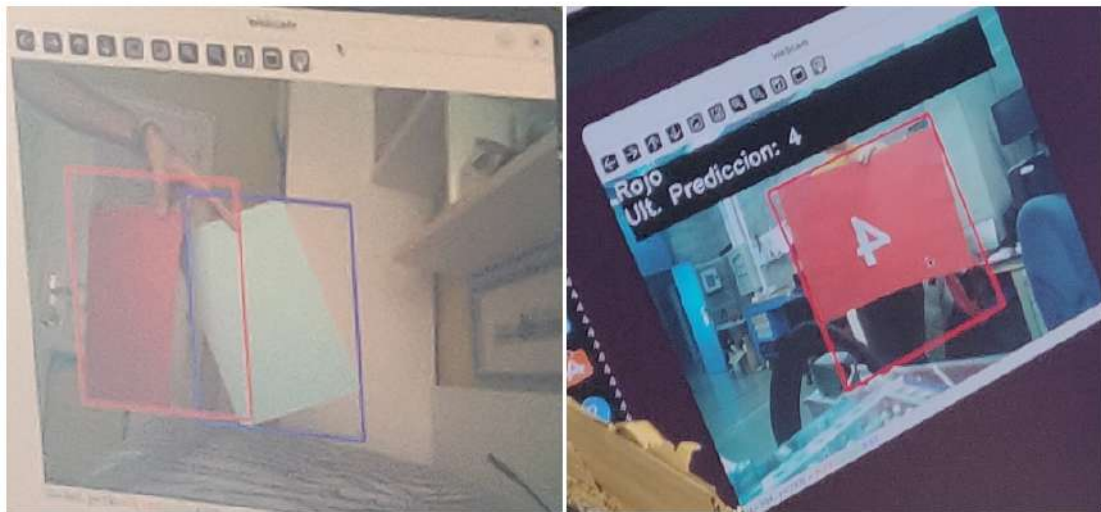
**Ilustración 42:** Resultado de la primera restricción, donde se aprecia la caja como elemento principal de la imagen.

- Se ha establecido un tamaño máximo de píxeles que puede ocupar la caja, considerando la distancia y su tamaño. Para ello, se han sacado fotografías con la cámara del *rover*, se han identificado los contornos de color mediante el modelo de color *HSV*, apartado 7.4.2.5, y se ha obtenido las dimensiones de cada contorno detectado. El resultado ha sido entre 225 y 275.

Además, se han realizado numerosas pruebas incluyendo el reflejo del color en el suelo, lo que ha exigido aumentar los valores de píxeles de altura, y la caja posicionada de manera no perpendicular al campo de visión de la cámara, lo que ha requerido disminuir los valores de píxeles de horizontal porque hace efecto de profundidad.

Por tanto, para que un color sea considerado válido tiene que tener entre 150 y 300 píxeles de ancho y entre 200 y 350 píxeles de alto.

En la Ilustración 43 se muestra el resultado de esta restricción, concretamente cuando el programa no detecta el color azul en aquellos objetos que no cumplen la restricción. La implementación de la restricción está en el Código 10.16.



**Ilustración 43:** Resultado de la segunda restricción. No se detecta el color azul con forma circular, ni rectangular ni cuadrada.

#### 7.4.2.5. Modelo *HSV* en *OpenCV*

La librería de *OpenCV* permite obtener fácilmente la codificación de una imagen utilizando el espacio de color *HSV* y representa las componentes con los siguientes rangos de valores [73]:

- *Hue*: [0, 179]
- *Saturation*: [0, 255]
- *Value*: [0, 255]

Por ello, es necesario trasladar los valores del modelo original a los valores utilizados por *OpenCV*.

En primer lugar, hay que obtener los valores de los colores azul y rojo. Para ello, se realizan transformaciones desde el modelo *RGB* como se explica en el apartado 7.4.2.3.

En segundo lugar, se transforman al rango de valores de *OpenCV*.

Los valores resultantes se presentan en la Tabla 8. Hay que tener en cuenta que el valor más importante es el tono o *hue*, ya que nos da la tonalidad del color, mientras que la saturación y el valor permiten generar variantes del tono con diferentes condiciones de intensidad y luminosidad. Por tanto, dos colores puros únicamente se diferenciarán por su tonalidad.

Color	RGB	HSV	HSV en OpenCV
Rojo	(255, 0, 0)	(0, 1, 1/3)	(0, 255, 85)
Azul	(0, 0, 255)	(240, 1, 1/3)	(120, 255, 85)

**Tabla 8:** Colores en HSV de *OpenCV*.

En tercer lugar, es necesario determinar para qué rangos de tonalidad se va a considerar cada color. Al obtener una imagen, debido a las condiciones ambientales, es prácticamente imposible obtener la lectura de un color puro, pero esto no significa que los valores obtenidos no correspondan al color que queremos identificar. En este paso se ha utilizado ingeniería inversa, es decir, se ha propuesto un rango no excesivamente amplio y se ha calculado sus valores *RGB* para conocer el color del que se trata hasta determinar el rango deseado. Los rangos resultantes se presentan en la Tabla 9. Para simplificar los cálculos, la saturación y el valor se han considerado como uno 1.

Es importante observar que la tonalidad del rojo está entre el comienzo y final del espacio de color, por lo que su rango va de 160 a 179 y de 0 a 10.

Color	Rango de H en OpenCV	RGB	Color asociado
Azul	80	(0, 255, 170)	Turquesa intenso
	130	(85, 0, 255)	Violeta intenso
Rojo	160	(255, 0, 170)	Magenta intenso
	10	(255, 42, 0)	Naranja intenso

**Tabla 9:** Rangos de tonalidad en HSV de *OpenCV*.

En cuarto lugar, hay que determinar el rango para los valores de saturación y luminosidad. En este paso también se ha aplicado ingeniería inversa, aunque el proceso puede simplificarse observando la Ilustración 41 y aplicando las siguientes dos reglas:

- Para el color azul, que es menos intenso que el rojo, únicamente tendremos que eliminar el rango de saturación y luminosidad que pueda confundirse con el color blanco y negro. El tono impedirá confundirlo con colores como el verde.
- Para el color rojo, aplicamos la misma regla que para el azul, pero restringiendo más los rangos porque una baja saturación podría confundirse con el amarillo o el naranja, y un bajo valor con el gris.

Los valores resultantes se exponen en la Tabla 10.

Por último, se define una máscara por cada color con los umbrales determinados y se aplican las máscaras a la imagen.

Color	Rango de SV en OpenCV
Rojo	(100, 255)
Azul	(50, 255)

**Tabla 10:** Rangos de saturación y luminosidad en *HSV* de *OpenCV*.

Una máscara es una imagen binaria, es decir, en blanco y negro, que destaca las regiones de interés dentro de la imagen original. Los píxeles cuyos valores no están en el rango establecido, son puestos a cero y descartados, y los que sí están en el rango, son puestos a uno y seleccionados. En este proyecto las máscaras se utilizan para seleccionar los píxeles que están dentro de los umbrales de color.

En el caso del color rojo, al estar al comienzo del tono, es necesario definir dos máscaras auxiliares, una para cada rango, y posteriormente, unirlas mediante una operación disyuntiva *OR*, esto es, el píxel podrá estar en la primera máscara auxiliar o en la segunda.

La porción de código correspondiente está en el Código 10.17.

#### 7.4.3. Identificación del número con redes neuronales

Para reconocer el número que aparece en una imagen o fotografía es necesario analizar los patrones y las formas que aparecen en ella. Para ello, es común utilizar herramientas de inteligencia artificial. Las técnicas más populares son *OCR* y el procesamiento de imágenes mediante redes neuronales de tipo convolucional.

En este apartado se describen ambas técnicas y el proceso y desarrollo implementado.

##### 7.4.3.1. *OCR - Optical Character Recognition*

Esta técnica se fundamenta en un modelo de red neuronal entrenada para reconocer caracteres. El entrenamiento incluye miles de muestras de cada carácter posible para que el modelo aprenda cómo es ese carácter y se detiene cuando la precisión de la predicción reconoce adecuadamente cada elemento en casos reales. Además, las imágenes se segmentan en celdas individuales y se procesan por separado. Esta estrategia mejora la actuación del algoritmo separando los caracteres individuales, pero tiene un alto coste computacional provocando largos tiempos de procesamiento.

El modelo de red neuronal puede ser de diferentes tipos, destacando las redes neuronales convolucionales, *CNN* por sus siglas en inglés.

La implementación de técnicas con un coste alto como *OCR* dependerá de la necesidad de precisión y condiciones del entorno. En el caso de la prueba de percepción, la segmentación de la imagen es prescindible debido a la homogeneidad de las imágenes a procesar, por lo que analizar la imagen mediante una red neuronal es suficiente y así poder ahorrar coste computacional.

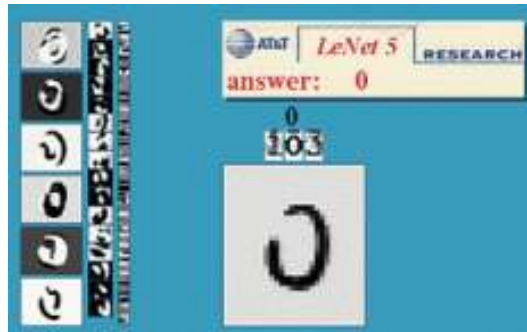


Ilustración 44: Ejemplo de OCR. Fuente: [74].

#### 7.4.3.2. CNN - Convolutional Neural Network

Una red neuronal convolucional es un tipo de red neuronal diseñada para procesar imágenes extrayendo automáticamente las características que las definen. Como su nombre indica, se fundamenta en la operación matemática de convolución.

Esta operación consiste en aplicar un pequeño filtro o *kernel*, por ejemplo, de 3x3 píxeles, sobre diferentes regiones de la imagen de entrada. En cada posición, el filtro y la región de la imagen se multiplican elemento a elemento y se suman, produciendo un único valor de salida. Este proceso se repite desplazando el filtro por toda la imagen, generando así un mapa de características que resalta patrones locales como bordes, texturas o formas simples [30].

En otras palabras, cada filtro o capa convolucional que se aplica reduce progresivamente la dimensionalidad de la imagen, por lo que cada una de ellas aprende una característica diferente.

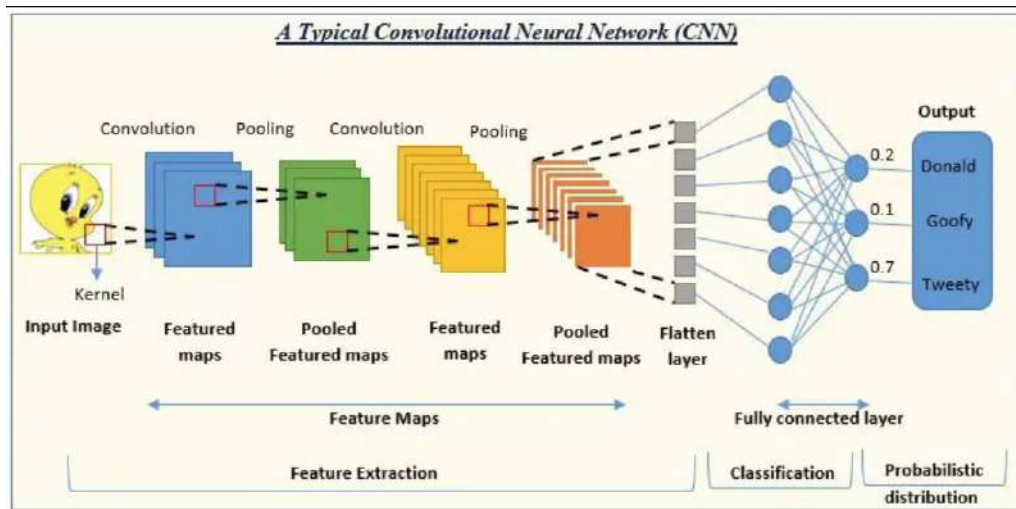
Estos mapas de características se van agrupando e introduciendo en las sucesivas capas convolucionales con el objetivo de extraer patrones cada vez más complejos. Estas capas suelen alternarse con capas de *pooling* para reducir la dimensionalidad de los mapas de características, pero conservar la información más relevante.

Posteriormente, se incluyen capas de aplanado o *flatten* para convertir la salida multidimensional de las capas anteriores en un vector unidimensional, capas densas para conectar cada neurona a todas las neuronas de la capa anterior y por último, la capa de salida, que transforma las representaciones internas aprendidas por la red en una predicción interpretable.

Cada capa densa genera más conexiones y por tanto, más pesos. En función de la dificultad de la tarea serán necesarias más o menos capas densas.

La salida de la capa de salida puede ser un valor determinado o, en este caso, la probabilidad de cada clase.

Todo este proceso se puede visualizar de manera esquemática en la Ilustración 45.



**Ilustración 45:** Esquema del funcionamiento de una CNN [75].

#### 7.4.3.3. Generación del conjunto de datos de entrenamiento

Un conjunto de datos o *dataset* es una colección organizada de datos que contiene la información que un modelo de aprendizaje automático necesita para poder aprender.

La calidad y variedad del conjunto son factores determinantes para el éxito de cualquier modelo. Un *dataset* de calidad debe ser limpio, estar bien etiquetado y ser representativo del problema real que se quiere abordar. Si los datos son insuficientes, están sesgados o contienen errores, el modelo resultante será incapaz de generalizar correctamente y sus predicciones serán poco fiables. Por ello, es fundamental asegurarse de que el conjunto cubra la mayor diversidad posible de casos y escenarios, evitando así que el modelo aprenda patrones erróneos o irrelevantes.

En el caso del procesamiento de imágenes con redes CNN, proveer de imágenes con diferentes condiciones ambientales, de posición y orientación ayuda a detectar los patrones que mejor caracterizan a cada una de las clases a predecir.

Además, todas las clases que se quieran predecir tienen que estar representadas de manera equitativa para evitar introducir un sesgo o preferencia hacia ciertas clases. Para lograrlo se aplican técnicas de *undersampling* u *oversampling* que consisten en reducir o aumentar el número de registros de la clase mayoritaria o minoritaria, respectivamente, hasta equilibrar todas las categorías. No obstante, como en este proyecto se ha generado un *dataset* propio se han generado datos equilibrados entre clases y así evitar el uso de estas técnicas.

Este conjunto de datos se divide en tres subconjuntos, cada uno con un propósito diferente:

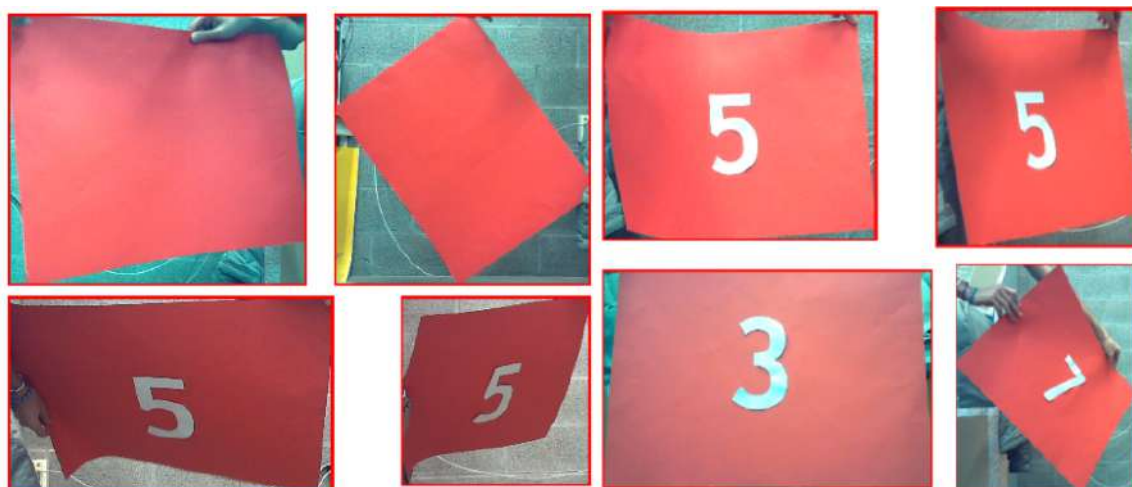
- **Subconjunto de entrenamiento (train):** es la porción más grande del *dataset* y se utiliza para que el modelo aprenda los patrones y relaciones en los datos. Supone el 70 % del conjunto.
- **Subconjunto de validación (val):** se emplea durante el entrenamiento para ajustar los hiperparámetros y prevenir el sobreajuste, permitiendo evaluar cómo

generaliza el modelo a datos que no ha visto durante el aprendizaje. Supone el 15 % del conjunto.

- **Subconjunto de pruebas o desarrollo (test/dev):** sirve para medir el rendimiento final del modelo una vez completado el entrenamiento y la validación, proporcionando una estimación objetiva de su capacidad de generalización frente a nuevos datos. Las métricas de rendimiento de los modelos se obtienen a partir de este subconjunto de datos. Supone el 15 % del conjunto.

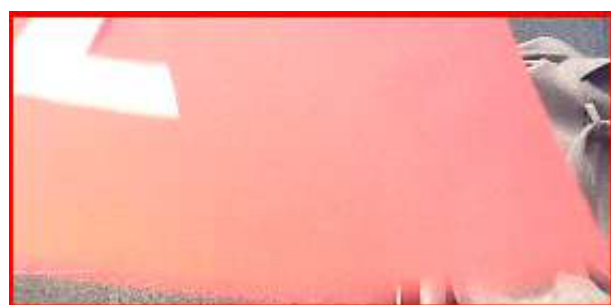
Para generar el conjunto de datos necesario para superar la prueba se ha utilizado la identificación de colores y formas del apartado 7.4.2 y fotografiado las regiones resaltadas por dicho algoritmo. La Ilustración 46 muestra varios ejemplos de las imágenes que forman el *dataset* generado. Para simplificar el proceso, las fotografías únicamente se han obtenido sobre fondo rojo, puesto que al aplicar después el algoritmo de detección de bordes Canny del apartado 7.4.3.4, el color del fondo resulta intrascendente.

La porción de código *Python* para la realización de este proceso está en el Código 10.18.



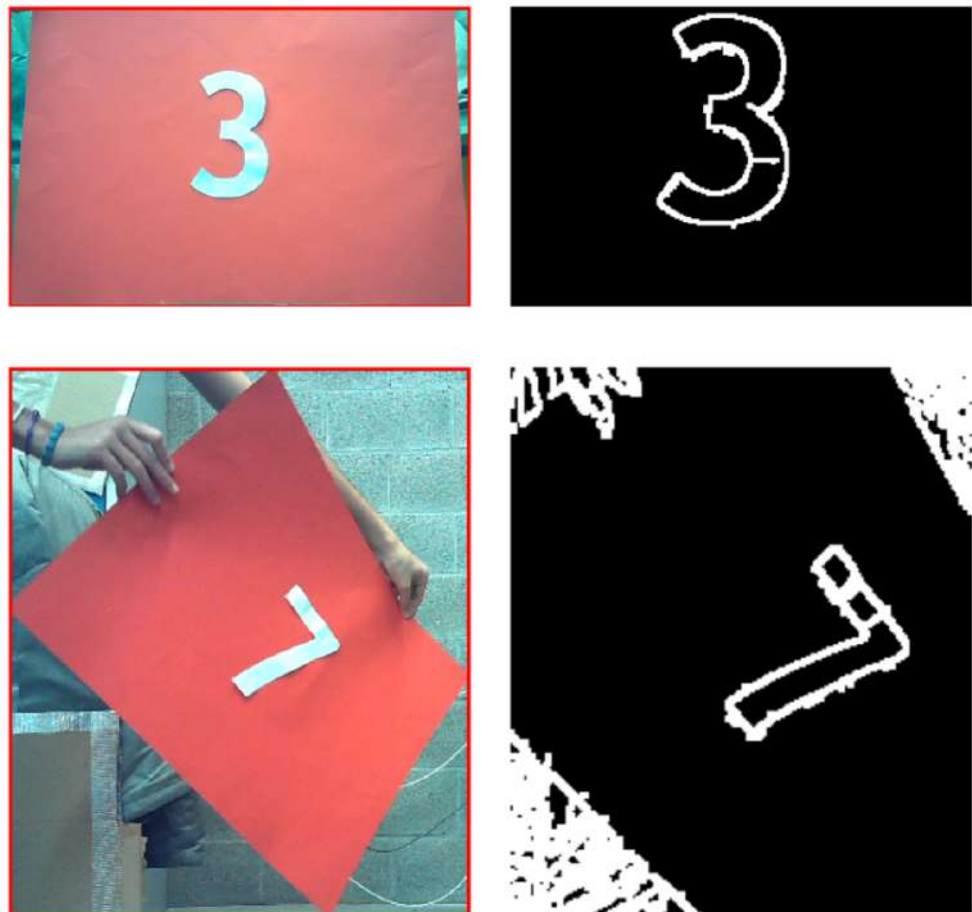
**Ilustración 46:** Ejemplos del *dataset* generado.

Tras obtener las imágenes se ha realizado un filtrado manual para eliminar aquellas que introduzcan ruido o distracciones al sistema. Un ejemplo de ello es la Ilustración 47.



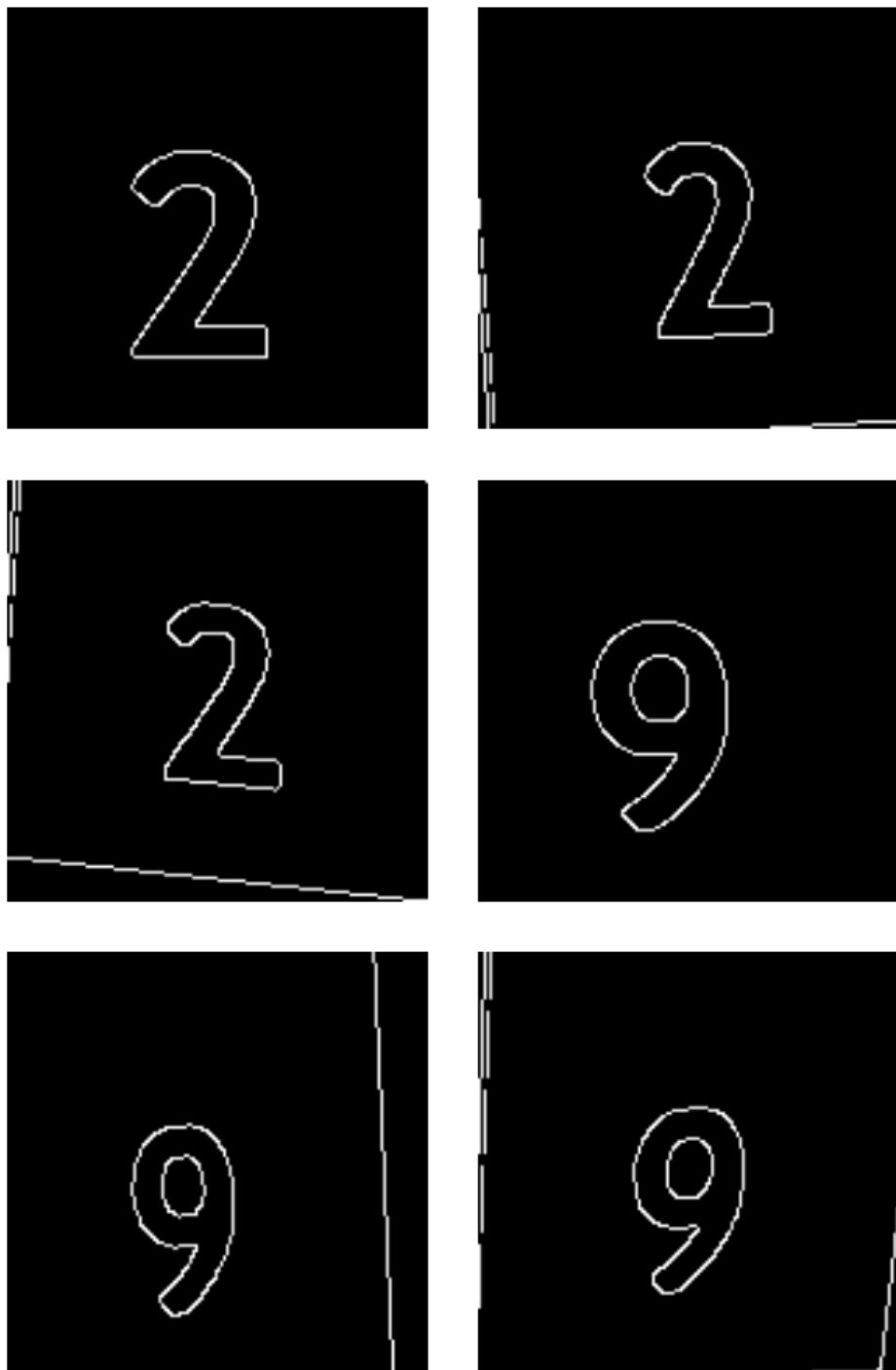
**Ilustración 47:** Ejemplo de imágenes eliminadas del *dataset* generado.

Después, se ha aplicado el citado algoritmo de *Canny*, descrito en el apartado 7.4.3.4, con el objetivo de resaltar los bordes del número y facilitar al modelo el aprendizaje de características. En la Ilustración 48 se presenta la imagen original y el resultado de la aplicación de este algoritmo, y la implementación del código en el Código 10.19.



**Ilustración 48:** Ejemplo del resultado de aplicar el algoritmo de detección de bordes *Canny*

Asimismo, con el fin de reforzar el entrenamiento del modelo se han generado más imágenes de manera sintética, es decir, imágenes generadas por ordenador que simulan a las imágenes reales. Se han creado cien imágenes de este tipo por cada clase, salvo para la categoría de "sin número" o "NaN". En la Ilustración 49 se presentan varios ejemplos de las imágenes sintéticas generadas y la porción del código en el Código 10.20.



**Ilustración 49:** Ejemplos de las imágenes sintéticas generadas.

Finalmente, se ha dividido el conjunto de datos en los subconjuntos de entrenamiento, validación y test mediante el trozo de Código 10.21.

En total, 10.736 imágenes diferentes componen el conjunto de datos, con el reparto entre diferentes clases recogido en la Tabla 11.

Clase	Número de imágenes
1	1221
2	1041
3	1200
4	1076
5	1198
6	1168
7	917
8	1066
9	951
NaN	898

**Tabla 11:** Número de imágenes que integran el *dataset* por clases.

#### 7.4.3.4. Algoritmo de detección de bordes Canny

El algoritmo de detección de bordes *Canny* es un enfoque computacional para la detección de bordes en imágenes planteado en el año 1986 por John Canny [76], licenciado en informática, física teórica e ingeniería eléctrica por la Universidad de Adelaida, Australia, doctor por el *MIT* y actual profesor de la Universidad de California Berkeley.

Este algoritmo logra una detección precisa de los bordes y es robusto frente al ruido. Aunque hoy en día se aplica fácilmente con librerías como *OpenCV*, que ya incluyen la implementación, es fundamental conocer sus bases para entender sus resultados y ajustar sus parámetros correctamente.

El objetivo es detectar todos los bordes verdaderos de una imagen, para lo que se necesita localizar dichos bordes con precisión y minimizar las respuestas múltiples a un mismo borde. Una misma transición de intensidad en las diferentes etapas no debe generar varias líneas o marcas paralelas que representen al mismo borde.

La primera etapa es la reducción o supresión del ruido mediante un filtro *gaussiano* para evitar que se generen bordes falsos [28]. Este filtrado sustituye el valor de cada píxel de la imagen por la media de los niveles de intensidad de los píxeles vecinos definida por la máscara del filtro [70], es decir, por un promedio del entorno. Los bordes también se caracterizan por transiciones bruscas de intensidad, por lo que este tipo de filtros tienen el efecto secundario de difuminar los bordes. Sin embargo, los números, cuyos bordes hay que detectar, son de color blanco y al estar colocados sobre un fondo de color rojo o azul, el contraste generado tiene una intensidad suficiente para que el promedio mantenga una transición brusca.

La segunda etapa es la identificación de las zonas donde se producen los mencionados cambios bruscos de intensidad mediante el cálculo de la magnitud y dirección del

gradiente, que indica dónde se ubica el cambio más rápido en la intensidad de la imagen en cada punto. La magnitud permite localizar los bordes, es decir, cambios intensos, y la dirección la orientación del borde.

La tercera etapa consiste en adelgazar los bordes detectados para conseguir bordes de un solo píxel de grosor. El píxel seleccionado será el máximo local en la dirección del gradiente. No obstante, para enfatizar en los bordes y con la intención de que ganen mayor importancia que los posibles bordes de detrás de la cartulina o de la caja, los bordes de los números se han ensanchado y engruesado mediante dilatación.

La cuarta y última etapa es la reducción de la probabilidad de detectar bordes falsos mediante la umbralización con histéresis. Esta técnica permite decidir qué píxeles detectados como posibles bordes deben considerarse como tal, de forma que si la magnitud del gradiente de un píxel es mayor que el umbral alto se considera borde fuerte, si la magnitud del gradiente está entre ambos umbrales se considera borde débil, y si la magnitud del gradiente es menor al umbral bajo se descarta. Los bordes débiles solo se mantienen cuando están unidos a un borde fuerte.

El resultado de aplicar este algoritmo se puede observar en la Ilustración 48 y la implementación en el Código 10.19.

El umbral inferior utilizado es 20 y el superior 110, sobre 255. Por una parte, el valor del umbral inferior permite que se consideren candidatos a aquellos cuyo cambio de intensidad es moderado, y no supone un riesgo puesto que si no están conectados a un borde fuerte se descartarán. Por otra parte, el valor del umbral superior asegura que se detecten los contornos principales del número sin incluir bordes espurios, ya que el contraste entre el número blanco y el fondo de color es alto.

Para la dilatación y ensanchado de los bordes del número se ha empleado un *kernel* o una matriz de 3x3 píxeles que recorre la imagen y convierte en blancos, valor 255, los píxeles vecinos. En otras palabras, este *kernel* contagia de blanco a sus ocho vecinos inmediatos. Un tamaño mayor supone ensanchar aún más los bordes con el riesgo de que estos se unan y el número quede desfigurado.

Tanto los valores del umbral como el tamaño de la matriz y número de iteraciones se han elegido mediante prueba y error.

#### 7.4.3.5. Arquitectura y entrenamiento del modelo CNN diseñado

En cuanto al diseño de la arquitectura, tal y como se propone en [30], se selecciona un modelo CNN con siete capas y la siguiente arquitectura:

1. **Capa convolucional y pooling.** Recibe la imagen de entrada con un tamaño de 64x64 píxeles y tres canales de *RGB*. Se aplican 32 filtros de 3x3 para extraer las características básicas como bordes, contornos y texturas simples, y función de activación *ReLU*.

Se reduce la dimensionalidad espacial de los mapas de activación a la mitad con un *kernel* de 2x2 píxeles. En cada bloque, se selecciona el valor máximo con el objetivo de extraer las características más relevantes de cada región y reducir la sensibilidad a pequeñas variaciones en la imagen.

Se utiliza una normalización de *batch* y *dropout* del 30 % para estabilizar el aprendizaje, acelerar la convergencia y prevenir el sobreajuste.

2. **Capa convolucional y pooling.** Se aumenta la profundidad de la red de 32 a 64 filtros para extraer patrones más complejos. Se aplica la función de activación *ReLU*.
3. **Capa convolucional y pooling.** Se aumenta la profundidad de la red de 64 a 128 filtros para extraer patrones aún más complejos. Se aplica la función de activación *ReLU*.
4. **Capa de aplanado o flatten.** Se convierten los mapas de características multidimensionales, es decir, los resultados de las capas anteriores, a un vector unidimensional para poder ser introducidos en las capas densas.
5. **Capa densa.** Se compone de 128 neuronas y regularización *L2* para penalizar los *outliers* o valores atípicos en los pesos. Refuerza la capacidad de generalización del modelo. Se aplica la función de activación *ReLU*.
6. **Capa densa.** Se compone de 64 neuronas y refina la representación de características. Se aplica la función de activación *ReLU*.
7. **Capa de salida.** Se compone de 10 neuronas o salidas, una por cada clase. La función de activación *softmax* convierte los valores de las neuronas en probabilidades que suman uno, permitiendo la clasificación en múltiples clases.

Para el entrenamiento se ha establecido un tamaño de lote de 64, un tamaño de imagen de 64x64 píxeles para todas las imágenes y una tasa de aprendizaje de 0,001. Redimensionar todas las imágenes a un tamaño normalizado facilita el entrenamiento.

Además, se utiliza el objeto *ImageDataGenerator* de la librería *keras* (integrada en la librería *tensorflow*) para generar lotes de imágenes en tiempo real y aplicar transformaciones de aumento de datos a estas imágenes mientras se entrena el modelo. Este objeto genera dinámicamente las instancias de datos con los que se va a entrenar el modelo cogiendo de partida las imágenes originales y evita cargar todo el *dataset* en memoria.

Se ha empleado el algoritmo de optimización *Adam* para la implementación de la función de pérdida *categorical crossentropy* y la precisión como métrica de evaluación, que mide la tasa de predicciones acertadas del total realizadas.

También se aplican unos mecanismos de retroalimentación para reducir automáticamente el *learning rate* y detener el entrenamiento cuando la precisión de validación no mejore pasadas cinco o diez épocas, respectivamente, y para guardar el mejor modelo entrenado hasta el momento.

El modelo se ha entrenado a lo largo de cien *epochs* y la codificación de la arquitectura y del entrenamiento se presenta en el Código 10.22.

#### 7.4.3.6. Validación del modelo

En la Ilustración 50 pueden verse los resultados del aprendizaje a lo largo del entrenamiento a través de dos gráficas. En la primera gráfica, de la precisión o *accuracy*, se observa cómo al principio el modelo aprende correctamente de manera rápida y poco a po-

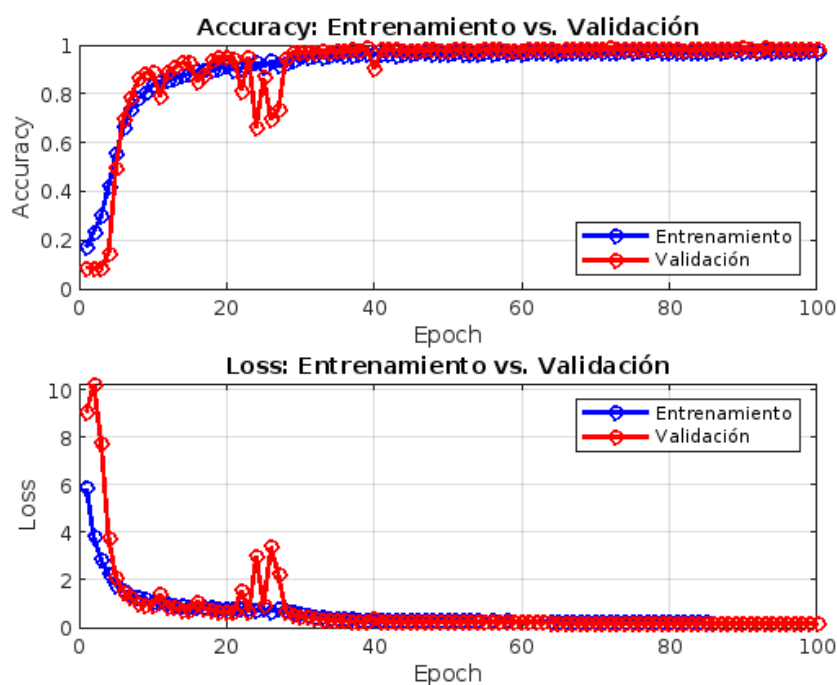
co la convergencia se ralentiza. A partir de la época cuarenta no se produce una mejora sustancial en el modelo.

Si la precisión de validación es significativamente menor que la de entrenamiento, significa que el modelo se ha ajustado excesivamente a los datos de entrenamiento y no generaliza correctamente. El objetivo es que ambas se acerquen a uno.

En el caso de la pérdida o *loss*, aunque la pérdida de entrenamiento disminuya continuamente, si la de validación se estabiliza o aumenta se produce *overfit*. El objetivo es que ambas se acerquen a cero.

En este caso, ambas métricas evolucionan según lo esperado y sus valores en entrenamiento (color azul) y validación (color rojo) son similares, lo que significa que el modelo se comporta según lo esperado y resuelve adecuadamente la tarea para la que ha sido creado.

El gráfico de las métricas se ha generado con *MATLAB* [77], Código 10.23, y en la Tabla 12 se presentan los valores finales de las métricas de evaluación y la tasa de aprendizaje a la que se ha reducido automáticamente.



**Ilustración 50:** Precisión y pérdida del modelo durante el entrenamiento.

Métrica	Valor
<i>Training Accuracy</i>	0,9773
<i>Training Loss</i>	0,1976
<i>Validation accuracy</i>	0,9896
<i>Validation loss</i>	0,1514
<i>Learning rate final</i>	0,0001

**Tabla 12:** Resultados de las métricas de evaluación del entrenamiento del modelo *CNN* desarrollado.

#### 7.4.3.7. Integración del modelo con la identificación de colores

Para integrar ambos procesos, siguiendo las especificaciones de la prueba, se ha establecido el orden de las operaciones.

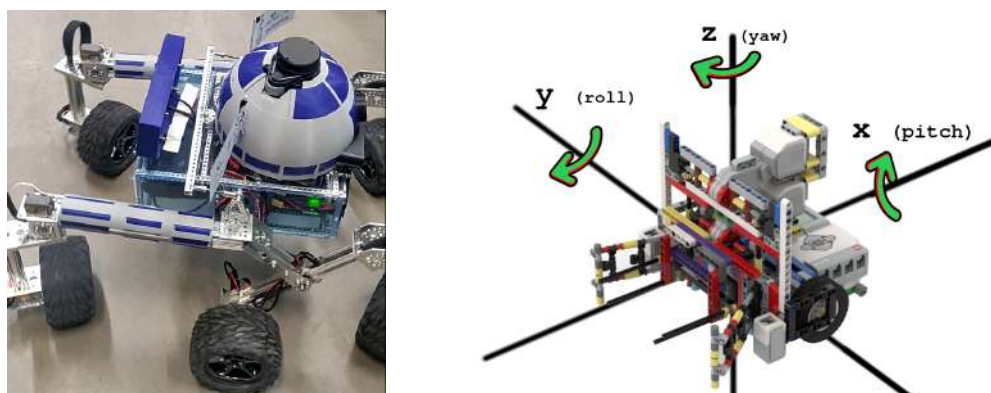
En primer lugar, se realizará la detección de color y después, solo si se ha detectado una región de color, sobre esa región se identificará el número que esté visible.

Este orden garantiza que si se coloca un número sobre un color distractor, no será detectado y así obtener la puntuación máxima de la prueba.

La integración del código puede verse entre las líneas 207 y 249 del nodo *pertzep-zio\_proba\_wrapper* en el Código 10.31.

#### 7.4.4. Giros con IMU

El primer paso es colocar los servomotores en posición de “araña” para permitir al *rover* girar sobre sí mismo. Esta posición puede verse en la Ilustración 51.



**Ilustración 51:** A la izquierda, los servomotores en posición para girar sobre sí mismo. A la derecha, la representación general de *roll*, *pitch* y *yaw* [39].

En segundo lugar, se realiza el giro hasta que el valor de la *IMU* sea el deseado. Los motores giran en un sentido u otro en función de la orientación del giro y se utilizan los ángulos de Euler, es decir, *roll*, *pitch* y *yaw*, proporcionados por el sensor.

La representación general de estos tres ángulos se puede ver en la Ilustración 51. El ángulo que permite girar sobre sí mismo es el *yaw*, habitualmente sobre el eje *z*, pero debido al posicionamiento del sensor en el robot se corresponde con el valor almacenado en el eje *x* del sensor.

Se ha desarrollado un algoritmo de doble etapa que permite disminuir artificialmente la latencia del sensor cuando el robot está próximo a su objetivo con el fin de aumentar la precisión del giro:

■ **Primera etapa:** mientras no se haya superado el 80 % de los grados a girar, es decir  $0,8 \cdot 360^\circ \cdot$  número de vueltas a girar:

- Leer *IMU* y mover el *rover* a velocidad rápida.
- Si se ha dado una vuelta, contabilizarla.
- Actualizar grados girados.

■ **Segunda etapa:** mientras no se haya superado el 100 % de los grados a girar, es decir,  $360^\circ \cdot$  número de vueltas a girar:

- Leer *IMU* y mover el *rover* a velocidad lenta.
- Si se ha dado una vuelta, contabilizarla.
- Actualizar grados girados.

En la línea 74 y entre la 280 y 364 del nodo *pertzepzio\_proba\_wrapper* en el Código 10.31 se puede ver la implementación de este algoritmo como una acción de *ROS2*. La solicitud de la acción se puede ver en la línea 97 del nodo *pertzepzio\_proba* en el Código 10.33.

## 7.5. Prueba de control

Siguiendo el diagrama de secuencia propuesto en 6.6.2, los pasos a seguir son: obtener la distancia a las paredes del entorno y generar una respuesta en la dirección del movimiento. En la Ilustración 52 se muestran los nodos de *ROS2* desarrollados que desempeñan esta prueba.

El nodo lila de nivel medio *kontrol\_proba\_wrapper* se suscribe a los tópicos azules del *LiDAR*, motores y servomotores para recibir y publicar la información que gobierna esos dispositivos. Los nodos de nivel bajo se encargan de recibir y publicar dichos valores para controlar los sensores y actuadores.

En este apartado se describe el proceso realizado para el desarrollo de la prueba de control.

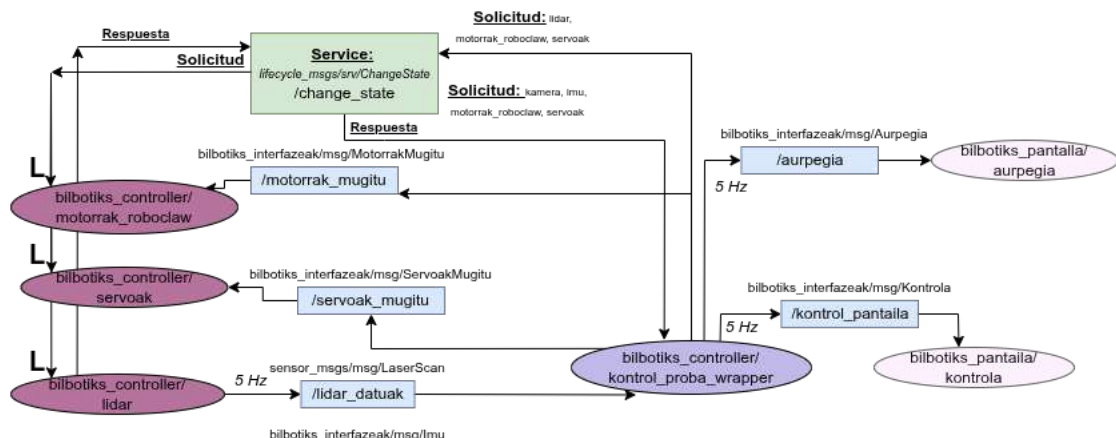


Ilustración 52: Nodos involucrados en la prueba de control.

### 7.5.1. Estrategia

La estrategia implementada consiste en obtener las distancias laterales a cada pared del pasillo, restarlas y obtener la diferencia entre ellas para conocer si el robot se encuentra a la izquierda o a la derecha del centro del pasillo.

Al restar la distancia derecha a la izquierda, si se obtiene un valor positivo el robot estará desplazado hacia la derecha, mientras que si es negativo lo estará hacia la izquierda.

Para convertir este error en una acción del robot se utiliza un controlador proporcional y derivativo, que obtiene el ángulo al que deben girar los servomotores de las patas delanteras para corregir la trayectoria.

### 7.5.2. Procesamiento del *LiDAR* y mensaje *LaserScan* en *ROS2*

El primer paso es obtener las mediciones del sensor que indican la distancia a cada pared. Se ha programado haciendo uso del *SDK* y la librería de *Python* del fabricante [78], y para comprobar el correcto funcionamiento del *LiDAR* se ha modificado el código de ejemplo proporcionado por el fabricante para imprimir por pantalla las mediciones, Código 10.24.

```
angle: 14.92187500613913 range: 0.0
angle: 8.062499584029268 range: 1.48359999413258667
angle: 8.375000375351215 range: 1.488000030352859497
angle: 8.571875401399465 range: 1.496999979019165
angle: 8.95312466217402 range: 1.503000020986835
angle: 9.26562459972232 range: 1.5080000152124634
angle: 9.56249962577057 range: 1.51800000566757292
angle: 9.859374651818822 range: 1.52699999504689355
angle: 10.156249677367072 range: 1.5340000039100647
angle: 10.453124703915321 range: 1.54200000553131104
angle: 10.749999729963573 range: 1.5499999523162842
angle: 11.062499657511874 range: 1.5549999475479126
angle: 11.34374978269073 range: 1.562999963769376
angle: 11.640624808108324 range: 1.5700000524520874
angle: 19.0937503782888534 range: 0.0
angle: 19.45312495436314 range: 0.0
angle: 12.296875359978673 range: 2.325000047683716
angle: 12.093750323575224 range: 2.3289999951853027
angle: 12.906250323575224 range: 2.3450000286162295
angle: 13.187499584349778 range: 2.361999988555908
angle: 13.500000375571725 range: 2.372999906539917
angle: 13.796875401719975 range: 2.3889999339648438
angle: 14.093749573994579 range: 2.4019999504089355
angle: 14.496250355316527 range: 2.4149997618530273
angle: 14.703124537591131 range: 2.434999942779541
angle: 15.000000417413029 range: 2.444000005722046
angle: 15.296874589587633 range: 2.4590000106262207
angle: 15.609374527235932 range: 2.47600000705718994
angle: 15.9062504478783 range: 2.4900000095356743
angle: 16.18750052150683 range: 2.506000004196167
angle: 16.500000459154332 range: 2.5220000743865967
angle: 16.796874631428935 range: 2.53800001068115234
angle: 17.093750511250832 range: 2.552999973297119
angle: 17.4062504487913 range: 2.572999954223633
angle: 17.68750056334733 range: 2.5880000591278076
angle: 17.984374735521937 range: 2.60500000190734863
angle: 18.296874673170237 range: 2.624000072479248
angle: 18.593750552997134 range: 2.640000104904175
angle: 18.89062472526574 range: 2.65000009853306885
angle: 19.18750060588637 range: 2.6760001132556152
angle: 19.48437477736324 range: 2.694000005722046
```

**Ilustración 53:** Mediciones del *LiDAR* desordenadas.

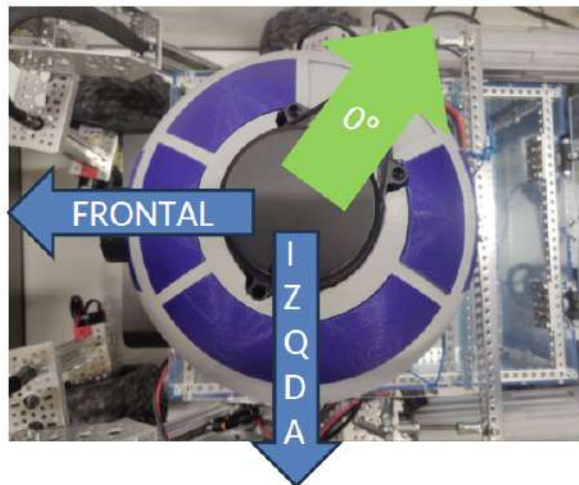
En la Ilustración 53 se observa que las mediciones del sensor aparecen desordenadas respecto del ángulo al que corresponden, lo que supone un problema.

Para solventarlo, se ha aplicado una ordenación con la librería *numpy* como se muestra en la línea 144 en el Código 10.29.

Una vez los datos están ordenados, se convierten al formato del tipo de mensaje *LaserScan* de *ROS2* [79]. Los campos principales son el ángulo mínimo, máximo, el tiempo de escaneo y el vector de las distancias. Con esos datos, este mensaje asocia un valor angular a cada elemento del vector de distancias, de ahí la importancia de estar ordenados.

Asimismo, debido a la colocación del sensor en el robot como se observa en la Ilustración 54, el ángulo correspondiente al 0 del *LiDAR* está desplazado 127 grados.

La parte izquierda del sensor se utiliza para obtener el entorno situado a la derecha del *rover*, y la parte derecha para obtener el entorno situado a la izquierda.



**Ilustración 54:** Posicionamiento del LiDAR en el rover.

Finalmente, para recoger las distancias a ambas paredes se ha seleccionado el valor mínimo a cada lado, dentro de un rango de amplitud, Ilustración 55. Esto permite que, aunque el *rover* esté girado, siempre se obtenga la distancia mínima real, puesto que leer un único punto fijo no siempre apuntará a la pared.

La propuesta inicial fue dotar de un campo de visión de 180 grados a cada lado. Sin embargo, en ocasiones, la distancia mínima correspondía a un punto de la pared ya superado por el robot, generando inestabilidad en la corrección de la dirección.

Para corregirlo, se redujo el campo de visión a 90 grados, y finalmente, con el objetivo de anticipar los movimientos correctos para el recorrido del pasillo, se redujo a 22,5 grados como se muestra en la Ilustración 56. Este nuevo campo de visión permite recibir información del entorno que el robot va a enfrentar en un futuro inmediato.

Teniendo en cuenta el desplazamiento del sensor, que sigue la regla de la mano izquierda y que clasifica las distancias en los ángulos del rango  $[-180, 180]$ , los ángulos correspondientes para formar el campo de visión son, en grados:

- A la izquierda:  $[157,5, 180]$
- A la derecha:  $[-90, -67,5]$

Los resultados obtenidos con cada campo de visión se presentan a lo largo de los apartados 7.5.4 y 7.5.5.

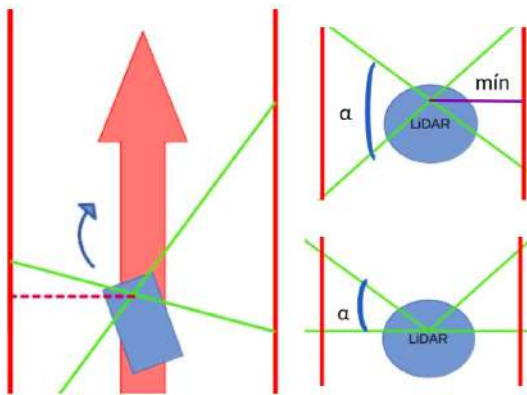


Ilustración 55: Campo de visión inicialmente propuesto.

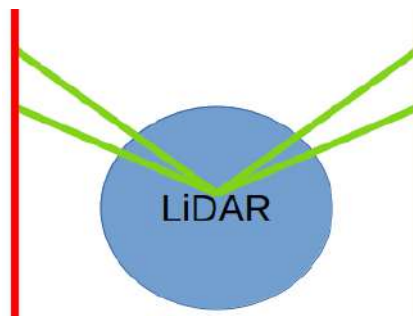


Ilustración 56: Campo de visión implementado.

### 7.5.3. Movimiento de los servomotores

Se han obtenido las posiciones límite de cada servomotor, Tabla 13, y definido la siguiente interpolación lineal para calcular la posición de cada servomotor delantero dado el ángulo de giro comprendido en el rango  $[-90, 90]$ , en grados sexagesimales:

$$\text{ángulo servomotor} = \text{máx derecho} - \left( \frac{\text{ángulo de giro}}{90} \right) \cdot (\text{máx derecho} - \text{mín derecho})$$

Servomotor	Izquierda	Derecha	Recto
Trasero derecho - 0	Fijo		15
Delantero derecho - 1	$[160, 140]$	$(140, 120]$	140
Delantero izquierdo - 2	$(25, 50]$	$[0, 25)$	25
Trasero izquierdo - 3	Fijo		145

Tabla 13: Ángulos límite de actuación de los servomotores.

Por ejemplo, si queremos girar  $-45$ , es decir, a la izquierda, el segundo servomotor se colocará en la posición de 150 grados:

$$140 - \left( \frac{-45}{90} \right) \cdot (140 - 120) = 150$$

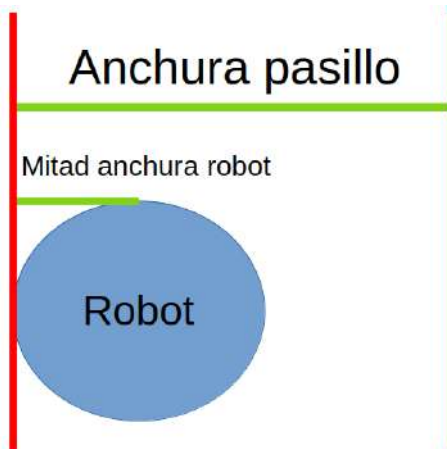
La implementación de la interpolación está entre las líneas 119 y 135 del nodo *kontrol\_proba\_wrapper* en el Código 10.32.

#### 7.5.4. Control P: proporcional

Un controlador proporcional es un sistema de control que genera a la salida una señal de control que es proporcional a la señal del error de entrada [80]. En otras palabras, este controlador consiste en convertir el error en una acción de corrección en la magnitud correspondiente.

Se caracteriza por el parámetro  $K_p$ , que es el factor de corrección o de conversión que multiplica al error para generar la salida. Cuanto mayor sea su valor, más rápida o abrupta será la corrección. No existen reglas concretas para determinar el valor de este factor puesto que las características de cada sistema son diferentes, pero es posible realizar un análisis para conseguir una primera aproximación.

De las especificaciones de la prueba 4.2.2, se sabe que la anchura máxima del laberinto es de 1,5 metros. Por tanto, el error máximo de posición respecto del centro del pasillo es de metro y medio menos la mitad de la anchura del robot como se muestra en la Ilustración 57, pero que por simplificar se considera metro y medio.



**Ilustración 57:** Representación gráfica del error máximo.

Además, en el apartado 7.5.3 se ha relacionado la corrección máxima con un giro de 90 grados y que tiene que aplicarse cuando el error sea máximo, por lo que el factor de corrección será, de al menos, 60:

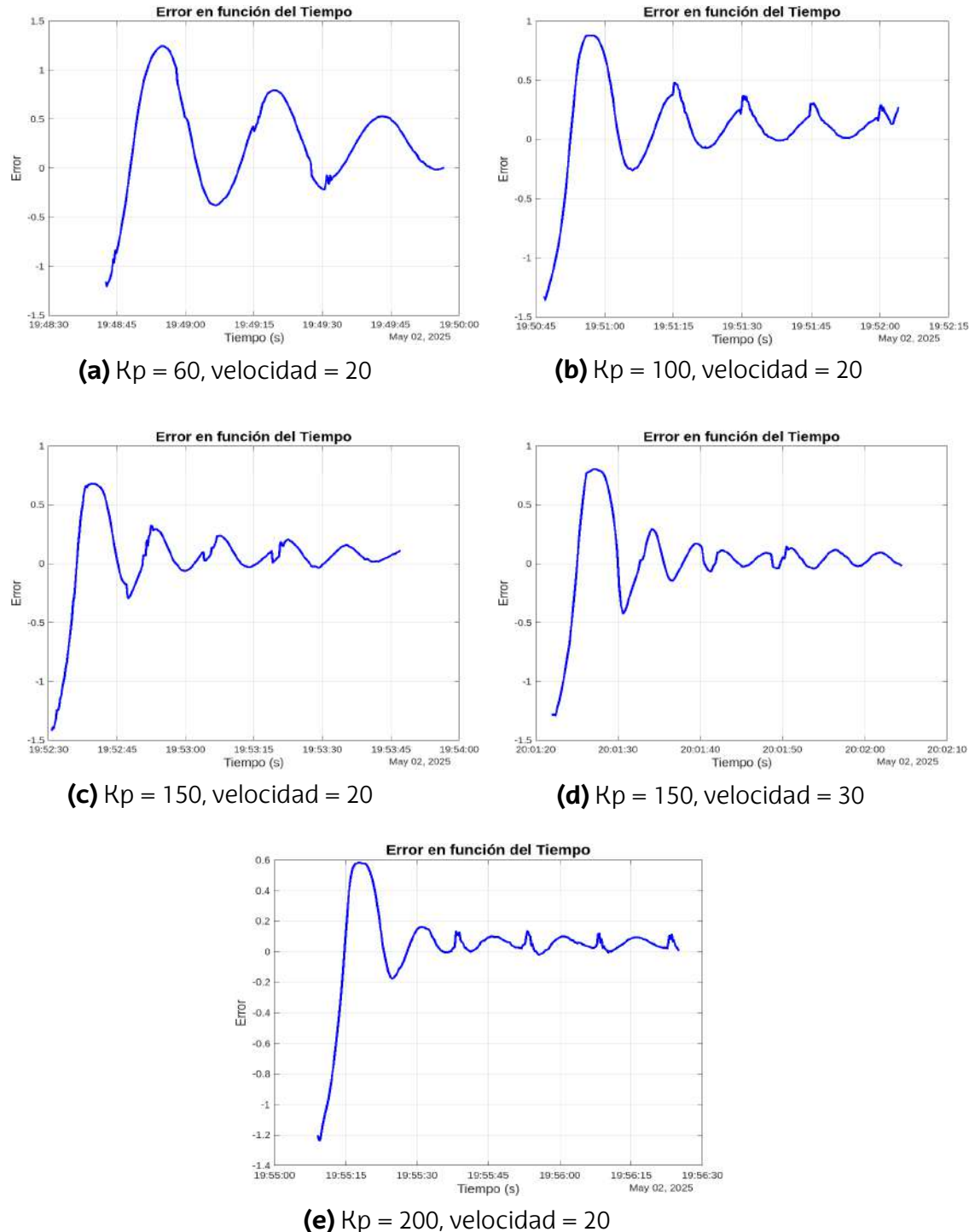
$$K_{p_{min}} = \frac{90}{1,5} = 60$$

Partiendo de ese valor, se han realizado diferentes pruebas con diferentes valores hasta conseguir el mejor resultado con  $K_p = 150$  y  $velocidad = 30$ .

En la Ilustración 58 se presentan los gráficos de la señal de salida generada durante estas pruebas. En la imagen (d) se obtiene el mejor resultado, donde se observa que a pesar de la oscilación, el error en metros se mantiene cercano a cero, lo que indica que las correcciones en la trayectoria son mínimas. La imagen (e) presenta una oscilación similar,

pero con correcciones más abruptas ya que se observan picos.

Estos gráficos se han realizado con *MATLAB* [77] utilizando el Código 10.25 y los valores se obtienen entre las líneas 200 y 215 del nodo *kontol\_proba\_wrapper* en el Código 10.32.



**Ilustración 58:** Señal de control de salida del controlador proporcional con diferentes valores  $K_p$ .

### 7.5.5. Control PD: proporcional y derivativo

Un controlador PD es una mejora del proporcional, ya que se le añade una etapa derivativa. La acción derivativa aumenta la estabilidad relativa del sistema obteniendo así una respuesta con menor sobreimpulso y permite anticipar la respuesta [80].

La etapa derivativa se caracteriza por el factor derivativo  $Kd$  y la derivada del error en función del tiempo, que corresponde a la diferencia entre el error actual y anterior.

Por tanto, la expresión PD a implementar es:

$$(Kp \cdot \text{error}(t)) + (Kd \cdot \frac{d}{dt} \text{error}(t))$$

es decir:

$$(Kp \cdot \text{error actual}) + [Kd \cdot (\text{error actual} - \text{error anterior})]$$

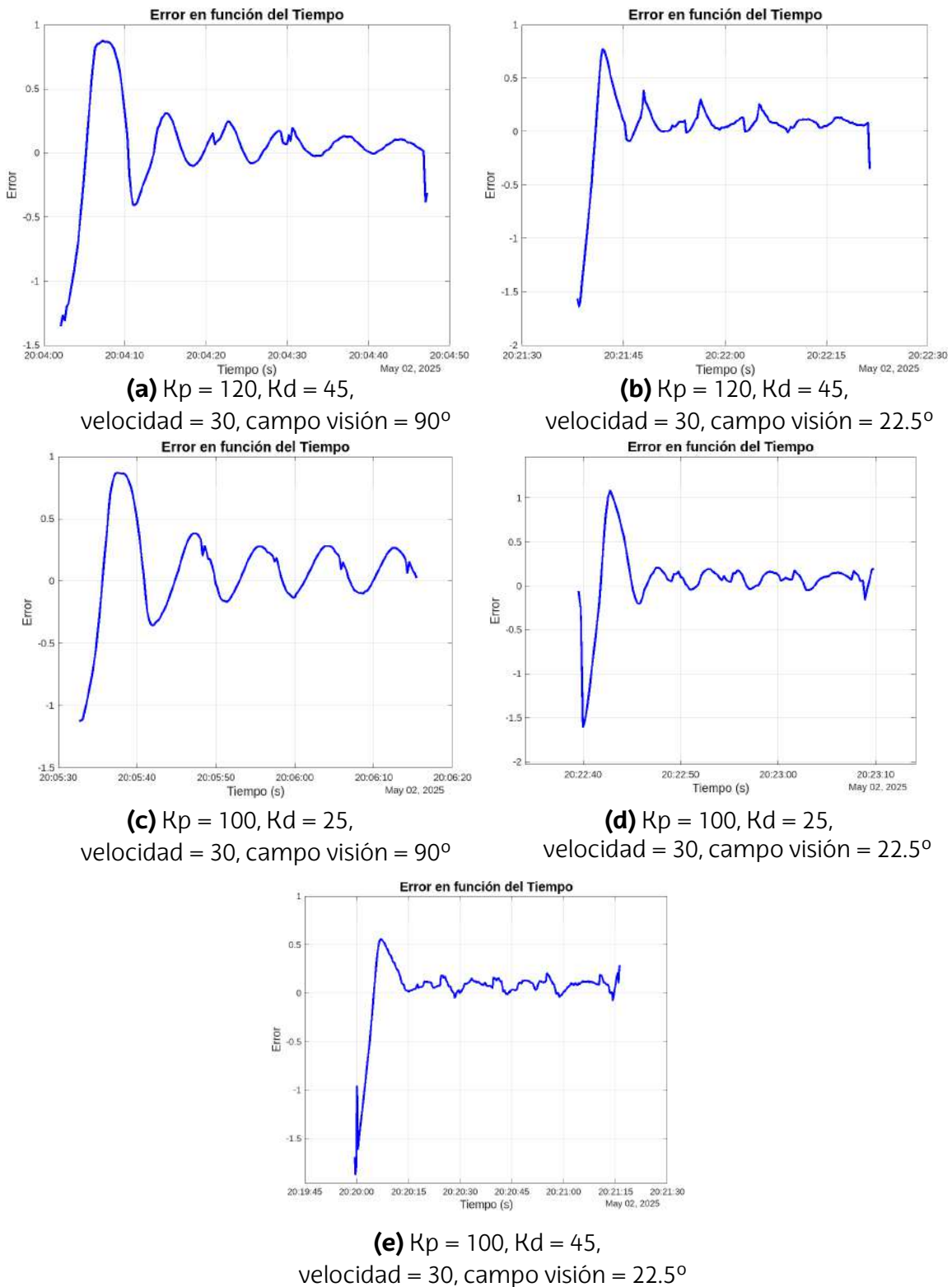
El sistema desarrollado es un sistema de control de lazo cerrado puesto que existe retroalimentación continua entre la entrada, que es la posición del robot respecto del pasillo, y la salida, que es la señal de control.

Por tanto, partiendo del valor  $Kp = 150$  del apartado 7.5.4 con un tiempo de ciclo de cuatro segundos, se ha aplicado el método de sintonización por la ganancia crítica en lazo cerrado de Ziegler-Nichols [81] y obtenido los valores  $Kp = 120$  y  $Kd = 45$ .

Tras aplicar esos valores y observar la señal de control generada, imagen (a) para un campo de visión de 90 grados e imagen (b) para un campo de visión de 22,5 grados hacia adelante, de la Ilustración 59, se han modificado los parámetros mediante prueba y error aplicando las siguientes reglas:

- Para reducir la brusquedad de la acción se reduce la corrección proporcional.
- Para aumentar la estabilidad se aumenta la corrección derivativa, por lo que se necesita menos corrección proporcional ya que se introduce mayor estabilidad y hay que reducir la brusquedad de la acción.
- Un valor de  $Kd$  demasiado alto aumenta la sensibilidad a los pequeños cambios en el entorno y por tanto, contrarresta la estabilización introducida. Este fenómeno se observa en la imagen (e) de la Ilustración 59.

El mejor resultado obtenido ha sido con  $Kp = 100$  y  $Kd = 25$ , imágenes (c) y (d) de la Ilustración 59. Al reducir el campo de visión, en ambas imágenes se observa claramente cómo se reduce el error en metros, y por tanto, la imagen (d) presenta la mejor solución obtenida, ya que la imagen (e) solo presenta errores en un sentido (error siempre positivo).



**Ilustración 59:** Señal de control de salida del controlador PD con diferentes valores  $K_p$  y  $K_d$ .

## 7.6. Interfaces gráficas desarrolladas

Con el objetivo de monitorizar visualmente y en tiempo real la realización de ambas pruebas, se han diseñado dos interfaces gráficas.

La pantalla de la prueba de percepción, Ilustración 60, muestra el valor actual del sensor *IMU*, la imagen capturada por la cámara y el número total de vueltas a dar.

La pantalla de la prueba de control, Ilustración 61, muestra la distancia izquierda, frontal y derecha obtenidas por el *LiDAR* mientras el robot recorre el laberinto.

Adicionalmente y con fines estéticos, se ha desarrollado una pantalla que muestra una cara dinámica que mira a los lados según el robot gira. Esta pantalla puede verse en la Ilustración 62.

Todas las pantallas forman parte del paquete *bilbotiks\_pantaila*, se controlan mediante tópicos de *ROS2* y sus implementaciones pueden verse en el Código 10.34, 10.35 y 10.36, respectivamente.

Esta implementación mediante tópicos tiene la ventaja de que un error en el sensor no genera un error en las pantallas, ya que si no reciben datos a través del tópico se mostrará un cero. Por ejemplo, si un sensor está dando problemas para arrancar, la pantalla se ejecuta sin dificultades y una vez solventado la pantalla se sincroniza automáticamente sin necesidad de reiniciar el proceso.

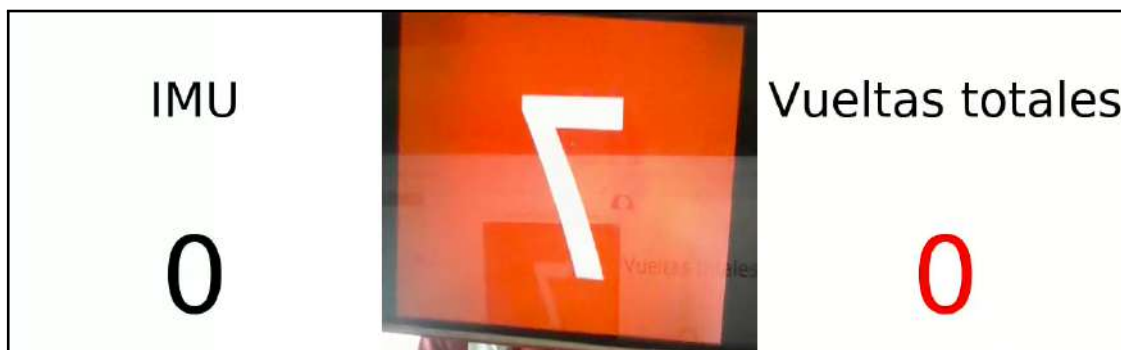
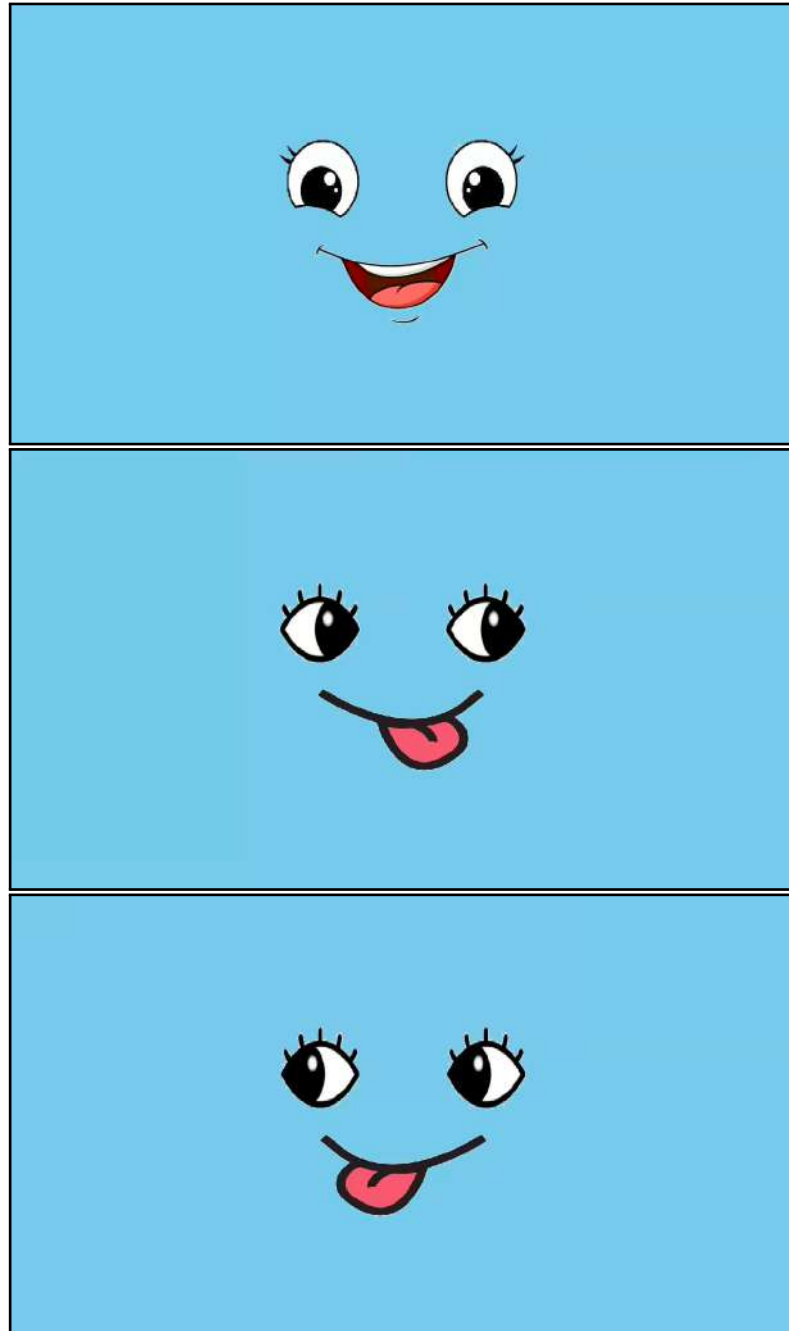


Ilustración 60: Interfaz gráfica para la prueba de percepción.



Ilustración 61: Interfaz gráfica para la prueba de control.



**Ilustración 62:** Interfaz gráfica de la cara.

## 7.7. Gemelo funcional

Para el desarrollo de la prueba de percepción se ha desarrollado un nodo simulado de la *IMU* que actúa como gemelo funcional. Este nodo permite ejecutar el código de la prueba sin necesidad de utilizar el robot, con el objetivo de detectar fallos en la codificación y algorítmica.

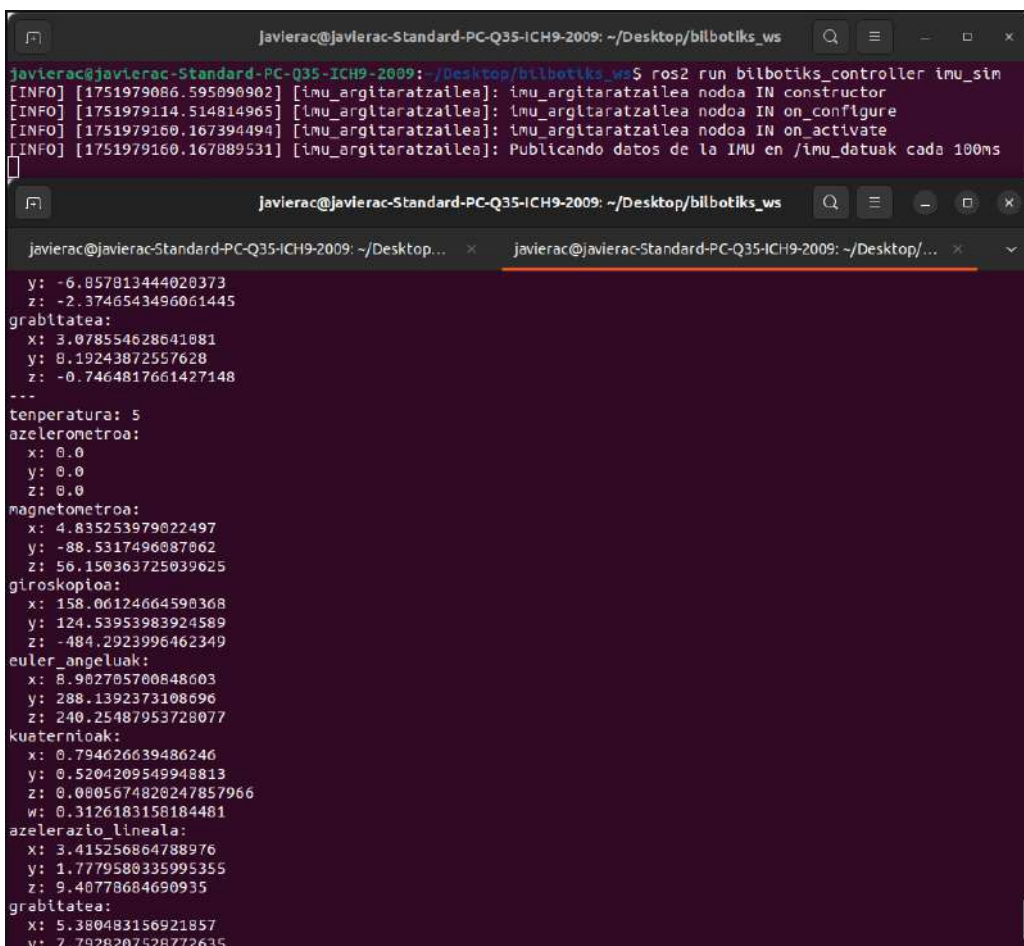
Esta simulación publica los datos en el tópico correspondiente con la misma frecuencia que el sensor, y estas mediciones se generan aleatoriamente utilizando las librerías *random* y *math*. Todos los valores se generan uniformemente en el rango del valor real. Se muestra un ejemplo en el Código 7.14.

```
1 random.uniform(0.0, 360.0)
```

**Código 7.14:** Generar valores distribuidos uniformemente en *Python*.

Para arrancar la simulación con este gemelo funcional es suficiente con sustituir el arranque del nodo de la *IMU* por este nuevo y ajustar el índice de la cámara para que corresponda con la cámara con la que se va realizar la simulación.

Este nodo está en el Código 10.37 y en la Ilustración 63 puede verse un ejemplo de los valores generados.



```
javierac@javierac-Standard-PC-Q35-ICH9-2009: ~/Desktop/bilbotiks_ws$ ros2 run bilbotiks_controller imu_sim
[INFO] [1751979086.595090902] [imu_argitaratzaldea]: imu_argitaratzaldea nodoa IN constructor
[INFO] [1751979114.514814965] [imu_argitaratzaldea]: imu_argitaratzaldea nodoa IN on_configure
[INFO] [1751979160.167394494] [imu_argitaratzaldea]: imu_argitaratzaldea nodoa IN on_activate
[INFO] [1751979160.167889531] [imu_argitaratzaldea]: Publicando datos de la IMU en /imu_datuak cada 100ms

javierac@javierac-Standard-PC-Q35-ICH9-2009: ~/Desktop... > javierac@javierac-Standard-PC-Q35-ICH9-2009: ~/Desktop/... >
y: -6.857813444020373
z: -2.3746543496061445
grabilitatea:
x: 3.078554628641081
y: 8.19243872557628
z: -0.7464817661427148
---
temperatura: 5
azelerometroa:
x: 0.0
y: 0.0
z: 0.0
magnetometroa:
x: 4.835253979022497
y: -88.5317496087062
z: 56.150363725039625
giroskopioa:
x: 158.06124664590368
y: 124.53953983924589
z: -484.2923996462349
euler_anguluak:
x: 8.962705700848603
y: 288.1392373108696
z: 240.25487953728077
kuaternioak:
x: 0.794626639486246
y: 0.5204209549948813
z: 0.0005674820247857966
w: 0.3126183158184481
azelerazio_lineala:
x: 3.415256864788976
y: 1.7779580335995355
z: 9.40778684690935
grabilitatea:
x: 5.380483156921857
y: 7.7928207528772635
```

**Ilustración 63:** Valores de la *IMU* generados por el gemelo funcional.

## 7.8. Simulación con Gazebo Harmonic y Docker

Por otra parte y con fines de investigación, se ha generado un entorno virtual simple para simular la estrategia de la prueba de control. Se ha utilizado el simulador *Gazebo Harmonic* [82] de *ROS2 Jazzy Jalisco* [63] sobre la herramienta de virtualización por contenedores *Docker* [83].

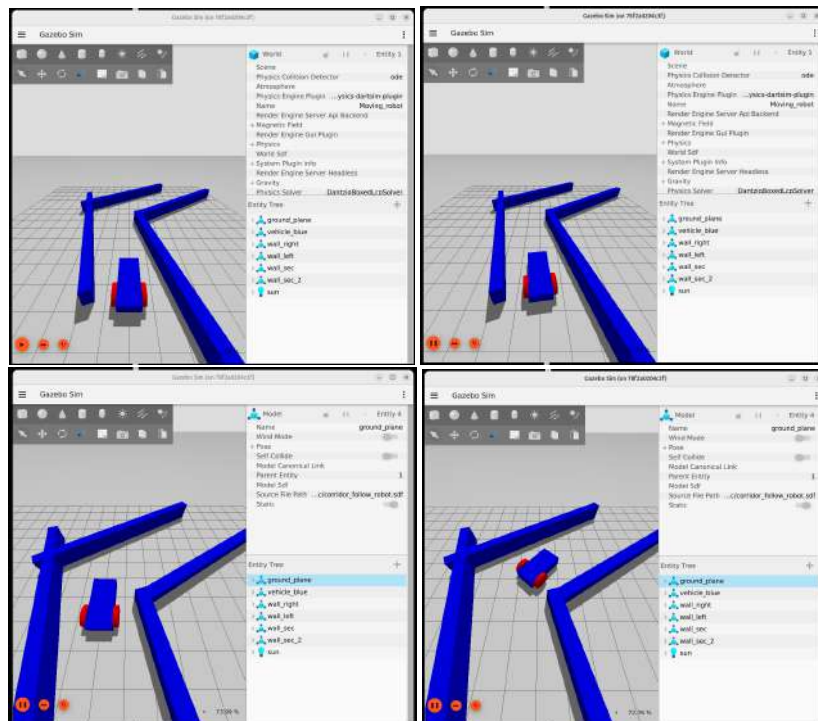
Para ello, se ha descargado la imagen *Docker* oficial de *ROS2 Jazzy Jalisco*, proporcionada por *OSRF*, y se ha instalado el simulador para generar la imagen utilizada. Esta imagen está disponible en el repositorio del proyecto, apartado 10.3.

Siguiendo la documentación oficial, se ha generado el modelo de un robot diferencial, dos paredes laterales e implementado el seguidor proporcional con dos estrategias diferentes: obtener un único punto en cada dirección y la descrita en los apartados 7.5.1 y 7.5.2.

El escenario con el robot se define en un fichero *.sdf* con los *plugin* correspondientes, en donde se establece el nombre de los tópicos a través de los que se realiza la comunicación con la simulación. En el Código 7.15 se muestra la definición del *LiDAR* virtual con sus características personalizables y en la Tabla 14 la descripción de las más relevantes.

La codificación del algoritmo se ha realizado en *C++*, y la definición completa del mundo virtual como el nodo desarrollado se encuentran en los códigos 10.38 y 10.39.

En la Ilustración 64 se presentan capturas de pantalla de la simulación en *Gazebo Harmonic*, donde se observa cómo el robot se mantiene centrado entre ambas paredes.



**Ilustración 64:** Capturas de pantalla de la simulación de la prueba de control en *Gazebo Harmonic*.

```

<sensor name='gpu_lidar' type='gpu_lidar'>
  <pose relative_to='lidar_frame'>0 0 0 0 0 0</pose>
  <topic>lidar</topic>
  <update_rate>10</update_rate>
  <ray>
    <scan>
      <horizontal>
        <samples>640</samples>
        <resolution>1</resolution>
        <min_angle>-1.5708</min_angle>
        <max_angle>1.5708</max_angle>
      </horizontal>
      ...
    </scan>
    <range>
      <min>0.08</min>
      <max>10.0</max>
      <resolution>0.01</resolution>
    </range>
  </ray>
  <always_on>1</always_on>
  <visualize>true</visualize>
</sensor>

```

**Código 7.15:** Definición del *LiDAR* virtual en el fichero *.sdf*.

Característica	Descripción
<i>samples</i>	Número de muestras que se obtienen, en este caso, seiscientas cuarenta (640).
<i>min_angle, max_angle</i>	Límites del campo de visión en radianes, siendo cero el frente y siguiendo la regla de la mano derecha.  La primera muestra, con índice cero 0, corresponde al ángulo mínimo, -1.5708 radianes o -90 grados, y la última, con índice 639, al máximo, es decir, 1.5708 radianes o 90 grados.  Por tanto, el campo de visión es de 180 grados y sabiendo que hay 640 muestras, la diferencia angular entre cada muestra es de $\frac{180}{640} = 0,28125$ grados.
<i>range min, max</i>	Distancia mínima y máxima en metros a la que puede medir el sensor: 0,08 y 10 metros, respectivamente.
<i>range resolution</i>	La resolución espacial es la mínima diferencia de distancia que el sensor puede distinguir entre dos objetos situados a diferentes distancias del sensor. Por ejemplo, con una resolución de 0,01 metros podrá diferenciar dos objetos que estén separados al menos por esa distancia.

**Tabla 14:** Descripción de las características del *LiDAR* virtual.

# 8. Verificación y evaluación

En este capítulo se explican y detallan las pruebas realizadas sobre los desarrollos y los resultados obtenidos. Se han realizado tres (3) tipos de test por cada prueba del concurso: pruebas unitarias, pruebas de integración y pruebas de validación.

Las pruebas unitarias permiten validar el funcionamiento individual de cada uno de los procedimientos a realizar, las pruebas de integración verificar la correcta coordinación y sincronización de los procedimientos y las pruebas de verificación y validación para constatar que el desarrollo cumple tanto con los requisitos funcionales y no funcionales como de las partes interesadas. En otras palabras, las pruebas de verificación responden a la pregunta “¿el sistema ha sido construido correctamente?” y las de validación a “¿el sistema correcto ha sido construido?” [59].

En este proyecto las pruebas de integración ratifican el correcto funcionamiento de los nodos de nivel medio y alto, ya que estos invocan a todos los procedimientos verificados mediante las pruebas unitarias, y las pruebas de verificación y validación son las mismas entre sí, puesto que los requisitos de las partes interesadas son los mismos que las especificaciones impuestas por el concurso.

En las siguientes secciones se organizan las tablas que recogen las pruebas realizadas. No se incluyen las pruebas para las interfaces gráficas.

## 8.1. Prueba de percepción

### 8.1.1. Pruebas unitarias

Procedim.	Descripción	Resultado	Solución
<code>publicar_imu()</code>	Recibe los datos de la <i>IMU</i> utilizando la librería del fabricante y los publica en un tópico. Los datos no tienen que repetirse	Desfavorable. Los mismos valores se publican dos (2) veces porque la frecuencia de la publicación es mayor que la frecuencia a la que trabaja el sensor.	Corregir la frecuencia de la publicación de los datos.

Procedim.	Descripción	Resultado	Solución
<i>imu_callback()</i>	Recibe los datos de la <i>IMU</i> a través de un tópico y los almacena en una variable de la clase. Los datos son accesibles desde dicha variable y no tienen que repetirse.	Desfavorable. Los mismos valores se publican dos veces porque la frecuencia de la publicación es mayor que la frecuencia a la que trabaja el sensor.	Corregir la frecuencia de la publicación de los datos.
<i>sacar_foto()</i>	Gestiona el nodo de la cámara y llama al servicio correspondiente para sacar una fotografía. Se debe comprobar que la imagen obtenida corresponde con la realidad.	Favorable.	-
<i>giro360()</i>	El robot tiene que colocar las ruedas en la posición correcta y girar con precisión el número de vueltas indicado. Para ello, gestiona los nodos de los motores y servomotores y los acciona.	Desfavorable. Cada rueda deberá moverse en una dirección correspondiente y una velocidad alta provoca una frenada brusca con falta de precisión.	Corregir la dirección del movimiento de cada motor e implementar el algoritmo de doble etapa del apartado 7.4.4.
<i>ajustar_imagen()</i>	Recortar y ampliar la imagen.	Favorable.	-
<i>detectar_color()</i>	Identificar correctamente el color.	Desfavorable.	Aplicar las restricciones geométricas del apartado 7.4.2.4.
<i>detectar_numero()</i>	Identificar correctamente el número sobre la región de color detectada.	Favorable.	-
<i>adivinar_colNum()</i>	Ajustar la imagen, detectar el color y el número.	Favorable.	-

**Tabla 15:** Test unitarios de los procedimientos de la prueba de percepción.

### 8.1.2. Pruebas de integración

Nodo	Tarea	Resultado
pertzepzio_proba	Solicitar y recibir en el formato adecuado el color y número identificado.	Favorable.
	Solicitar el giro del robot en función del color y número detectado.	
pertzepzio_proba_wrapper	Gestionar los nodos de la cámara, motores y servomotores.	Favorable.
	Recibir en tiempo real la <i>IMU</i> . Ajustar la imagen obtenida, identificar el color y el número.	
	Girar sobre sí mismo.	

**Tabla 16:** Test de integración de la prueba de percepción.

### 8.1.3. Pruebas de verificación y validación

Requisito	Cumple
Identificar el color.	Sí.
Identificar el número.	Sí.
Girar con precisión y rapidez al detectar un color no distractor.	Sí.
No identificar el número en un color distractor.	Sí.
No girar con un color distractor.	Sí

**Tabla 17:** Test de verificación y validación de la prueba de percepción.

### 8.1.4. Resultados obtenidos

Se han desarrollado pruebas con todos los números posibles y con los colores rojo, azul, amarillo, verde y negro, incluyendo todas las combinaciones. Se han realizado en dos entornos diferentes, Ilustración 65, y se han superado con la máxima puntuación.

El robot tarda de media 2,5 segundos en realizar la percepción del color y número y necesita 5 segundos por vuelta. El tramo final, a velocidad lenta, requiere 4 segundos. Por tanto, en el caso del mayor número de vueltas, nueve, el robot necesita aproximadamente  $2,5 + 5 \cdot 9 + 4 = 51,5$  segundos.



**Ilustración 65:** Escenario de pruebas para la prueba de percepción.

Estos resultados reflejan que la solución desarrollada es robusta y permite al *rover* realizar las tareas de percepción en un entorno con condiciones cambiantes, como por ejemplo, el material del suelo, ya que aunque las ruedas pudieran patinar, el uso de la *IMU* provoca no se detenga el movimiento hasta que el sensor lo determine.

## 8.2. Prueba de control

### 8.2.1. Pruebas unitarias

Procedim.	Descripción	Resultado	Solución
<i>publicar_lidar()</i>	Recibe los datos del <i>LiDAR</i> utilizando la librería del fabricante y los publica en un tópico. Los datos tienen que estar correctamente representados, es decir, ordenados por ángulo de captura.	Desfavorable. El sensor proporciona las mediciones desordenadas.	Añadir un preproceso de ordenación.
<i>lidar_callback()</i>	Recibe los datos del <i>LiDAR</i> y los almacena en una variable de la clase, desde donde son accesibles. Tienen que estar ordenados por ángulo de captura.	Desfavorable. El sensor proporciona las mediciones desordenadas.	Añadir un preproceso de ordenación.
<i>calcular_servos()</i>	Devuelve el ángulo de cada servomotor según la corrección en la dirección calculada.	Favorable.	-
<i>calcular_dirección()</i>	Gestiona adecuadamente la activación y desactivación de los nodos involucrados y mueve las ruedas y servomotores y calcula la dirección de corrección.	Favorable.	-

**Tabla 18:** Test unitarios de los procedimientos de la prueba de control.

Nodo	Tarea	Resultado
<i>kontrol_proba_wrapper</i>	Gestionar los nodos del <i>LiDAR</i> , motores y servomotores. Recibir en tiempo real los valores del <i>LiDAR</i> . Generar la corrección en la trayectoria y girar los servomotores en tiempo real.	Favorable.

**Tabla 19:** Test de integración de la prueba de control.

### 8.2.2. Pruebas de integración

### 8.2.3. Pruebas de verificación y validación

Requisito	Cumple
El robot se mantiene por el centro del pasillo y supera las líneas de control.	Sí.
El robot se mueve de manera fluida y a una velocidad alta.	Sí.
El robot anticipa correctamente los giros.	Sí.

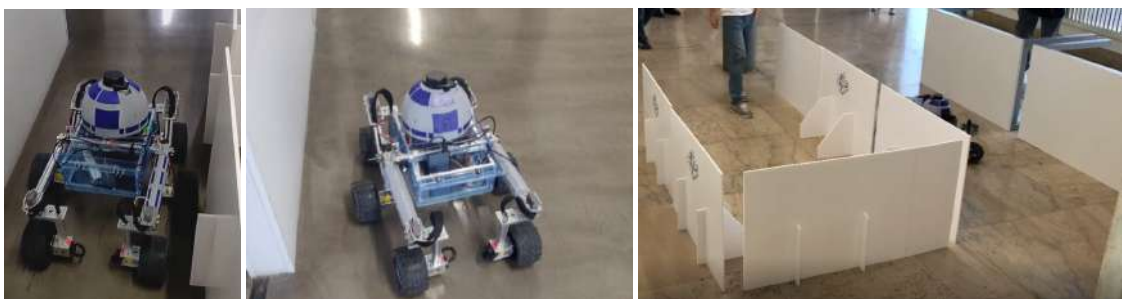
**Tabla 20:** Test de verificación y validación de la prueba de control.

### 8.2.4. Resultados obtenidos

Se han desarrollado pruebas en diferentes escenarios, incluyendo trazados con una anchura inferior y comenzando en una posición con el máximo error posible, Ilustración 66. Se han superado con una alta puntuación y un tiempo bajo, ya que se ha conseguido aumentar la velocidad sin perder precisión. Al no conocer el tiempo de otros equipos y robots, no se puede verificar que la puntuación obtenida haya sido máxima.

El robot tarda de media un minuto y cinco segundos (1,05) en dar una vuelta a un circuito sobre una superficie de cincuenta (50) metros cuadrados, aunque este registro varía en función del trazado y de la superficie.

Se ha conseguido un controlador PD con parámetros ajustables para un *rover* con cuatro ruedas direccionables. Estos parámetros incluyen, además de las propias constantes de control, la velocidad y el campo de visión del *LiDAR*. Por tanto, esta solución se puede adaptar a escenarios con diferentes características, bien sea con distinta anchura o trazado.

**Ilustración 66:** Escenarios de pruebas para la prueba de control.

# 9. Planificación

La realización de este trabajo ha combinado herramientas clásicas de la gestión de proyectos y metodologías ágiles del desarrollo de *software*, aprovechando las ventajas que nos aporta cada una de ellas.

Para la gestión del proyecto, así como la planificación temporal y el control del cumplimiento de los objetivos, se ha trabajado con un diagrama de *Gantt*. Este gráfico ha permitido observar las dependencias de las tareas a realizar entre sí.

## 9.1. Definición de tareas

Se ha decidido dividir el proyecto en seis fases diferenciadas: planificación, preparación, memoria, análisis, desarrollo y defensa. Cada una de estas etapas se compone de diversas tareas, identificadas en el diagrama EDT de la Ilustración 67. Estas tareas equivalen a 300 horas, lo que es equivalente a los 12 créditos del TFG.

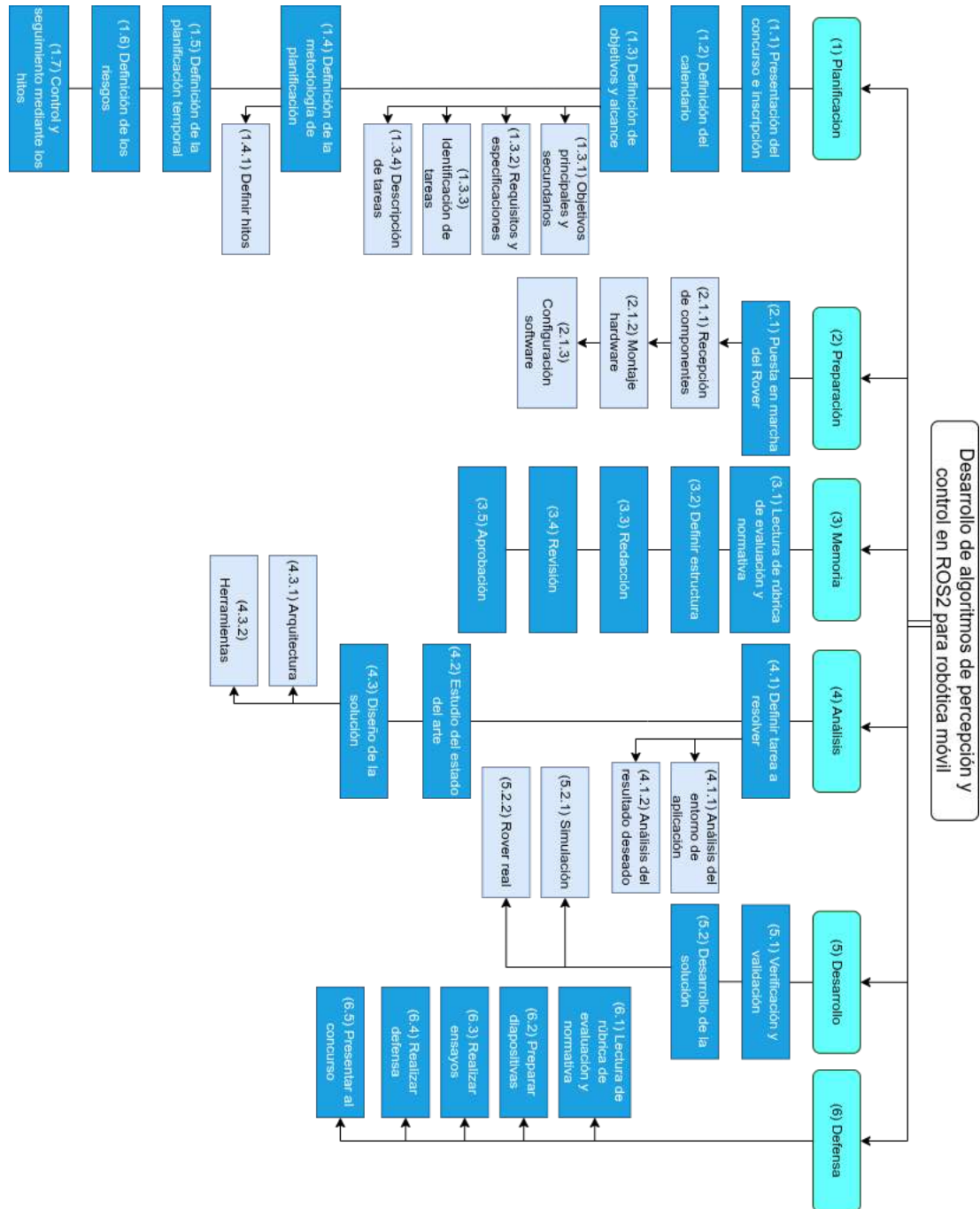
En la Tabla 21 se resumen las tareas con su duración, precedencias, fecha de inicio y fecha final estimada. La descripción detallada de estas tareas se encuentra a partir de la Tabla 22.

Las tareas 2.1, 5.1 y 5.2 se han trabajado con una metodología *Scrum*. Esto se debe a que, por ejemplo, aunque no todo el *rover* esté operativo, se puede avanzar en el desarrollo de la solución para los dispositivos que sí lo estén. Por tanto, la realización de estas tareas no es estrictamente secuencial.

Tarea	Duración	Prec.	F. inicio	F. fin
<b>PLANIFICACIÓN</b>				
1.1. Inscripción concurso	1 hora	-	29/10	31/10
1.2. Calendario	1 hora	1.1	04/11	08/11
1.3. Objetivos y alcance	6 horas	1.1	04/11	27/11
1.3.1. Objetivos principales y secundarios		-	04/11	08/11
1.3.2. Requisitos y especificaciones		-	04/11	08/11
1.3.3. Identificación de tareas		-	04/11	13/11
1.3.4. Descripción de tareas		-	14/11	27/11
1.4. Metodología de planificación	2 horas	1.3.2	11/11	15/11
1.5. Planificación temporal	4 horas	1.4	18/11	29/11

Tarea	Duración	Prec.	F. inicio	F. fin
1.6. Riesgos	2 horas	1.3.1 1.3.2 1.3.3	14/11	20/11
1.7. Control y seguimiento	10 horas	1.6	21/11	20/06
<b>PREPARACIÓN</b>				
2.1. Puesta en marcha del rover	25 horas	-	14/11	13/12
2.1.1. Recepción de componentes		-	14/11	22/11
2.1.2 Montaje del hardware		-	25/11	13/12
2.1.3 Configuración software		-	02/12	13/12
<b>MEMORIA</b>				
3.1. Rúbrica de evaluación y normativa	1 hora	-	26/12	26/12
3.2. Definición de la estructura	2 horas	3.1	27/12	03/01
3.3. Redacción	60 horas	-	06/01	06/06
3.4. Revisión	10 horas	3.2	06/01	06/06
3.5. Aprobación	20 horas	3.2	19/05	20/06
<b>ANÁLISIS</b>				
4.1. Definición tarea a resolver	5 horas	1.3	27/01	06/02
4.1.1. Entorno de aplicación		-	27/01	29/01
4.1.2. Resultado perseguido		-	29/01	31/01
4.2. Estado del arte	5 horas	4.1	03/02	14/02
4.3. Diseño de la solución propuesta	20 horas	4.1	06/02	21/02
4.3.1. Arquitectura		-	06/02	14/02
4.3.2. Herramientas		-	17/02	21/02
<b>DESARROLLO</b>				
5.1. Verificación y validación	10 horas	4.3	24/02	25/04
5.2. Desarrollo	90 horas	4.3	24/02	25/04
5.2.1 Simulación		-	24/02	25/04
5.2.2 Entorno real		-	24/02	25/04
<b>DEFENSA</b>				
6.1. Rúbrica de evaluación y normativa	1 hora	-	09/06	13/06
6.2. Diapositivas	10 horas	3.5 5.2 6.1	23/06	27/06
6.3. Ensayos	5 horas	6.2	30/06	11/07
6.4. Defensa	2 horas	Todas	14/07	18/07
6.5. Concurso	8 horas	5.1,5.2	06/05	06/05

**Tabla 21:** Tareas, duración, precedencias y fecha estimada.



### T1.1. Presentación del concurso e inscripción

<b>Descripción</b>	Primera reunión con el resto de compañeros y compañeras para leer las bases, retos y objetivos del concurso y formalizar la inscripción, así como la elección de los portavoces del equipo.
<b>Objetivos</b>	Inscribirse en el concurso y conocer al equipo.
<b>Entradas</b>	Deseo de participar de los integrantes del equipo.
<b>Salidas/Producto generado</b>	Confirmación de la organización de la inscripción y reparto de roles.
<b>Recursos</b>	Correo electrónico.
<b>Duración</b>	1 hora.
<b>Precedencias</b>	-
<b>Subtareas</b>	-

**Tabla 22:** Detalles de la tarea 1.1.

### T1.2. Definición del calendario

<b>Descripción</b>	Esta tarea consiste en decidir el calendario que va a seguir el equipo para dar respuesta a los retos del certamen.
<b>Objetivos</b>	Leer los plazos del concurso y definir los días y horarios de reuniones del equipo.
<b>Entradas</b>	Fechas de las pruebas intermedias eliminatorias ( <i>checkpoints</i> ) descritas en las bases del concurso.
<b>Salidas/Producto generado</b>	Confirmación de la organización de la inscripción y reparto de roles.
<b>Recursos</b>	Bases del concurso.
<b>Duración</b>	1 hora.
<b>Precedencias</b>	1.1. Presentación del concurso e inscripción.
<b>Subtareas</b>	-

**Tabla 23:** Detalles de la tarea 1.2.

### T1.3. Definición de objetivos y alcance

<b>Descripción</b>	Valorar la dificultad de las pruebas del concurso para conocer cuáles son las más adecuadas para realizar este trabajo.
<b>Objetivos</b>	Determinar qué retos del concurso se van a desarrollar en este trabajo, tareas e hitos.
<b>Entradas</b>	Descripción de las pruebas del concurso.
<b>Salidas/Producto generado</b>	Documento de Objetivos del Proyecto (DOP).
<b>Recursos</b>	Bases del concurso.
<b>Duración</b>	6 horas.
<b>Precedencias</b>	1.1. Presentación del concurso e inscripción.
<b>Subtareas</b>	1.3.1. Objetivos principales y secundarios. 1.3.2. Requisitos y especificaciones. 1.3.3. Identificación de tareas. 1.3.4. Descripción de tareas.

**Tabla 24:** Detalles de la tarea 1.3.

### T1.4. Definición de la metodología de planificación

<b>Descripción</b>	Se analizan las tareas a desempeñar y la planificación más adecuada, bien sea mediante diagramas <i>Gantt</i> o metodologías ágiles extendidas en el campo del desarrollo de software.
<b>Objetivos</b>	Decidir la estrategia de planificación.
<b>Entradas</b>	Descripción de tareas y Documento de Objetivos del Proyecto (DOP).
<b>Salidas/Producto generado</b>	Estrategia de planificación.
<b>Recursos</b>	Conocimientos adquiridos en las asignatura de Ingeniería del Software y Gestión de Proyectos del grado.
<b>Duración</b>	2 horas.
<b>Precedencias</b>	1.3.2 Requisitos y especificaciones.
<b>Subtareas</b>	1.4.1. Definir hitos.

**Tabla 25:** Detalles de la tarea 1.4.

### T1.5. Definición de la planificación temporal

<b>Descripción</b>	Se profundiza y detalla cómo se va a organizar el desarrollo del trabajo dentro del marco temporal.
<b>Objetivos</b>	Definir y desarrollar la planificación temporal.
<b>Entradas</b>	Estrategia de planificación elegida.
<b>Salidas/Producto generado</b>	Elementos de la estrategia de planificación escogida: diagrama de <i>Gantt</i> , historias de usuario, hitos...
<b>Recursos</b>	Programa informático <i>The Gantt Project</i> [84].
<b>Duración</b>	4 horas.
<b>Precedencias</b>	1.4. Definición de la metodología de planificación.
<b>Subtareas</b>	-

**Tabla 26:** Detalles de la tarea 1.5.

### T1.6. Definición de los riesgos

<b>Descripción</b>	Esta tarea consiste en identificar y evaluar los riesgos asociados al proyecto que dificulten conseguir el resultado esperado dentro del plazo establecido. Se establece un plan de prevención y un plan de contingencia.
<b>Objetivos</b>	Minimizar el impacto negativo de imprevistos o dificultades que aparezcan durante el desarrollo y estar preparados para afrontarlos eficazmente.
<b>Entradas</b>	Descripción de tareas y Documento de Objetivos del Proyecto (DOP).
<b>Salidas/Producto generado</b>	Evaluación de riesgos.
<b>Recursos</b>	Conocimientos adquiridos en la asignatura Sistemas de Gestión Integrada del grado.
<b>Duración</b>	2 horas.
<b>Precedencias</b>	1.3.1. Objetivos principales y secundarios. 1.3.2. Requisitos y especificaciones. 1.3.3. Identificación de tareas.
<b>Subtareas</b>	-

**Tabla 27:** Detalles de la tarea 1.6.

### T1.7. Control y seguimiento mediante los hitos

<b>Descripción</b>	Realizar un seguimiento de los hitos y objetivos del proyecto para comprobar que se están logrando según lo establecido y sin anomalías. Este paquete de trabajo permite auditar el proceso del proyecto para garantizar que se cumple con lo establecido.
<b>Objetivos</b>	Garantizar que el resultado final cumple con las expectativas iniciales.
<b>Entradas</b>	Descripción de tareas y Documento de Objetivos del Proyecto (DOP).
<b>Salidas/Producto generado</b>	Estrategia de planificación.
<b>Recursos</b>	-
<b>Duración</b>	10 horas.
<b>Precedencias</b>	1.6. Definición de los riesgos.
<b>Subtareas</b>	-

**Tabla 28:** Detalles de la tarea 1.7.

### T2.1. Puesta en marcha del rover

<b>Descripción</b>	Montar los componentes, alimentarlos, configurarlos y accionarlos por software siguiendo las indicaciones y herramientas del fabricante. Por ejemplo, se configuran el puerto serie de los motores de las ruedas y el puerto de la <i>IMU</i> .  Esta tarea no incluye el diseño ni la impresión del soporte de la cámara y el sensor <i>LiDAR</i> , pues se considera fuera del alcance del proyecto al no ser estrictamente necesario.
<b>Objetivos</b>	Preparar el rover para comenzar el desarrollo de los algoritmos, garantizando el correcto funcionamiento de los dispositivos necesarios y familiarizarse con ellos.
<b>Entradas</b>	Rover y dispositivos por separado.
<b>Salidas/Producto generado</b>	Rover montado y dispositivos conectados, configurados y operativos.
<b>Recursos</b>	Materiales proporcionados por el concurso, Capítulo 5, y documentación oficial y de desarrolladores.
<b>Duración</b>	25 horas.
<b>Precedencias</b>	-
<b>Subtareas</b>	2.1.1. Recepción de componentes 2.1.2. Montaje hardware 2.1.3. Configuración software

**Tabla 29:** Detalles de la tarea 2.1.

### T3.1. Lectura de rúbrica de evaluación y normativa

<b>Descripción</b>	Revisar detalladamente los documentos oficiales proporcionados por la universidad relacionados con los criterios de evaluación del TFG y las normas de redacción y presentación de la memoria.
<b>Objetivos</b>	Comprender los criterios con los que será evaluado el TFG y conocer la normativa con el fin de alinear el desarrollo del trabajo con dichas directrices.
<b>Entradas</b>	Normativa y rúbrica de evaluación del TFG proporcionada por la Escuela de Ingeniería de Bilbao. [85].
<b>Salidas/Producto generado</b>	-
<b>Recursos</b>	-
<b>Duración</b>	1 hora.
<b>Precedencias</b>	-
<b>Subtareas</b>	-

**Tabla 30:** Detalles de la tarea 3.1.

### T3.2. Definir estructura

<b>Descripción</b>	Elaboración de un esquema preliminar que define la estructura de la memoria del TFG, considerando la normativa vigente y las recomendaciones de la tutora y del tutor. Esta estructura servirá como guía para la redacción de la memoria final.
<b>Objetivos</b>	Obtener una plantilla base sobre la que comenzar la redacción de la memoria.
<b>Entradas</b>	Normativa y rúbrica de evaluación del TFG proporcionada por la Escuela de Ingeniería de Bilbao.
<b>Salidas/Producto generado</b>	Plantilla de la memoria del TFG.
<b>Recursos</b>	Editor de textos "LaTeX" <i>Overleaf</i> [86] y entorno de desarrollo <i>Visual Studio Code</i> [87] con las extensiones "LaTeX" [88] y "LaTeX Workshop" [89].
<b>Duración</b>	2 horas.
<b>Precedencias</b>	3.1. Lectura de rúbrica de evaluación y normativa.
<b>Subtareas</b>	-

**Tabla 31:** Detalles de la tarea 3.2.

**T3.3. Redacción**

<b>Descripción</b>	Redactar de manera progresiva esta memoria.
<b>Objetivos</b>	Elaborar una memoria clara, coherente y completa que documente el desarrollo del TFG y que sea apta para obtener una evaluación favorable.
<b>Entradas</b>	Plantilla de la memoria del TFG.
<b>Salidas/Producto generado</b>	Memoria final del TFG.
<b>Recursos</b>	Trabajo desempeñado en la línea de la temática del desarrollo.
<b>Duración</b>	60 horas
<b>Precedencias</b>	-
<b>Subtareas</b>	3.2. Definir estructura.

**Tabla 32:** Detalles de la tarea 3.3.**T3.4. Revisión**

<b>Descripción</b>	Revisión propia y progresiva de la memoria.
<b>Objetivos</b>	Corregir errores de redacción, formato, coherencia estructural, exactitud técnica y adecuación a la normativa para garantizar que la memoria sea de buena calidad.
<b>Entradas</b>	Memoria progresiva del TFG.
<b>Salidas/Producto generado</b>	Memoria final del TFG corregida.
<b>Recursos</b>	-
<b>Duración</b>	10 horas.
<b>Precedencias</b>	3.2. Definir estructura.
<b>Subtareas</b>	-

**Tabla 33:** Detalles de la tarea 3.4.**T3.5. Aprobación**

<b>Descripción</b>	Revisión progresiva y aprobación de la memoria por parte de la tutora y del tutor.
<b>Objetivos</b>	Conseguir la validación final por parte de la directora y codirector para presentar el trabajo.
<b>Entradas</b>	Memoria progresiva del TFG.
<b>Salidas/Producto generado</b>	Memoria final del TFG aprobada.
<b>Recursos</b>	-
<b>Duración</b>	20 horas.
<b>Precedencias</b>	3.2. Definir estructura.
<b>Subtareas</b>	-

**Tabla 34:** Detalles de la tarea 3.5.

**T4.1. Definir tarea a resolver**

<b>Descripción</b>	Definición detallada del problema que el trabajo busca resolver. Esta fase incluye el estudio de los requisitos que debe cumplir la solución propuesta.
<b>Objetivos</b>	Establecer de forma clara y precisa qué problema se va a resolver y qué resultado se quiere obtener para diseñar una solución efectiva y eficaz.
<b>Entradas</b>	Bases del concurso.
<b>Salidas/Producto generado</b>	Resultado que se persigue teniendo en cuenta los detalles y aspectos fundamentales del problema o limitaciones identificadas.
<b>Recursos</b>	-
<b>Duración</b>	5 horas.
<b>Precedencias</b>	1.3. Definición de objetivos y alcance.
<b>Subtareas</b>	4.1.1. Análisis del entorno de aplicación. 4.2.2. Análisis del resultado deseado.

**Tabla 35:** Detalles de la tarea 4.1.**T4.2. Estudio del estado del arte**

<b>Descripción</b>	Investigación y análisis de las soluciones, enfoques y tecnologías existentes que abordan el problema. Esta tarea implica la lectura de artículos científicos, libros, conferencias, tesis y otras publicaciones académicas.
<b>Objetivo</b>	Contextualizar el trabajo en el panorama actual del área de estudio, identificando las principales soluciones y tendencias en el campo con el objetivo de fundamentar la solución propuesta y destacar la originalidad aportada.
<b>Entradas</b>	Resultado de la tarea 4.1.
<b>Salidas/Producto generado</b>	Capítulo de la memoria que recoger las principales contribuciones, teorías, enfoques y soluciones existentes.
<b>Recursos</b>	Publicaciones académicas y divulgativas citadas en la bibliografía.
<b>Duración</b>	5 horas.
<b>Precedencias</b>	4.1. Definir tarea a resolver.
<b>Subtareas</b>	-

**Tabla 36:** Detalles de la tarea 4.2.

**T4.3. Diseño de la solución**

<b>Descripción</b>	Desarrollo de la propuesta de solución para el problema identificado, basado en el análisis previo y el estado del arte. Esta fase incluye la definición de la arquitectura de la solución, la elección de las tecnologías y herramientas a utilizar, así como la especificación de los detalles técnicos y funcionales.
<b>Objetivo</b>	Crear un diseño detallado de la solución que sea capaz de resolver el problema identificado, ajustándose al análisis previo y captura de requisitos. Este diseño debe ser lo suficientemente claro para ser implementado en una fase posterior.
<b>Entradas</b>	Ánalisis del problema y la solución propuesta.
<b>Salidas/Producto generado</b>	Diseño detallado de la propuesta de solución: grafo computacional de ROS2, nodos a utilizar y comunicación entre nodos.
<b>Recursos</b>	Publicaciones académicas y divulgativas citadas en la bibliografía.
<b>Duración</b>	20 horas.
<b>Precedencias</b>	4.1. Definir tarea a resolver.
<b>Subtareas</b>	4.3.1. Arquitectura. 4.3.2. Herramientas.

**Tabla 37:** Detalles de la tarea 4.3.**T5.1. Verificación y validación**

<b>Descripción</b>	Evaluación del desarrollo de la solución propuesta mediante pruebas y validaciones que aseguren su correcto funcionamiento y el cumplimiento de los requisitos. Incluye la ejecución de pruebas unitarias, de integración y de usuario, así como la validación de que la solución cumple con los objetivos.
<b>Objetivos</b>	Confirmar que la solución diseñada y desarrollada funciona según lo esperado y resuelve efectivamente y eficazmente las pruebas del concurso.
<b>Entradas</b>	-
<b>Salidas/Producto generado</b>	Aprobación o negativa de superación de las pruebas planteadas.
<b>Recursos</b>	Pruebas diseñadas para testear el desarrollo de la solución.
<b>Duración</b>	10 horas.
<b>Precedencias</b>	4.3. Diseño de la solución.
<b>Subtareas</b>	-

**Tabla 38:** Detalles de la tarea 5.1.

**T5.2. Desarrollo de la solución**

<b>Descripción</b>	Implementación de la solución propuesta en la fase de diseño. Incluye la codificación, configuración y desarrollo de los componentes del sistema.
	Se compone de la fase de simulación y de la fase del entorno real. La etapa de simulación busca simular el <i>hardware</i> del robot mediante gemelos digitales o gemelos funcionales para comprobar la corrección de la implementación del grafo computacional de <i>ROS2</i> , lo que permite descartar estos errores al trabajar sobre el <i>rover</i> y acelerar el desarrollo.
<b>Objetivos</b>	Crear y poner en funcionamiento la solución de acuerdo con el diseño y las especificaciones previas.
<b>Entradas</b>	Diseño de la solución propuesta en el análisis.
<b>Salidas/Producto generado</b>	Desarrollo de la solución.
<b>Recursos</b>	Publicaciones académicas y divulgativas citadas en la bibliografía, así como documentación la documentación oficial de las herramientas utilizadas. Herramientas principales: <i>ROS2 Humble</i> , <i>Visual Studio Code</i> y <i>Ubuntu 22.04</i> .
<b>Duración</b>	90 horas.
<b>Precedencias</b>	4.3. Diseño de la solución.
<b>Subtareas</b>	5.2.1. Simulación. 5.2.2. Rover real.

**Tabla 39:** Detalles de la tarea 5.2.**T6.1. Lectura de rúbrica de evaluación y normativa**

<b>Descripción</b>	Revisar detalladamente los documentos oficiales proporcionados por la universidad relacionados con la normativa de la defensa del TFG.
<b>Objetivos</b>	Comprender los criterios con los que será evaluada la defensa y conocer la normativa con el fin de alinearla con dichas directrices.
<b>Entradas</b>	Normativa y rúbrica de evaluación del TFG proporcionada por la Escuela de Ingeniería de Bilbao [85].
<b>Salidas/Producto generado</b>	-
<b>Recursos</b>	-
<b>Duración</b>	1 hora.
<b>Precedencias</b>	-
<b>Subtareas</b>	-

**Tabla 40:** Detalles de la tarea 6.1.

### T6.2. Preparar diapositivas

<b>Descripción</b>	Creación y diseño de las diapositivas para la defensa del TFG, asegurando que las diapositivas sean claras, concisas y visualmente atractivas. Esta tarea incluye la selección de los puntos clave del TFG que deben ser presentados, la organización de la información en un formato adecuado, y la inclusión de elementos visuales como gráficos, tablas o imágenes que ayuden a reforzar la información clave.
<b>Objetivos</b>	Desarrollar una presentación visualmente efectiva que resuma los aspectos más importantes del TFG, facilitando la comprensión del trabajo y destacando los puntos clave durante la defensa.
<b>Entradas</b>	Memoria presentada del TFG.
<b>Salidas/Producto generado</b>	Diapositivas o transparencias para la defensa.
<b>Recursos</b>	<i>Microsoft PowerPoint</i> [90].
<b>Duración</b>	10 horas.
<b>Precedencias</b>	3.5. Aprobación. 5.2. Desarrollo de la solución. 6.1. Lectura de rúbrica de evaluación y normativa.
<b>Subtareas</b>	-

**Tabla 41:** Detalles de la tarea 6.2.

### T6.3. Realizar ensayos

<b>Descripción</b>	Practicar la exposición oral, mejorar la fluidez y asegurarse de que el tiempo de la presentación no exceda el límite establecido. Esta tarea incluye la realización de numerosos ensayos, la revisión de las diapositivas y la preparación de posibles preguntas lanzadas por el tribunal.
<b>Objetivos</b>	Mejorar la seguridad, fluidez y calidad de la defensa.
<b>Entradas</b>	Memoria presentada del TFG y diapositivas.
<b>Salidas/Producto generado</b>	Preparación exhaustiva y detallada de la presentación oral.
<b>Recursos</b>	<i>Microsoft PowerPoint</i> [90], cronómetro, dispositivos audiovisuales, guión de la defensa y retroalimentación de la tutora y del tutor.
<b>Duración</b>	5 horas.
<b>Precedencias</b>	6.2. Preparar diapositivas.
<b>Subtareas</b>	-

**Tabla 42:** Detalles de la tarea 6.3.

#### T6.4. Realizar defensa

<b>Descripción</b>	Presentación formal del TFG ante el tribunal de evaluación. Esta tarea implica exponer de manera clara y estructurada los objetivos, el desarrollo, los resultados y las conclusiones del proyecto, utilizando las diapositivas preparadas como soporte visual, y respondiendo adecuadamente a las preguntas y comentarios del tribunal. La realización de esta tarea suponer el final del proyecto.
<b>Objetivos</b>	Exponer de manera precisa el Trabajo de Fin de Grado, demostrando el dominio del tema, la calidad del trabajo realizado y la capacidad de defender el proyecto. El objetivo es obtener una evaluación positiva que permita la aprobación del TFG.
<b>Entradas</b>	Memoria del TFG presentada y diapositivas.
<b>Salidas/Producto generado</b>	Presentación oral y respuestas a las preguntas del tribunal.
<b>Recursos</b>	Dispositivos audiovisuales y guión de la defensa.
<b>Duración</b>	2 horas.
<b>Precedencias</b>	Todas las tareas.
<b>Subtareas</b>	-

**Tabla 43:** Detalles de la tarea 6.4.

#### T6.5. Presentar al concurso

<b>Descripción</b>	Participación en el concurso sin contar el viaje hasta Tres Cantos, lugar de celebración.
<b>Objetivos</b>	Superar las pruebas del concurso gracias a las soluciones desarrolladas en este trabajo.
<b>Entradas</b>	Implementación de la solución.
<b>Salidas/Producto generado</b>	Superación de las pruebas.
<b>Recursos</b>	Todas las herramientas utilizadas durante el desarrollo.
<b>Duración</b>	8 horas.
<b>Precedencias</b>	5.1. Verificación y validación. 5.2. Desarrollo de la solución.
<b>Subtareas</b>	-

**Tabla 44:** Detalles de la tarea 6.5.

## 9.2. Diagrama Gantt

Este diagrama representa cuándo deben realizarse las tareas descritas, así como las dependencias entre tareas. Permite organizar el trabajo a lo largo de todo el proyecto e incluye las tareas que se definen en el EDT de la Ilustración 67.

La fecha de comienzo de este trabajo fue el 29 de octubre de 2024 y la fecha de fin el 18

de julio de 2025. Los recuadros azules representan una tarea específica, mientras que las formas negras referencian a una fase completa. A la izquierda del diagrama se muestra un índice con el número de la tarea y su fecha de comienzo y de fin, y se presenta en la Ilustración 68.

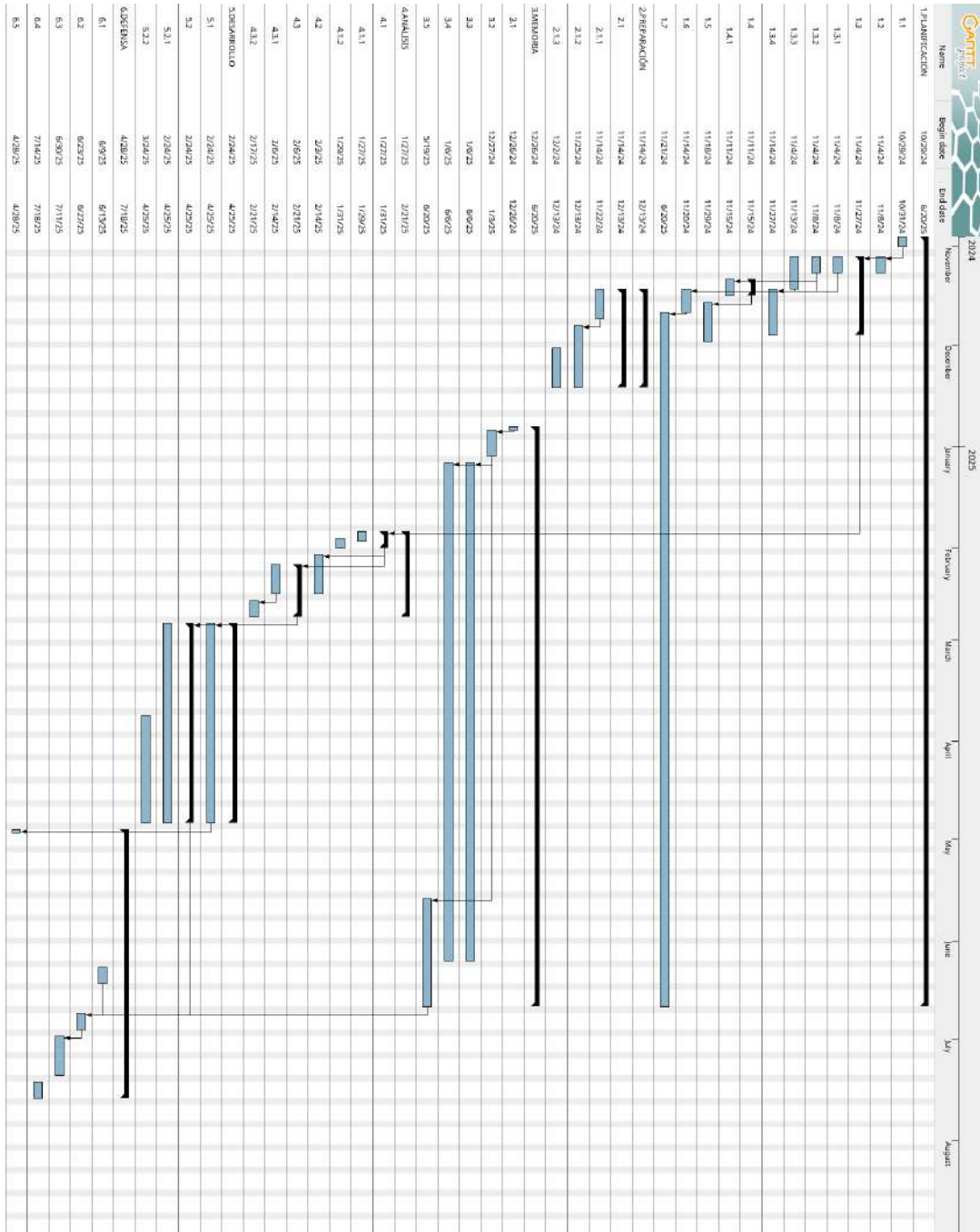


Ilustración 68: Diagrama Gantt.

### 9.3. Metodología Scrum

Se han definido tres (3) *sprints* y once (11) historias de usuario (HU). La descripción y resultados perseguidos con cada historia se recogen debajo de la siguiente tabla.

<i>Sprint 1:</i> 2.1. Puesta en marcha del <i>rover</i>	HU1: Alimentación de dispositivos. HU2: Instalación y configuración del sistema operativo de la <i>Raspberry Pi</i> . HU3: <i>IMU</i> . HU4: <i>LiDAR</i> . HU5: Cámara.
<i>Sprint 2:</i> 5.1. Verificación y validación	HU6: Verificación de la implementación. HU7: Validación de la implementación.
<i>Sprint 3:</i> 5.2. Desarrollo de la solución	HU8: Grafo <i>ROS2</i> y nodos para gestión del <i>hardware</i> . HU9: Prueba de percepción. HU10: Prueba de control. HU11: Extra.

**Tabla 45:** *Sprints* e historias de usuario.

#### **HU1: Alimentación de dispositivos**

Conectar los sensores y actuadores y comprobar que reciben alimentación suficiente para operar. Los sensores y actuadores objetivo son los controladores serie *Roboclaw* para los motores, motores eléctricos de las ruedas, servomotores, la *IMU*, el *LiDAR* y la cámara.

#### **HU2: Instalación y configuración del sistema operativo de la *Raspberry Pi***

Instalación del sistema operativo *Ubuntu 22.04 LTS* y el entorno de desarrollo *Visual Studio Code* en el ordenador del *rover* y configuración de los puertos serie e *I2C* necesarios y del servicio *SSH*.

La superación de esta historia de usuario proporciona acceso remoto al ordenador del *rover* mediante la terminal de comandos y *Visual Studio Code* y habilita la comunicación de los dispositivos *hardware*.

#### **HU3: *IMU***

Se instalan las librerías y dependencias necesarias para actuar sobre el sensor desde el *software*.

#### **HU4: *LiDAR***

Se instalan las librerías y dependencias necesarias para actuar sobre el sensor desde el *software*.

**HU5: Cámara**

Se instalan las librerías y dependencias necesarias para actuar sobre el sensor desde el *software*. Tiene que ser accesible tanto la imagen captada como la señal del sensor de profundidad.

**HU6: Verificación de la implementación**

Se comprueba mediante los test especificados si el resultado del desarrollo cumple con el análisis realizado. En caso de no cumplir, se realizan modificaciones para corregir los errores.

**HU7: Validación de la implementación**

Se comprueba mediante los test especificados si el resultado del desarrollo supera satisfactoriamente los retos para los que ha sido creado. En caso de no cumplir, se realizan modificaciones para subsanar los errores.

**HU8: Grafo ROS2 y nodos para gestión del hardware**

Implementación del grafo computacional diseñado en *ROS2*, especialmente los nodos de los sensores y actuadores que permiten al *rover* realizar acciones.

La superación de esta historia de usuario significa que durante el desarrollo de la solución de los retos únicamente es necesario implementar el proceso abstrayéndose de la complejidad de acceso a los sensores, puesto que los valores de sus lecturas ya estarán almacenados en variables.

**HU9: Prueba de percepción**

Implementación de la algorítmica necesaria para superar la prueba de percepción.

**HU10: Prueba de control**

Implementación de la algorítmica necesaria para superar la prueba de control.

**HU11: Extra**

Implementaciones adicionales que aporten valor añadido a la solución, por ejemplo, la animación de la pantalla.

## 9.4. Análisis de riesgos

Para cumplir con éxito el objetivo del proyecto, en este apartado se realiza un análisis de riesgos teniendo en cuenta todos los factores posibles. Es fundamental generar una evaluación para la gestión de riesgos que permita minimizar los efectos de cada uno de ellos. Esta evaluación incluye el plan de prevención, el plan de contingencia y el grado.

En la Tabla 46 se definen los niveles de los riesgos, la consecuencia que ocasionarán estos y la probabilidad de que sucedan.

En la Tabla 47 se detallan los valores de porcentaje para los diferentes niveles de probabilidad, así como el nivel de consecuencia y el retraso asociado.

En la Tabla 48, se identifican los diferentes riesgos analizados en este TFG junto con su grado de producirse, evaluados mediante la Tabla 46. La evaluación detallada de cada riesgos se encuentra de la Tabla 49 a la Tabla 68.

El grado de los riesgos se ha determinado utilizando la matriz "daño-riesgo" basada en el punto 6.1.2 del estándar ISO 45001:2018 [91].

PROBABILIDAD	CONSECUENCIA		
	Leve	Dañina	Grave
Baja	Riesgo trivial	Riesgo tolerable	Riesgo moderado
Media	Riesgo tolerable	Riesgo moderado	Riesgo importante
Alta	Riesgo moderado	Riesgo importante	Riesgo intolerable

**Tabla 46:** Matriz de evaluación de riesgos según el estándar ISO 45001:2018.

Probabilidad	Porcentaje	Consecuencia	Retraso
Baja	0 - 30 %	Leve	3 días
Media	30 - 65 %	Dañina	4 - 7 días
Alta	65 - 100 %	Grave	7 días o más

**Tabla 47:** Probabilidad y consecuencias de los riesgos.

RIESGO	GRADO
Indisposición provisional del desarrollador por empleo o prácticas.	
No completar en fecha algún <i>checkpoint</i> eliminatorio del concurso.	
No cumplir el plazo de entrega de este trabajo.	
Averías técnicas generales de <i>software</i> .	
Cambio en el <i>firmware</i> de los componentes.	
Actualizaciones de las librerías utilizadas.	
Planificación temporal incorrecta.	
No documentar el desarrollo durante su realización.	
No completar en fecha algún <i>checkpoint</i> no eliminatorio del concurso.	
No cumplir los objetivos.	
Perder información del proyecto.	
Averías técnicas generales de <i>hardware</i> .	
Indisposición provisional del desarrollador por enfermedad.	
Infección de virus informático.	
Apagones de la red eléctrica.	

RIESGO	GRADO
Cambio de las especificaciones del proyecto.	Yellow
Batería descargada del rover u ordenador de trabajo.	Green
Perder comunicación con el rover.	
Rotura del ordenador de trabajo.	
Sobrescribir alguna versión de desarrollo al generar una nueva.	Green

**Tabla 48:** Riesgos asociados al proyecto.

En conclusión, aunque el proyecto no presenta riesgos de elevada gravedad en términos generales, los aspectos técnicos, como las averías y necesidad de cambios en componentes, son los más críticos y deben ser gestionados de manera proactiva para garantizar el éxito del proyecto. La identificación, priorización y tratamiento adecuado de estos riesgos permite reducir su impacto y asegurar la consecución de los objetivos planteados.

Para ello, en las siguientes tablas se recogen los detalles de cada riesgo identificado, así como el plan de contingencia correspondiente que se ha definido en cada caso.

#### **Indisposición provisional del desarrollador por empleo o prácticas**

<b>Plan de prevención</b>	Valorar la flexibilidad a la hora de aceptar o rechazar la oferta y avisar a la empresa con el fin de obtener facilidades y no verse afectado el desarrollo del proyecto.
<b>Plan de contingencia</b>	Reorganizar el tiempo dedicado al proyecto para añadir horas adicionales.
<b>Probabilidad</b>	Alta.
<b>Consecuencia</b>	Grave.

**Tabla 49:** Evaluación de indisposición provisional del desarrollador por empleo o prácticas.

#### **No completar en fecha algún *checkpoint* eliminatorio del concurso**

<b>Plan de prevención</b>	Realizar un control y seguimiento del trabajo realizado hasta la fecha y del calendario.
<b>Plan de contingencia</b>	Añadir horas a la planificación para cumplir el plazo y en caso de ser necesario, solicitar una prórroga debidamente justificada.
<b>Probabilidad</b>	Alta.
<b>Consecuencia</b>	Grave.

**Tabla 50:** Evaluación de no completar en fecha algún *checkpoint* eliminatorio del concurso.

### No cumplir el plazo de entrega de este trabajo

<b>Plan de prevención</b>	Realizar un control y seguimiento del trabajo.
<b>Plan de contingencia</b>	Añadir horas a la planificación para cumplir el plazo.
<b>Probabilidad</b>	Media.
<b>Consecuencia</b>	Grave.

**Tabla 51:** Evaluación de no cumplir el plazo de entrega de este trabajo.

### Averías técnicas generales de *software*

<b>Plan de prevención</b>	Mantener el <i>software</i> actualizado y utilizar versiones con soporte, tanto oficial como de comunidades de desarrolladores y no obsoletas.
<b>Plan de contingencia</b>	Depurar la incidencia y ponerse en contacto con el soporte técnico oficial y con otros desarrolladores.
<b>Probabilidad</b>	Media.
<b>Consecuencia</b>	Grave.

**Tabla 52:** Evaluación de averías técnicas generales de *software*.

### Cambio en el *firmware* de los componentes

<b>Plan de prevención</b>	Seguir detenidamente las funcionalidades que desaparecerán con la actualización de las siguientes versiones del <i>firmware</i> y diseñar una programación que minimice el uso de dichas funcionalidades.
<b>Plan de contingencia</b>	Cambiar o eliminar las funcionalidades incompatibles o utilizar una versión anterior del <i>firmware</i> .
<b>Probabilidad</b>	Media.
<b>Consecuencia</b>	Grave.

**Tabla 53:** Evaluación de cambio en el *firmware* de los componentes.

### Actualizaciones de las librerías utilizadas

<b>Plan de prevención</b>	Comenzar los desarrollos con versiones estables, recientes y suficientemente probadas.
<b>Plan de contingencia</b>	Evitar actualizar una librería si no es estrictamente necesario hasta el fin del proyecto, dejando para una línea futura la adaptación de la solución a las nuevas características de la actualización.
<b>Probabilidad</b>	Alta.
<b>Consecuencia</b>	Dañina.

**Tabla 54:** Evaluación de actualizaciones de las librerías utilizadas.

### Planificación temporal incorrecta

<b>Plan de prevención</b>	Establecer una programación temporal lo más ajustada posible.
<b>Plan de contingencia</b>	Reajustar la planificación temporal para adaptarse a la nueva situación.
<b>Probabilidad</b>	Alta.
<b>Consecuencia</b>	Dañina.

**Tabla 55:** Evaluación de planificación temporal incorrecta.

### No documentar el desarrollo durante su realización

<b>Plan de prevención</b>	Realizar la documentación y el desarrollo en paralelo.
<b>Plan de contingencia</b>	Realizar revisiones periódicas, aunque con menor frecuencia que la esperada, para garantizar una solución construida ordenadamente y sin pérdidas de información. Una medida correctora, dependiendo del grado de gravedad de la situación, es revisar la solución parcial y no continuar con ella hasta documentarla mínimamente.
<b>Probabilidad</b>	Alta.
<b>Consecuencia</b>	Dañino.

**Tabla 56:** Evaluación de no documentar el desarrollo completo durante su realización.

### No completar en fecha algún *checkpoint* no eliminatorio del concurso

<b>Plan de prevención</b>	Realizar un control y seguimiento del trabajo realizado hasta la fecha y del calendario.
<b>Plan de contingencia</b>	Añadir horas a la planificación para lograr superar el <i>checkpoint</i> .
<b>Probabilidad</b>	Alta.
<b>Consecuencia</b>	Leve.

**Tabla 57:** Evaluación de no completar en fecha algún *checkpoint* no eliminatorio del concurso.

### No cumplir los objetivos

<b>Plan de prevención</b>	Realizar un control y seguimiento del trabajo realizado teniendo en cuenta los objetivos como hoja de ruta.
<b>Plan de contingencia</b>	Replanificar el proyecto con el objetivo de alcanzar los objetivos, o en caso de no verse afectados sustancialmente, reajustar los objetivos.
<b>Probabilidad</b>	Media.
<b>Consecuencia</b>	Dañina.

**Tabla 58:** Evaluación de no cumplir los objetivos.

### Perder información del proyecto

<b>Plan de prevención</b>	Realizar copias de seguridad accesibles, restaurables y periódicas almacenadas en distintas plataformas y equipos, tanto locales como en la nube.
<b>Plan de contingencia</b>	Restaurar las copias de seguridad.
<b>Probabilidad</b>	Baja.
<b>Consecuencia</b>	Grave.

**Tabla 59:** Evaluación de perder información del proyecto.

### Averías técnicas generales de *hardware*

<b>Plan de prevención</b>	Cuidar el material y realizar comprobaciones periódicas del estado y las conexiones físicas.
<b>Plan de contingencia</b>	Evitar el uso del dispositivo defectuoso para limitar el alcance de la avería y sustituir la parte afectada.
<b>Probabilidad</b>	Baja.
<b>Consecuencia</b>	Grave.

**Tabla 60:** Evaluación de averías técnicas generales de *hardware*.

### Indisposición provisional del desarrollador por enfermedad

<b>Plan de prevención</b>	Evitar exponerse a focos de contagio de enfermedades y adoptar hábitos saludables.
<b>Plan de contingencia</b>	Actuar rápidamente para recuperarse a la mayor brevedad posible y reorganizar los plazos de trabajo para minimizar el impacto en el tiempo de ejecución.
<b>Probabilidad</b>	Media.
<b>Consecuencia</b>	Dañina.

**Tabla 61:** Evaluación de indisposición provisional del desarrollador por enfermedad.

### Infección de virus informático

<b>Plan de prevención</b>	Utilizar programas y paquetes software oficiales o de fuentes fiables, revisar el código antes de su ejecución para evitar iniciar un programa con funcionalidad maliciosa, bien sea intencionada o accidental, y realizar copias de seguridad accesibles, restaurables y periódicas almacenadas en distintas plataformas y equipos, tanto locales como en la nube.
<b>Plan de contingencia</b>	Si es posible, eliminar la causa de la incidencia y verificar la integridad del resto del sistema. En caso de no ser posible, formatear el equipo y restaurar las copias de seguridad.
<b>Probabilidad</b>	Baja.
<b>Consecuencia</b>	Grave.

**Tabla 62:** Evaluación de infección de virus informático.

### Apagones de la red eléctrica

<b>Plan de prevención</b>	Cuando sea posible, trabajar con los equipos enchufados a la corriente para mantenerlos cargados y realizar copias de seguridad accesibles, restaurables y periódicas almacenadas en distintas plataformas y equipos, tanto locales como en la nube.
<b>Plan de contingencia</b>	Una vez recuperada la corriente, revisar el estado del sistema y restaurar las copias de seguridad si es necesario.
<b>Probabilidad</b>	Baja.
<b>Consecuencia</b>	Grave.

**Tabla 63:** Evaluación de apagones de la red eléctrica.

### Cambio de las especificaciones del proyecto

<b>Plan de prevención</b>	Crear un sistema basado en módulos independientes que permitan reutilizar al máximo las funcionalidades previas.
<b>Plan de contingencia</b>	Revisión y actualización de las nuevas especificaciones.
<b>Probabilidad</b>	Baja.
<b>Consecuencia</b>	Dañina.

**Tabla 64:** Evaluación de cambio de las especificaciones del proyecto.

### Batería descargada del *rover* u ordenador de trabajo

<b>Plan de prevención</b>	Monitorización constante de los niveles de batería y establecer una planificación programada para las cargas, por ejemplo, cada vez que esta descienda del 20 %.
<b>Plan de contingencia</b>	Cargar la batería.
<b>Probabilidad</b>	Baja.
<b>Consecuencia</b>	Leve.

**Tabla 65:** Evaluación de batería descargada del *rover* u ordenador de trabajo.

### Perder comunicación con el *rover*

<b>Plan de prevención</b>	Cuidar el material utilizado para la comunicación ( <i>router</i> y cable de red), asignar una dirección <i>IP</i> estática al <i>rover</i> y colocar una pantalla que permita trabajar sobre el <i>rover</i> sin necesidad de una conexión remota.
<b>Plan de contingencia</b>	Reiniciar el servicio de comunicación ( <i>SSH</i> ), reiniciar el ordenador del <i>rover</i> o trabajar sobre la pantalla local hasta el restablecimiento de la conexión.
<b>Probabilidad</b>	Baja.
<b>Consecuencia</b>	Leve.

**Tabla 66:** Evaluación de perder comunicación con el *rover*.

### Rotura del ordenador de trabajo

<b>Plan de prevención</b>	Cuidar el equipo y estar atento a las señales que puedan indicar un posible futuro fallo del sistema y realizar copias de seguridad accesibles, restaurables y periódicas almacenadas en distintas plataformas y equipos, tanto locales como en la nube.
<b>Plan de contingencia</b>	Adquirir un nuevo equipo con, al menos, las características mínimas necesarias para desempeñar el desarrollo en progreso y restaurar las copias de seguridad.
<b>Probabilidad</b>	Baja.
<b>Consecuencia</b>	Leve.

**Tabla 67:** Evaluación de rotura del ordenador de trabajo.

### Sobrescribir alguna versión de desarrollo al generar una nueva

<b>Plan de prevención</b>	Llevar un control de versiones con copias de seguridad incrementales tanto locales como en la nube.
<b>Plan de contingencia</b>	Restaurar la última copia de seguridad.
<b>Probabilidad</b>	Baja.
<b>Consecuencia</b>	Leve.

**Tabla 68:** Evaluación de sobrescribir alguna versión de desarrollo al generar una nueva.

## 9.5. Herramientas

En esta sección se detallan las herramientas que se utilizan durante el transcurso del proyecto. Es importante destacar que se proponen herramientas libres u *open source*, a excepción de *Visual Studio Code* [87], aunque su uso es gratuito, y *MATLAB*, que se ha usado la versión básica gratuita *online* de 20 horas y existen alternativas gratuitas compatibles como *Octave* [92].

Para las tareas de documentación, planificación, análisis y diseño se utiliza *LibreOffice*, editor de textos "LaTeX" *Overleaf*, *Visual Studio Code* con las extensiones "LaTeX" y "LaTeX Workshop", la aplicación web *draw.io* [93] y el programa de escritorio *The Gantt Project*.

Para desarrollar la implementación y ejecutar la solución en el *rover* se emplea el sistema operativo *Ubuntu 22.04 LTS*, el framework *ROS2 Humble Hawksbill* instalado en la *Raspberry Pi* y *Visual Studio Code* con las extensiones "Remote-SSH", "Remote-SSH: Editing Configuration Files", "Remote Development" y "Remote Explorer".

Adicionalmente, con el objetivo de avanzar con el proyecto aún no teniendo el *rover* accesible en todo momento, se realizan simulaciones con gemelos funcionales base en *ROS2* sobre *Docker* y una máquina virtual *KVM* con el gestor *Virtual Machine* [94] que replique el entorno de la *Raspberry Pi*.

El equipo informático que se usará para comunicarse con el *rover* y trabajar en el proyecto es el ordenador portátil *Gigabyte G6X (2024)* con las siguientes características:

- Procesador: Intel Core i7-13650HX.
- Memoria *RAM*: 32 GB.
- Almacenamiento interno: 1TB.
- Tarjeta gráfica: RTX 4060.

## 9.6. Evaluación económica

Todo proyecto real tiene un coste asociado. Una vez realizada la planificación temporal se debe estimar el coste que va a tener el proyecto. En este coste se incluye el salario del desarrollador, el precio de los diversos materiales utilizados, así como las amortizaciones que correspondan y una serie de gastos indirectos entre los que se encuentran la electricidad utilizada.

### 9.6.1. Costes de personal

El salario del programador se obtiene del BOE [95] y del XX Convenio Colectivo Sectorial de Empresas de Ingeniería y Oficinas de Estudios Técnicos. Al tratarse de un TFG, todavía no se tiene el estatus de graduado, por lo que el grupo profesional correspondiente es el segundo y el nivel salarial el tercero. Por tanto, el sueldo anual es de 19.025,86 euros para 1.792 horas de trabajo, es decir, 10,62 euros la hora. A este coste hay que añadirle la contribución a la Seguridad Social, en este caso, un 31,4 % en conceptos de cotizaciones de contingencias comunes (23,6 %), desempleo de tipo general (5,5 %), FOGASA (0,2 %), formación profesional (0,6 %) y accidentes de trabajo y enfermedades profesionales (1,5 %) [96]. Por tanto, como el proyecto tiene un plazo de 9 meses repartidos en 300 horas de trabajo, los gastos asociados al salario son de 4.186,41 euros.

Además, el coste de la supervisión realizada por los tutores también debe ser contabilizada. Siguiendo la planificación descrita, los tutores han realizado las tareas de revisión y aprobación, por lo que se les atribuyen quince horas entre ambos, dividiéndose a partes iguales. Por tanto, teniendo en cuenta los salarios de los tutores [97], su categoría y 1.792 horas de trabajo anuales, el coste es de 341,43 euros.

Recurso	Coste / hora	Seguridad Social	Horas totales	Coste total
Programador	10,62 €	31,4 %	300	4.186,41 €
Directora			7	190,27 €
Codirector		Incluido	7	151,16 €
Coste total de personal				4.527,84 €

**Tabla 69:** Costes de personal.

### 9.6.2. Coste del robot

En cuanto a los componentes del *rover*, por un lado está la plataforma de *JPL Open Source Rover Project*, con un coste aproximado de 1.600 dólares estadounidenses [16], es decir, 1.470 euros a fecha del lunes 4 de noviembre de 2024, fecha en la que se confirmó la inscripción al concurso.

Por otro lado, están los dispositivos requeridos por el concurso. La *IMU* tiene un coste de 32,12 euros, el *LiDAR* 78,56 euros, la cámara 137,82 euros, la *Raspberry Pi 4B* 89,95 euros, la pantalla de 86,89 euros y la cúpula de soporte para los sensores y el marco de la pantalla imprimido en material *PLA* de impresión 3D tendrá un coste máximo aproximado de 70 euros. Adicionalmente, se requiere de un *router* para tener una red propia por la que conectarnos al *rover*. El *router* tiene un precio de 69,99 euros.

Tanto con la plataforma como con los dispositivos no se prevé otro uso, por lo que se imputa su coste total.

Asimismo, es preciso incluir una partida dedicada a gastos de envío de los componentes. Teniendo en cuenta que algunos materiales hay que pedirlos a los Estados Unidos de América, cuyos gastos de envío a Europa ascienden aproximadamente a 60 euros, se ha optado por presupuestar 120€ en gastos de envío. También es importante recalcar que durante el desarrollo de este proyecto no existían aranceles en vigor, motivo por el que no se incluyen.

Recurso	Coste de compra
<i>JPL Open Source Rover Project</i>	1.470 €
<i>IMU</i>	32,12 €
<i>LiDAR</i>	78,56 €
Cámara	137,82 €
<i>Raspberry Pi 4B</i>	89,95 €
Pantalla	86,89 €
Cúpula y marco 3D	70 €
<i>Router</i>	69,99 €
Gastos de envío	120 €
Coste total del robot	2.155,33 €

**Tabla 70:** Coste del robot.

### 9.6.3. Costes de herramientas software y hardware

En cuanto a gastos de licencias, es destacable mencionar que no se ha necesitado la adquisición de ninguna licencia como se describe en el apartado 9.5.

El equipo informático dedicado para el proyecto es el ordenador portátil *Gigabyte G6X (2024)* con 1TB de almacenamiento interno y 32GB de memoria RAM, que tiene un precio de 1.450 euros. Sabiendo que la vida útil asociada a este tipo de equipos es de cuatro años y que el proyecto se ha extendido durante nueve meses, el coste de este equipo es de 271,88 euros.

Recurso	Coste de compra	Amortización	Uso	Coste en proyecto
<i>Portátil</i>	1.450 €	4 años	9 meses	271,88 €
Coste total				271,88 €

**Tabla 71:** Costes de herramientas software y hardware.

### 9.6.4. Coste total estimado

Por último, hay que tener en cuenta los gastos indirectos. En este caso, los costes indirectos representan en su mayoría el gasto en electricidad. Dadas las características del proyecto se ha decidido presupuestar un 3 % del coste total en gastos indirectos.

El coste total final del proyecto asciende a 7.163,71 euros.

En la Tabla 72 se resume el estudio económico del proyecto y en la Ilustración 69 se recoge gráficamente el peso de cada coste en el proyecto.

Duración del proyecto	300 horas
Plazo del proyecto	9 meses
Tipo	Coste
Costes de personal	4.527,84 €
Coste del robot	2.155,33 €
Costes de herramientas <i>software y hardware</i>	271,88 €
	6.955,05 €
Costes indirectos (3 %)	208,66 €
Total	7.163,71 €

**Tabla 72:** Evaluación económica total.



**Ilustración 69:** Distribución de los costes del proyecto.

# 10. Conclusiones y líneas futuras

En este último capítulo se recogen las conclusiones obtenidas junto con la evaluación de los objetivos y las líneas futuras de trabajo para dar continuidad al desarrollo realizado.

## 10.1. Conclusiones y evaluación de los objetivos

El objetivo principal del proyecto es “desarrollar algoritmos de percepción en el entorno y control que permitan a un *rover* identificar números y colores y desplazarse por un entorno cerrado”. Tras conocer los resultados de la implementación de los algoritmos trabajados, se concluye que se ha alcanzado el objetivo planteado. Además, dados los buenos resultados obtenidos, se puede asegurar que el proyecto ha sido un éxito.

En cuanto a los objetivos secundarios, destaca la implementación de las soluciones aportadas utilizando *ROS2*, logrando una formación autodidacta en un ámbito emergente y con gran potencial y un resultado actualizado a las tendencias actuales. Asimismo, se ha experimentado que un montaje mecánico robusto y de calidad facilita enormemente el control de los movimientos del robot simplificando la dificultad de la algorítmica a desarrollar.

Durante el desarrollo de la prueba de percepción, generar un conjunto de datos propio ha sido clave para obtener una precisión cercana al 99 %. En un primer momento, se intentó entrenar una red neuronal con *datasets* populares publicados en internet, pero el modelo generaba confusión entre los números 1 y 7, y 6, 8 y 9, e incluían más posibilidades como por ejemplo, números mayores a 9. Además, estos conjuntos no incluían la categoría de “sin número” y tenían un tamaño considerablemente grande, por lo que el modelo de red neuronal era pesado y el rendimiento de la *Raspberry Pi* disminuía, necesitando bastante más tiempo para finalizar la percepción, entre 10 y 15 segundos. Consecuentemente, se planteó generar un conjunto de datos específico para esta aplicación y se ha descubierto que crear un *dataset* correcto para cada utilización ajustado a los requisitos específicos ahorra tiempo de diseño y codificación del modelo, además de mejorar los resultados. Con la solución desarrollada tan sólo se necesitan 2,5 segundos para percibir el entorno.

Además, al hacer los giros no se activaban todos los motores a la vez. En algunos casos, el programa en ejecución se quedaba atascado y los motores no se movían. Con el fin de comprobar la corrección del código y asegurarse de que el algoritmo no estuviera bloqueando el sistema, se creó el gemelo funcional de la *IMU*. Las pruebas fueron positivas, y tras inspeccionar el *rover* se descubrió que una luz roja parpadeaba en la placa, indicando falta de alimentación. Una vez el equipo revisó las soldaduras y con el problema ya corregido, el mismo código funcionaba correctamente. Gracias a este fallo se ha aprendido la importancia del correcto funcionamiento de la electrónica y que

el origen de este tipo de complicaciones no tiene por qué estar en el propio *software*. Asimismo, la realización de pruebas que permitan averiguar la fuente de estos problemas ha resultado crucial.

Por otro lado, en la prueba de control se han ido corrigiendo errores en el planteamiento. En un primer momento, se ideó que la salida del controlador debía ser escalada al rango [-90, 90]. Esto se debía a que con un factor  $K_p = 1$ , siendo el error máximo 1,5 metros, la corrección máxima generada sería de 1,5, cuando los servomotores funcionan en dicho rango. Tras ir ajustando las constantes de control para mejorar el sistema, se obtuvo que para errores mínimos la corrección era máxima. Al no tener sentido, se dedujo que ese escalado era erróneo e innecesario, ya que es la constante  $K_p$  la encargada de aumentar o disminuir la corrección. De aquí se dedujo que el valor mínimo de dicha constante debía ser de 60 (ver apartado 7.5.4).

En último lugar, también se ha producido un aprendizaje en tareas de organización, documentación y revisión. Llevar un registro con toda la información y situaciones generadas ha facilitado enormemente la redacción de esta memoria.

## 10.2. Líneas futuras de trabajo

La principal línea de trabajo futuro es aumentar la creación y uso de gemelos funcionales y simulaciones. Estas herramientas permiten avanzar en la solución sin utilizar los elementos físicos, generando un entorno seguro, rápido y de bajo coste para realizar pruebas. Concebir un modelo virtual que represente al *rover* es una gran ventaja puesto que permitiría experimentar diferentes estrategias, como por ejemplo, mejorar la prueba de control realizando interpolaciones en las patas traseras o adaptar la implementación de algoritmos como la persecución pura o la obtención del vector neto [98].

En cuanto a la prueba de percepción, se pueden buscar alternativas a las restricciones geométricas mediante el uso del sensor de profundidad o modelos de visión artificial para detectar la caja y su ubicación. De esta manera, se añadiría un paso previo adicional para reconocer la caja y sobre ella se identificaría tanto el número como el color.

## 10.3. Repositorio del proyecto

La información y el código generado en el proyecto está disponible en el repositorio <https://github.com/arambarricalvoj/percepcion-control-ros2-tfg>.

# Bibliografía

- [1] Małgorzata Cognominal, Krystyna Patronymic y Agnieszka Wankowicz. "Evolving Field of Autonomous Mobile Robotics: Technological Advances and Applications". En: *Fusion of Multidisciplinary Research, An International Journal* 2.2 (jul. de 2021), págs. 189-200. DOI: 10.63995/USAS3015.
- [2] R. Washington et al. "Autonomous rovers for Mars exploration". En: *1999 IEEE Aerospace Conference. Proceedings (Cat. No.99TH8403)*. Vol. 1. 1999, 237-251 vol.1. DOI: 10.1109/AERO.1999.794236.
- [3] Fundación SENER. *Nota de prensa: SENER y CEAs Bot Talent*. Mayo de 2025. URL: [https://fundacion.sener/wp-content/uploads/2025/05/2025\\_05\\_08\\_NdP-Sener-CEAs-Bot-Talent.pdf](https://fundacion.sener/wp-content/uploads/2025/05/2025_05_08_NdP-Sener-CEAs-Bot-Talent.pdf).
- [4] Sener Group. *Final del concurso Sener CEAs Bot Talent 2025*. Video, YouTube. Mayo de 2025. URL: [https://www.youtube.com/watch?v=DR\\_1YrUJZxY](https://www.youtube.com/watch?v=DR_1YrUJZxY).
- [5] Queensland Institute of Technology. "Future uncertain for Elsie, a sensitive and historic robot". En: *The Queensland Institute of Technology Newspaper* 18 (mayo de 1986). URL: [https://digitalcollections.qut.edu.au/3468/6/QIT\\_May86\\_Iss18.pdf](https://digitalcollections.qut.edu.au/3468/6/QIT_May86_Iss18.pdf).
- [6] Inser Robotica. *Mobile Industrial Robots: La revolución en el entorno industrial*. URL: <https://www.inser-robotica.com/mobile-industrial-robots-revolucion-entorno-industrial/>.
- [7] Gerard O'Regan. "Unimation". En: *Pillars of Computing: A Compendium of Select, Pivotal Technology Firms*. Cham: Springer International Publishing, 2015. ISBN: 978-3-319-21464-1. DOI: 10.1007/978-3-319-21464-1\_34.
- [8] Peter E. Hart. *Shakey: From Conception to History*. 2017. URL: <https://ai.stanford.edu/~nilsson/OnlinePubs-Nils/General%20Essays/Shakey-aimag-17.pdf>.
- [9] F. Pugin, P. Bucher y P. Morel. "History of robotic surgery: From AESOP and ZEUS to da Vinci". En: *Journal of Visceral Surgery* 148.5, Supplement (2011). Robotic surgery, e3-e8. ISSN: 1878-7886. DOI: <https://doi.org/10.1016/j.jviscsurg.2011.04.007>.
- [10] J. Edward Colgate et al. "Cobots". US5952796A. Northwestern University. 14 de sep. de 1999. URL: <https://patents.google.com/patent/US5952796>.
- [11] Tobias Kaupp. *Orca-Robotics*. URL: <https://orca-robotics.sourceforge.net/>.
- [12] H. Bruyninckx. "Open robot control software: the OROCOS project". En: *Proceedings 2001 ICRA. IEEE International Conference on Robotics and Automation (Cat. No.01CH37164)*. Vol. 3. 2001, 2523-2528 vol.3. DOI: 10.1109/ROBOT.2001.933002.

- [13] Morgan Quigley et al. "ROS: an open-source Robot Operating System". En: *Proc. of the IEEE Intl. Conf. on Robotics and Automation (ICRA) Workshop on Open Source Robotics*. Kobe, Japan, mayo de 2009.
- [14] International Federation of Robotics. *TOP 5 Global Robotics Trends 2025*. URL: <https://ifr.org/ifr-press-releases/news/top-5-global-robotics-trends-2025>.
- [15] Kento Kawaharazuka et al. "Robotic environmental state recognition with pre-trained vision-language models and black-box optimization". En: *Advanced Robotics* 38.18 (2024), págs. 1255-1264. DOI: 10.1080/01691864.2024.2366995.
- [16] Jet Propulsion Laboratory y California Institute of Technology. *JPL Open Source Rover Project*. Agosto de 2019. URL: <https://open-source-rover.readthedocs.io>.
- [17] *Mars Perseverance Sol 1503: Right Navigation Camera (Navcam)*. URL: [https://mars.nasa.gov/mars2020/multimedia/raw-images/NRF\\_1503\\_0800387562\\_237ECM\\_N0731522NCAM00266\\_01\\_195J](https://mars.nasa.gov/mars2020/multimedia/raw-images/NRF_1503_0800387562_237ECM_N0731522NCAM00266_01_195J).
- [18] Steve Macenski et al. "The Marathon 2: A Navigation System". En: *2020 IEEE/RSJ International Conference on Intelligent Robots and Systems (IROS)*. 2020, 2718-2725. DOI: 10.1109/IROS45743.2020.9341207.
- [19] N. Koenig y A. Howard. "Design and use paradigms for Gazebo, an open-source multi-robot simulator". En: *2004 IEEE/RSJ International Conference on Intelligent Robots and Systems (IROS) (IEEE Cat. No.04CH37566)*. Vol. 3. 2004, 2149-2154 vol.3. DOI: 10.1109/IROS.2004.1389727.
- [20] O. Michel. "Webots: Professional Mobile Robot Simulation". En: *Journal of Advanced Robotics Systems* 1.1 (2004), págs. 39-42. DOI: <https://doi.org/10.5772/5618>.
- [21] José-Luis Blanco-Claraco et al. "MultiVehicle Simulator (MVSIM): Lightweight dynamics simulator for multiagents and mobile robotics research". En: *SoftwareX* 23 (2023), pág. 101443. ISSN: 2352-7110. DOI: <https://doi.org/10.1016/j.softx.2023.101443>.
- [22] Open Robotics. *RViz*. URL: <https://github.com/ros2/rviz>.
- [23] Jon Aristondo Etxeberria. "Algoritmo de reconocimiento de forma y color para una plataforma robótica". Departamento de Ciencia de la Computación e Inteligencia Artificial. Tesis de Máster. Donostia - San Sebastián, España: Universidad del País Vasco / Euskal Herriko Unibertsitatea, sep. de 2010. URL: <https://www.ehu.eus/documents/1545039/1570316/10jaristondo.pdf>.
- [24] S. M. Shamim et al. "Handwritten Digit Recognition Using Machine Learning Algorithms". En: *Indonesian Journal of Science and Technology* 3.1 (ene. de 2024), págs. 29-39. URL: <https://ejournal.kjpupi.id/index.php/ijost/article/view/150>.
- [25] Wenfei Liu, Jingcheng Wei y Qingmin Meng. "Comparisons on KNN, SVM, BP and the CNN for Handwritten Digit Recognition". En: *2020 IEEE International Conference on Advances in Electrical Engineering and Computer Applications (AEECA)*. 2020, págs. 587-590. DOI: 10.1109/AEECA49918.2020.9213482.

- [26] Yinglong Li. "Research and Application of Deep Learning in Image Recognition". En: *2022 IEEE 2nd International Conference on Power, Electronics and Computer Applications (ICPECA)*. 2022, págs. 994-999. DOI: 10.1109/ICPECA53709.2022.9718847.
- [27] Cai-Xia Deng, Gui-Bin Wang y Xin-Rui Yang. "Image edge detection algorithm based on improved Canny operator". En: *2013 International Conference on Wavelet Analysis and Pattern Recognition*. 2013. DOI: 10.1109/ICWAPR.2013.6599311.
- [28] Yulius, Andi Sunyoto y Rianarto Sarno. "Implementing canny edge detection algorithm for noisy image". En: *Bulletin of Electrical Engineering and Informatics* 8.4 (dic. de 2019), págs. 1260-1267. ISSN: 2089-3191. URL: <https://beei.org/index.php/EEI/article/view/1837/2013>.
- [29] César Osimani. "Análisis y procesamiento de imágenes para la detección del contorno labial en pacientes de odontología". En: nov. de 2014.
- [30] Ian Goodfellow, Yoshua Bengio y Aaron Courville. *Deep Learning*. <http://www.deeplearningbook.org>. MIT Press, 2016.
- [31] Michael Nielsen. *Neural Networks and Deep Learning*. 2015. URL: <http://neuralnetworksanddeeplearning.com/>.
- [32] Joseph Stewart y Matt Church. *ROS 2 Robot With SLAM*. Oct. de 2024. DOI: 10.13140/RG.2.2.15510.56643.
- [33] Daniel D. Yanyachi et al. "Laser RobMap: An open source ROS2 compatible tool for 3D mapping using a Mobile Robot and 2D LiDAR". En: *SoftwareX* 30 (2025), pág. 102142. ISSN: 2352-7110. DOI: <https://doi.org/10.1016/j.softx.2025.102142>.
- [34] Alba Marqués Reca. "Planificación de caminos reactiva mediante persecución pura en coche a escala utilizando ROS y Gazebo". Trabajo de Fin de Grado. Escuela de Ingenierías Industriales de la Universidad de Málaga, mayo de 2024.
- [35] Ahmed Abdulsahib. "Path Following and Motion Control for Articulated Frame Steering Mobile Working Machine Using ROS2". Tesis de Máster. Universidad de Tampere, dic. de 2022. URL: [https://trepo.tuni.fi/bitstream/handle/10024/144698/Ahmed\\_Abdulsahib.pdf?sequence=5](https://trepo.tuni.fi/bitstream/handle/10024/144698/Ahmed_Abdulsahib.pdf?sequence=5).
- [36] Javier Minguez y Luis Montano. "Nearness Diagram (ND) Navigation: Collision Avoidance in Troublesome Scenarios". En: *IEEE Transactions on Robotics and Automation* 20.1 (feb. de 2004), págs. 45-59. DOI: 10.1109/TRA.2003.820849.
- [37] Francisco J. Real Pérez. "Navegación Reactiva y Seguimiento en Entornos Urbanos mediante Percepción Láser y Mapas Probabilísticos". Proyecto Final de Máster. Escuela Superior de Ingenieros, Universidad de Sevilla, nov. de 2008. URL: <https://biblus.us.es/bibing/proyectos/use/abreproj/70073/fichero/memoria.pdf>.
- [38] J. Morales et al. "Pure-Pursuit Reactive Path Tracking for Nonholonomic Mobile Robots with a 2D Laser Scanner". En: *EURASIP Journal on Advances in Signal Processing* 2009 (dic. de 2009), págs. 1-10. DOI: 10.1155/2009/935237.
- [39] Josu Arambarri Calvo y Javier Arambarri Calvo. *EXPLORANDO LA ROBÓTICA: Guía para First Lego League y World Robot Olympiad*. España: Amazon RDP, oct. de 2024. URL: <https://www.amazon.es/dp/B0DDJM1J8>.

- [40] Josu Arambarri Calvo y Javier Arambarri Calvo. *Algoritmos de programación avanzada para First Lego League y World Robot Olympiad*. España: Amazon KDP, mar. de 2023. URL: <https://www.amazon.es/dp/B0BYRK51T4>.
- [41] Gabriel Delgado-Oleas et al. "Diseño y desarrollo de una arquitectura electrónica bioinspirada para el control de sistemas de asistencia a la locomoción". En: *Revista Iberoamericana de Automática e Informática industrial* 20.3 (abr. de 2023), págs. 293-302. DOI: 10.4995/riai.2023.18748.
- [42] NASA Jet Propulsion Laboratory. *Perseverance Rover*. Rover construido para la misión Mars 2020, lanzado en 2020 y aterrizado en Marte en 2021. 2020. URL: <https://mars.nasa.gov/mars2020/>.
- [43] *goRAIL®*. URL: <https://www.gobilda.com/gorail>.
- [44] Hernán Martín Varela. "Estudio de un rover con suspensión rocker-bogie para misiones en Marte". Tesis Doctoral. UPC, Escuela Superior de Ingenierías Industrial, Aeroespacial y Audiovisual de Terrassa, Departamento de Ingeniería Mecánica, jul. de 2021. URL: <http://hdl.handle.net/2117/360872>.
- [45] Abhisek Verma et al. "Design of Rocker-Bogie Mechanism". En: *International Journal of Innovative Science and Research Technology* 2.5 (2017), págs. 312-319. ISSN: 2456-2165. URL: <https://ijisrt.com/wp-content/uploads/2017/05/Design-of-Rocker-Bogie-Mechanism-1.pdf>.
- [46] *5203 Series Yellow Jacket Planetary Gear Motor (26.9:1 Ratio, 24mm Length 8mm REX Shaft, 223 RPM, 3.3 - 5V Encoder)*. URL: <https://www.gobilda.com/5203-series-yellow-jacket-planetary-gear-motor-26-9-1-ratio-24mm-length-8mm-rex-shaft-223-rpm-3-3-5v-encoder/>.
- [47] *2000 Series Dual Mode Servo (25-2, Torque)*. URL: <https://www.gobilda.com/2000-series-dual-mode-servo-25-2-torque/>.
- [48] *Astra Series - ORBBEC - 3D Vision for a 3D World*. URL: <https://www.orbbec.com/products/structured-light-camera/astra-series/>.
- [49] *YDLIDAR X4*. URL: <https://www.ydlidar.com/products/view/5.html>.
- [50] Ltd. Shenzhen EAI Technology Co. *YDLIDAR X4 DATA SHEET*. 2018.
- [51] *Adafruit 9-DOF Absolute Orientation IMU Fusion Breakout - BNO055*. URL: <https://www.adafruit.com/product/2472>.
- [52] NXP Semiconductors. *UM10204: I2C-bus specification and user manual*. Rev. 6. 2014. URL: <https://www.nxp.com/docs/en/user-guide/UM10204.pdf>.
- [53] *14.8V 4S 4000mAh 60C LiPo Battery*. URL: <https://hrb-power.com/products/2pcs-hrb-14-8v-4s-4000mah-60c-lipo-battery-for-rc-drone-car-airplane-boat>.
- [54] *Roboclaw 2x7A Motor Controller*. URL: [https://www.basicmicro.com/Roboclaw-2x7A-Motor-Controller\\_p\\_55.html](https://www.basicmicro.com/Roboclaw-2x7A-Motor-Controller_p_55.html).
- [55] *Raspberry Pi 4 - 8GB*. URL: <https://www.raspberrypi.com/products/raspberry-pi-4-model-b/?variant=raspberry-pi-4-model-b-8gb>.
- [56] *Pantalla Táctil Capacitiva para RPI, 400x1280, IPS, Interfaz DSI 7,9 pulg Waveshare*. URL: <https://eu.robotshop.com/es/products/pantalla-tactil-capacitiva-para-rpi-400x1280-ips-interfaz-dsi-79-pulg-waveshare>.

- [57] *KETOTEK Voltímetro Amperímetro Digital DC 6.5-100V 20A 12V*. Dispositivo electrónico. Medidor de voltaje, amperaje, potencia y energía eléctrica de panel, pantalla LCD. KETOTEK, 2025.
- [58] *TL-MR110 / Router 4G LTE Wi-Fi 4 N300*. URL: <https://www.tp-link.com/es/home-networking/5g-4g-router/tl-mr110/>.
- [59] A. Burgos et al. *MeiA 4.0 (Metodología para ingeniería de Automatización)*. Nov. de 2022. DOI: 10.13140/RG.2.2.22961.66400.
- [60] Steven Macenski et al. "Robot Operating System 2: Design, architecture, and uses in the wild". En: *Science Robotics* 7.66 (2022), eabm6074. DOI: 10.1126/scirobotics.abm6074.
- [61] Object Management Group. *Data Distribution Service (DDS) Version 1.4*. 2015. URL: <https://www.omg.org/spec/DDS/1.4>.
- [62] Open Source Robotics Foundation. *ROS 2 Humble Hawksbill Documentation*. Version Humble Hawksbill. Open Source Robotics Foundation. 2022. URL: <https://docs.ros.org/en/humble/index.html>.
- [63] Open Source Robotics Foundation. *ROS 2 Jazzy Jalisco Documentation*. 2024. URL: <https://docs.ros.org/en/jazzy/index.html>.
- [64] Open Robotics. *sensor\_msgs/msg/Imu — ROS 2 Humble documentation*. 2022. URL: [https://docs.ros.org/en/humble/p/sensor\\_msgs/msg/Imu.html](https://docs.ros.org/en/humble/p/sensor_msgs/msg/Imu.html).
- [65] ROS 2 Design. *Node Lifecycle Management*. 2018. URL: [https://design.ros2.org/articles/node\\_lifecycle.html](https://design.ros2.org/articles/node_lifecycle.html).
- [66] Francisco Utray. *Codificación digital de la imagen*. Dykinson, 2015.
- [67] Nicolás Aguirre Dobernack. "Implementación de un sistema de detección de señales de tráfico mediante visión artificial basado en FPGA". Trabajo Fin de Grado. Universidad de Sevilla, 2013.
- [68] Dra. Nora La Serna, Mg. Luzmila Pro Concepción y Lic. Carlos Yañez Durán. "Compresión de imágenes: Fundamentos, técnicas y formatos". En: *Revista de Ingeniería de Sistemas e Informática de la Universidad Nacional Mayor de San Marcos* 6.1 (2009), págs. 21-29.
- [69] Open Robotics. *sensor\_msgs/msg/Image Documentation (ROS 2 Humble)*. [http://docs.ros.org/en/humble/p/sensor\\_msgs/msg/Image.html](https://docs.ros.org/en/humble/p/sensor_msgs/msg/Image.html). 2022.
- [70] Rafael C. Gonzalez y Richard E. Woods. *Digital Image Processing (3rd Edition)*. Prentice-Hall, Inc., 2006. ISBN: 013168728X.
- [71] Anup Vibhute, Sk Bodhe y Babasaheb More. "Nitrogen Estimation for Grapevine (In Veraison) Using RGB Color Image Processing". En: *Research and Reviews: Journal of Botanical Sciences* 3 (dic. de 2013), págs. 4-7.
- [72] A. de la Escalera. *Visión por Computador: Fundamentos y Métodos*. 1.ª ed. Prentice Hall, 2001.
- [73] OpenCV. *Espacios de color en OpenCV: Rango de valores HSV*. 2024. URL: [https://docs.opencv.org/4.x/df/d9d/tutorial\\_py\\_colorspaces.html](https://docs.opencv.org/4.x/df/d9d/tutorial_py_colorspaces.html).
- [74] Richard Szeliski. *Computer Vision: Algorithms and Applications*. 2nd (final draft, Sept. 2021). 2021.
- [75] Saily Shah. *Convolutional Neural Network: An Overview*. 2022. URL: <https://www.analyticsvidhya.com/back-channel/download-pdf.php?pid=87620>.

- [76] John Canny. "A Computational Approach To Edge Detection". En: *Pattern Analysis and Machine Intelligence, IEEE Transactions on PAMI-8* (dic. de 1986), págs. 679-698. DOI: 10.1109/TPAMI.1986.4767851.
- [77] The MathWorks Inc. *MATLAB version: 9.13.0 (R2022b)*. Natick, Massachusetts, United States, 2022. URL: <https://www.mathworks.com>.
- [78] EAI Team. *YDLIDAR Python SDK*. <https://github.com/YDLIDAR/YDLidar-SDK>. 2025.
- [79] Open Source Robotics Foundation. *sensor\_msgs/msg/LaserScan.msg – ROS2 Humble*. 2022. URL: [https://github.com/ros2/common\\_interfaces/blob/humble/sensor\\_msgs/msg/LaserScan.msg](https://github.com/ros2/common_interfaces/blob/humble/sensor_msgs/msg/LaserScan.msg).
- [80] Spartacus Gomáriz Castro et al. *Teoría de control. Diseño electrónico*. Politext 72. Barcelona: Ediciones UPC, S.L., 1998, pág. 392. ISBN: 978-84-8301-266-6.
- [81] Picuino. *Controlador PID. Método de Ziegler-Nichols*. 2024. URL: <https://www.picuino.com/es/control-ziegler-nichols.html>.
- [82] Open Source Robotics Foundation. *Gazebo Harmonic*. Documentación oficial de Gazebo Harmonic. 2024. URL: <https://gazebosim.org/docs/harmonic>.
- [83] *Docker: accelerated container application development*. URL: <https://www.docker.com/>.
- [84] *GanttProject: Free Project Management App*. URL: <https://www.ganttproject.biz/>.
- [85] *Trabajo Fin de Grado - Curso 2024/2025*. URL: [https://www.ehu.eus/es/web/bilboko-ingeniaritza-eskola/grados/trabajo\\_fin\\_de\\_grado](https://www.ehu.eus/es/web/bilboko-ingeniaritza-eskola/grados/trabajo_fin_de_grado).
- [86] *Overleaf, Online LaTeX Editor*. URL: <https://www.overleaf.com/>.
- [87] *Visual Studio Code - Code Editing. Redefined*. URL: <https://code.visualstudio.com/>.
- [88] *LaTeX*. URL: <https://marketplace.visualstudio.com/items?itemName=mathematic.vscode-latex>.
- [89] *LaTeX Workshop*. URL: <https://marketplace.visualstudio.com/items?itemName=James-Yu.latex-workshop>.
- [90] *Microsoft PowerPoint*. URL: <https://www.microsoft.com/es-es/microsoft-365/powerpoint>.
- [91] International Organization for Standardization. *ISO 45001:2018(es) Sistemas de gestión de la seguridad y salud en el trabajo — Requisitos con orientación para su uso*. 2018. URL: <https://www.iso.org/obp/ui/#iso:std:iso:45001:ed-1:v1:es>.
- [92] *GNU Octave*. 2025. URL: <https://www.gnu.org/software/octave/>.
- [93] *draw.io*. URL: <https://www.draw.io/>.
- [94] *Virtual Manager*. URL: <https://virt-manager.org/>.
- [95] Boletín Oficial del Estado. *Resolución de 12 de marzo de 2024, de la Dirección General de Trabajo, por la que se registran y publican las tablas salariales para 2024 del XX Convenio colectivo nacional de empresas de ingeniería, oficinas de estudios técnicos, inspección, supervisión y control técnico y de calidad*. Boletín Oficial del Estado, número BOE-A-2024-5873. 2024. URL: [https://www.boe.es/diario\\_boe/txt.php?id=BOE-A-2024-5873](https://www.boe.es/diario_boe/txt.php?id=BOE-A-2024-5873).

- [96] Ministerio de Inclusión, Seguridad Social y Migraciones. *Régimen General de la Seguridad Social*. Sitio web del Ministerio de Inclusión, Seguridad Social y Migraciones. 2023. URL: <https://www.seg-social.es/wps/portal/wss/internet/Trabajadores/CotizacionRecaudacionTrabajadores/36537>.
- [97] Universidad del País Vasco (UPV/EHU). *Retribuciones - gardentasun-ataria*. <https://www.ehu.eus/es/web/gardentasun-ataria/ordainketak>.
- [98] Chris Anderson. *Lessons learned making a Lidar-based maze rover*. DIY Robocars. 2020. URL: <https://www.diyrobocars.com/2020/03/19/lessons-learned-making-a-lidar-based-maze-rover/>.
- [99] *Raspberry Pi OS*. URL: <https://www.raspberrypi.com/software/>.
- [100] *Ubuntu 22.04.5 LTS (Jammy Jellyfish)*. URL: <https://releases.ubuntu.com/jammy/>.
- [101] Chris M. Lonwick y Tuu Ylonen. *The Secure Shell (SSH) Transport Layer Protocol*. RFC 4253. Ene. de 2006. DOI: 10.17487/RFC4253.
- [102] Clearpath Robotics. *Udev Rules*. 2017. URL: <https://www.clearpathrobotics.com/assets/guides/kinetic/ros/Udev%20Rules.html>.
- [103] Basicmicro. *Basicmicro Motion Studio Legacy Version 1.0.0.75*. [https://downloads.basicmicro.com/software/Legacy/BasicmicroMotionStudio\\_1.0.0.75.zip](https://downloads.basicmicro.com/software/Legacy/BasicmicroMotionStudio_1.0.0.75.zip). 2020.
- [104] Open Source Robotics Foundation. *rclpy: ROS Client Library for the Python language*. <https://github.com/ros2/rclpy>. Version 3.3.16, ROS 2 Humble Hawksbill. 2025.
- [105] Adafruit Industries. *Adafruit CircuitPython Board*. [https://github.com/adafruit/Adafruit\\_Blinka](https://github.com/adafruit/Adafruit_Blinka). 2025.
- [106] Adafruit Industries. *Adafruit CircuitPython BNO055*. [https://github.com/adafruit/Adafruit\\_CircuitPython\\_BNO055](https://github.com/adafruit/Adafruit_CircuitPython_BNO055). 2025.
- [107] Adafruit Industries. *Adafruit CircuitPython ServoKit*. [https://github.com/adafruit/Adafruit\\_CircuitPython\\_ServoKit](https://github.com/adafruit/Adafruit_CircuitPython_ServoKit). 2025.
- [108] Basicmicro. *roboclaw\_python\_library*. [https://github.com/basicmicro/roboclaw\\_python\\_library](https://github.com/basicmicro/roboclaw_python_library). 2019.
- [109] G. Bradski. "The OpenCV Library". En: *Dr. Dobb's Journal of Software Tools* (2000).
- [110] Open Source Robotics Foundation. *cv\_bridge: ROS package for converting ROS images to OpenCV images*. [https://github.com/ros-perception/vision\\_opencv](https://github.com/ros-perception/vision_opencv). 2024.
- [111] Martín Abadi et al. *TensorFlow: Large-Scale Machine Learning on Heterogeneous Systems*. <https://www.tensorflow.org/>. 2015.
- [112] Charles R. Harris et al. *NumPy*. 2020. DOI: 10.1038/s41586-020-2649-2.
- [113] Python Software Foundation. *The Python Standard Library*. <https://docs.python.org/3/library/>. 2025.
- [114] Python Packaging Authority. *setuptools: Easily download, build, install, upgrade, and uninstall Python packages*. <https://github.com/pypa/setuptools>. 2025.

# Anexo I: Configuración de la conectividad en el *rover* y librerías utilizadas

En este anexo se detalla la configuración necesaria para activar la conectividad con el robot y las librerías que se han utilizado:

I.1. Instalación del sistema operativo . . . . .	147
I.2. Configurar la red <i>Wi-Fi</i> . . . . .	147
I.3. Configuración de <i>SSH</i> . . . . .	148
I.4. Habilitar puertos serie e <i>I2C</i> . . . . .	149
I.5. Establecer las reglas <i>udev</i> . . . . .	150
I.6. Modificar el fichero <code>~/.bashrc</code> . . . . .	152
I.7. <i>Firmware</i> de <i>Roboclaw</i> . . . . .	152
I.8. Librerías <i>software</i> utilizadas . . . . .	152

## I.1. Instalación del sistema operativo

El primer paso es instalar el sistema operativo. Se ha utilizado el programa *Raspberry Pi Imager* [99] para volcar la imagen de *Ubuntu Desktop 22.04.5 LTS* [100] en la tarjeta *micro-SD*. En la interfaz gráfica, Ilustración 70, seleccionar el tipo de *Raspberry Pi*, el sistema operativo y la tarjeta *micro-SD*.



Ilustración 70: *Raspberry Pi Imager*.

Durante el primer arranque del sistema se siguen los pasos guiados de personalización y configuración.

Después, se empieza con la configuración específica. Se debe activar la conexión remota *SSH* y configurar la red *WiFi* a la que se conectará automáticamente, habilitar los puertos serie e *I2C* y establecer reglas *udev*.

En las siguientes secciones se detallan los pasos y comandos de terminal *bash* necesarios para proceder con la configuración.

## I.2. Configurar la red *Wi-Fi*

Hay que marcar la opción *Connect automatically* de la red seleccionada como se muestra en las ilustraciones 71 y 72.



Ilustración 71: Configuración de la red.

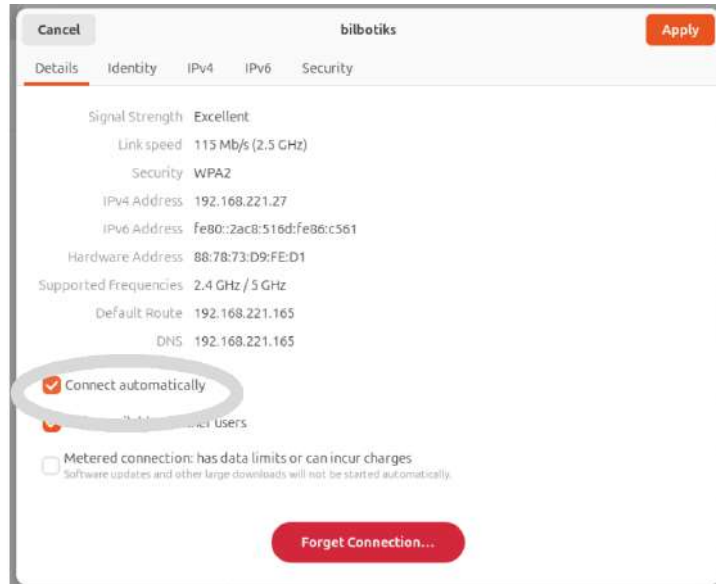


Ilustración 72: Conectarse automáticamente a la red.

### I.3. Configuración de SSH

SSH [101] es un protocolo inalámbrico de red que permite conectarse y administrar de forma remota y segura dispositivos o servidores a través de una red. El protocolo se basa en una arquitectura cliente-servidor y cifra toda la comunicación entre el cliente y el servidor. Permite ejecutar comandos de manera remota, transferir archivos de forma segura y realizar tareas de administración desde la línea de comandos.

En este proyecto el protocolo *SSH* se utiliza para conectarse y comunicarse con el *rover*.

En primer lugar, hay que configurar el servidor *SSH*, que será el *rover*. Para ello, hay que instalar el servicio, generar la clave criptográfica que acometerá el cifrado, activar y arrancar el servidor y abrir el puerto 22 en el *firewall*:

```
$ sudo apt install openssh-server #Instalar servidor SSH
$ ssh-keygen #Generar la clave criptográfica necesaria

$ sudo systemctl enable ssh #Activar el servidor
$ sudo systemctl start ssh #Arrancar el servidor

$ sudo ufw allow ssh #Habilitar puerto 22 para conexiones remotas
$ sudo ufw enable
$ sudo ufw status
```

Código 10.1: Comandos *bash* para la instalación del servidor *SSH*.

En segundo lugar, hay que configurar el cliente *SSH*, es decir, el ordenador que se va a conectar al servidor. Tanto en versiones posteriores a *Ubuntu 16.04 LTS* como en *Windows 11* el cliente viene instalado por defecto. No obstante, se incluye el comando que instala el cliente en caso de ser necesario:

```
$ sudo apt install openssh-client #Instalar cliente SSH
$ ssh usuario@direccion #Conectarse al rover

#usuario: usuario en el sistema operativo
#direccion: dirección IP del rover en la red
```

**Código 10.2:** Comandos *bash* para la instalación del cliente *SSH*.

## I.4. Habilitar puertos serie e *I2C*

En los sistemas robóticos basados en *Raspberry Pi* es habitual utilizar diferentes interfaces de comunicación para gestionar los distintos componentes electrónicos. El puerto serie se emplea para el control directo de los motores de las ruedas, permitiendo enviar y recibir datos entre la *Raspberry Pi* y el controlador de motores.

Por otro lado, la comunicación *I2C* [52] se utiliza para conectar sensores como la *IMU*, ya que este bus permite la transmisión de datos entre múltiples dispositivos utilizando solo dos líneas o cables, resultando ideal para este tipo de sensores.

La manera más sencilla de habilitar ambos puertos es mediante la herramienta *raspi-config*:

```
$ sudo apt install raspi-config #Instalar raspi-config
$ sudo raspi-config #Ejecutar raspi-config
```

**Código 10.3:** Comandos *bash* para instalar y acceder a *raspi-config*.

Una vez abierta la configuración desde terminal, Ilustración 73, utilizando el teclado seleccionar la tercera opción de *Interface Options* y seleccionar *Serial* e *I2C*.

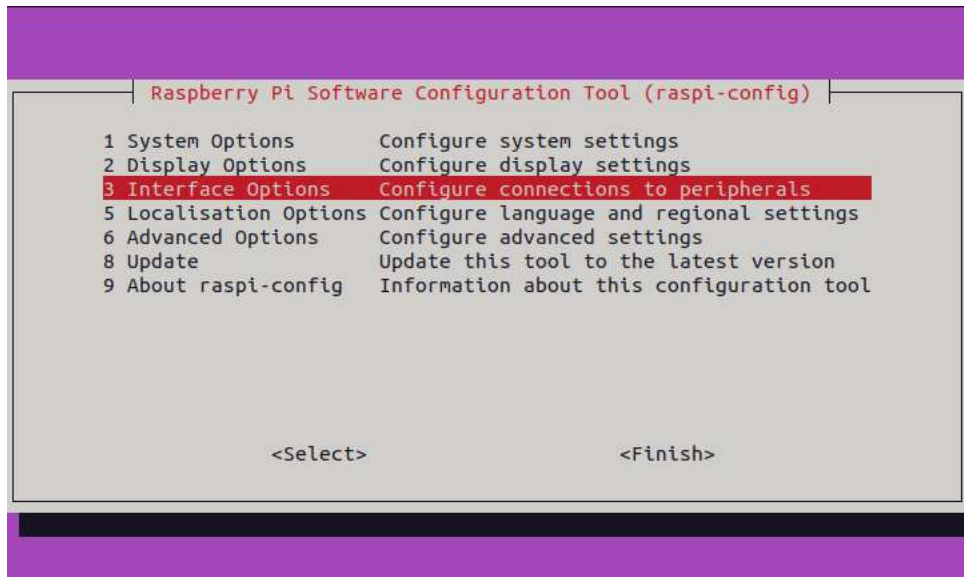
Al seleccionar *Serial* salen dos preguntas: la primera para acceder a un intérprete de comandos de inicio de sesión a través del puerto serie, y hay que responder "no", mientras que a la segunda, para habilitar el *hardware* del puerto serie hay que responder "sí".

Al seleccionar *I2C* una única pregunta aparecerá, a la que hay que contestar "sí" para activar la comunicación *I2C*.

Por último, es necesario reiniciar la *Raspberry Pi*:

```
$ sudo shutdown -r now
```

**Código 10.4:** Comando *bash* para reiniciar la *Raspberry Pi*.



**Ilustración 73:** Herramienta *raspi-config*.

## I.5. Establecer las reglas *udev*

Las reglas *udev* [102] en *Ubuntu* son archivos de configuración que permiten definir cómo debe actuar el sistema operativo cuando se conecta, desconecta o cambia el estado de un periférico. Estas reglas se encuentran normalmente en el directorio */etc/udev/rules.d/* y pueden usarse para asignar nombres fijos a dispositivos, cambiar permisos, crear enlaces simbólicos o ejecutar programas automáticamente al detectar un evento relacionado con el *hardware*.

En este proyecto se utilizan para crear un enlace simbólico a los dispositivos serie e *I2C*.

Para los dispositivos serie:

```
$ sudo nano /etc/udev/rules.d/90-serial.rules #Crear la regla en un  
fichero
```

**Código 10.5:** Comando *bash* para crear la regla *udev* del puerto serie.

```
#Regla para el puerto serie

KERNEL=="ttyS0", SYMLINK+="serial0" GROUP="tty" MODE="0660"
KERNEL=="ttyAMA0", SYMLINK+="serial1" GROUP="tty" MODE="0660"

#KERNEL referencia al puerto.
#SYMLINK define el nombre simbólico con el que se conocerá al puerto
#GROUP="tty" referencia al grupo que tiene permisos sobre el bus
#MODE="0660" indica los permisos que tiene el grupo. Este modo otorga
permisos de lectura y escritura al propietario y pertenecientes
al grupo (rw-). Cualquier otro usuario no tiene acceso.
```

**Código 10.6:** Regla *udev* del puerto serie.

Para los dispositivos *I2C*:

```
$ sudo nano /etc/udev/rules.d/60-i2c-tools.rules #Crear la regla en
un fichero
```

**Código 10.7:** Comando *bash* para crear la regla *udev* del puerto *I2C*.

```
#Regla para el puerto I2C

KERNEL=="i2c-0"      , GROUP="i2c" , MODE="0660"
KERNEL=="i2c-[1-9]*" , GROUP="i2c" , MODE="0666"

#KERNEL=="i2c-0" referencia al primer bus I2C
#GROUP="i2c" referencia al grupo que tiene permisos sobre el bus
#MODE="0660" indica los permisos que tiene el grupo. Este modo otorga
permisos de lectura y escritura al propietario y pertenecientes
al grupo (rw-). Cualquier otro usuario no tiene acceso.
```

**Código 10.8:** Regla *udev* del puerto *I2C*.

Por último, hay que añadir el usuario a los grupos definidos en las reglas y a los correspondientes para poder acceder a los puertos necesarios. Es necesario reiniciar el equipo para que los cambios surtan efecto.

```
$ sudo adduser $USER tty #Permiso para controlar y acceder a
terminales y consolas del sistema

$ sudo adduser $USER dialout #Permiso para acceder a dispositivos de
puerto serie

$ sudo adduser $USER i2c #Permiso para acceder al bus i2c
```

**Código 10.9:** Comando *bash* para añadir el usuario a los grupos con permisos en los puertos serie e *I2C*.

## I.6. Modificar el fichero `~/.bashrc`

Por motivos de comodidad es recomendable incluir en el fichero `~/.bashrc` las siguientes dos líneas:

```
source /opt/ros/humble/setup.bash
source ~/bilbotiks_ws/install/setup.bash
```

**Código 10.10:** Activar automáticamente el espacio de trabajo de *ROS2*.

Estas dos líneas activan nuestro espacio de trabajo y los comandos de *ROS2*.

Durante el proyecto se ha trabajado en la ruta `/bilbotiks_ws/install/setup.bash`. En caso de no incluir estas sentencias en dicho fichero, tendrán que ser ejecutadas cada vez que se abra una terminal.

## I.7. Firmware de Roboclaw

El *firmware* es un tipo de *software* especializado que está integrado directamente en el *hardware* de un dispositivo electrónico y se encarga de controlar su funcionamiento básico. Actúa como una capa intermedia entre el *hardware* y el *software* de más alto nivel, en el caso de este proyecto, permite interactuar con los dispositivos mediante *Python* proporcionando las instrucciones esenciales.

El *firmware* suele estar almacenado en memorias no volátiles, ya que sin él no hay posibilidad de programar el dispositivo desde alto nivel.

Se ha trabajado con la versión 4.28 de los controladores *Roboclaw* de las ruedas. Se puede actualizar o bajar la versión de estos dispositivos mediante el programa *Basicmicro Motion Studio 1.75 Legacy Version* [103] del fabricante.

## I.8. Librerías *software* utilizadas

En todo proyecto que conlleve desarrollo de *software* es habitual emplear librerías creadas bien por los fabricantes o bien por otros desarrolladores.

En esta sección se listan las librerías necesarias para el desarrollo del proyecto. Al final de esta sección se proporciona una tabla con la versión de cada librería.

Entre las más relevantes se encuentra *rclpy* [104], que forma parte de la instalación completa de *ROS2 Humble Hawksbill* [62] y permite crear nodos *ROS2* en *Python* para la comunicación y control de los distintos módulos del robot.

Para la gestión de *hardware* específico, se han empleado las librerías *board* [105] y *adafruit\_bno055* [106] para la *IMU*, *adafruit\_servokit* [107] para el control de los servomotores, *roboclaw* [108] para los motores de las ruedas e *ydlidar* junto con su *SDK* [78] correspondiente para el *LiDAR*.

En cuanto a visión artificial, procesamiento de imágenes y aprendizaje automático, se utilizan *cv2* de *OpenCV* [109], *cv\_bridge* [110] para convertir imágenes entre *ROS2* y

*tensorflow* [111].

Para cálculos matemáticos y manipulación de datos, se emplean *numpy* [112] y librerías estándar [113] como *math*, *random*, *csv*, *time* y *datetime*.

Para la comunicación serie y el manejo de datos binarios se utilizan las librerías estándar *serial* y *struct*.

Estas librerías, junto con *setuptools* [114] para la gestión de paquetes *Python*, constituyen el entorno necesario para el desarrollo y despliegue del *software* del robot.

Por último, es fundamental indicar que debido a la arquitectura *ARM* de la *Raspberry Pi* es necesario utilizar versiones específicas de las librerías optimizadas para dicha arquitectura. En la Tabla 73 se recogen las versiones utilizadas tanto en el ordenador para realizar simulaciones, como en la *Raspberry Pi* (Versión en *ARM*).

Librería	Versión en x64	Versión en ARM
<i>numpy</i>	2.2.3	1.21.5
<i>opencv_python (cv2)</i>		4.11.0.86
<i>cv_bridge</i>		1.13.0.post0
<i>tensorflow</i>	2.19.0	2.19.0
<i>rclpy</i>		<i>ROS2 Humble Hawksbill</i>
<i>board (Adafruit-Blinka)</i>		8.51.0
<i>adafruit_bno055</i>		5.4.18
<i>adafruit_servokit</i>		1.3.19
<i>roboclaw</i>		Única
<i>ydlidar</i>		1.2.4
<i>math</i>		Python 3.10.12
<i>struct</i>		Python 3.10.12
<i>random</i>		Python 3.10.12
<i>csv</i>		Python 3.10.12
<i>time</i>		Python 3.10.12
<i>datetime</i>		Python 3.10.12
<i>serial</i>		3.5
<i>setuptools</i>		59.6.0

**Tabla 73:** Librerías utilizadas y versiones.

# Anexo II: Código

En este anexo se incluye el código *software* del TFG:

II.1. Fichero <i>.yaml</i> de parámetros del proyecto . . . . .	155
II.2. Servidor y respuesta del servicio para sacar una foto . . . . .	156
II.3. Cliente y solicitud del servicio para sacar una foto . . . . .	157
II.4. Desarrollo del modelo <i>CNN</i> . . . . .	158
II.5. Comprobación del funcionamiento del <i>LiDAR</i> . . . . .	169
II.6. Generar los gráficos de la señal de control en <i>MATLAB</i> . . . . .	170
II.7. Nodos . . . . .	171
II.8. Interfaces gráficas . . . . .	196
II.9. Gemelo digital y simulación . . . . .	206

## II.1. Fichero *.yaml* de parámetros del proyecto

```
1 motor_kontrolatzairea:
2   ros__parameters:
3     baud_rate: 115200
4     motorren_helbideak: [128, 129, 130]
5
6 servo_kontrolatzairea:
7   ros__parameters:
8     actuation_range: 300
9     pulse_width_range: [500, 2500]
10
11 pertzepzio_proba_wrapper:
12   ros__parameters:
13     servoak_360: [90, 65, 105, 65]
14     cnn_modelua: "/home/bilbotiks/moverRover/bilbotiks_ws/install/bilbotiks_controller/
15       share/bilbotiks_controller/config//modelo_100epochs.keras"
16     abiadura_azkar: 30
17     abiadura_motel: 13
18
19 kontrol_proba_wrapper:
20   ros__parameters:
21     kp: 100.0
22     ki: 0.0
23     kd: 25.0
24     vel: 30
25     izena: "nombreFicheroGuardadoDatos"
26     esquina: [-90.0, -67.5]
27     ezkerra: [157.5, 180.0]
     aurrera: [-180.0, -90.0]
```

**Código 10.11:** Contenido del fichero *.yaml* de parámetros del proyecto.

## II.2. Servidor y respuesta del servicio para sacar una foto

```
1 # Servidor del SERVICE /argazkia_atera en el nodo KAMERA
2 self.srv_argazkia_atera = self.create_service(Argazkia, 'argazkia_atera', self.
    argazkia_atera)
```

**Código 10.12:** Implementación del servidor del servicio para sacar una foto.

```
1 def argazkia_atera(self, request, response):
2     self.get_logger().info("'argazkia_atera' zerbitzua deitu da")
3
4     # Abrir el puerto de la cámara
5     self.cap_irudia = cv2.VideoCapture(self.port_irudia)
6     if not self.cap_irudia.isOpened():
7         self.get_logger().error(f"Ezin izan da kamera ireki (VideoCapture {self.
        port_irudia})")
8
9     # Leer el valor del sensor de la cámara y cerrar la captura
10    ret_color, frame_color = self.cap_irudia.read()
11    self.cap_irudia.release()
12
13    # ¿Lectura correcta?
14    if ret_color:
15        try:
16            # Convertir foto de OpenCV BGR8 a sensor_msgs/Image de ROS2 y añadir marca
17            # temporal
18            Ateratako irudia (OpenCV-ren BGR) ROS mezu bihurtzea
19            img_msg = self.bridge.cv2_to_imgmsg(frame_color, encoding="bgr8")
20            img_msg.header.stamp = self.get_clock().now().to_msg()
21
22            # Añadir mensaje a la respuesta
23            response.image = img_msg
24            self.get_logger().info("Argazkia atera da.")
25        except CvBridgeError as e:
26            self.get_logger().error(f"Errorea argazkia ROS2 kodifikatzean {str(e)}")
27        else:
28            self.get_logger().error(f"Errorea argazkia ateratzerakoan (VideoCapture {self.
        port_irudia})")
29
30    # Liberar recursos
31    self.cap_irudia = None
32
33    # Enviar respuesta
34    return response
```

**Código 10.13:** Implementación de la función de respuesta del servidor del servicio para sacar una foto.

## II.3. Cliente y solicitud del servicio para sacar una foto

```
1 # Solicitud del SERVICE /argazkia_atera en el nodo PERTZEPZIO_PROBA_WRAPPER
2
3 # Crear el mensaje de solicitud
4 request_argazkia = Argazkia.Request()
5
6 # Llamar al servicio
7 future = self.argazkia_bezeroa.call_async(request_argazkia)
8
9 # Esperar hasta recibir respuesta
10 rclpy.spin_until_future_complete(self, future)
11
12 # Guardar la respuesta
13 argazkia = future.result()
14
15 # Convertir sensor_msgs/Image a OpenCV
16 cv_image = self.bridge.imgmsg_to_cv2(argazkia.image, desired_encoding="bgr8")
```

**Código 10.14:** Solicitud del servicio desde el nodo *pertzepzio\_proba\_wrapper* para sacar una foto.

## II.4. Desarrollo del modelo CNN

### Implementación de la primera restricción geométrica (7.4.2.4)

```
1 # Función para hacer zum centrado
2 def zoom_center(self, imagen, escala):
3     altura, ancho = imagen.shape[:2]
4     nuevo_ancho = int(ancho * escala)
5     nueva_altura = int(altura * escala)
6     inicio_x = (ancho - nuevo_ancho) // 2
7     inicio_y = (altura - nueva_altura) // 2
8     centro_crop = imagen[inicio_y:inicio_y + nueva_altura, inicio_x:inicio_x +
9     nuevo_ancho]
10    zoomed = cv2.resize(centro_crop, (ancho, altura), interpolation=cv2.INTER_LINEAR)
11    return zoomed
12
13 # Aplicar un zum centrado del 57%
14 zoom_frame = self.zoom_center(frame, escala=0.57)
15
16 # Recorte del 30% inferior
17 altura_zoom = zoom_frame.shape[0] # Obtener tamaño vertical
18 recorte_vertical = zoom_frame[:int(altura_zoom * 0.70), :] # Guardar 70% superior
19
20 # Recorte del 20% lateral (por ambos lados)
21 ancho_recorte = recorte_vertical.shape[1] # Obtener tamaño horizontal
22 izquierda = int(ancho_recorte * 0.20) # Obtener límite lateral izquierdo
23 derecha = int(ancho_recorte * 0.80) # Obtener límite lateral derecho
24 final_frame = recorte_vertical[:, izquierda:derecha] # Guardar el 60% central.
```

Código 10.15: Implementación de la primera restricción geométrica.

### Implementación de la segunda restricción geométrica (7.4.2.4)

```
1 # Por cada contorno azul detectado
2 for contour in blue_contours:
3
4     # Obtener coordenadas y píxeles de la imagen
5     x, y, w, h = cv2.boundingRect(contour)
6
7     # Si cumple la restricción --> es caja válida
8     if 150 <= w <= 300 and 200 <= h <= 350:
9         color_detected = "Azul"
10        ...
11
12 # Por cada contorno rojo detectado
13 for contour in red_contours:
14
15     # Obtener coordenadas y píxeles de la imagen
16     x, y, w, h = cv2.boundingRect(contour)
17
18     # Si cumple la restricción --> es caja válida
19     if 150 <= w <= 300 and 200 <= h <= 350:
20         color_detected = "Rojo"
21         ...
```

Código 10.16: Implementación de la segunda restricción geométrica.

## HSV y máscaras con OpenCV

```
1 # Convertir de BGR a HSV
2 final_hsv = cv2.cvtColor(final_frame, cv2.COLOR_BGR2HSV)
3
4 # Definir umbrales
5 blue_lower_bound = np.array([80, 50, 50])
6 blue_upper_bound = np.array([130, 255, 255])
7 red_lower_bound1 = np.array([0, 100, 100])
8 red_upper_bound1 = np.array([10, 255, 255])
9 red_lower_bound2 = np.array([160, 100, 100])
10 red_upper_bound2 = np.array([180, 255, 255])
11
12 # Definir máscaras
13 blue_mask = cv2.inRange(final_hsv, blue_lower_bound, blue_upper_bound)
14 red_mask1 = cv2.inRange(final_hsv, red_lower_bound1, red_upper_bound1)
15 red_mask2 = cv2.inRange(final_hsv, red_lower_bound2, red_upper_bound2)
16 red_mask = cv2.bitwise_or(red_mask1, red_mask2)
17
18 # Aplicar máscaras
19 blue_contours, _ = cv2.findContours(blue_mask.copy(), cv2.RETR_EXTERNAL, cv2.
20     CHAIN_APPROX_SIMPLE)
20 red_contours, _ = cv2.findContours(red_mask.copy(), cv2.RETR_EXTERNAL, cv2.
21     CHAIN_APPROX_SIMPLE)
21
22 # Por cada contorno azul detectado
23 for contour in blue_contours:
24     x, y, w, h = cv2.boundingRect(contour)
25     if 150 <= w <= 300 and 200 <= h <= 350:
26         color_detected = "Azul"
27
28     # Dibujar borde
29     cv2.rectangle(frame, (x, y), (x + w, y + h), (255, 0, 0), 3)
30     ...
31
32 # Por cada contorno rojo detectado
33 for contour in red_contours:
34     x, y, w, h = cv2.boundingRect(contour)
35     if 150 <= w <= 300 and 200 <= h <= 350:
36         color_detected = "Rojo"
37
38     # Dibujar borde
39     cv2.rectangle(frame, (x, y), (x + w, y + h), (0, 0, 255), 3)
40     ...
```

**Código 10.17:** Implementación y aplicación del modelo de color HSV y las máscaras con OpenCV.

## Captura de imágenes para crear el dataset

```

1 import cv2
2 import numpy as np
3 import os
4
5 cap = cv2.VideoCapture(2)
6
7 # Modificar para guardar automáticamente las imágenes en la carpeta y ruta
8 # correspondiente
9 numero = "8"
10 if not os.path.exists(f'data/{numero}'):
11     os.makedirs(f'data/{numero}')
12 # Función para guardar la imagen, dadas las coordenadas de los píxeles a guardar (no se
13 # guarda toda la imagen)
14 def save_region(image, x, y, w, h, color, count):
15     region = image[y:y+h, x:x+w]
16     filename = f"data/{numero}/{color}_{count}.png"
17     cv2.imwrite(filename, region)
18
19 red_count = 0
20 while True:
21     success, frame = cap.read()
22     if success:
23         # Voltear la imagen capturada
24         frame = cv2.flip(frame, 1)
25
26         # Obtener HSV
27         frame_hsv = cv2.cvtColor(frame, cv2.COLOR_BGR2HSV)
28
29         # Umbrales del color rojo para detección HSV
30         red_lower_bound1 = np.array([0, 100, 100])
31         red_upper_bound1 = np.array([10, 255, 255])
32         red_lower_bound2 = np.array([160, 100, 100])
33         red_upper_bound2 = np.array([180, 255, 255])
34
35         # Máscara del color rojo
36         red_mask1 = cv2.inRange(frame_hsv, red_lower_bound1, red_upper_bound1)
37         red_mask2 = cv2.inRange(frame_hsv, red_lower_bound2, red_upper_bound2)
38         red_mask = cv2.bitwise_or(red_mask1, red_mask2)
39
40         # Aplicar máscara
41         red_contours, _ = cv2.findContours(red_mask, cv2.RETR_EXTERNAL, cv2.
42         CHAIN_APPROX_SIMPLE)
43
44         detected = False
45         color_detected = "Color distractorio"
46         # Por cada contorno rojo detectado
47         for contour in red_contours:
48             x, y, w, h = cv2.boundingRect(contour)
49             if 50 <= w <= 500 and 100 <= h <= 600:
50                 # Dibujar rectángulo
51                 cv2.rectangle(frame, (x, y), (x + w, y + h), (0, 0, 255), 3)
52                 detected = True
53                 color_detected = "Rojo"
54
55                 # Guardar región generada
56                 save_region(frame, x, y, w, h, 'rojo', red_count)
57                 red_count += 1
58                 cv2.putText(frame, color_detected, (10, 30), cv2.FONT_HERSHEY_SIMPLEX, 1, (255,
59                 255, 255), 2, cv2.LINE_AA)
60                 cv2.imshow('Webcam', frame)
61                 if cv2.waitKey(1) & 0xFF == ord('q'):
62                     break
63         cap.release()
64         cv2.destroyAllWindows()

```

**Código 10.18:** Capturar imágenes para crear el dataset.

## Aplicación del algoritmo de Canny para la detección de bordes en el dataset

```

1 import cv2
2 import os
3
4 # Directorios
5 input_dir = "data_cleaned"
6 output_dir = "data_canny"
7
8 # Función para recortar por todos los lados
9 def recortar_imagen(imagen, porcentaje_recorte=0.20):
10     altura, ancho = imagen.shape[:2]
11     recorte_vertical = int(altura * porcentaje_recorte)
12     recorte_horizontal = int(ancho * porcentaje_recorte)
13     return imagen[recorte_vertical:altura - recorte_vertical, recorte_horizontal:ancho
14 - recorte_horizontal]
15
16 # Crear el directorio de salida si no existe
17 if not os.path.exists(output_dir):
18     os.makedirs(output_dir)
19
20 # Recorrer el árbol de directorios y archivos
21 for root, dirs, files in os.walk(input_dir):
22     for file in files:
23         if file.endswith(('.png', '.jpg', '.jpeg', '.bmp', '.tiff')):
24             # Ruta completa del archivo de entrada
25             input_path = os.path.join(root, file)
26
27             # Leer la imagen
28             img = cv2.imread(input_path, 0) # Leer en escala de grises
29
30             if img is None:
31                 print(f"Error: No se pudo leer la imagen {input_path}")
32                 continue
33
34             # Aplicar flip horizontal
35             img = cv2.flip(img, 1)
36
37             # Recortar la imagen
38             img = recortar_imagen(img)
39
40             # Aplicar detección de bordes con Canny
41             canny = cv2.Canny(img, 20, 110)
42
43             # Engrosar los contornos usando dilatación
44             kernel = cv2.getStructuringElement(cv2.MORPH_RECT, (3, 3)) # Tamaño del
45             kernel
46             thickened_canny = cv2.dilate(canny, kernel, iterations=1) # Aumentar
47             iteraciones para engrosar más
48
49             # Crear la estructura de carpetas en el directorio de salida
50             relative_path = os.path.relpath(root, input_dir) # Ruta relativa dentro
51             del directorio de entrada
52             output_subdir = os.path.join(output_dir, relative_path)
53             if not os.path.exists(output_subdir):
54                 os.makedirs(output_subdir)
55
56             # Ruta completa del archivo de salida
57             output_path = os.path.join(output_subdir, file)
58
59             # Guardar la imagen procesada
60             cv2.imwrite(output_path, thickened_canny)
61             print(f"Imagen procesada y guardada en: {output_path}")

```

**Código 10.19:** Aplicación del algoritmo Canny al dataset generado.

## Generación de imágenes sintéticas

```

1 import cv2
2 import numpy as np
3 import os
4 import random
5 from PIL import ImageFont, ImageDraw, Image
6
7 # Ruta a la fuente TrebuchetMS Bold (modificar según la ubicación real)
8 fuente_path = "TrebuchetMS-Bold.ttf"
9
10 # Crear carpetas para almacenar los dígitos
11 def crear_carpetas(base_dir="digitos_trebuchet"):
12     if not os.path.exists(base_dir):
13         os.makedirs(base_dir)
14     for dígito in range(1, 10):
15         carpeta = os.path.join(base_dir, str(dígito))
16         os.makedirs(carpeta, exist_ok=True)
17
18 # Generar ruido en el fondo del cuadrado
19 def añadir_ruido_al_fondo(imagen, color_cuadrado):
20     # Crear una máscara donde el color coincide con el color del cuadrado
21     mask = (imagen[:, :, 0] == color_cuadrado[0]) & \
22             (imagen[:, :, 1] == color_cuadrado[1]) & \
23             (imagen[:, :, 2] == color_cuadrado[2])
24
25     # Generar ruido aleatorio de baja intensidad
26     ruido = np.random.randint(0, 50, imagen.shape, dtype=np.uint8)
27
28     # Copiar la imagen original para no modificarla directamente
29     imagen_con_ruido = imagen.copy()
30
31     # Añadir el ruido sólo en las zonas fuera del cuadrado
32     imagen_con_ruido[~mask] = cv2.add(imagen[~mask], ruido[~mask])
33     return imagen_con_ruido
34
35 # Dibujar un cuadrado de color con un número blanco usando TrebuchetMS Bold
36 def dibujar_cuadrado_con_numero(color_cuadrado, dígito, fuente_path):
37     # Crear una imagen negra de 250x250 píxeles y 3 canales de 8 bits cada uno
38     imagen = np.zeros((250, 250, 3), dtype=np.uint8)
39
40     # Dibujar un cuadrado lleno con el color especificado
41     cv2.rectangle(imagen, (25, 25), (210, 210), color_cuadrado, -1)
42
43     # Dibujar el texto con la fuente deseada
44     texto = str(dígito)
45     font = ImageFont.truetype(fuente_path, 100)
46     img_pil = Image.fromarray(imagen)
47     draw = ImageDraw.Draw(img_pil)
48
49     # Calcula el tamaño del texto para centrararlo
50     bbox = font.getbbox(texto)
51     texto_ancho, texto_alto = bbox[2] - bbox[0], bbox[3] - bbox[1]
52     texto_x = 25 + (210 - 25 - texto_ancho) // 2
53     texto_y = 25 + (210 - 25 - texto_alto) // 2
54
55     # Con cierta probabilidad, aplica un pequeño desplazamiento aleatorio al texto
56     if random.random() > 0.7:
57         offset_x = random.randint(-10, 10)
58         offset_y = random.randint(-10, 10)
59         texto_x = max(0, texto_x + offset_x)
60         texto_y = max(texto_alto, texto_y + offset_y)
61
62     # Dibujar el texto blanco sobre el cuadrado de color
63     draw.text((texto_x, texto_y), texto, font=font, fill=(255, 255, 255, 0))
64
65     # Convertir la imagen de vuelta a formato NumPy
66     imagen = np.array(img_pil)
67     return imagen
68

```

```
69 # Escalar imagen a un tamaño aleatorio para generar variaciones y centrarla en un
70 # lienzo de 250x250
71 def escalar_imagen(imagen, tamaño_min=63, tamaño_max=250):
72     nuevo_tamaño = random.randint(tamaño_min, tamaño_max)
73     imagen_escalada = cv2.resize(imagen, (nuevo_tamaño, nuevo_tamaño), interpolation=
74         cv2.INTER_LINEAR)
75
76 # Crear un lienzo negro de 250x250
77 lienzo = np.zeros((250, 250, 3), dtype=np.uint8)
78 y_offset = (250 - nuevo_tamaño) // 2
79 x_offset = (250 - nuevo_tamaño) // 2
80
81 # Colocar la imagen escalada en el centro del lienzo
82 lienzo[y_offset:y_offset + nuevo_tamaño, x_offset:x_offset + nuevo_tamaño] =
83     imagen_escalada
84 return lienzo
85
86 # Añadir bordes detectados por Canny fuera del cuadrado de color
87 def añadir_bordes_canny_fuera(imagen, color_cuadrado):
88     mask = (imagen[:, :, 0] == color_cuadrado[0]) & \
89             (imagen[:, :, 1] == color_cuadrado[1]) & \
90             (imagen[:, :, 2] == color_cuadrado[2])
91     imagen_grises = cv2.cvtColor(imagen, cv2.COLOR_BGR2GRAY)
92     bordes = cv2.Canny(imagen_grises, 50, 150)
93     imagen_resultante = imagen.copy()
94     imagen_resultante[~mask] = cv2.add(imagen[~mask], cv2.merge([bordes, bordes, bordes
95     ])[~mask])
96     return imagen_resultante
97
98 # Aplicar una transformación de perspectiva aleatoria a la imagen
99 def aplicar_perspectiva(imagen):
100     # Obtener las dimensiones de la imagen
101     filas, columnas = imagen.shape[:2]
102
103     # Definir los puntos originales de las esquinas
104     puntos_originales = np.float32([
105         [0, 0], [columnas, 0], [0, filas], [columnas, filas]
106     ])
107
108     # Definir el margen máximo de desplazamiento para las esquinas
109     margen = 40
110
111     # Calcula nuevos puntos de destino aleatorios para la transformación
112     puntos_transformados = np.float32([
113         [random.randint(0, margen), random.randint(0, margen)],
114         [columnas - random.randint(0, margen), random.randint(0, margen)],
115         [random.randint(0, margen), filas - random.randint(0, margen)],
116         [columnas - random.randint(0, margen), filas - random.randint(0, margen)]
117     ])
118
119     # Calcula la matriz de transformación de perspectiva
120     matriz_perspectiva = cv2.getPerspectiveTransform(puntos_originales,
121         puntos_transformados)
122
123     # Aplica la transformación a la imagen
124     imagen_perspectiva = cv2.warpPerspective(imagen, matriz_perspectiva, (columnas,
125         filas))
126     return imagen_perspectiva
127
128 # Recortar los bordes de la imagen
129 def recortar_imagen(imagen, porcentaje_recorte=0.20):
130     altura, ancho = imagen.shape[:2]
131     recorte_vertical = int(altura * porcentaje_recorte)
132     recorte_horizontal = int(ancho * porcentaje_recorte)
133     return imagen[recorte_vertical:altura - recorte_vertical, recorte_horizontal:ancho
134     - recorte_horizontal]
135
136 # Generar las imágenes
137 def generar_imagenes(base_dir="digitos_trebuchet", num_imagenes_por_fuente=50):
138     colores = [(255, 0, 0), (0, 0, 255)]
```

```
132 for dígito in range(1, 10):
133     for i in range(num_imágenes_por_fuente):
134         color_cuadrado = random.choice(colores)
135         imagen = dibujar_cuadrado_con_numero(color_cuadrado, dígito, fuente_path)
136         imagen_con_bordes = añadir_bordes_canny_fuera(imagen, color_cuadrado)
137         imagen_grises = cv2.cvtColor(imagen_con_bordes, cv2.COLOR_BGR2GRAY)
138         imagen_canny = cv2.Canny(imagen_grises, 100, 200)
139         imagen_recortada = recortar_imagen(imagen_canny)
140         guardar_imagen(imagen_recortada, base_dir, dígito, i, perspectiva=False)
141         imagen_con_perspectiva = aplicar_perspectiva(imagen_con_bordes)
142         imagen_grises_perspectiva = cv2.cvtColor(imagen_con_perspectiva, cv2.
143 COLOR_BGR2GRAY)
144         imagen_canny_perspectiva = cv2.Canny(imagen_grises_perspectiva, 100, 200)
145         imagen_recortada_perspectiva = recortar_imagen(imagen_canny_perspectiva)
146         guardar_imagen(imagen_recortada_perspectiva, base_dir, dígito, i,
147 perspectiva=True)
148 # Guardar la imagen en un fichero
149 def guardar_imagen(imagen, base_dir, dígito, indice, perspectiva):
150     sufijo = "_perspectiva" if perspectiva else "_sin_perspectiva"
151     carpeta = os.path.join(base_dir, str(dígito))
152     os.makedirs(carpeta, exist_ok=True)
153     nombre_archivo = f"{dígito}_{indice}{sufijo}.png"
154     cv2.imwrite(os.path.join(carpeta, nombre_archivo), imagen)
155
156 crear_carpetas()
157 generar_imágenes()
158 print("Conjunto de datos generado con éxito.")
```

**Código 10.20:** Generación de imágenes sintéticas.

## División del conjunto de datos en los tres subconjuntos

```

1 import os
2 import shutil
3 import numpy as np
4
5 # Directorios de entrada y salida
6 input_dir = "drive/My Drive/bilbotiks/canny/DATA/sinSeparar"
7 train_output_dir = "drive/My Drive/bilbotiks/canny/DATA/train"
8 validation_output_dir = "drive/My Drive/bilbotiks/canny/DATA/validation"
9 test_output_dir = "drive/My Drive/bilbotiks/canny/DATA/test"
10
11 for dir in [train_output_dir, validation_output_dir, test_output_dir]:
12     if not os.path.exists(dir):
13         os.makedirs(dir)
14
15 # Proporciones para dividir los datos
16 train_ratio = 0.7
17 validation_ratio = 0.15
18 test_ratio = 0.15
19
20 # Recorrer el árbol de directorios y archivos
21 for class_name in os.listdir(input_dir):
22     class_path = os.path.join(input_dir, class_name)
23     if os.path.isdir(class_path):
24         # Crear subcarpetas en los directorios de salida para cada clase
25         train_class_dir = os.path.join(train_output_dir, class_name)
26         validation_class_dir = os.path.join(validation_output_dir, class_name)
27         test_class_dir = os.path.join(test_output_dir, class_name)
28
29         for dir in [train_class_dir, validation_class_dir, test_class_dir]:
30             if not os.path.exists(dir):
31                 os.makedirs(dir)
32
33     # Obtener todos los archivos de la clase actual
34     files = [file for file in os.listdir(class_path) if file.endswith('.png', '.jpg', '.jpeg', '.bmp', '.tiff')]
35
36     # Mezclar archivos de forma aleatoria
37     np.random.shuffle(files)
38
39     # Calcular el número de archivos para cada conjunto
40     total_files = len(files)
41     train_count = int(total_files * train_ratio)
42     validation_count = int(total_files * validation_ratio)
43     test_count = total_files - train_count - validation_count
44
45     # Dividir los archivos en train, validation y test
46     train_files = files[:train_count]
47     validation_files = files[train_count:train_count + validation_count]
48     test_files = files[train_count + validation_count:]
49
50     # Copiar archivos a las carpetas correspondientes
51     for file in train_files:
52         shutil.copy(os.path.join(class_path, file), os.path.join(train_class_dir, file))
53         for file in validation_files:
54             shutil.copy(os.path.join(class_path, file), os.path.join(
55                 validation_class_dir, file))
56             for file in test_files:
57                 shutil.copy(os.path.join(class_path, file), os.path.join(test_class_dir, file))
58
59 print("Archivos divididos en train, validation y test, manteniendo las clases.")

```

Código 10.21: División del dataset en train, val y test.

## Arquitectura y entrenamiento del modelo CNN

```

1 # Definir las rutas a tus carpetas de datos
2 train_dir = "drive/My Drive/bilbotiks/canny/DATA/train"
3 validation_dir = "drive/My Drive/bilbotiks/canny/DATA/validation"
4 test_dir = "drive/My Drive/bilbotiks/canny/DATA/test"
5
6 # Definir el tamaño de las imágenes y la normalización
7 img_size = (64, 64)
8 batch_size = 64
9
10 # Creación de generadores de datos
11 train_datagen = ImageDataGenerator(
12     rescale=1./255,
13     rotation_range=20,
14     width_shift_range=0.2,
15     height_shift_range=0.2,
16     shear_range=0.2,
17     zoom_range=0.2,
18     horizontal_flip=False,
19     fill_mode='nearest'
20 )
21
22 validation_datagen = ImageDataGenerator(
23     rescale=1./255,
24     rotation_range=20,
25     width_shift_range=0.2,
26     height_shift_range=0.2,
27     shear_range=0.2,
28     zoom_range=0.2,
29     horizontal_flip=False,
30     fill_mode='nearest'
31 )
32
33 test_datagen = ImageDataGenerator(
34     rescale=1./255,
35     rotation_range=20,
36     width_shift_range=0.2,
37     height_shift_range=0.2,
38     shear_range=0.2,
39     zoom_range=0.2,
40     horizontal_flip=False,
41     fill_mode='nearest'
42 )
43
44 # Generadores de datos para entrenamiento, validación y prueba
45 train_generator = train_datagen.flow_from_directory(
46     train_dir,
47     target_size=img_size,
48     batch_size=batch_size,
49     class_mode='categorical'
50 )
51
52 validation_generator = validation_datagen.flow_from_directory(
53     validation_dir,
54     target_size=img_size,
55     batch_size=batch_size,
56     class_mode='categorical'
57 )
58
59 test_generator = test_datagen.flow_from_directory(
60     test_dir,
61     target_size=img_size,
62     batch_size=batch_size,
63     class_mode='categorical'
64 )
65
66 model = Sequential()
67
68 # Capa Convolucional 1

```

```
69 model.add(Conv2D(32, (3, 3), activation='relu', input_shape=(64, 64, 3)))
70 model.add(BatchNormalization())
71 model.add(MaxPooling2D(pool_size=(2, 2)))
72 model.add(Dropout(0.3)) # Ajustado a 0.3
73
74 # Capa Convolucional 2
75 model.add(Conv2D(64, (3, 3), activation='relu'))
76 model.add(BatchNormalization())
77 model.add(MaxPooling2D(pool_size=(2, 2)))
78 model.add(Dropout(0.3)) # Ajustado a 0.3
79
80 # Capa Convolucional 3
81 model.add(Conv2D(128, (3, 3), activation='relu'))
82 model.add(BatchNormalization())
83 model.add(MaxPooling2D(pool_size=(2, 2)))
84 model.add(Dropout(0.3)) # Ajustado a 0.3
85
86 # Aplanar las características extraídas
87 model.add(Flatten())
88
89 # Capa Densa con L2 Regularization
90 model.add(Dense(128, activation='relu', kernel_regularizer='l2'))
91 model.add(Dropout(0.3)) # Ajustado a 0.3
92
93 # Capa Densa con L2 Regularization
94 model.add(Dense(64, activation='relu', kernel_regularizer='l2'))
95 model.add(Dropout(0.3)) # Ajustado a 0.3
96
97 # Capa de salida para 9 clases
98 model.add(Dense(10, activation='softmax'))
99
100 # Compilación del modelo
101 model.compile(
102     optimizer=Adam(learning_rate=0.001),
103     loss='categorical_crossentropy',
104     metrics=['accuracy']
105 )
106
107 # Callbacks
108 reduce_lr = ReduceLROnPlateau(monitor='val_loss', factor=0.2, patience=5, min_lr
109 =0.0001)
110 early_stopping = EarlyStopping(monitor='val_loss', patience=10, restore_best_weights=
111 True)
112 model_checkpoint = ModelCheckpoint("drive/My Drive/bilbotiks/canny/model_0.3.keras",
113 monitor='val_loss', save_best_only=True)
114
115 # Entrenamiento del modelo
116 history = model.fit(
117     train_generator,
118     epochs=100,
119     validation_data=validation_generator,
120     callbacks=[reduce_lr, early_stopping, model_checkpoint]
121 )
122
```

**Código 10.22:** Codificación de la arquitectura y del entrenamiento del modelo *CNN* generado.

## Generar los gráficos de las métricas del modelo CNN en MATLAB

```

1 % Este script carga el archivo metrics.csv y grafica las métricas de entrenamiento.
2 % Las columnas del CSV deben ser: % epoch, accuracy, loss, val_accuracy, val_loss
3 %% Cargar datos
4 metrics = readtable('/MATLAB Drive/cnn_metrics/metricas.csv');
5
6 % Extraer las columnas
7 epochs = metrics.epoch;
8 acc = metrics.accuracy;
9 loss = metrics.loss;
10 val_acc = metrics.val_accuracy;
11 val_loss = metrics.val_loss;
12
13 %% Gráfico combinado: Accuracy y Loss en subplots
14 figure('Name','Métricas de Entrenamiento y Validación','NumberTitle','off');
15
16 % Subplot 1: Accuracy
17 subplot(2,1,1)
18 plot(epochs, acc, 'bo-', 'LineWidth', 2, 'MarkerSize',6); hold on;
19 plot(epochs, val_acc, 'ro-', 'LineWidth', 2, 'MarkerSize',6);
20 xlabel('Epoch');
21 ylabel('Accuracy');
22 title('Accuracy: Entrenamiento vs. Validación');
23 legend('Entrenamiento', 'Validación','Location','southeast');
24 grid on;
25
26 % Subplot 2: Loss
27 subplot(2,1,2)
28 plot(epochs, loss, 'bo-', 'LineWidth', 2, 'MarkerSize',6); hold on;
29 plot(epochs, val_loss, 'ro-', 'LineWidth', 2, 'MarkerSize',6);
30 xlabel('Epoch');
31 ylabel('Loss');
32 title('Loss: Entrenamiento vs. Validación');
33 legend('Entrenamiento', 'Validación','Location','northeast');
34 grid on;
35
36 % Gráfico para Accuracy de Entrenamiento
37 figure('Name','Accuracy - Entrenamiento','NumberTitle','off');
38 plot(epochs, acc, 'b*-', 'LineWidth', 2, 'MarkerSize',6);
39 title('Accuracy - Entrenamiento');
40 xlabel('Epoch');
41 ylabel('Accuracy');
42 grid on;
43
44 % Gráfico para Accuracy de Validación
45 figure('Name','Accuracy - Validación','NumberTitle','off');
46 plot(epochs, val_acc, 'r*-', 'LineWidth', 2, 'MarkerSize',6);
47 title('Accuracy - Validación');
48 xlabel('Epoch');
49 ylabel('Accuracy');
50 grid on;
51
52 % Gráfico para Loss de Entrenamiento
53 figure('Name','Loss - Entrenamiento','NumberTitle','off');
54 plot(epochs, loss, 'b*-', 'LineWidth', 2, 'MarkerSize',6);
55 title('Loss - Entrenamiento');
56 xlabel('Epoch');
57 ylabel('Loss');
58 grid on;
59
60 % Gráfico para Loss de Validación
61 figure('Name','Loss - Validación','NumberTitle','off');
62 plot(epochs, val_loss, 'r*-', 'LineWidth', 2, 'MarkerSize',6);
63 title('Loss - Validación');
64 xlabel('Epoch');
65 ylabel('Loss');
66 grid on;

```

**Código 10.23:** Generar los gráficos de las métricas del modelo CNN en MATLAB.

## II.5. Comprobación del funcionamiento del *LiDAR*

```

1 import os
2 import ydlidar
3 import time
4 import math
5
6 if __name__ == "__main__":
7     ydlidar.os_init();
8     laser = ydlidar.CYdLidar();
9     ports = ydlidar.lidarPortList();
10    port = "/dev/ydlidar";
11    for key, value in ports.items():
12        port = value;
13    laser.setlidaropt(ydlidar.LidarPropSerialPort, port)
14    laser.setlidaropt(ydlidar.LidarPropSerialBaudrate, 128000)
15    laser.setlidaropt(ydlidar.LidarPropLidarType, ydlidar.TYPE_TRIANGLE)
16    laser.setlidaropt(ydlidar.LidarPropDeviceType, ydlidar.YDLIDAR_TYPE_SERIAL)
17    laser.setlidaropt(ydlidar.LidarPropScanFrequency, 10.0)
18    laser.setlidaropt(ydlidar.LidarPropSampleRate, 5)
19    laser.setlidaropt(ydlidar.LidarPropSingleChannel, True)
20    laser.setlidaropt(ydlidar.LidarPropMaxAngle, 180.0)
21    laser.setlidaropt(ydlidar.LidarPropMinAngle, -180.0)
22
23    i = 0
24    ret = laser.initialize();
25    if ret:
26        ret = laser.turnOn();
27        scan = ydlidar.LaserScan()
28        while ret and ydlidar.os_isOk() :
29            r = laser.doProcessSimple(scan);
30            if r:
31                if scan.config.scan_time < 1.0:
32                    timeNotZero = 1.0
33                else:
34                    timeNotZero = scan.config.scan_time
35                    print("Scan received[",scan.stamp,"]",scan.points.size(),"ranges is ["
36                    ,1.0/timeNotZero,"]Hz");
37
38                distance_0 = None
39                distance_90 = None
40
41                print(i)
42                time.sleep(3)
43
44                sorted_points = sorted(scan.points, key=lambda point: math.degrees(
45                    point.angle))
46
47                for point in sorted_points:
48                    print("angle:", math.degrees(point.angle), " range: ", point.
49                    range)
50
51                i += 1
52            else :
53                print("Failed to get Lidar Data")
54            laser.turnOff();
55            laser.disconnecting();

```

**Código 10.24:** Comprobación del funcionamiento del *LiDAR*.

## II.6. Generar los gráficos de la señal de control en MATLAB

```
1 % Abrir y leer el fichero .csv con los datos
2 tabla = readtable('/MATLAB Drive/pid/performance_0205_22.5_100.0_0.0_25.0_30.csv');
3
4 % Extraer las columnas
5 error_pid = tabla.Var1; %.Error
6 tiempo = tabla.Var6; %.Timestamp
7
8 % Crear la figura y graficar
9 figure;
10 plot(tiempo, error_pid, 'b-', 'LineWidth', 2);
11 xlabel('Tiempo (s)', 'FontSize', 12);
12 ylabel('Error', 'FontSize', 12);
13 title('Error en función del Tiempo', 'FontSize', 14);
14 grid on;
```

**Código 10.25:** Generar los gráficos de la señal de control en *MATLAB*.

## II.7. Nodos

### Servomotores

```

1 import rclpy
2 from rclpy.node import Node
3 from rclpy.lifecycle import LifecycleNode, LifecycleState, TransitionCallbackReturn
4 from std_msgs.msg import Int16, Int16MultiArray
5 from adafruit_servokit import ServoKit
6 from bilbotiks_interfazeak.msg import ServoakMugitu
7
8 class ServoKontrolatzalea(LifecycleNode):
9     def __init__(self):
10         super().__init__('servo_kontrolatzalea')
11         self.kit = None
12         self.subscription = None
13         self.active = None
14
15         # Parametroak ezarri lehenetsitako balioak
16         self.declare_parameter('actuation_range', 300)
17         self.declare_parameter('pulse_width_range', (500, 2500))
18
19         self.get_logger().info("servo_kontrolatzalea nodoa IN constructor")
20
21     def on_configure(self, state: LifecycleState):
22         self.get_logger().info("servo_kontrolatzalea nodoa IN on_configure")
23         self.active = False
24
25         # Parametroak irakurri YAML fitxerotik
26         self.actuation_range = self.get_parameter('actuation_range').value
27         self.pulse_width_range = tuple(self.get_parameter('pulse_width_range').value)
28
29         # Configuración inicial de servos
30         self.kit = ServoKit(channels=16)
31         self.servoak_konfiguratu()
32
33         return TransitionCallbackReturn.SUCCESS
34
35     def on_cleanup(self, state: LifecycleState):
36         self.get_logger().info("servo_kontrolatzalea nodoa IN on_cleanup")
37         self.kit = None
38
39         return TransitionCallbackReturn.SUCCESS
40
41     def on_activate(self, state: LifecycleState):
42         self.get_logger().info("servo_kontrolatzalea nodoa IN on_activate")
43         self.active = True
44
45         # /servoak_mugitu topikorako harpidetza konfiguratu
46         self.subscription = self.create_subscription(
47             ServoakMugitu,
48             'servoak_mugitu',
49             self.servoak_mugitu_callback,
50             10
51         )
52
53         return super().on_activate(state)
54
55     def on_deactivate(self, state: LifecycleState):
56         self.get_logger().info("motorrak_roboclaw nodoa IN on_deactivate")
57         self.subscription = None
58         self.active = False
59
60         return super().on_deactivate(state)
61
62     def on_shutdown(self, state: LifecycleState):
63         self.get_logger().info("motorrak_roboclaw nodoa IN on_shutdown")
64         return TransitionCallbackReturn.SUCCESS

```

```
65  def servoak_konfiguratu(self):
66      for i in range(4): # Control de los canales 0 a 3
67          self.kit.servo[i].actuation_range = self.actuation_range
68          self.kit.servo[i].set_pulse_width_range(*self.pulse_width_range)
69
70
71  def servoak_mugitu_callback(self, msg):
72      if self.active:
73          for i, angle in enumerate(msg.angeluak):
74              if angle != -1: # Ángulo válido
75                  self.kit.servo[i].angle = angle
76                  self.get_logger().info(f"Servomotorra {i} mugituta {angle:.2f} gradutara")
77
78 def main(args=None):
79     rclpy.init(args=args)
80     node = ServoKontrolatzairea()
81
82     try:
83         rclpy.spin(node)
84     except KeyboardInterrupt:
85         node.get_logger().info("Erabiltzaileak nodoa gelditu du.")
86     finally:
87         node.destroy_node()
88         rclpy.shutdown()
89
90 if __name__ == '__main__':
91     main()
```

**Código 10.26:** Código del nodo *servoak*.

## Motores

```

1 import rclpy
2 from rclpy.node import Node
3 from rclpy.lifecycle import LifecycleNode, LifecycleState, TransitionCallbackReturn
4 from geometry_msgs.msg import Twist
5 from bilbotiks_controller.roboclaw_3 import Roboclaw
6 from bilbotiks_interfazeak.msg import MotorrakMugitu #, MotorrenKodetzailak
7
8 class MotorKontrolatzalea(LifecycleNode):
9     def __init__(self):
10         super().__init__('motor_kontrolatzalea')
11         self.rc = None
12         self.baud_rate = None
13         self.motor_addresses = None
14         self.publisher_ = None
15         self.timer_ = None
16
17         # Parametroak ezarri lehenetsitako balioak
18         self.declare_parameter('baud_rate', 115200)
19         self.declare_parameter('motorren_helbideak', [128, 129, 130])
20
21         self.get_logger().info("motorrak_roboclaw nodoa IN constructor")
22
23     def on_configure(self, state: LifecycleState):
24         self.get_logger().info("motorrak_roboclaw nodoa IN on_configure")
25
26         # Parametroak irakurri YAML fitxerotik
27         self.baud_rate = self.get_parameter('baud_rate').value
28         self.motor_addresses = self.get_parameter('motorren_helbideak').value
29         self.get_logger().info(f'{self.motor_addresses}')
30
31         for address in self.motor_addresses:
32             self.rc = self.test_connection(address)
33             if self.rc is None:
34                 self.get_logger().info("RC is None")
35                 #rclpy.shutdown()
36             self.get_logger().info("    TOPIKO HARPIDETZAK: /motorrak_mugitu")
37
38             self.motorrak_gelditu()
39         return TransitionCallbackReturn.SUCCESS
40
41     def on_cleanup(self, state: LifecycleState):
42         self.get_logger().info("motorrak_roboclaw nodoa IN on_cleanup")
43         self.baud_rate = None
44         self.motor_addresses = None
45         self.subscription = None
46
47         return TransitionCallbackReturn.SUCCESS
48
49     def on_activate(self, state: LifecycleState):
50         self.get_logger().info("motorrak_roboclaw nodoa IN on_activate")
51
52         # /motorrak_mugitu topikorako harpidetza konfiguratu
53         self.subscription = self.create_subscription(
54             MotorrakMugitu,
55             'motorrak_mugitu',
56             self.motorrak_mugitu_callback,
57             10 # Buffer isatsaren tamaina
58         )
59
60         return super().on_activate(state)
61
62     def on_deactivate(self, state: LifecycleState):
63         self.get_logger().info("motorrak_roboclaw nodoa IN on_deactivate")
64         self.motorrak_gelditu()
65         self.subscription = None
66
67         return super().on_deactivate(state)
68

```

```
69     def on_shutdown(self, state: LifecycleState):
70         self.get_logger().info("motorrak_roboclaw nodoa IN on_shutdown")
71         self.rc = None
72         return TransitionCallbackReturn.SUCCESS
73
74     def test_connection(self, address):
75         roboclaw0 = Roboclaw("/dev/serial0", self.baud_rate)
76         roboclaw1 = Roboclaw("/dev/serial1", self.baud_rate)
77         connected0 = roboclaw0.Open() == 1
78         connected1 = roboclaw1.Open() == 1
79         if connected0:
80             self.get_logger().info(f"Roboclaw {address} helbidera konektatuta /dev/
81             serial0")
82             return roboclaw0
83         elif connected1:
84             self.get_logger().info(f"Roboclaw {address} helbidera konektatuta /dev/
85             serial1")
86             return roboclaw1
87         else:
88             self.get_logger().info(f"Ezin da Roboclaw {address} helbidera konektatu, ez
89             /dev/serial0 ezta /dev/serial1")
90             return None
91
92     def motorrak_gelditu(self):
93         for address in self.motor_addresses:
94             self.rc.ForwardM1(address, 0)
95             self.rc.ForwardM2(address, 0)
96             self.get_logger().info("Motorrak geldiarazi dira")
97
98     def motorrak_mugitu_callback(self, msg):
99         motorra_1 = int(msg.abiadurak[0])
100        motorra_2 = int(msg.abiadurak[1])
101        motorra_3 = int(msg.abiadurak[2])
102        motorra_4 = int(msg.abiadurak[3])
103        motorra_5 = int(msg.abiadurak[4])
104        motorra_6 = int(msg.abiadurak[5])
105
106        self.get_logger().info("Motorrak mugitzen hurrengo abiadurara:")
107
108        for address in self.motor_addresses:
109            if address == 128: # 2. eta 4. motorrak
110                if motorra_2 < 0:
111                    self.rc.BackwardM1(address, motorra_2*(-1))
112                else:
113                    self.rc.ForwardM1(address, motorra_2)
114
115                    self.get_logger().info(f"    Motorra 2 mugitzen {motorra_2} abiadurara")
116
117                    if motorra_4 < 0:
118                        self.rc.BackwardM2(address, motorra_4*(-1))
119                    else:
120                        self.rc.ForwardM2(address, motorra_4)
121
122                    self.get_logger().info(f"    Motorra 4 mugitzen {motorra_4} abiadurara")
123
124            if address == 129: # 5. eta 6. motorrak
125                if motorra_5 < 0:
126                    self.rc.BackwardM1(address, motorra_5*(-1))
127                else:
128                    self.rc.ForwardM1(address, motorra_5)
129                    self.get_logger().info(f"    Motorra 5 mugitzen {motorra_5} abiadurara")
130
131                    if motorra_6 < 0:
132                        self.rc.BackwardM2(address, motorra_6*(-1))
133                    else:
134                        self.rc.ForwardM2(address, motorra_6)
135                        self.get_logger().info(f"    Motorra 6 mugitzen {motorra_6} abiadurara")
136
137            if address == 130: # 1.go eta 3. motorrak
138                if motorra_1 < 0:
```

```
136         self.rc.BackwardM1(address, motorra_1*(-1))
137     else:
138         self.rc.ForwardM1(address, motorra_1)
139     self.get_logger().info(f"  Motorra 1 mugitzen {motorra_1} abiadurara")
140
141     if motorra_3 < 0:
142         self.rc.BackwardM2(address, motorra_3*(-1))
143     else:
144         self.rc.ForwardM2(address, motorra_3)
145     self.get_logger().info(f"  Motorra 3 mugitzen {motorra_3} abiadurara")
146
147 def main(args=None):
148     rclpy.init(args=args)
149     motor_controller = MotorKontrolatzalea()
150
151     try:
152         rclpy.spin(motor_controller)
153     except KeyboardInterrupt:
154         motor_controller.get_logger().info("Erabiltzaileak nodoa gelditu du.")
155         if motor_controller.rc:
156             motor_controller.motorrak_gelditu()
157     finally:
158         motor_controller.destroy_node()
159         rclpy.shutdown()
160
161 if __name__ == "__main__":
162     main()
```

**Código 10.27:** Código del nodo *motorrak\_roboclaw*.

**IMU**

```

1 import rclpy
2 from rclpy.node import Node
3 from rclpy.lifecycle import LifecycleNode, LifecycleState, TransitionCallbackReturn
4 from bilbotiks_interfazeak.msg import Imu
5 import board
6 import adafruit_bno055
7
8 class IMUArgitaratzalea(LifecycleNode):
9     def __init__(self):
10         super().__init__('imu_argitaratzalea')
11         self.i2c = None
12         self.sensor = None
13         self.publisher_ = None
14         self.timer_ = None
15
16         self.get_logger().info("imu_argitaratzalea nodoa IN constructor")
17
18     def on_configure(self, state: LifecycleState):
19         self.get_logger().info("imu_argitaratzalea nodoa IN on_configure")
20
21         # IMU sentsorea hasieratu
22         self.i2c = board.I2C()  # SCL eta SDA erabili
23         self.sensor = adafruit_bno055.BNO055_I2C(self.i2c)
24
25         self.publisher_ = self.create_lifecycle_publisher(Imu, 'imu_datuak', 20)
26         self.timer_ = self.create_timer(0.1, self.publish_imu_data)  # 100ms-tara (0.1
27         Hz) argitaratu
28
29         return TransitionCallbackReturn.SUCCESS
30
31     def on_cleanup(self, state: LifecycleState):
32         self.get_logger().info("imu_argitaratzalea nodoa IN on_cleanup")
33         self.i2c = None
34         self.sensor = None
35         self.destroy_lifecycle_publisher(self.publisher_)
36         self.destroy_timer(self.timer_)
37
38         return TransitionCallbackReturn.SUCCESS
39
40     def on_activate(self, state: LifecycleState):
41         self.get_logger().info("imu_argitaratzalea nodoa IN on_activate")
42
43         self.timer_.reset()
44
45         self.get_logger().info('IMU neurriak /imu_datuak argitaratzen 0.100s-tara',
46         once=True)
47
48         return super().on_activate(state)
49
50     def on_deactivate(self, state: LifecycleState):
51         self.get_logger().info("imu_argitaratzalea nodoa IN on_deactivate")
52
53         self.timer_.cancel()
54
55         return super().on_deactivate(state)
56
57     def on_shutdown(self, state: LifecycleState):
58         self.get_logger().info("imu_argitaratzalea nodoa IN on_shutdown")
59         return TransitionCallbackReturn.SUCCESS
60
61     def publish_imu_data(self):
62         msg = Imu()
63
64         # Temperatura
65         msg.temperatura = self.sensor.temperature or 0.0
66
67         # Magnetometroa
68         magnetic = self.sensor.magnetic

```

```

67     if magnetic:
68         msg.magnetometroa.x = magnetic[0] or 0.0
69         msg.magnetometroa.y = magnetic[1] or 0.0
70         msg.magnetometroa.z = magnetic[2] or 0.0
71
72     # Giroskopioa
73     gyro = self.sensor.gyro
74     if gyro:
75         msg.giroskopioa.x = gyro[0] or 0.0
76         msg.giroskopioa.y = gyro[1] or 0.0
77         msg.giroskopioa.z = gyro[2] or 0.0
78
79     # Euler angeluak
80     euler_angles = self.sensor.euler
81     if euler_angles:
82         msg.euler_angeluak.x = euler_angles[0] or 0.0 # Roll
83         msg.euler_angeluak.y = euler_angles[1] or 0.0 # Pitch
84         msg.euler_angeluak.z = euler_angles[2] or 0.0 # Yaw
85
86     # Kuaternioak
87     quaternion = self.sensor.quaternion
88     if quaternion:
89         msg.kuaternioak.x = quaternion[0] or 0.0
90         msg.kuaternioak.y = quaternion[1] or 0.0
91         msg.kuaternioak.z = quaternion[2] or 0.0
92         msg.kuaternioak.w = quaternion[3] or 0.0
93
94     # Azelerazio lineala
95     acceleration = self.sensor.acceleration
96     if acceleration:
97         msg.azelerazio_lineala.x = acceleration[0] or 0.0
98         msg.azelerazio_lineala.y = acceleration[1] or 0.0
99         msg.azelerazio_lineala.z = acceleration[2] or 0.0
100
101    # Grabitatea
102    gravity = self.sensor.gravity
103    if gravity:
104        msg.grabitatea.x = gravity[0] or 0.0
105        msg.grabitatea.y = gravity[1] or 0.0
106        msg.grabitatea.z = gravity[2] or 0.0
107
108    # Publicar el mensaje
109    self.publisher_.publish(msg)
110
111 def main(args=None):
112     rclpy.init(args=args)
113     node = IMUArgitaratzairea()
114
115     try:
116         rclpy.spin(node)
117     except KeyboardInterrupt:
118         node.get_logger().info("Erabiltzaileak nodoa gelditu du.")
119     finally:
120         node.destroy_node()
121         rclpy.shutdown()
122
123 if __name__ == '__main__':
124     main()

```

Código 10.28: Código del nodo *imu*.

**LiDAR**

```

1 import rclpy
2 from rclpy.node import Node
3 from rclpy.lifecycle import LifecycleNode, LifecycleState, TransitionCallbackReturn
4 import ydlidar
5 from sensor_msgs.msg import LaserScan
6 import math
7
8 class LidarArgitaratzalea(LifecycleNode):
9     def __init__(self):
10         super().__init__('lidar_argitaratzalea')
11         self.lidar = None
12         self.port = None
13         self.baudrate = None
14         self.lidar_type = None
15         self.device_type = None
16         self.frame_id = None
17         self.scan_frequency = None
18         self.sample_rate = None
19         self.angle_min = None
20         self.angle_max = None
21         self.range_min = None
22         self.range_max = None
23         self.single_channel = None
24
25         self.publisher_ = None
26         self.timer_ = None
27
28         self.active = None
29
30     # Parametroak
31     self.declare_parameter("port", "/dev/ydlidar")
32     self.declare_parameter("baudrate", 128000)
33     self.declare_parameter("lidar_type", ydlidar.TYPE_TRIANGLE)
34     self.declare_parameter("device_type", ydlidar.YDLIDAR_TYPE_SERIAL)
35     self.declare_parameter("frame_id", "laser_frame")
36     self.declare_parameter("scan_frequency", 10.0) # 6 - 12 Hz
37     self.declare_parameter("sample_rate", 5)
38     self.declare_parameter("angle_min", -180.0)
39     self.declare_parameter("angle_max", 180.0)
40     self.declare_parameter("range_min", 0.12)
41     self.declare_parameter("range_max", 10.0)
42     self.declare_parameter("singleChannel", True)
43
44     self.get_logger().info("lidar_argitaratzalea nodoa IN constructor")
45
46     def on_configure(self, state: LifecycleState):
47         self.get_logger().info("lidar_argitaratzalea nodoa IN on_configure")
48
49         self.port = self.get_parameter("port").get_parameter_value().string_value
50         self.get_logger().info(f'{self.port}')
51         self.baudrate = self.get_parameter("baudrate").get_parameter_value().
52             integer_value
52         self.lidar_type = self.get_parameter("lidar_type").get_parameter_value().
53             integer_value
53         self.device_type = self.get_parameter("device_type").get_parameter_value().
54             integer_value
54         self.frame_id = self.get_parameter("frame_id").get_parameter_value().
55             string_value
55         self.scan_frequency = self.get_parameter("scan_frequency").get_parameter_value()
56             .double_value
56         self.sample_rate = self.get_parameter("sample_rate").get_parameter_value().
57             integer_value
57         self.angle_min = self.get_parameter("angle_min").get_parameter_value().
58             double_value
58         self.angle_max = self.get_parameter("angle_max").get_parameter_value().
59             double_value
59         self.range_min = self.get_parameter("range_min").get_parameter_value().
60             double_value

```

```

60     self.range_max = self.get_parameter("range_max").get_parameter_value()
61     double_value
62     self.single_channel = self.get_parameter("singleChannel").get_parameter_value()
63     .bool_value
64
65     # Argitaratzalea
66     self.publisher_ = self.create_lifecycle_publisher(LaserScan, 'lidar_datuak',
67 10)      self.timer_ = self.create_timer(0.2, self.publish_lidar_data) # 100ms-tara
68     (0.1 Hz) argitaratu
69
70     return TransitionCallbackReturn.SUCCESS
71
72 def on_cleanup(self, state: LifecycleState):
73     self.get_logger().info("lidar_argitaratzalea nodoa IN on_cleanup")
74     self.lidar = None
75     self.port = None
76     self.baudrate = None
77     self.lidar_type = None
78     self.device_type = None
79     self.frame_id = None
80     self.scan_frequency = None
81     self.sample_rate = None
82     self.angle_min = None
83     self.angle_max = None
84     self.range_min = None
85     self.range_max = None
86     self.single_channel = None
87     self.active = None
88     self.destroy_lifecycle_publisher(self.publisher_)
89     self.destroy_timer(self.timer_)
90
91     return TransitionCallbackReturn.SUCCESS
92
93 def on_activate(self, state: LifecycleState):
94     self.get_logger().info("lidar_argitaratzalea nodoa IN on_activate")
95
96     # Lidar hasiarazi
97     self.initialize_lidar()
98
99     self.timer_.reset()
100
101     self.get_logger().info('LIDAR neurriak /lidar_datuak argitaratzen 0.100s-tara',
102     once=True)
103
104     return super().on_activate(state)
105
106 def on_deactivate(self, state: LifecycleState):
107     self.get_logger().info("lidar_argitaratzalea nodoa IN on_deactivate")
108     self.active = not (self.lidar.turnOff())
109
110     self.timer_.cancel()
111
112     return super().on_deactivate(state)
113
114 def on_shutdown(self, state: LifecycleState):
115     self.get_logger().info("lidar_argitaratzalea nodoa IN on_shutdown")
116
117     return TransitionCallbackReturn.SUCCESS
118
119 def initialize_lidar(self):
120     ydlidar.os_init()
121     self.lidar = ydlidar.CYdLidar()
122     self.lidar.setlidaropt(ydlidar.LidarPropSerialPort, self.port)
123     self.lidar.setlidaropt(ydlidar.LidarPropSerialBaudrate, self.baudrate)
124     self.lidar.setlidaropt(ydlidar.LidarPropLidarType, self.lidar_type)
125     self.lidar.setlidaropt(ydlidar.LidarPropDeviceType, self.device_type)
126     self.lidar.setlidaropt(ydlidar.LidarPropScanFrequency, self.scan_frequency)
127     self.lidar.setlidaropt(ydlidar.LidarPropSampleRate, self.sample_rate)
128     self.lidar.setlidaropt(ydlidar.LidarPropSingleChannel, self.single_channel)
129
130     if not self.lidar.initialize():
131
132         self.get_logger().error("Lidar initialization failed")
133
134         return TransitionCallbackReturn.ERROR
135
136     self.get_logger().info("Lidar initialized successfully")
137
138     return TransitionCallbackReturn.SUCCESS
139
140
141
142
143
144
145
146
147
148
149
150
151
152
153
154
155
156
157
158
159
160
161
162
163
164
165
166
167
168
169
170
171
172
173
174
175
176
177
178
179
180
181
182
183
184
185
186
187
188
189
190
191
192
193
194
195
196
197
198
199
200
201
202
203
204
205
206
207
208
209
210
211
212
213
214
215
216
217
218
219
220
221
222
223
224
225
226
227
228
229
230
231
232
233
234
235
236
237
238
239
240
241
242
243
244
245
246
247
248
249
250
251
252
253
254
255
256
257
258
259
260
261
262
263
264
265
266
267
268
269
270
271
272
273
274
275
276
277
278
279
280
281
282
283
284
285
286
287
288
289
290
291
292
293
294
295
296
297
298
299
300
301
302
303
304
305
306
307
308
309
310
311
312
313
314
315
316
317
318
319
320
321
322
323
324
325
326
327
328
329
330
331
332
333
334
335
336
337
338
339
340
341
342
343
344
345
346
347
348
349
350
351
352
353
354
355
356
357
358
359
360
361
362
363
364
365
366
367
368
369
370
371
372
373
374
375
376
377
378
379
380
381
382
383
384
385
386
387
388
389
390
391
392
393
394
395
396
397
398
399
400
401
402
403
404
405
406
407
408
409
410
411
412
413
414
415
416
417
418
419
420
421
422
423
424
425
426
427
428
429
430
431
432
433
434
435
436
437
438
439
440
441
442
443
444
445
446
447
448
449
450
451
452
453
454
455
456
457
458
459
460
461
462
463
464
465
466
467
468
469
470
471
472
473
474
475
476
477
478
479
480
481
482
483
484
485
486
487
488
489
490
491
492
493
494
495
496
497
498
499
500
501
502
503
504
505
506
507
508
509
510
511
512
513
514
515
516
517
518
519
520
521
522
523
524
525
526
527
528
529
530
531
532
533
534
535
536
537
538
539
540
541
542
543
544
545
546
547
548
549
550
551
552
553
554
555
556
557
558
559
560
561
562
563
564
565
566
567
568
569
570
571
572
573
574
575
576
577
578
579
580
581
582
583
584
585
586
587
588
589
589
590
591
592
593
594
595
596
597
598
599
599
600
601
602
603
604
605
606
607
608
609
609
610
611
612
613
614
615
616
617
618
619
619
620
621
622
623
624
625
626
627
628
629
629
630
631
632
633
634
635
636
637
638
639
639
640
641
642
643
644
645
646
647
648
649
649
650
651
652
653
654
655
656
657
658
659
659
660
661
662
663
664
665
666
667
668
669
669
670
671
672
673
674
675
676
677
678
679
679
680
681
682
683
684
685
686
687
687
688
689
689
690
691
692
693
694
695
696
697
697
698
699
699
700
701
702
703
704
705
706
707
707
708
709
709
710
711
712
713
714
715
716
717
717
718
719
719
720
721
722
723
724
725
726
727
727
728
729
729
730
731
732
733
734
735
736
737
737
738
739
739
740
741
742
743
744
745
746
747
747
748
749
749
750
751
752
753
754
755
756
757
757
758
759
759
760
761
762
763
764
765
766
767
767
768
769
769
770
771
772
773
774
775
776
777
777
778
779
779
780
781
782
783
784
785
786
787
787
788
789
789
790
791
792
793
794
795
796
797
797
798
799
799
800
801
802
803
804
805
806
807
807
808
809
809
810
811
812
813
814
815
816
817
817
818
819
819
820
821
822
823
824
825
826
827
827
828
829
829
830
831
832
833
834
835
836
837
837
838
839
839
840
841
842
843
844
845
846
847
847
848
849
849
850
851
852
853
854
855
856
857
857
858
859
859
860
861
862
863
864
865
866
867
867
868
869
869
870
871
872
873
874
875
876
877
877
878
879
879
880
881
882
883
884
885
886
886
887
888
888
889
889
890
891
892
893
894
895
896
897
897
898
899
899
900
901
902
903
904
905
906
907
907
908
909
909
910
911
912
913
914
915
916
917
917
918
919
919
920
921
922
923
924
925
926
927
927
928
929
929
930
931
932
933
934
935
936
937
937
938
939
939
940
941
942
943
944
945
946
947
947
948
949
949
950
951
952
953
954
955
956
957
957
958
959
959
960
961
962
963
964
965
966
967
967
968
969
969
970
971
972
973
974
975
976
977
977
978
979
979
980
981
982
983
984
985
986
987
987
988
989
989
990
991
992
993
994
995
996
997
998
999
999
1000
1001
1002
1003
1004
1005
1006
1007
1008
1009
1009
1010
1011
1012
1013
1014
1015
1016
1017
1017
1018
1019
1019
1020
1021
1022
1023
1024
1025
1026
1027
1027
1028
1029
1029
1030
1031
1032
1033
1034
1035
1036
1037
1037
1038
1039
1039
1040
1041
1042
1043
1044
1045
1046
1047
1047
1048
1049
1049
1050
1051
1052
1053
1054
1055
1056
1057
1057
1058
1059
1059
1060
1061
1062
1063
1064
1065
1066
1067
1067
1068
1069
1069
1070
1071
1072
1073
1074
1075
1076
1077
1077
1078
1079
1079
1080
1081
1082
1083
1084
1085
1086
1087
1087
1088
1089
1089
1090
1091
1092
1093
1094
1095
1095
1096
1097
1097
1098
1099
1099
1100
1101
1102
1103
1103
1104
1105
1105
1106
1107
1107
1108
1109
1109
1110
1111
1111
1112
1113
1113
1114
1115
1115
1116
1116
1117
1117
1118
1118
1119
1119
1120
1120
1121
1121
1122
1122
1123
1123
1124
1124
1125
1125
1126
1126
1127
1127
1128
1128
1129
1129
1130
1130
1131
1131
1132
1132
1133
1133
1134
1134
1135
1135
1136
1136
1137
1137
1138
1138
1139
1139
1140
1140
1141
1141
1142
1142
1143
1143
1144
1144
1145
1145
1146
1146
1147
1147
1148
1148
1149
1149
1150
1150
1151
1151
1152
1152
1153
1153
1154
1154
1155
1155
1156
1156
1157
1157
1158
1158
1159
1159
1160
1160
1161
1161
1162
1162
1163
1163
1164
1164
1165
1165
1166
1166
1167
1167
1168
1168
1169
1169
1170
1170
1171
1171
1172
1172
1173
1173
1174
1174
1175
1175
1176
1176
1177
1177
1178
1178
1179
1179
1180
1180
1181
1181
1182
1182
1183
1183
1184
1184
1185
1185
1186
1186
1187
1187
1188
1188
1189
1189
1190
1190
1191
1191
1192
1192
1193
1193
1194
1194
1195
1195
1196
1196
1197
1197
1198
1198
1199
1199
1200
1200
1201
1201
1202
1202
1203
1203
1204
1204
1205
1205
1206
1206
1207
1207
1208
1208
1209
1209
1210
1210
1211
1211
1212
1212
1213
1213
1214
1214
1215
1215
1216
1216
1217
1217
1218
1218
1219
1219
1220
1220
1221
1221
1222
1222
1223
1223
1224
1224
1225
1225
1226
1226
1227
1227
1228
1228
1229
1229
1230
1230
1231
1231
1232
1232
1233
1233
1234
1234
1235
1235
1236
1236
1237
1237
1238
1238
1239
1239
1240
1240
1241
1241
1242
1242
1243
1243
1244
1244
1245
1245
1246
1246
1247
1247
1248
1248
1249
1249
1250
1250
1251
1251
1252
1252
1253
1253
1254
1254
1255
1255
1256
1256
1257
1257
1258
1258
1259
1259
1260
1260
1261
1261
1262
1262
1263
1263
1264
1264
1265
1265
1266
1266
1267
1267
1268
1268
1269
1269
1270
1270
1271
1271
1272
1272
1273
1273
1274
1274
1275
1275
1276
1276
1277
1277
1278
1278
1279
1279
1280
1280
1281
1281
1282
1282
1283
1283
1284
1284
1285
1285
1286
1286
1287
1287
1288
1288
1289
1289
1290
1290
1291
1291
1292
1292
1293
1293
1294
1294
1295
1295
1296
1296
1297
1297
1298
1298
1299
1299
1300
1300
1301
1301
1302
1302
1303
1303
1304
1304
1305
1305
1306
1306
1307
1307
1308
1308
1309
1309
1310
1310
1311
1311
1312
1312
1313
1313
1314
1314
1315
1315
1316
1316
1317
1317
1318
1318
1319
1319
1320
1320
1321
1321
1322
1322
1323
1323
1324
1324
1325
1325
1326
1326
1327
1327
1328
1328
1329
1329
1330
1330
1331
1331
1332
1332
1333
1333
1334
1334
1335
1335
1336
1336
1337
1337
1338
1338
1339
1339
1340
1340
1341
1341
1342
1342
1343
1343
1344
1344
1345
1345
1346
1346
1347
1347
1348
1348
1349
1349
1350
1350
1351
1351
1352
1352
1353
1353
1354
1354
1355
1355
1356
1356
1357
1357
1358
1358
1359
1359
1360
1360
1361
1361
1362
1362
1363
1363
1364
1364
1365
1365
1366
1366
1367
1367
1368
1368
1369
1369
1370
1370
1371
1371
1372
1372
1373
1373
1374
1374
1375
1375
1376
1376
1377
1377
1378
1378
1379
1379
1380
1380
1381
1381
1382
1382
1383
1383
1384
1384
1385
1385
1386
1386
1387
1387
1388
1388
1389
1389
1390
1390
1391
1391
1392
1392
1393
1393
1394
1394
1395
1395
1396
1396
1397
1397
1398
1398
1399
1399
1400
1400
1401
1401
1402
1402
1403
1403
1404
1404
1405
1405
1406
1406
1407
1407
1408
1408
1409
1409
1410
1410
1411
1411
1412
1412
1413
1413
1414
1414
1415
1415
1416
1416
1417
1417
1418
1418
1419
1419
1420
1420
1421
1421
1422
1422
1423
1423
1424
1424
1425
1425
1426
1426
1427
1427
1428
1428
1429
1429
1430
1430
1431
1431
1432
1432
1433
1433
1434
1434
1435
1435
1436
1436
1437
1437
1438
1438
1439
1439
1440
1440
1441
1441
1442
1442
1443
1443
1444
1444
1445
1445
1446
1446
1447
1447
1448
1448
1449
1449
1450
1450
1451
1451
1452
1452
1453
1453
1454
1454
1455
1455
1456
1456
1457
1457
1458
1458
1459
1459
1460
1460
1461
1461
1462
1462
1463
1463
1464
1464
1465
1465
1466
1466
1467
1467
1468
1468
1469
1469
1470
1470
1471
1471
1472
1472
1473
1473
1474
1474
1475
1475
1476
1476
1477
1477
1478
1478
1479
1479
1480
1480
1481
1481
1482
1482
1483
1483
1484
1484
1485
1485
1486
1486
1487
1487
1488
1488
1489
1489
1490
1490
1491
1491
1492
1492
1493
1493
1494
1494
1495
1495
1496
1496
1497
1497
1498
1498
1499
1499
1500
1500
1501
1501
1502
1502
1503
1503
1504
1504
1505
1505
1506
1506
1507
1507
1508
1508
1509
1509
1510
1510
1511
1511
1512
1512
1513
1513
1514
1514
1515
1515
1516
1516
1517
1517
1518
1518
1519
1519
1520
1520
1521
1521
1522
1522
1523
1523
1524
1524
1525
1525
1526
1526
1527
1527
1528
1528
1529
1529
1530
1530
1531
1531
1532
1532
1533
1533
1534
1534
1535
1535
1536
1536
1537
1537
1538
1538
1539
1539
1540
1540
1541
1541
1542
1542
1543
1543
1544
1544
1545
1545
1546
1546
1547
1547
1548
1548
1549
1549
1550
1550
1551
1551
1552
1552
1553
1553
1554
1554
1555
1555
1556
1556
1557
1557
1558
1558
1559
1559
1560
1560
1561
1561
1562
1562
1563
1563
1564
1564
1565
1565
1566
1566
1567
1567
1568
1568
1569
1569
1570
1570
1571
1571
1572
1572
1573
1573
1574
1574
1575
1575
1576
1576
1577
1577
1578
1578
1579
1579
1580
1580
1581
1581
1582
1582
1583
1583
1584
1584
1585
1585
1586
1586
1587
1587
1588
1588
1589
1589
1590
1590
1591
1591
1592
1592
1593
1593
1594
1594
1595
1595
1596
1596
1597
1597
1598
1598
1599
1599
1600
1600
1601
1601
1602
1602
1603
1603
1604
1604
1605
1605
1606
1606
1607
1607
1608
1608
1609
1609
1610
1610
1611
1611
1612
1612
1613
1613
1614
1614
1615
1615
1616
1616
1617
1617
1618
1618
1619
1619
1620
1620
1621
1621
1622
1622
1623
1623
1624
1624
1625
1625
1626
1626
1627
1627
1628
1628
1629
1629
1630
1630
1631
1631
1632
1632
1633
1633
1634
1634
1635
1635
1636
1636
1637
1637
1638
1638
1639
1639
1640
1640
1641
1641
1642
1642
1643
1643
1644
1644
1645
1645
1646
1646
1647
1647
1648
1648
1649
1649
1650
1650
1651
1651
1652
1652
1653
1653
1654
1654
1655
1655
1656
1656
1657
1657
1658
1658
1659
1659
1660
1660
1661
1661
1662
1662
1663
1663
1664
1664
1665
1665
1666
1666
1667
1667
1668
1668
1669
1669
1670
1670
1671
1671
1672
1672
1673
1673
1674
1674
1675
1675
1676
1676
1677
1677
1678
1678
1679
1679
1680
1680
1681
1681
1682
1682
1683
1683
1684
1684
1685
1685
1686
1686
1687
1687
1688
1688
1689
1689
1690
1690
1691
1691
1692
1692
1693
1693
1694
1694
1695
1695
1696
1696
1697
1697
1698
1698
1699
1699
1700
1700
1701
1701
1702
1702
1703
1703
1704
1704
1705
1705
1706
1706
1707
1707
1708
1708
1709
1709
1710
1710
1711
1711
1712
1712
1713
1713
1714
1714
1715
1715
1716
1716
1717
1717
1718
1718
1719
1719
1720
1720
1721
1721
1722
1722
1723
1723
1724
1724
1725
1725
1726
1726
1727
1727
1728
1728
1729
1729
1730
1730
1731
1731
1732
1732
1733
1733
1734
1734
1735
1735
1736
1736
1737
1737
1738
1738
1739
1739
1740
1740
1741
1741
1742
1742
1743
1743
1744
1744
1745
1745
1746
1746
1747
1747
1748
1748
1749
1749
1750
1750
1751
1751
1752
1752
1753
1753
1754
1754
1755
1755
1756
1756
1757
1757
1758
1758
1759
1759
1760
1760
1761
1761
1762
1762
1763
1763
1764
1764
1765
1765
1766
1766
1767
1767
1768
1768
1769
1769
1770
1770
1771
1771
1772
1772
1773
1773
1774
1774
1775
1775
1776
1776
1777
1777
1778
1778
1779
1779
1780
1780
1781
1781
1782
1782
1783
1783
1784
1784
1785
1785
1786
1786
1787
1787
1788
1788
1789
1789
1790
1790
1791
1791
1792
1792
1793
1793
1794
1794
1795
1795
1796
1796
1797
1797
1798
1798
1799
1799
1800
1800
1801
1801
1802
1802
1803
1803
1804
1804
1805
1805
1806
1806
1807
1807
1808
1808
1809
1809
1810
1810
1811
1811
1812
1812
1813
1813
1814
1814
1815
181
```

```

125         self.get_logger().error("LiDAR initialization failed")
126     else:
127         self.active = self.lidar.turnOn()
128
129     def publish_lidar_data(self):
130         if self.active:
131             scan = ydlidar.LaserScan()
132             if self.lidar.doProcessSimple(scan):
133                 msg = LaserScan()
134                 msg.header.stamp = self.get_clock().now().to_msg()
135                 msg.header.frame_id = self.frame_id
136                 msg.angle_min = math.degrees(scan.config.min_angle)
137                 msg.angle_max = math.degrees(scan.config.max_angle)
138                 msg.angle_increment = math.degrees(scan.config.angle_increment)
139                 msg.scan_time = scan.config.scan_time
140                 msg.range_min = scan.config.min_range
141                 msg.range_max = scan.config.max_range
142
143                 sorted_points = sorted(scan.points, key=lambda point: math.degrees(
144                     point.angle))
145                 msg.ranges = [p.range for p in sorted_points]
146                 msg.intensities = [p.intensity for p in scan.points]
147
148                 self.publisher_.publish(msg)
149             else:
150                 self.get_logger().error("ERROR lidar datuak lortzerakoan")
151
152     def main(args=None):
153         rclpy.init(args=args)
154         node = LidarArgitaratzzailea()
155
156         try:
157             rclpy.spin(node)
158         except KeyboardInterrupt:
159             node.get_logger().info("Erabiltzaileak nodoa gelditu du.")
160
161             if node.active:
162                 node.lidar.turnOff()
163                 node.lidar = None
164                 node.port = None
165                 node.baudrate = None
166                 node.lidar_type = None
167                 node.device_type = None
168                 node.frame_id = None
169                 node.scan_frequency = None
170                 node.sample_rate = None
171                 node.angle_min = None
172                 node.angle_max = None
173                 node.range_min = None
174                 node.range_max = None
175                 node.single_channel = None
176                 node.active = None
177                 node.destroy_lifecycle_publisher(node.publisher_)
178                 node.destroy_timer(node.timer_)
179
180         finally:
181             node.destroy_node()
182             rclpy.shutdown()
183
184     if __name__ == '__main__':
185         main()

```

Código 10.29: Código del nodo *lidar*.

## Cámara

```

1 import rclpy
2 from rclpy.lifecycle import LifecycleNode, LifecycleState, TransitionCallbackReturn
3 from sensor_msgs.msg import Image
4 import cv2
5 from cv_bridge import CvBridge, CvBridgeError
6 from bilbotiks_interfazeak.srv import Argazkia
7
8 class KameraArgitaratzaila(LifecycleNode):
9     def __init__(self):
10         super().__init__('kamera_argitaratzaila')
11
12         self.cap_irudia = None          # Kamera irudia
13         self.cap_depth = None          # Kamera sakonera
14
15         self.publisher_irudia = None    # Irudia argitaratzeko objektua
16         self.publisher_depth = None    # Sakonera argitaratzeko objektua
17         self.timer_ = None
18         self.srv_argazkia_atera = None
19         self.bridge = CvBridge()        # OpenCV - ROS konbertsioa
20
21         # Parametroak
22         self.port_irudia = None
23         self.port_sakonera = None
24         self.declare_parameter("port_irudia", 0)
25         self.declare_parameter("port_sakonera", 2)
26
27         self.get_logger().info("kamera_argitaratzaila nodoa IN constructor")
28
29     def on_configure(self, state: LifecycleState):
30         self.get_logger().info("kamera_argitaratzaila nodoa IN on_configure")
31
32         # Parametroak
33         self.port_irudia = self.get_parameter("port_irudia").get_parameter_value().integer_value
34         self.get_logger().info(f'VideoCapture IMAGE: {self.port_irudia}')
35
36         self.srv_argazkia_atera = self.create_service(Argazkia, 'argazkia_atera', self.argazkia_atera)
37
38         # Argitaratzailak sortu
39         self.publisher_irudia = self.create_lifecycle_publisher(Image, '/kamera_irudia', 10)
40
41         # Argitaratzailen temporizadoreak
42         self.timer_ = self.create_timer(1.0/30.0, self.publish_camera_data)
43         self.timer_.cancel()
44
45         return TransitionCallbackReturn.SUCCESS
46
47     def on_cleanup(self, state: LifecycleState):
48         self.get_logger().info("kamera_argitaratzaila nodoa IN on_cleanup")
49
50         self.destroy_service(self.srv_argazkia_atera)
51         self.srv_argazkia_atera = None
52
53         # Kamera askatu
54         if self.cap_irudia is not None:
55             self.cap_irudia.release()
56             self.cap_irudia = None
57
58         # Argitaratzailak eta temporizadorea ezabatu
59         self.destroy_lifecycle_publisher(self.publisher_irudia)
60         self.destroy_timer(self.timer_)
61
62         return TransitionCallbackReturn.SUCCESS
63
64     def on_activate(self, state: LifecycleState):
65         self.get_logger().info("kamera_argitaratzaila nodoa IN on_activate")

```

```

66
67     # Argazkia ateratzeko zerbitzua itzali
68     self.destroy_service(self.srv_argazkia_atera)
69     self.srv_argazkia_atera = None
70
71     # Kamera irudia ireki
72     self.cap_irudia = cv2.VideoCapture(self.port_irudia)
73     if not self.cap_irudia.isOpened():
74         self.get_logger().error("No se pudo abrir la cámara de imagen (VideoCapture
75 0)")
76         return TransitionCallbackReturn.FAILURE
77
78     # Temporizadorea berritu
79     self.timer_.reset()
80     return super().on_activate(state)
81
82 def on_deactivate(self, state: LifecycleState):
83     self.get_logger().info("kamera_argitaratzalea nodoa IN on_deactivate")
84
85     # Temporizadorea gelditu
86     self.timer_.cancel()
87
88     # Argazkia ateratzeko zerbitzua piztu
89     self.srv_argazkia_atera = self.create_service(Argazkia, 'argazkia_atera', self.
90 argazkia_atera)
91
92     return super().on_deactivate(state)
93
94 def on_shutdown(self, state: LifecycleState):
95     self.get_logger().info("kamera_argitaratzalea nodoa IN on_shutdown")
96     return TransitionCallbackReturn.SUCCESS
97
98 def publish_camera_data(self):
99     # Leer datos de la cámara de imagen
100    ret_color, frame_color = self.cap_irudia.read()
101    # Leer datos del sensor de profundidad
102    #ret_depth, frame_depth = self.cap_depth.read()
103
104    now = self.get_clock().now().to_msg()
105
106    if ret_color:
107        try:
108            # Convertir la imagen capturada (BGR de OpenCV) a mensaje ROS
109            img_msg = self.bridge.cv2_to_imgmsg(frame_color, encoding="bgr8")
110            img_msg.header.stamp = now
111            self.publisher_irudia.publish(img_msg)
112        except CvBridgeError as e:
113            self.get_logger().error(f"Errorea kolore-irudiaren bihurketan: {str(e)}")
114
115    else:
116        self.get_logger().error("Errorea kameraren irudia atzitzean (VideoCapture
117 0)")
118
119 def argazkia_atera(self, request, response):
120     self.get_logger().info("'argazkia_atera' zerbitzua deitu da")
121
122     self.cap_irudia = cv2.VideoCapture(self.port_irudia)
123     if not self.cap_irudia.isOpened():
124         self.get_logger().error(f"Ezin izan da kamera ireki (VideoCapture {self.
125 port_irudia})")
126
126     ret_color, frame_color = self.cap_irudia.read()
127     self.cap_irudia.release()
128     if ret_color:
129         try:
130             # Ateratako irudia (OpenCV-ren BGR) ROS mezu bihurtzea
131             img_msg = self.bridge.cv2_to_imgmsg(frame_color, encoding="bgr8")
132             # Nahi izanez gero, timestamp bat eslei daki oke header-ari
133             img_msg.header.stamp = self.get_clock().now().to_msg()
134             response.image = img_msg

```

```
131         self.get_logger().info("Argazkia atera da.")
132     except CvBridgeError as e:
133         self.get_logger().error(f"Errorea argazkia ROS2 kodifikatzean {str(e)}")
134     else:
135         self.get_logger().error(f"Errorea argazkia ateratzerakoan (VideoCapture {
136             self.port_irudia})")
137         self.cap_irudia = None
138
139     return response
140
141 def main(args=None):
142     rclpy.init(args=args)
143     node = KameraArgitaratzzailea()
144
145     try:
146         rclpy.spin(node)
147     except KeyboardInterrupt:
148         node.get_logger().info("Erabiltzaileak nodoa gelditu du.")
149     finally:
150         node.destroy_node()
151         rclpy.shutdown()
152
153 if __name__ == '__main__':
154     main()
```

**Código 10.30:** Código del nodo *kamera*.

## **Wrapper de la prueba de percepción**

```

62         self imu_callback,
63         20,
64         callback_group=self.callback_group
65     )
66
67     # Zerbitzu zerbitzaria (SERVICE SERVER)
68     self.argazkia_zerbitzaria = self.create_service(KoloreaZenbakia,
69     'koloreaZenbakia_iragarri', self.koloreaZenbakia_iragarri, callback_group=self.
70     callback_group)
71
72     # Zerbitzu bezeroa (SERVICE CLIENT)
73     self.argazkia_bezeroa = self.create_client(Argazkia, 'argazkia_atera')
74
75     # Ekintza zerbitzaria (ACTION SERVER)
76     self.action_server = ActionServer(
77         self,
78         Bira360,
79         'pertzepzio_proba_360bira',
80         self.bira360_callback,
81         callback_group=self.callback_group
82     )
83
84     self.get_logger().info('pertzepzio_proba_wrapper nodoa hasita.')
85
86 ######
87 # IRUDIAREN LAGUNTZA FUNTZIOAK
88 def zoom_center(self, imagen, escala):
89     altura, ancho = imagen.shape[:2]
90     nuevo_ancho = int(ancho * escala)
91     nueva_altura = int(altura * escala)
92     inicio_x = (ancho - nuevo_ancho) // 2
93     inicio_y = (altura - nueva_altura) // 2
94     centro_crop = imagen[inicio_y:inicio_y + nueva_altura, inicio_x:inicio_x +
95     nuevo_ancho]
96     zoomed = cv2.resize(centro_crop, (ancho, altura), interpolation=cv2.
97     INTER_LINEAR)
98     return zoomed
99
100
101 def load_and_preprocess_image(self, image, target_size=(64, 64)):
102     canny = cv2.Canny(image, 20, 110)
103     kernel = cv2.getStructuringElement(cv2.MORPH_RECT, (3, 3))
104     thickened_canny = cv2.dilate(canny, kernel, iterations=1)
105     image_proc = cv2.cvtColor(thickened_canny, cv2.COLOR_BGR2RGB)
106     image_proc = cv2.resize(image_proc, target_size)
107     image_proc = img_to_array(image_proc)
108     image_proc = np.expand_dims(image_proc, axis=0)
109     image_proc = image_proc / 255.0
110
111     return image_proc
112
113
114 ######
115 # MUGIMENDUAREN LAGUNTZA FUNTZIOAK
116 def servoak_kokatu(self):
117     msg = ServoakMugitu()
118     msg.angeluak = self.servo_angeluak_360
119     self.servo_publisher.publish(msg)
120     self.get_logger().info(f'Moviendo servos a: {msg.angeluak}')
121
122 def motorrak_mugitu(self, abiadura):
123     msg = MotorrakMugitu()
124     msg.abiadurak = abiadura
125     self.motor_publisher.publish(msg)
126
127 def motorrak_gelditu(self):

```

```

128     msg = MotorrakMugitu()
129     msg.abiadurak = [0, 0, 0, 0, 0, 0]
130     self.motor_publisher.publish(msg)
131 #####
132 #####
133 # LIFECYCLE nodoen trantzisioak kudeatzeko
134 def nodoa_kudeatu(self, nodoa, transition_id):
135     # Lifecycle nodoen egoera kudeatzeko funtzioa
136     self.get_logger().info(f'{nodoa}/change_state')
137     self.change_state = self.create_client(ChangeState, f'{nodoa}/change_state')
138     while not self.change_state.wait_for_service(timeout_sec=1.0):
139         self.get_logger().info(f'{nodoa}/change_state zerbitzua prest egoteko zain
140     ...')
141
142     request = ChangeState.Request()
143     request.transition.id = transition_id
144     future = self.change_state.call_async(request)
145     rclpy.spin_until_future_complete(self, future)
146     if future.result() is not None:
147         self.get_logger().info(f'Trantsizioa ongi burutu da: {nodoa}, {transition_id}')
148     else:
149         self.get_logger().error('Errorea trantsizioa egitean.')
150 #####
151 #####
152 # IMU harpidezta (IMU SUBSCRIBER)
153 def imu_callback(self, msg: Imu):
154     self.imu_datuak = msg
155     self.imu_datu_berriak = True
156 #####
157 #####
158 # ZERBITZUAREN ZERBITZARIA (SERVICE SERVER) Kolorea eta zenbakia iragartzeko
159 # prozesua
160 def koloreaZenbakia_iragarri(self, request, response):
161     self.get_logger().info("koloreaZenbakia_iragarri zerbitzua deitu da.")
162
163     # Argazkia ateria
164     self.nodoa_kudeatu('kamera_argitaratzzailea', Transition.TRANSITION_CONFIGURE)
165     Kamera aktibatu
166     request_argazkia = Argazkia.Request()
167     Argazkia zerbitzu eskaeraren mezua sortu
168     future = self.argazkia_bezeroa.call_async(request_argazkia)
169     rclpy.spin_until_future_complete(self, future)
170     argazkia = future.result()
171     self.nodoa_kudeatu('kamera_argitaratzzailea', Transition.TRANSITION_CLEANUP)
172
173     # Argazkia iragarri
174     if argazkia.image is None:
175         self.get_logger().error("No hay frame disponible para procesar")
176         response.kolorea = -1
177         response.zenbakia = -1
178         return response
179
180     # Convertir sensor_msgs/Image a imagen OpenCV
181     cv_image = self.bridge.imgmsg_to_cv2(argazkia.image, desired_encoding="bgr8")
182     frame = cv2.flip(cv_image, 1)
183     zoom_frame = self.zoom_center(frame, escala=0.57)
184     altura_zoom = zoom_frame.shape[0]
185     recorte_vertical = zoom_frame[:int(altura_zoom * 0.70), :]
186     ancho_recorte = recorte_vertical.shape[1]
187     izquierda = int(ancho_recorte * 0.20)
188     derecha = int(ancho_recorte * 0.80)
189     final_frame = recorte_vertical[:, izquierda:derecha]
190     final_frame = cv2.flip(final_frame, 1)
191
192     final_hsv = cv2.cvtColor(final_frame, cv2.COLOR_BGR2HSV)

```

```

193     blue_lower_bound = np.array([80, 50, 50])
194     blue_upper_bound = np.array([130, 255, 255])
195     red_lower_bound1 = np.array([0, 100, 100])
196     red_upper_bound1 = np.array([10, 255, 255])
197     red_lower_bound2 = np.array([160, 100, 100])
198     red_upper_bound2 = np.array([180, 255, 255])
199
200     blue_mask = cv2.inRange(final_hsv, blue_lower_bound, blue_upper_bound)
201     red_mask1 = cv2.inRange(final_hsv, red_lower_bound1, red_upper_bound1)
202     red_mask2 = cv2.inRange(final_hsv, red_lower_bound2, red_upper_bound2)
203     red_mask = cv2.bitwise_or(red_mask1, red_mask2)
204
205     blue_contours, _ = cv2.findContours(blue_mask.copy(), cv2.RETR_EXTERNAL, cv2.
206                                         CHAIN_APPROX_SIMPLE)
207     red_contours, _ = cv2.findContours(red_mask.copy(), cv2.RETR_EXTERNAL, cv2.
208                                         CHAIN_APPROX_SIMPLE)
209
210     detected = False
211     color_detected = "Ninguno"
212     predicted_number = "NaN"
213
214     self.get_logger().error("Antes de contornos")
215
216     for contour in blue_contours:
217         x, y, w, h = cv2.boundingRect(contour)
218         if 150 <= w <= 300 and 200 <= h <= 350:
219             color_detected = "Azul"
220             cropped_image = final_frame[y:y + h, x:x + w]
221             preprocessed_img = self.load_and_preprocess_image(cropped_image)
222             predicted_number = self.predic_digit(self.model, preprocessed_img, self.
223             .class_labels)
224             detected = True
225             break
226
227     if not detected:
228         for contour in red_contours:
229             x, y, w, h = cv2.boundingRect(contour)
230             if 150 <= w <= 300 and 200 <= h <= 350:
231                 color_detected = "Rojo"
232                 cropped_image = final_frame[y:y + h, x:x + w]
233                 preprocessed_img = self.load_and_preprocess_image(cropped_image)
234                 predicted_number = self.predic_digit(self.model, preprocessed_img,
235                 self.class_labels)
236                 detected = True
237                 break
238
239     # Convertir sensor_msgs/Image a imagen OpenCV
240     try:
241         # Guarda la imagen en un fichero (por ejemplo, "capturada.jpg")
242         filename = "capturadaWrapper.jpg"
243         if cv2.imwrite(filename, cv_image):
244             self.get_logger().info(f"Imagen guardada en {filename}")
245         except CvBridgeError as e:
246             self.get_logger().error("Error al convertir la imagen: {}".format(e))
247
248         self.get_logger().info(f"Detección -> Color: {color_detected}, Número: {predicted_number}")
249         # Mostrar la imagen usando OpenCV
250
251         color_val = {"Azul": 1, "Rojo": 2}.get(color_detected, -1)
252
253         try:
254             number_val = int(predicted_number) if predicted_number != "NaN" else -1
255         except Exception as e:
256             self.get_logger().error(f"Error al parsear el dígito: {e}")
257             number_val = -1
258
259         self.get_logger().info(f"Detección -> Color: {color_detected} ({color_val}), Número: {predicted_number} ({number_val})")
260
261

```

```

257     response.kolorea = color_val
258     response.zenbakia = number_val
259     return response
260 #####
261 #####
262 #####
263 #####
264 #####
265 #####
266 #####
267 #####
268 #####
269 #####
270 #####
271 #####
272 #####
273 #####
274 #####
275 #####
276 #####
277 #####
278 #####
279 #####
280 #####
281 #####
282 #####
283 #####
284 #####
285 #####
286 #####
287 #####
288 #####
289 #####
290 #####
291 #####
292 #####
293 #####
294 #####
295 #####
296 #####
297 #####
298 #####
299 #####
300 #####
301 #####
302 #####
303 #####
304 #####
305 #####
306 #####
307 #####
308 #####
309 #####
310 #####
311 #####
312 #####
313 #####
314 #####
315 #####
316 #####
317 #####
318 #####
319 #####

```

**Código 10.31:** Código del nodo *pertzepzio\_proba\_wrapper*.

## **Wrapper de la prueba de control**

```

67
68
69     self.nodoa_kudeatu('motorrak_roboclaw', Transition.TRANSITION_CONFIGURE) # Motorrak konfiguratu
70     self.nodoa_kudeatu('motorrak_roboclaw', Transition.TRANSITION_ACTIVATE) # Motorrak aktibatu
71     self.nodoa_kudeatu('servoak', Transition.TRANSITION_CONFIGURE) # Servoak konfiguratu
72     self.nodoa_kudeatu('servoak', Transition.TRANSITION_ACTIVATE) # Servoak aktibatu
73     self.nodoa_kudeatu('lidar_argitaratzalea', Transition.TRANSITION_CONFIGURE) # Kamera aktibatu
74     self.nodoa_kudeatu('lidar_argitaratzalea', Transition.TRANSITION_ACTIVATE) # Lidar aktibatu
75
76     self.servoak_kokatu(self.servo_posizioak_kalkulatu(0))
77     self.motorrak_mugitu()
78     self.get_logger().info('/kontrola_proba_wrapper nodoa hasita')
79
80
81 ##### LIFE CYCLE nodoen trantzisioak kudeatzeko
82 # LIFECYCLE nodoen egoera kudeatzeko funtzioa
83 def nodoa_kudeatu(self, nodoa, transition_id):
84     # Lifecyle nodoen egoera kudeatzeko funtzioa
85     self.get_logger().info(f'{nodoa}/change_state')
86     self.change_state = self.create_client(ChangeState, f'{nodoa}/change_state')
87     while not self.change_state.wait_for_service(timeout_sec=1.0):
88         self.get_logger().info(f'{nodoa}/change_state zerbitzua prest egoteko zain
...')

89     request = ChangeState.Request()
90     request.transition.id = transition_id
91     future = self.change_state.call_async(request)
92     rclpy.spin_until_future_complete(self, future)
93     if future.result() is not None:
94         self.get_logger().info(f'Trantsizioa ongi burutu da: {nodoa}, {transition_id}')
95     else:
96         self.get_logger().error('Errorea trantsizioa egitean.')
97
98 #####
99 # MUGIMENDUAREN LAGUNTZA FUNTZIOAK
100 def servoak_kokatu(self, angeluak):
101     # Servomotorrak kokatu
102     msg = ServoakMugitu()
103     msg.angeluak = angeluak # 360°-ko biraketa egiteko behar diren servomotorren
104     angeluak
105     self.servo_publisher.publish(msg)
106     self.get_logger().info(f'Servoak posizio egokira mugitzeko /servoak_mugitu
107 topikoan argitaratuta: {msg.angeluak}')

108 def motorrak_mugitu(self, abiadura=[-20, 20, -20, 20, -20, 20]):
109     # Motorrak mugitu
110     msg = MotorrakMugitu()
111     abiadura =[self.vel*(-1), self.vel, self.vel*(-1), self.vel, self.vel*(-1),
112     self.vel]
113     msg.abiadurak = abiadura
114     self.motor_publisher.publish(msg)
115     self.get_logger().info(f'motorrak mugitzeko /motorrak_mugitu topikoan
116 argitaratutako abiadurak: {msg.abiadurak}')

117     return True

118 def servo_posizioak_kalkulatu(self, desired_turn_angle):
119     if desired_turn_angle > 90:
120         desired_turn_angle = 90
121     elif desired_turn_angle < -90:
122         desired_turn_angle = -90
123
124

```

```

125     self.get_logger().info(f'DESIRED: {desired_turn_angle}')
126
127     servo_angles = [0] * 4
128     servo_angles[0] = 15 #int(max(0, 15 + (desired_turn_angle / 90) * (60 - 15)))
129     servo_angles[1] = int(max(0, 140 - (desired_turn_angle / 90) * (140 - 120)))
130     servo_angles[2] = int(max(0, 25 - (desired_turn_angle / 90) * (25 - 0)))
131     servo_angles[3] = 145 #int(max(0, 145 + (desired_turn_angle / 90) * (180 - 145))
132
133     self.get_logger().info(f'{servo_angles}')
134
135     return servo_angles
136 #####
137
138 #####
139 ##### # LIDAR harpidetza (LIDAR SUBSCRIBER)
140
141 def lidar_callback(self, msg):
142     if self.mugitzen:
143         self.lidar_datuak = msg
144         self.angeluak = np.linspace(msg.angle_min, msg.angle_max, len(msg.ranges))
145         self.ranges = np.nan_to_num(np.array(msg.ranges))
146         self.ranges[self.ranges < 0.0011] = 1e6
147         self.ranges[self.ranges > 8.0] = 8.0
148
149         correccion = self.norabidea_kalkulatu()
150         servo_angles = self.servo_posizioak_kalkulatu(correcion)
151         self.servoak_kokatu(servo_angles)
152 #####
153
154 #####
155 ##### # PID
156
157 def norabidea_kalkulatu(self):
158
159     #Eskuina
160     angle_start = self.eskuina_angeluak_lidar[0] #-90
161     angle_end = self.eskuina_angeluak_lidar[1] #-67.5 #45
162     start_index = int((angle_start - self.lidar_datuak.angle_min) / self.
163     lidar_datuak.angle_increment)
164     end_index = int((angle_end - self.lidar_datuak.angle_min) / self.lidar_datuak.
165     angle_increment)
166     sublista = self.ranges[start_index:end_index+1]
167     min_right = np.argmin(self.ranges[start_index:end_index+1])
168     distanciaDerecha = sublista[min_right]
169
170     #Ezkerra
171     angle_start = self.ezkerra_angeluak_lidar[0] #157.5 #135
172     angle_end = self.ezkerra_angeluak_lidar[1] #180
173     start_index = int((angle_start - self.lidar_datuak.angle_min) / self.
174     lidar_datuak.angle_increment)
175     end_index = int((angle_end - self.lidar_datuak.angle_min) / self.lidar_datuak.
176     angle_increment)
177     sublista = self.ranges[start_index:end_index+1]
178     min_left = np.argmin(self.ranges[start_index:end_index+1])
179     distanciaIzquierda = sublista[min_left]
180
181     #Aurrera
182     angle_start = self.aurrera_angeluak_lidar[0] #-180
183     angle_end = self.aurrera_angeluak_lidar[1] #-90
184     start_index = int((angle_start - self.lidar_datuak.angle_min) / self.
185     lidar_datuak.angle_increment)
186     end_index = int((angle_end - self.lidar_datuak.angle_min) / self.lidar_datuak.
187     angle_increment)
187     sublista = self.ranges[start_index:end_index+1]
188     min_front = np.argmin(self.ranges[start_index:end_index+1])
189     distanciaFrente = sublista[min_front]
190
191     self.get_logger().info(f'Distancia derecha: {distanciaDerecha}')
192     self.get_logger().info(f'Distancia frente: {distanciaFrente}')

```

```
188     self.get_logger().info(f'Distancia izquierda: {distanciaIzquierda}')
189
190     # Calcular la corrección PID
191     error = (distanciaIzquierda - distanciaDerecha)
192     d = error - self.last_error
193     i = self.integral + error
194     correccion = (error * (self.kp) + i * (self.ki) + d * (self.kd)) * (-1)
195
196     self.get_logger().info(f'ERROR: {error}')
197     self.get_logger().info(f'CORRECCIÓN: {correcion}\n')
198
199 ##########
200 ######
#SAVE FOR TFG
201 # Ruta del archivo donde se guardarán los datos
202 archivo = f"performance_{self.nombre}_{self.kp}_{self.ki}_{self.kd}_{self.vel}.csv"
203
204 # Abrir el archivo en modo escritura (o crear si no existe)
205 with open(archivo, mode='a', newline='') as file:
206     escritor = csv.writer(file)
207
208     # Escribir encabezados solo si el archivo está vacío
209     if file.tell() == 0:
210         escritor.writerow(["Error", "Correccion", "CorrecionEscalado",
211 "DistanciaFrente", "DistanciaDerecha", "DistanciaIzquierda", "Timestamp"])
212
213     timestamp = datetime.now().strftime("%Y-%m-%d %H:%M:%S.%f")[:-3]
214     valores = [error, correccion, distanciaFrente, distanciaDerecha,
215     distanciaIzquierda, timestamp]
216     escritor.writerow(valores)
217
218     #SAVE FOR TFG
219 ##########
220
221
222 def main(args=None):
223     rclpy.init(args=args)
224     node = KontrolProbaWrapper()
225     executor = MultiThreadedExecutor()
226     executor.add_node(node)
227     executor.spin()
228     node.destroy_node()
229     rclpy.shutdown()
230
231 if __name__ == '__main__':
232     main()
```

**Código 10.32:** Código del nodo *kontrol\_proba\_wrapper*.

## Prueba de percepción

```

1 ##########
2 # ROS2 imports...
3 import rclpy
4 from rclpy.node import Node
5 from rclpy.action import ActionClient
6 from lifecycle_msgs.srv import ChangeState
7
8 from bilbotiks_interfazeak.srv import KoloreaZenbakia
9 from bilbotiks_interfazeak.action import Bira360
10 #####
11
12 #####
13 class PertzepzioProba(Node):
14     def __init__(self):
15         super().__init__('pertzepzio_proba')
16
17         # Cliente de servicio
18         self.cli_zerbitzua = self.create_client(KoloreaZenbakia, 'koloreaZenbakia_iragarri')
19
20         # Esperar hasta que el servicio esté disponible
21         while not self.cli_zerbitzua.wait_for_service(timeout_sec=1.0):
22             self.get_logger().info('KoloreaZenbakia zerbitzua itxaroten...')
23
24         # Cliente de acción
25         self.cli_ekintza = ActionClient(self, Bira360, 'pertzepzio_proba_360bira')
26
27     def zerbitzua_deitu(self):
28         # Solicitar servicio
29         request = KoloreaZenbakia.Request()
30
31         future = self.cli_zerbitzua.call_async(request)
32         rclpy.spin_until_future_complete(self, future)
33
34         if future.result() is not None:
35             self.get_logger().info(f'Zerbitzuaren erantzuna: {future.result().zenbakia}, {future.result().kolorea}')
36         else:
37             self.get_logger().error('Errorea zerbitzua deitutakoan')
38
39         return future.result().kolorea, future.result().zenbakia
40
41     def ekintza_deitu(self, norabidea, bira_kopurua):
42         # Llamar a la acción
43         self.get_logger().info(f'{bira_kopurua} bira {"eskuinara" if norabidea == 1 else "ezkerretara"} egiteko ekintza deitu')
44
45         goal_msg = Bira360.Goal()
46         goal_msg.noranzkoa = norabidea # 1 para derecha, 0 para izquierda
47         goal_msg.zenbakia = bira_kopurua # Número de bira_kopurua
48
49         # Llamar a la acción y esperar la respuesta
50         self.cli_ekintza.wait_for_server()
51
52         # Enviar la solicitud de acción
53         future = self.cli_ekintza.send_goal_async(goal_msg)
54         rclpy.spin_until_future_complete(self, future)
55
56         if future.result():
57             self.get_logger().info(f'Ekintza arrakastaz bidalita: {future.result()}')
58         else:
59             self.get_logger().error('Errorea ekintza bidalitakoan')
60
61         # Asignar el resultado del future a goal_handle
62         goal_handle = future.result()
63         if not goal_handle.accepted:
64

```

```
65         self.get_logger().error('El objetivo no fue aceptado por el servidor de
66 acciones.')
67         return
68
69     self.get_logger().info('Objetivo aceptado. Esperando resultado...')

70     # Esperar al resultado de la acción
71     result_future = goal_handle.get_result_async()
72     rclpy.spin_until_future_complete(self, result_future)

73     result = result_future.result()
74     if result is not None:
75         self.get_logger().info(f'Resultado de la acción: {result.result}')
76     else:
77         self.get_logger().error('No se recibió el resultado de la acción.')
78 #####
79
80
81 def main(args=None):
82     rclpy.init(args=args)
83     bezeroa = PertzepzioProba()
84
85     # Kolorea eta zenbakia iragarri
86     kolorea, zenbakia = bezeroa.zerbitzua_deitu()

87     # Bira egin (kolorea 1: eskuina; kolorea 2: ezkerra)
88     if kolorea == 2:
89         norabidea = True
90     elif kolorea == 1:
91         norabidea = False
92     else:
93         bezeroa.destroy_node()
94         rclpy.shutdown()
95     bezeroa.ekintza_deitu(norabidea=norabidea, bira_kopurua=zenbakia)

96     # Nodoa amaitu
97     bezeroa.destroy_node()
98     rclpy.shutdown()

99
100
101 if __name__ == '__main__':
102     main()
```

**Código 10.33:** Código del nodo *pertzepzio\_proba*.

## II.8. Interfaces gráficas

### Interfaz gráfica de la prueba de percepción

```

1  #!/usr/bin/env python3
2  import rclpy
3  from rclpy.node import Node
4  import cv2
5  import pygame
6  import numpy as np
7
8  # Asegúrate de que el paquete bilbotiks_interfazeak esté en tu path de ROS2
9  from bilbotiks_interfazeak.msg import Pertzepzioa
10
11 class CombinedDisplayNode(Node):
12     def __init__(self):
13         super().__init__('combined_display_node')
14         self.get_logger().info('Nodo combined_display_node iniciado.')
15
16         # Variables para recoger los 4 datos (aunque solo se muestran 2)
17         self imu = 0
18         self.emandako_birak = 0 # Se recoge pero no se visualiza
19         self.bira_totalak = 0
20         self.norabidea = 0 # Se usará para definir el color de "Vueltas totales"
21
22         # Suscripción para recibir mensajes del tópico de sensores
23         self.create_subscription(
24             Pertzepzioa,
25             '/pertzepzioa_pantaila',
26             self.sensor_callback,
27             10
28         )
29
30         # Inicialización de la cámara
31         self.cap = cv2.VideoCapture(0)
32         if not self.cap.isOpened():
33             self.get_logger().error("Error: no se pudo acceder a la cámara")
34             rclpy.shutdown()
35             return
36
37         # Configuración de Pygame:
38         pygame.init()
39         # Ventana de 1280x400 dividida en 3 columnas: izquierda (datos), central (cámara) y derecha (datos)
40         self.width, self.height = 1280, 400
41         self.col_width = self.width // 3
42         self.screen = pygame.display.set_mode((self.width, self.height), pygame.FULLSCREEN)
43         pygame.display.set_caption("Combined Display: Webcam y Datos Sensor")
44         self.clock = pygame.time.Clock()
45         self.fullscreen = True # Bandera para alternar pantalla completa
46
47         # Nuevos tamaños de fuentes:
48         # - Fuente para los labels descriptivos: 54 puntos (50% mayor que 36)
49         # - Fuente para los datos: 120 puntos (100% mayor que 60)
50         self.font_small = pygame.font.SysFont("Arial", 54)
51         self.font_big = pygame.font.SysFont("Arial", 120)
52
53     def sensor_callback(self, msg: Pertzepzioa):
54         # Actualizamos todas las variables con los datos recibidos
55         self imu = msg imu
56         self.emandako_birak = msg.emandako_birak # Recogido pero no se muestra
57         self.bira_totalak = msg.bira_totalak
58         self.norabidea = msg.norabidea
59
60     def run(self):
61         running = True
62         while rclpy.ok() and running:

```

```

63         # Procesamos eventos de Pygame para permitir cierre y alternar fullscreen
64         for event in pygame.event.get():
65             if event.type == pygame.QUIT:
66                 running = False
67             elif event.type == pygame.KEYDOWN:
68                 if event.key == pygame.K_ESCAPE:
69                     if self.fullscreen:
70                         self.screen = pygame.display.set_mode((self.width, self.
71 height))
72                         self.fullscreen = False
73                     else:
74                         self.screen = pygame.display.set_mode((self.width, self.
75 height), pygame.FULLSCREEN)
76                         self.fullscreen = True
77
78             # Leer y procesar el frame de la cámara para la columna central
79             ret, frame = self.cap.read()
80             if not ret:
81                 self.get_logger().error("Error: no se pudo leer la imagen de la cámara")
82             running = False
83             break
84
85             webcam_frame = cv2.resize(frame, (self.col_width, self.height))
86             webcam_frame = cv2.cvtColor(webcam_frame, cv2.COLOR_BGR2RGB)
87             frame_surface = pygame.surfarray.make_surface(np.rot90(webcam_frame))
88
89             # Componer la ventana:
90             self.screen.fill((0, 0, 0))
91             # Columna izquierda: fondo blanco
92             left_rect = pygame.Rect(0, 0, self.col_width, self.height)
93             pygame.draw.rect(self.screen, (255, 255, 255), left_rect)
94             # Columna central: fondo negro (para la cámara)
95             center_rect = pygame.Rect(self.col_width, 0, self.col_width, self.height)
96             pygame.draw.rect(self.screen, (0, 0, 0), center_rect)
97             # Columna derecha: fondo blanco
98             right_rect = pygame.Rect(2 * self.col_width, 0, self.col_width, self.height)
99
100            pygame.draw.rect(self.screen, (255, 255, 255), right_rect)
101
102            # Mostrar la imagen de la cámara en la columna central
103            self.screen.blit(frame_surface, (self.col_width, 0))
104
105            # Reposicionar los textos en las columnas laterales:
106            # En cada columna el grupo (descriptivo + dato) se centra verticalmente en
107            # 200.
108            # Se posiciona el label descriptivo más arriba para evitar solapamiento.
109            # Por ejemplo, en la columna izquierda:
110            left_center_x = self.col_width // 2
111            imu_label_text = self.font_small.render("IMU", True, (0, 0, 0))
112            # Ubicamos el label descriptivo en y = 100 (más arriba)
113            imu_label_rect = imu_label_text.get_rect(center=(left_center_x, 100))
114            imu_value_text = self.font_big.render(str(self imu), True, (0, 0, 0))
115            # Ubicamos el dato en y = 300 (más abajo)
116            imu_value_rect = imu_value_text.get_rect(center=(left_center_x, 300))
117            self.screen.blit(imu_label_text, imu_label_rect)
118            self.screen.blit(imu_value_text, imu_value_rect)
119
120            # En la columna derecha (para "Vueltas totales"):
121            right_center_x = 2 * self.col_width + (self.col_width // 2)
122            vueltas_label_text = self.font_small.render("Vueltas totales", True, (0, 0,
123 0))
124            vueltas_label_rect = vueltas_label_text.get_rect(center=(right_center_x,
125 100))
126            vueltas_color = (255, 0, 0) if self.norabidea == 0 else (0, 0, 255)
127            vueltas_value_text = self.font_big.render(str(self.bira_totalak), True,
128 vueltas_color)
129            vueltas_value_rect = vueltas_value_text.get_rect(center=(right_center_x,
130 300))
131            self.screen.blit(vueltas_label_text, vueltas_label_rect)

```

```
124         self.screen.blit(vueltas_value_text, vueltas_value_rect)
125
126     pygame.display.flip()
127     self.clock.tick(30)  # Limitar a 30 FPS
128
129     # Permitir procesar callbacks ROS sin bloquear
130     rclpy.spin_once(self, timeout_sec=0.001)
131
132     self.cap.release()
133     pygame.quit()
134
135 def main(args=None):
136     rclpy.init(args=args)
137     node = CombinedDisplayNode()
138     try:
139         node.run()
140     except KeyboardInterrupt:
141         node.get_logger().info("Interrupción por el usuario")
142     finally:
143         node.destroy_node()
144         rclpy.shutdown()
145
146 if __name__ == '__main__':
147     main()
```

**Código 10.34:** Código del nodo de la interfaz gráfica de la prueba de percepción.

## Interfaz gráfica de la prueba de control

```

1 #!/usr/bin/env python3
2  import rclpy
3  from rclpy.lifecycle import LifecycleNode, TransitionCallbackReturn, LifecycleState
4  import tkinter as tk
5  import sys
6  from bilbotiks_interfazeak.msg import Kontrola
7
8  class KontrolPantaila(LifecycleNode):
9      def __init__(self):
10          super().__init__('kontrol_pantaila')
11          self.get_logger().info("/kontrol_pantaila nodoa IN constructor")
12
13          # Jasoko diren datuak gordetzeako aldagaiak
14          self.ezker_distantzia = 0
15          self.aurreko_distantzia = 0
16          self.eskuin_distantzia = 0
17
18          # tkinter leihoak eta etiketak
19          self.window = None
20          self.label_dato1 = None
21          self.label_dato2 = None
22          self.label_dato3 = None
23
24          # Etiquetas descriptivas
25          self.label_ezkerra = None
26          self.label_aurre = None
27          self.label_eskuina = None
28
29          # Timer para actualizar la ventana Tkinter
30          self.timer = None
31
32          # Suscripción al tópico (se crea en on_configure)
33          self.subscription = None
34
35          self.is_activate = False
36
37      def on_configure(self, state: LifecycleState):
38          self.get_logger().info("/kontrol_pantaila nodoa IN on_configure")
39          try:
40              # Crear la ventana principal y ajustar la geometría para disponer de dos
41              # filas
42              self.window = tk.Tk()
43              self.window.geometry("600x150")
44              self.window.title("Kontrol probaren pantaila")
45              self.window.configure(bg="white")
46
47              # Configurar las columnas para que se distribuyan de forma homogénea
48              self.window.columnconfigure(0, weight=1)
49              self.window.columnconfigure(1, weight=1)
50              self.window.columnconfigure(2, weight=1)
51
52              # Fuente para el texto en la interfaz
53              label_font = ("Arial", 20)
54
55              # Fila 0: mostrar los datos
56              self.label_dato1 = tk.Label(self.window, text="0", font=label_font, bg="white",
57                                         fg="black")
58              self.label_dato1.grid(row=0, column=0, padx=10, pady=5)
59
60              self.label_dato2 = tk.Label(self.window, text="0", font=label_font, bg="white",
61                                         fg="black")
62              self.label_dato2.grid(row=0, column=1, padx=10, pady=5)
63
64              # En la columna derecha se mostrará el dato con color variable
65              self.label_dato3 = tk.Label(self.window, text="0", font=label_font, bg="white",
66                                         fg="black")
67              self.label_dato3.grid(row=0, column=2, padx=10, pady=5)

```

```

65     # Fila 1: etiquetas descriptivas para identificar cada dato
66     descr_font = ("Arial", 14)
67     self.label_ezkerra = tk.Label(self.window, text="Izquierda", font=
68     descr_font, bg="white", fg="black")
69     self.label_ezkerra.grid(row=1, column=0, padx=10, pady=2)
70
71     self.label_aurre = tk.Label(self.window, text="Frente", font=descr_font, bg
72 = "white", fg="black")
73     self.label_aurre.grid(row=1, column=1, padx=10, pady=2)
74
75     self.label_eskuina = tk.Label(self.window, text="Derecha", font=descr_font,
76     bg="white", fg="black")
77     self.label_eskuina.grid(row=1, column=2, padx=10, pady=2)
78
79     # Configurar el cierre de la ventana para liberar recursos
80     self.window.protocol("WM_DELETE_WINDOW", self._on_window_close)
81
82     # Crear la suscripción al tópico /pertzepzioa_pantaila
83     self.subscription = self.create_subscription(
84         Kontrola,
85         '/kontrol_pantaila',
86         self.subscription_callback,
87         10
88     )
89     except Exception as e:
90         self.get_logger().error("Error al configurar tkinter o la suscripción: " +
91     str(e))
92         return TransitionCallbackReturn.FAILURE
93
94     self.get_logger().info("Interfaz y suscripción configuradas correctamente")
95     return TransitionCallbackReturn.SUCCESS
96
97     def subscription_callback(self, msg):
98         if self.is_activate:
99             # Actualizar los datos a partir del mensaje recibido.
100             # Se asume que el mensaje Pertzepzioa tiene los atributos: imu,
101             emandako_birak, bira_totalak y norabidea.
102             self.ezker_distantzia = round(msg.ezker_distantzia, 2)
103             self.aurreko_distantzia = round(msg.aurreko_distantzia, 2)
104             self.eskuin_distantzia = round(msg.eskuin_distantzia, 2)
105
106             # Actualizar las etiquetas con los datos
107             self.label_dato1.config(text=f"{self.ezker_distantzia}")
108             self.label_dato2.config(text=f"{self.aurreko_distantzia}")
109             self.label_dato3.config(text=f"{self.eskuin_distantzia}")
110
111             # La línea de log se puede descomentar para visualizar la info recibida
112             # self.get_logger().info(f"Mensaje recibido: {self.ezker_distantzia}, {self.
113             aurreko_distantzia}, {self.eskuin_distantzia} (norabidea: {self.norabidea})")
114
115     def _on_window_close(self):
116         self.get_logger().info("Leihoa ixteko eskatu da.")
117         if self.window:
118             self.window.destroy()
119             rclpy.shutdown()
120             sys.exit(0)
121
122     def on_activate(self, state: LifecycleState):
123         self.get_logger().info("/kontrol_pantaila nodoa IN on_activate")
124         self.is_activate = True
125         # Crear un timer para refrescar la ventana (por ejemplo, 30 fps)
126         if self.timer is None:
127             self.timer = self.create_timer(1 / 30.0, self.timer_callback)
128         return TransitionCallbackReturn.SUCCESS
129
130     def timer_callback(self):
131         # Actualizar la ventana de tkinter para reflejar los cambios realizados en la
132         # suscripción
133         if self.window:
134

```

```
128     try:
129         self.window.update_idletasks()
130         self.window.update()
131     except tk.TclError:
132         pass
133
134     def on_deactivate(self, state: LifecycleState):
135         self.get_logger().info("/kontrol_pantaila nodoa IN on_deactivate")
136         self.is_activate = False
137         if self.timer is not None:
138             self.timer.cancel()
139             self.timer = None
140
141     return TransitionCallbackReturn.SUCCESS
142
143     def on_cleanup(self, state: LifecycleState):
144         self.get_logger().info("/kontrol_pantaila nodoa IN on_cleanup")
145         if self.window:
146             self.window.destroy()
147             self.window = None
148
149     return TransitionCallbackReturn.SUCCESS
150
151     def on_shutdown(self, state: LifecycleState):
152         self.get_logger().info("/kontrol_pantaila nodoa IN on_shutdown")
153
154     def main(args=None):
155         rclpy.init(args=args)
156         interface_node = KontrolPantaila()
157         try:
158             rclpy.spin(interface_node)
159         except KeyboardInterrupt:
160             interface_node.get_logger().info("Erabiltzaileak nodoa gelditu du.")
161         finally:
162             interface_node.destroy_node()
163             rclpy.shutdown()
164
165     if __name__ == '__main__':
166         main()
```

**Código 10.35:** Código del nodo de la interfaz gráfica de la prueba de control.

## Interfaz gráfica de la cara

```

1 import rclpy
2 from rclpy.lifecycle import LifecycleNode, LifecycleState, TransitionCallbackReturn
3 from bilbotiks_interfazeak.msg import Aurpegia # Usamos el mensaje tal como está
4 import pygame
5 import sys
6 import random
7
8 class AurpegiaPantaila(LifecycleNode):
9     def __init__(self):
10         super().__init__('aurpegia')
11         self.get_logger().info("Constructor de AurpegiaPantaila")
12
13         # Variables que se inicializarán en on_configure
14         self.screen = None
15         self.WIDTH = None
16         self.HEIGHT = None
17         self.clock = None
18         self.blink_timer = 0
19         self.eyes_closed = False
20         self.min_open_time = 500 # ms
21         self.max_open_time = 2000 # ms
22         self.closed_time = 150 # ms
23         self.next_blink_interval = None
24
25         # Dirección que se selecciona a partir de los mensajes, por defecto "center"
26         self.desired_direction = "center" # Puede ser "center", "left" o "right"
27
28         # Referencias a los sprites (se cargarán en on_configure)
29         self.left_eye_open = None
30         self.left_eye_closed = None
31         self.right_eye_open = None
32         self.right_eye_closed = None
33
34         self.left_eye_left = None
35         self.right_eye_left = None
36         self.left_eye_right = None
37         self.right_eye_right = None
38
39         self.smile = None
40         self.smile_left = None
41         self.smile_right = None
42
43         # Posiciones en pantalla de los sprites
44         self.left_eye_pos = (200, 150)
45         self.right_eye_pos = (500, 150)
46         self.smile_pos = (300, 300)
47
48         # Banderas y apuntadores para la suscripción y el timer
49         self.deactivated = False # Controla si se pausa la animación/
50         self.blinking
51         self.subscription_active = False # Controla si se deben procesar mensajes (on_activate)
52         self.subscription = None
53         self.timer = None
54
55     def on_configure(self, state: LifecycleState):
56         self.get_logger().info("AurpegiaPantaila en on_configure - Configurando ventana y sprites")
57         # Inicializar Pygame y configurar la ventana
58         pygame.init()
59         self.WIDTH, self.HEIGHT = 800, 600
60         self.screen = pygame.display.set_mode((self.WIDTH, self.HEIGHT))
61         pygame.display.set_caption("AurpegiaPantaila: Cara del Robot")
62
63         # En este ejemplo se usa una ruta absoluta para cargar los recursos instalados.
64         # Puedes ajustar la forma en que se obtiene la ruta, por ejemplo usando
65         # pkg_resources o importlib.resources.

```

```

64     path = '/home/javierac/mounted/moverRover/bilbotiks_lifecycle_ws/install/
65     bilbotiks_pantaila/lib/python3.10/site-packages/bilbotiks_pantaila/aurpegia_irudiak
66
67     # Cargar los sprites de los ojos y la boca
68     try:
69         self.left_eye_open = pygame.image.load(f"{path}/izquierda_abierto.png").
70         convert_alpha()
71         self.left_eye_closed = pygame.image.load(f"{path}/izquierda_cerrado.png").
72         convert_alpha()
73         self.right_eye_open = pygame.image.load(f"{path}/derecha_abierto.png").
74         convert_alpha()
75         self.right_eye_closed = pygame.image.load(f"{path}/derecha_cerrado.png").
76         convert_alpha()
77
78         # Sprites para mirar a los lados
79         self.left_eye_left = pygame.image.load(f"{path}/mirar_izquierda_trans.png").
80         convert_alpha()
81         self.right_eye_left = pygame.image.load(f"{path}/mirar_izquierda_trans.png".
82         convert_alpha()
83         self.left_eye_right = pygame.image.load(f"{path}/mirar_derecha_trans.png").
84         convert_alpha()
85         self.right_eye_right = pygame.image.load(f"{path}/mirar_derecha_trans.png").
86         convert_alpha()
87
88         # Cargar los sprites de la boca
89         self.smile = pygame.image.load(f"{path}/smile.png").convert_alpha()
90         self.smile_left = pygame.image.load(f"{path}/smile_izquierda.png").
91         convert_alpha()
92         self.smile_right = pygame.image.load(f"{path}/smile_derecha.png").
93         convert_alpha()
94     except Exception as e:
95         self.get_logger().error(f"Error al cargar sprites: {e}")
96         return TransitionCallbackReturn.FAILURE
97
98     # Escalar los sprites
99     eye_size = (100, 100)
100    self.left_eye_open = pygame.transform.scale(self.left_eye_open, eye_size)
101    self.left_eye_closed = pygame.transform.scale(self.left_eye_closed, eye_size)
102    self.right_eye_open = pygame.transform.scale(self.right_eye_open, eye_size)
103    self.right_eye_closed = pygame.transform.scale(self.right_eye_closed, eye_size)
104    self.left_eye_left = pygame.transform.scale(self.left_eye_left, eye_size)
105    self.right_eye_left = pygame.transform.scale(self.right_eye_left, eye_size)
106    self.left_eye_right = pygame.transform.scale(self.left_eye_right, eye_size)
107    self.right_eye_right = pygame.transform.scale(self.right_eye_right, eye_size)
108
109    smile_size = (200, 100)
110    self.smile = pygame.transform.scale(self.smile, smile_size)
111    self.smile_left = pygame.transform.scale(self.smile_left, smile_size)
112    self.smile_right = pygame.transform.scale(self.smile_right, smile_size)
113
114    # Inicializar el reloj y el temporizador del parpadeo
115    self.clock = pygame.time.Clock()
116    self.blink_timer = 0
117    self.next_blink_interval = random.randint(self.min_open_time, self.
118    max_open_time)
119
120    self.get_logger().info("AurpegiaPantaila configurado correctamente")
121    return TransitionCallbackReturn.SUCCESS
122
123    def on_activate(self, state: LifecycleState):
124        self.get_logger().info("AurpegiaPantaila en on_activate")
125        # Activar tanto la animación como la suscripción
126        self.deactivated = False
127        self.subscription_active = True
128
129        # Crear la suscripción al tópico /aurpegia (con mensaje de tipo Aurpegia)
130        self.subscription = self.create_subscription(
131            Aurpegia,
132            '/aurpegia',
133

```

```

121         self.aurpegia_callback,
122         10
123     )
124     # Iniciar un timer para actualizar la animación (alrededor de 60 fps)
125     if self.timer is None:
126         self.timer = self.create_timer(1/60.0, self.timer_callback)
127     return TransitionCallbackReturn.SUCCESS
128
129 def aurpegia_callback(self, msg):
130     # Solo procesamos si la suscripción está activa
131     if not self.subscription_active:
132         return
133
134     """
135     Callback para actualizar la dirección según el valor recibido en msg.
136     begi_norabidea.
137     0 → "center", 1 → "left", 2 → "right".
138     """
139     valor = msg.bogi_norabidea
140     if valor == 0:
141         self.desired_direction = "center"
142     elif valor == 1:
143         self.desired_direction = "left"
144     elif valor == 2:
145         self.desired_direction = "right"
146     else:
147         self.get_logger().warn("Valor desconocido recibido, fijando a 'center'")
148         self.desired_direction = "center"
149     self.get_logger().info(f"Dirección actualizada a: {self.desired_direction}")
150
151 def timer_callback(self):
152     dt = self.clock.tick(60)
153     # Procesar eventos de Pygame para mantener la ventana responsive
154     for event in pygame.event.get():
155         if event.type == pygame.QUIT:
156             pygame.quit()
157             sys.exit()
158
159     # Si el nodo está activado (no desactivado), actualizamos el parpadeo;
160     # si está desactivado, mantenemos la imagen fija.
161     if not self.deactivated:
162         self.blink_timer += dt
163         if not self.eyes_closed:
164             if self.blink_timer > self.next_blink_interval:
165                 self.eyes_closed = True
166                 self.blink_timer = 0
167                 self.next_blink_interval = self.closed_time
168             else:
169                 if self.blink_timer > self.next_blink_interval:
170                     self.eyes_closed = False
171                     self.blink_timer = 0
172                     self.next_blink_interval = random.randint(self.min_open_time, self.
173 max_open_time)
174         else:
175             # En modo desactivado, forzamos un estado estático (por ejemplo, ojos
176             # abiertos)
177             self.eyes_closed = False
178
179     # Dibujar fondo y sprites según la dirección y el estado (blinking o estático)
180     self.screen.fill((135, 206, 235)) # Color azul cielo
181     if not self.eyes_closed:
182         if self.desired_direction == "center":
183             self.screen.blit(self.left_eye_open, self.left_eye_pos)
184             self.screen.blit(self.right_eye_open, self.right_eye_pos)
185         elif self.desired_direction == "left":
186             self.screen.blit(self.left_eye_left, self.left_eye_pos)
187             self.screen.blit(self.right_eye_left, self.right_eye_pos)
188         elif self.desired_direction == "right":
189             self.screen.blit(self.left_eye_right, self.left_eye_pos)
190             self.screen.blit(self.right_eye_right, self.right_eye_pos)

```

```
188     else:
189         self.screen.blit(self.left_eye_closed, self.left_eye_pos)
190         self.screen.blit(self.right_eye_closed, self.right_eye_pos)
191
192     # Seleccionar y dibujar la expresión de la boca según la dirección
193     if self.desired_direction == "center":
194         current_smile = self.smile
195     elif self.desired_direction == "left":
196         current_smile = self.smile_left
197     elif self.desired_direction == "right":
198         current_smile = self.smile_right
199
200     self.screen.blit(current_smile, self.smile_pos)
201     pygame.display.flip()
202
203     def on_deactivate(self, state: LifecycleState):
204         self.get_logger().info("AurpegiaPantaila en on_deactivate")
205         # En on_deactivate, la animación se pausa y la suscripción se inactiva
206         self.deactivated = True
207         self.subscription_active = False
208         self.subscription = None
209
210         return TransitionCallbackReturn.SUCCESS
211
212     def on_cleanup(self, state: LifecycleState):
213         self.get_logger().info("AurpegiaPantaila en on_cleanup")
214         self.subscription = None
215         # Si se destruye la ventana, se llama a pygame.quit()
216         self.screen = None
217         pygame.quit()
218
219     def on_shutdown(self, state: LifecycleState):
220         self.get_logger().info("AurpegiaPantaila en on_shutdown. Cerrando Pygame")
221
222     def main(args=None):
223         rclpy.init(args=args)
224         aurpegia_pantaila = AurpegiaPantaila()
225         try:
226             rclpy.spin(aurpegia_pantaila)
227         except KeyboardInterrupt:
228             aurpegia_pantaila.get_logger().info("Nodo interrumpido por el usuario")
229         finally:
230             aurpegia_pantaila.destroy_node()
231             rclpy.shutdown()
232
233
234     if __name__ == '__main__':
235         main()
```

**Código 10.36:** Código del nodo de la interfaz gráfica de la cara.

## II.9. Gemelo digital y simulación

### Gemelo digital de la IMU

```

1 import rclpy
2 from rclpy.lifecycle import LifecycleNode, LifecycleState, TransitionCallbackReturn
3 from bilbotiks_interfazeak.msg import Imu
4 import random
5 import math
6
7 class IMUArgitaratzalea(LifecycleNode):
8     def __init__(self):
9         super().__init__('imu_argitaratzalea')
10        self.publisher_ = None
11        self.timer_ = None
12
13        self.get_logger().info("imu_argitaratzalea nodoa IN constructor")
14
15    def on_configure(self, state: LifecycleState):
16        self.get_logger().info("imu_argitaratzalea nodoa IN on_configure")
17
18        # Modo simulación: No se inicializa hardware (I2C ni sensor real)
19        self.publisher_ = self.create_lifecycle_publisher(Imu, 'imu_datuak', 20)
20        self.timer_ = self.create_timer(0.1, self.publish_imu_data) # Cada 100ms
21
22    return TransitionCallbackReturn.SUCCESS
23
24    def on_cleanup(self, state: LifecycleState):
25        self.get_logger().info("imu_argitaratzalea nodoa IN on_cleanup")
26        self.destroy_lifecycle_publisher(self.publisher_)
27        self.destroy_timer(self.timer_)
28
29    return TransitionCallbackReturn.SUCCESS
30
31    def on_activate(self, state: LifecycleState):
32        self.get_logger().info("imu_argitaratzalea nodoa IN on_activate")
33        self.timer_.reset()
34        self.get_logger().info('Publicando datos de la IMU en /imu_datuak cada 100ms',
35        once=True)
36        return super().on_activate(state)
37
38    def on_deactivate(self, state: LifecycleState):
39        self.get_logger().info("imu_argitaratzalea nodoa IN on_deactivate")
40        self.timer_.cancel()
41
42    return super().on_deactivate(state)
43
44    def on_shutdown(self, state: LifecycleState):
45        self.get_logger().info("imu_argitaratzalea nodoa IN on_shutdown")
46
47    return TransitionCallbackReturn.SUCCESS
48
49    def publish_imu_data(self):
50        msg = Imu()
51
52        # Simulación de la temperatura (valor entero)
53        msg.temperatura = random.randint(-10, 40) # Ejemplo: rango entre -10 y +40 °C
54
55        # Simulación del magnetómetro (valores en float)
56        msg.magnetometroa.x = random.uniform(-100.0, 100.0)
57        msg.magnetometroa.y = random.uniform(-100.0, 100.0)
58        msg.magnetometroa.z = random.uniform(-100.0, 100.0)
59
60        # Simulación del giroscopio (valores en float)
61        msg.giroskopioa.x = random.uniform(-500.0, 500.0)
62        msg.giroskopioa.y = random.uniform(-500.0, 500.0)
63        msg.giroskopioa.z = random.uniform(-500.0, 500.0)
64
65        # Simulación de los ángulos Euler (valores float entre 0 y 360)
66        msg.euler_angeluak.x = random.uniform(0.0, 360.0)
67        msg.euler_angeluak.y = random.uniform(0.0, 360.0)

```

```
64     msg.euler_angeluak.z = random.uniform(0.0, 360.0)
65
66     # Simulación del cuaternión: genero 4 números aleatorios y los normalizo para
67     # obtener un cuaternión unitario
68     q = [random.uniform(-1.0, 1.0) for _ in range(4)]
69     norm = math.sqrt(sum(x * x for x in q))
70     q = [x / norm for x in q]
71     msg.kuaternioak.x = q[0]
72     msg.kuaternioak.y = q[1]
73     msg.kuaternioak.z = q[2]
74     msg.kuaternioak.w = q[3]
75
76     # Simulación de la aceleración lineal (valores en float)
77     msg.azelerazio_lineala.x = random.uniform(-10.0, 10.0)
78     msg.azelerazio_lineala.y = random.uniform(-10.0, 10.0)
79     msg.azelerazio_lineala.z = random.uniform(-10.0, 10.0)
80
81     # Simulación de la gravedad (valores en float)
82     msg.grabitatea.x = random.uniform(-9.81, 9.81)
83     msg.grabitatea.y = random.uniform(-9.81, 9.81)
84     msg.grabitatea.z = random.uniform(-9.81, 9.81)
85
86     # Publicar el mensaje
87     self.publisher_.publish(msg)
88     self.get_logger().debug("Datos simulados publicados.")
89
90 def main(args=None):
91     rclpy.init(args=args)
92     node = IMUArgitaratzzailea()
93
94     try:
95         rclpy.spin(node)
96     except KeyboardInterrupt:
97         node.get_logger().info("El usuario ha interrumpido el nodo.")
98     finally:
99         node.destroy_node()
100        rclpy.shutdown()
101
102 if __name__ == '__main__':
103     main()
```

**Código 10.37:** Código del nodo *imu\_sim*.

## Descripción del mundo y robot virtual en Gazebo Harmonic

```

1  <?xml version="1.0" ?>
2  <sdf version="1.8">
3      <world name="laberinto">
4          <physics name="1ms" type="ignored">
5              <max_step_size>0.001</max_step_size>
6              <real_time_factor>1.0</real_time_factor>
7          </physics>
8
9          <!-- Plugins para cargar la escena -->
10         <plugin
11             filename="gz-sim-physics-system"
12             name="gz::sim::systems::Physics">
13         </plugin>
14         <plugin
15             filename="gz-sim-user-commands-system"
16             name="gz::sim::systems::UserCommands">
17         </plugin>
18         <plugin
19             filename="gz-sim-scene-broadcaster-system"
20             name="gz::sim::systems::SceneBroadcaster">
21         </plugin>
22         <!-- -->
23
24         <!-- Plugins de sensores -->
25         <!-- IMU -->
26         <plugin filename="gz-sim-imu-system"
27             name="gz::sim::systems::Imu">
28         </plugin>
29
30         <!-- LiDAR -->
31         <plugin
32             filename="gz-sim-sensors-system"
33             name="gz::sim::systems::Sensors">
34             <render_engine>ogre2</render_engine>
35         </plugin>
36         <!-- -->
37
38         <!-- Iluminación de la escena y del mundo -->
39         <light type="directional" name="sun">
40             <cast_shadows>true</cast_shadows>
41             <pose>0 0 10 0 0 0</pose>
42             <diffuse>0.8 0.8 0.8 1</diffuse>
43             <specular>0.2 0.2 0.2 1</specular>
44             <attenuation>
45                 <range>1000</range>
46                 <constant>0.9</constant>
47                 <linear>0.01</linear>
48                 <quadratic>0.001</quadratic>
49             </attenuation>
50             <direction>-0.5 0.1 -0.9</direction>
51         </light>
52         <!-- -->
53
54         <!-- Suelo, necesario para no caer al vacío -->
55         <model name="suelo">
56             <static>true</static>
57             <link name="link">
58                 <collision name="collision">
59                     <geometry>
60                         <plane>
61                             <normal>0 0 1</normal>
62                         </plane>
63                     </geometry>
64                 </collision>
65                 <visual name="visual">
66                     <geometry>
67                         <plane>
68                             <normal>0 0 1</normal>

```

```

69         <size>100 100</size>
70     </plane>
71 </geometry>
72 <material>
73     <ambient>0.8 0.8 0.8 1</ambient>
74     <diffuse>0.8 0.8 0.8 1</diffuse>
75     <specular>0.8 0.8 0.8 1</specular>
76 </material>
77     </visual>
78 </link>
79 </model>
80 <!-- -->
81
82 <!-- Modelo del robot -->
83 <model name='robot' canonical_link='chassis'>
84     <pose relative_to='world'>-3.55 0 0 0 0 0</pose>
85
86     <!-- Cuadro para colocar el Lidar -->
87     <frame name="lidar_frame" attached_to='chassis'>
88         <!-- respecto del chassis -->
89         <pose>0.8 0 0.5 0 0 0</pose>
90     </frame>
91
92     <link name='chassis'>
93         <pose relative_to='__model__'>0.5 0 0.4 0 0 0</pose>
94
95         <!--Propiedades de inercia de la masa del link, matiz de inercia -->
96         <!-- valores por defecto del tutorial -->
97         <inertial>
98             <mass>1.14395</mass>
99             <inertia>
100                 <ixx>0.126164</ixx>
101                 <ixy>0</ixy>
102                 <ixz>0</ixz>
103                 <iyy>0.416519</iyy>
104                 <iyz>0</iyz>
105                 <izz>0.481014</izz>
106             </inertia>
107         </inertial>
108
109         <!--Características visuales del robot -->
110         <visual name='visual'>
111             <geometry>
112                 <box>
113                     <size>2.0 1.0 0.5</size> <!--en metros -->
114                 </box>
115             </geometry>
116             <!-- Añadir color o material -->
117             <material>
118                 <ambient>0.0 0.0 1.0 1</ambient>
119                 <diffuse>0.0 0.0 1.0 1</diffuse>
120                 <specular>0.0 0.0 1.0 1</specular>
121             </material>
122         </visual>
123
124         <!--Características de colisión del robot -->
125         <collision name='collision'>
126             <geometry>
127                 <box>
128                     <size>2.0 1.0 0.5</size>
129                 </box>
130             </geometry>
131         </collision>
132
133         <!--Sensor IMU -->
134         <sensor name="imu_sensor" type="imu">
135             <always_on>1</always_on>
136             <update_rate>1</update_rate>
137             <visualize>true</visualize>
138             <topic>imu</topic>

```

```
139      </sensor>
140
141      <!--Sensor LiDAR -->
142      <sensor name='gpu_lidar' type='gpu_lidar'>
143          <pose relative_to='lidar_frame'>0 0 0 0 0 0</pose>
144          <topic>lidar</topic>
145          <update_rate>10</update_rate>
146          <ray>
147              <scan>
148                  <horizontal>
149                      <samples>640</samples>
150                      <resolution>1</resolution>
151                      <min_angle>-1.5708</min_angle>
152                      <max_angle>1.5708</max_angle>
153                  </horizontal>
154                  <vertical>
155                      <samples>1</samples>
156                      <resolution>0.01</resolution>
157                      <min_angle>0</min_angle>
158                      <max_angle>0</max_angle>
159                  </vertical>
160              </scan>
161              <range>
162                  <min>0.08</min>
163                  <max>10.0</max>
164                  <resolution>0.01</resolution>
165              </range>
166          </ray>
167          <always_on>1</always_on>
168          <visualize>true</visualize>
169      </sensor>
170  </link>
171
172      <!-- Rueda izquierda -->
173      <link name='rueda_izq'>
174          <!--ángulos en radianes-->
175          <pose relative_to="chassis">-0.5 0.6 0 -1.5707 0 0</pose>
176
177          <inertial>
178              <mass>2</mass>
179              <inertia>
180                  <ixx>0.145833</ixx>
181                  <ixy>0</ixy>
182                  <ixz>0</ixz>
183                  <iyy>0.145833</iyy>
184                  <iyz>0</iyz>
185                  <izz>0.125</izz>
186              </inertia>
187          </inertial>
188
189          <visual name='visual'>
190              <geometry>
191                  <cylinder>
192                      <radius>0.4</radius>
193                      <length>0.2</length>
194                  </cylinder>
195              </geometry>
196              <material>
197                  <ambient>1.0 0.0 0.0 1</ambient>
198                  <diffuse>1.0 0.0 0.0 1</diffuse>
199                  <specular>1.0 0.0 0.0 1</specular>
200              </material>
201          </visual>
202
203          <collision name='collision'>
204              <geometry>
205                  <cylinder>
206                      <radius>0.4</radius>
207                      <length>0.2</length>
208                  </cylinder>

```

```
209         </geometry>
210     </collision>
211   </link>
212
213   <!-- Rueda derecha -->
214   <link name='rueda_der'>
215
216     <pose relative_to='chassis'>-0.5 -0.6 0 -1.5707 0 0</pose>
217
218     <inertial>
219       <mass>1</mass>
220       <inertia>
221         <ixx>0.145833</ixx>
222         <ixy>0</ixy>
223         <ixz>0</ixz>
224         <iyx>0.145833</iyx>
225         <iyz>0</iyz>
226         <izz>0.125</izz>
227       </inertia>
228     </inertial>
229
230     <visual name='visual'>
231       <geometry>
232         <cylinder>
233           <radius>0.4</radius>
234           <length>0.2</length>
235         </cylinder>
236       </geometry>
237       <material>
238         <ambient>1.0 0.0 0.0 1</ambient>
239         <diffuse>1.0 0.0 0.0 1</diffuse>
240         <specular>1.0 0.0 0.0 1</specular>
241       </material>
242     </visual>
243
244     <collision name='collision'>
245       <geometry>
246         <cylinder>
247           <radius>0.4</radius>
248           <length>0.2</length>
249         </cylinder>
250       </geometry>
251     </collision>
252   </link>
253
254   <!-- Cuadro para la rueda giratoria -->
255   <frame name='caster_frame' attached_to='chassis'>
256     <pose>0.8 0 -0.2 0 0 0</pose>
257   </frame>
258
259   <!-- Rueda giratoria -->
260   <link name='caster'>
261
262     <pose relative_to='caster_frame' />
263
264     <inertial>
265       <mass>1</mass>
266       <inertia>
267         <ixx>0.1</ixx>
268         <ixy>0</ixy>
269         <ixz>0</ixz>
270         <iyx>0.1</iyx>
271         <iyz>0</iyz>
272         <izz>0.1</izz>
273       </inertia>
274     </inertial>
275
276     <visual name='visual'>
277       <geometry>
278         <sphere>
```

```

279             <radius>0.2</radius>
280         </sphere>
281     </geometry>
282     <material>
283         <ambient>0.0 1 0.0 1</ambient>
284         <diffuse>0.0 1 0.0 1</diffuse>
285         <specular>0.0 1 0.0 1</specular>
286     </material>
287   </visual>
288
289   <collision name='collision'>
290     <geometry>
291       <sphere>
292         <radius>0.2</radius>
293       </sphere>
294     </geometry>
295   </collision>
296 </link>
297
298
299   <!--Articulación para rotar la rueda izquierda -->
300   <joint name='rueda_izq_joint' type='revolute'>
301     <pose relative_to='rueda_izq' />
302     <parent>chassis</parent>
303     <child>rueda_izq</child>
304     <axis>
305       <!-- Dada la posición y orientación, giro sobre el eje y-->
306       <xyz expressed_in='__model__'>0 1 0</xyz>
307       <limit>
308         <lower>-1.79769e+308</lower> <!--negativo infinito-->
309         <upper>1.79769e+308</upper> <!--positivo infinito-->
310       </limit>
311     </axis>
312   </joint>
313
314   <!--Articulación para rotar la rueda derecha -->
315   <joint name='rueda_der_joint' type='revolute'>
316     <pose relative_to='rueda_der' />
317     <parent>chassis</parent>
318     <child>rueda_der</child>
319     <axis>
320       <!-- Dada la posición y orientación, giro sobre el eje y-->
321       <xyz expressed_in='__model__'>0 1 0</xyz>
322       <limit>
323         <lower>-1.79769e+308</lower> <!--negativo infinito-->
324         <upper>1.79769e+308</upper> <!--positivo infinito-->
325       </limit>
326     </axis>
327   </joint>
328
329   <!--Articulación para la rueda giratoria -->
330   <joint name='caster_wheel' type='ball'>
331     <parent>chassis</parent>
332     <child>caster</child>
333   </joint>
334
335   <!--Plugin para un control diferencial-->
336   <plugin
337     filename="gz-sim-diff-drive-system"
338     name="gz::sim::systems::DiffDrive">
339     <left_joint>rueda_izq_joint</left_joint>
340     <right_joint>rueda_der_joint</right_joint>
341     <wheel_separation>1.2</wheel_separation>
342     <wheel_radius>0.4</wheel_radius>
343     <odom_publish_frequency>1</odom_publish_frequency>
344     <topic>cmd_vel</topic>
345   </plugin>
346 </model>
347 <!-- -->
348

```

```
349      <!--Pared izquierda-->
350      <model name='pared_izq_1'>
351          <static>true</static>
352          <pose>6.03 0.12 0 0 0 0.54</pose>
353          <link name='box'>
354              <visual name='visual'>
355                  <geometry>
356                      <box>
357                          <size>0.5 10.0 2.0</size>
358                      </box>
359                  </geometry>
360                  <material>
361                      <ambient>0.0 0.0 1.0 1</ambient>
362                      <diffuse>0.0 0.0 1.0 1</diffuse>
363                      <specular>0.0 0.0 1.0 1</specular>
364                  </material>
365              </visual>
366              <collision name='collision'>
367                  <geometry>
368                      <box>
369                          <size>0.5 10.0 2.0</size>
370                      </box>
371                  </geometry>
372              </collision>
373          </link>
374      </model>
375      <model name='pared_izq_2'>
376          <static>true</static>
377          <pose> 1.08 3.02 0 0 0 -1.3</pose>
378          <link name='box'>
379              <visual name='visual'>
380                  <geometry>
381                      <box>
382                          <size>0.5 10.0 2.0</size>
383                      </box>
384                  </geometry>
385                  <material>
386                      <ambient>0.0 0.0 1.0 1</ambient>
387                      <diffuse>0.0 0.0 1.0 1</diffuse>
388                      <specular>0.0 0.0 1.0 1</specular>
389                  </material>
390              </visual>
391              <collision name='collision'>
392                  <geometry>
393                      <box>
394                          <size>0.5 10.0 2.0</size>
395                      </box>
396                  </geometry>
397              </collision>
398          </link>
399      </model>
400
401      <!--Pared derecha-->
402      <model name='pared_der_1'>
403          <static>true</static>
404          <pose>-2.77 -1.98 0 0 0 -1.3</pose>
405          <link name='box'>
406              <visual name='visual'>
407                  <geometry>
408                      <box>
409                          <size>0.5 10.0 2.0</size>
410                      </box>
411                  </geometry>
412                  <material>
413                      <ambient>0.0 0.0 1.0 1</ambient>
414                      <diffuse>0.0 0.0 1.0 1</diffuse>
415                      <specular>0.0 0.0 1.0 1</specular>
416                  </material>
417              </visual>
418              <collision name='collision'>
```

```
419         <geometry>
420             <box>
421                 <size>0.5 10.0 2.0</size>
422             </box>
423         </geometry>
424     </collision>
425   </link>
426 </model>
427 <model name='pared_der_2'>
428     <static>true</static>
429     <pose>4.2 -4.85 0 0 0 0.54</pose>
430     <link name='box'>
431         <visual name='visual'>
432             <geometry>
433                 <box>
434                     <size>0.5 10.0 2.0</size>
435                 </box>
436             </geometry>
437             <material>
438                 <ambient>0.0 0.0 1.0 1</ambient>
439                 <diffuse>0.0 0.0 1.0 1</diffuse>
440                 <specular>0.0 0.0 1.0 1</specular>
441             </material>
442         </visual>
443         <collision name='collision'>
444             <geometry>
445                 <box>
446                     <size>0.5 10.0 2.0</size>
447                 </box>
448             </geometry>
449         </collision>
450     </link>
451   </model>
452 </world>
453 </sdf>
```

**Código 10.38:** Fichero .sdf para la definición del mundo y el robot en *Gazebo Harmonic*.

## Nodo de Gazebo Harmonic para la simulación de la prueba de control

```

1 #include <gz/msg/gz/twist.pb.h>
2 #include <gz/msg/gz/laserscan.pb.h>
3 #include <gz/transport/Node.hh>
4
5 std::string topic_pub = "/cmd_vel"; // Publicar en este tema
6 gz::transport::Node node;
7 auto pub = node.Advertise<gz::msg::Twist>(topic_pub);
8
9 void cb(const gz::msg::LaserScan &_msg)
10 {
11     gz::msg::Twist data;
12
13     // Parámetros
14     float target_distance_side = 1.0; // Distancia deseada a la pared lateral
15     int index_left = 639; // Índice para la pared izquierda (+90°)
16     int index_right = 0; // Índice para la pared derecha (-90°)
17     int index_front = 320; // Índice para el frente (0°)
18     float threshold_front = 1.5; // Umbral para evitar colisiones frontales
19
20     // Leer distancias del Lidar
21     /* ESTRATEGIA 1 - MEDICIONES FIJAS */
22     //float distance_left = _msg.ranges(index_left);
23     //float distance_right = _msg.ranges(index_right);
24     //float distance_front = _msg.ranges(index_front);
25
26     /* ESTRATEGIA 2 - DISTANCIA MÍNIMA EN UN RANGO */
27     // Lado izquierdo: índices 320 a 639
28     float distance_left = std::numeric_limits<float>::infinity();
29     for (int i = 320; i <= 639; ++i) {
30         if (_msg.ranges(i) < distance_left) {
31             distance_left = _msg.ranges(i);
32         }
33     }
34     // Lado derecho: índices 0 a 320
35     float distance_right = std::numeric_limits<float>::infinity();
36     for (int i = 0; i <= 320; ++i) {
37         if (_msg.ranges(i) < distance_right) {
38             distance_right = _msg.ranges(i);
39         }
40     }
41
42     // Calcular error lateral
43     float error_side = distance_left - distance_right;
44
45     // Control proporcional para corrección lateral
46     float k_p_side = 1.0; // Ganancia proporcional para la pared lateral
47     float angular_correction = k_p_side * error_side;
48
49     data.mutable_linear() -> set_x(0.5); // Velocidad constante hacia adelante
50     data.mutable_angular() -> set_z(angular_correction); // Corrección basada en la pared
51     //izquierda
52
53     // Publicar comandos de movimiento
54     pub.Publish(data);
55 }
56
57
58 //////////////////////////////////////////////////////////////////
59 int main(int argc, char **argv)
60 {
61     std::string topic_sub = "/lidar"; // Suscribirse a este tema
62     // Suscribirse a un tema registrando un callback.
63     if (!node.Subscribe(topic_sub, cb))
64     {
65         std::cerr << "Error suscribiéndose al tema [" << topic_sub << "]"
66         << std::endl;
67     }
68 }
```

```
68
69 // Esperar por la señal de apagado.
70 gz::transport::waitForShutdown();
71
72 return 0;
73 }
```

**Código 10.39:** Código del nodo de *Gazebo Harmonic* para la simulación de la prueba de control.